

สำนักหอสมุดกลาง พระจอมเกล้าลาดกระบัง

การประยุกต์ใช้ไมโครคอนโทรลเลอร์ ARM7 เป็นตัวควบคุมพีไอดีสำหรับเตอบ
IMPLEMENTATION OF ARM 7 MICROCONTROLLER FOR PID
CONTROLLER FOR OVEN



เลขหมู่.....
เลขทะเบียน 104037
วัน,เดือน,ปี 28 ต.ค. 2552

b.....
i.....

ปริญญานิพนธ์นี้เป็นส่วนหนึ่งของการศึกษาตามหลักสูตรปริญญาวิศวกรรมศาสตรบัณฑิต
สาขาวิชาวิศวกรรมการวัดคุม
ภาควิชาวิชาวิศวกรรมการวัดคุม คณะวิศวกรรมศาสตร์
สถาบันเทคโนโลยีพระจอมเกล้าเจ้าคุณทหารลาดกระบัง
ปีการศึกษา 2551

เอกสารนี้เป็นเอกสารที่สงวนไว้สำหรับการใช้งานเพื่อการศึกษาเท่านั้น ไม่อนุญาตให้นำไปใช้ประโยชน์ด้านการค้า
ไม่ว่ากรณีใดๆ ทั้งสิ้น อีกทั้งห้ามมิให้ดัดแปลงเนื้อหาและต้องอ้างอิงถึงเจ้าของเอกสารทุกครั้งที่มีการนำไปใช้

**IMPLEMENTATION OF ARM 7 MICROCONTROLLER FOR PID
CONTROLLER FOR OVEN**



**A THESIS SUBMITTED IN PARTIAL FULFILLMENT
OF THE REQUIREMENT FOR THE DEGREE OF
BACHELOR OF ENGINEERING IN INSTRUMENTATION ENGINEERING
DEPARTMENT OF INSTRUMENTATION ENGINEERING
FACULTY OF ENGINEERING
KING MONGKUT'S INSTITUTE OF TECHNOLOGY LADKRABANG**

2008

เอกสารนี้เป็นเอกสารที่สงวนไว้สำหรับการใช้งานเพื่อการศึกษาเท่านั้น ไม่อนุญาตให้นำไปใช้ประโยชน์ด้านการค้า
ไม่ว่ากรณีใดๆ ทั้งสิ้น อีกทั้งห้ามมิให้ดัดแปลงเนื้อหาและต้องอ้างอิงถึงเจ้าของเอกสารทุกครั้งที่มีการนำไปใช้

ภาควิชาวิศวกรรมการวัดคุม
คณะวิศวกรรมศาสตร์
สถาบันเทคโนโลยีพระจอมเกล้าเจ้าคุณทหารลาดกระบัง
ใบรับรองปริญญาโท

หัวข้อปริญญาโท การประยุกต์ใช้ไมโครคอนโทรลเลอร์ ARM7 เป็นตัวควบคุมพีไอดี
สำหรับเตาอบ

IMPLEMENTATION OF ARM 7 MICROCONTROLLER FOR
PID CONTROLLER FOR OVEN

นักศึกษาผู้จัดทำ

นายกฤษ พิพัฒน์กุล รหัสนักศึกษา 49015361
นางสาวดวงตะวัน ไตรภูวนาด รหัสนักศึกษา 49015368
นายมารุต หลดาบดิษณะดี รหัสนักศึกษา 49015386

ปริญญา

วิศวกรรมศาสตรบัณฑิต

สาขาวิชา

วิศวกรรมการวัดคุม

ปีการศึกษา

2551

อาจารย์ผู้ควบคุมปริญญาโท	ลายมือชื่อ
ผู้ช่วยศาสตราจารย์ ประภาส เรืองริน	
รองศาสตราจารย์ อาจินต์ น่วมสำราญ	

เอกสารนี้เป็นเอกสารที่สงวนไว้สำหรับการใช้งานเพื่อการศึกษาเท่านั้น ไม่อนุญาตให้นำไปใช้ประโยชน์ด้านการค้า
ไม่ว่ากรณีใดๆ ทั้งสิ้น อีกทั้งห้ามมิให้ดัดแปลงเนื้อหาและต้องอ้างอิงถึงเจ้าของเอกสารทุกครั้งที่มีการนำไปใช้

หัวข้อปริญญานิพนธ์	การประยุกต์ใช้ไมโครคอนโทรลเลอร์ ARM7 เป็นตัวควบคุมพีไอดี สำหรับเตาอบ	
	IMPLEMENTATION OF ARM 7 MICROCONTROLLER FOR PID CONTROLLER FOR OVEN	
นักศึกษาผู้จัดทำ	นายกฤษ พิพัฒน์กุล	รหัสนักศึกษา 49015361
	นางสาวดวงตะวัน ไตรภูวนาถ	รหัสนักศึกษา 49015368
	นายมารุต หลายลักษณะดี	รหัสนักศึกษา 49015386
อาจารย์ที่ปรึกษา	ผู้ช่วยศาสตราจารย์ ประภาส เริงริน	
	รองศาสตราจารย์ อาจินต์ น่วมสำราญ	
ปีการศึกษา	2551	

บทคัดย่อ

ปริญญานิพนธ์เล่มนี้ได้นำเสนอวิธีการนำไมโครคอนโทรลเลอร์ ARM 7 มาประยุกต์ใช้เป็นตัวควบคุมพีไอดีเพื่อควบคุมกระบวนการเตาอบขนาดเล็ก โดยใช้ทฤษฎีของ Ziegler Nichols และ Trial and Error มาใช้ในการออกแบบเพื่อหาค่าพารามิเตอร์ของตัวควบคุม และใช้โปรแกรมภาษาซีในการพัฒนาไมโครคอนโทรลเลอร์ ARM 7 เพื่อการติดต่อสื่อสารระหว่างคอมพิวเตอร์กับไมโครคอนโทรลเลอร์ใช้ RS-232 ซึ่งเป็นการสื่อสารแบบอนุกรม (Serial Port) ส่วนในการแสดงผลตอบสนองของระบบใช้โปรแกรม Visual basic เข้ามาช่วยในการแสดงผล และจะมีการจำลองกระบวนการด้วยโปรแกรม Simulink เพื่อเปรียบเทียบการทดลองจริง

Thesis Title Implementation of ARM 7 Microcontroller for PID Controller for Oven

Authors Mr.Krit Phiphatthanakul
Miss.Doungtawan Tripoowanat
Mr.Maroot Lailaksanadee

Thesis Advisor Asst. Prof. Prapas Roengruen
Assoc. Prof. Arjin Numsomran

Year 2008

ABSTRACT

This dissertation represents. The implementation of ARM7 microcontroller for PID controller to control oven procedure. According to Ziegler Nichols and Trial and Error theory, we apply it to compute the controller parameter. And use C language program to write the program for ARM7 microcontroller. Communication between computer and microcontroller uses RS-232 by using serial port communication. In term of display of usage Visual Basic respondent to assist and imitate the process with Simulink program for actual experiment comparison.

กิตติกรรมประกาศ

ปริญญาบัตรฉบับนี้สำเร็จลุล่วงไปได้ด้วยดี เพราะได้รับคำปรึกษาและความอนุเคราะห์จาก ผศ. ประภาส เรืองริน ซึ่งเป็นอาจารย์ผู้ควบคุมปริญญาบัตร และ คณาจารย์ภาควิชาวิศวกรรมการวัดคุม

ขอขอบพระคุณ รศ. อาจินต์ น่วมสำราญ ซึ่งได้รับคำปรึกษาและให้ความช่วยเหลือในการทำโครงการนี้ อีกทั้งช่วยตรวจสอบแก้ไขข้อผิดพลาดต่าง ๆ พร้อมทั้งแนะนำวิธีแก้ปัญหาอย่างเต็มที่

ขอขอบพระคุณอาจารย์ภาควิชาวิศวกรรมการวัดคุมที่เอื้อเฟื้ออุปกรณ์และ เครื่องมือในการทดลอง และให้การช่วยเหลือ อีกทั้งให้คำปรึกษาเป็นอย่างดีจนสามารถทำปริญญาบัตรฉบับนี้เสร็จสิ้นลงตามวัตถุประสงค์



คณะผู้จัดทำ

เอกสารนี้เป็นเอกสารที่สงวนไว้สำหรับการใช้งานเพื่อการศึกษาเท่านั้น ไม่อนุญาตให้นำไปใช้ประโยชน์ด้านการค้าไม่ว่ากรณีใดๆ ทั้งสิ้น อีกทั้งห้ามมิให้ตัดแปลงเนื้อหาและต้องอ้างอิงถึงเจ้าของเอกสารทุกครั้งที่มีการนำไปใช้

สารบัญ

	หน้า
บทคัดย่อภาษาไทย.....	I
บทคัดย่อภาษาอังกฤษ	II
กิตติกรรมประกาศ	III
สารบัญ	IV
สารบัญตาราง.....	VII
สารบัญภาพ.....	IX
บทที่ 1 บทนำ.....	1
1.1 ความสำคัญของปริศยานิพนธ์.....	1
1.2 วัตถุประสงค์ของปริศยานิพนธ์.....	1
1.3 ของเขตของปริศยานิพนธ์	1
1.4 ขั้นตอนการศึกษา.....	2
1.5 ประโยชน์ที่คาดว่าจะได้รับ.....	2
บทที่ 2 ไมโครคอนโทรลเลอร์ ARM7.....	3
2.1 สถาปัตยกรรม ARM7.....	3
2.1.1 การติดต่อพอร์ตและการควบคุมการทำงานของพอร์ตอเนกประสงค์ (General Purpose I/O: GPIO).....	4
2.1.2 การติดต่อและการเขียน โปรแกรมสั่งงานวงจรแปลงอนาลอกเป็น ดิจิตอล(A/D).....	9
2.1.3 การติดต่อและการเขียน โปรแกรมสั่งงานของวงจรแปลงดิจิตอลเป็น อนาลอก (D/A).....	17
2.1.4 เขียนโปรแกรมติดต่อกับ REAL TIME CLOCK	21
2.1.5 การอินเทอร์รัปต์ (Interrupt).....	24
2.1.6 การติดต่อและสั่งงาน Display 7-Segment 8 Digit กับไมโครคอนโทรลเลอร์ ARM731.....	27

เอกสารนี้เป็นเอกสารที่สงวนไว้สำหรับการใช้งานเพื่อ IV วิชาเท่านั้น ไม่อนุญาตให้นำไปใช้ประโยชน์ด้านการค้า
ไม่ว่ากรณีใดๆ ทั้งสิ้น อีกทั้งห้ามมิให้ดัดแปลงเนื้อหาและต้องอ้างอิงถึงเจ้าของเอกสารทุกครั้งที่มีการนำไปใช้

สารบัญ(ต่อ)

	หน้า
2.1.7 คำสั่งควบคุมโมดูลตัวแสดงผลแบบผลึกเหลว (LCD interface)	34
2.2 การใช้งานโปรแกรม KEIL uVision 3	37
2.3 การ Download Hex file ให้กับ MCU ของบอร์ด.....	39
บทที่ 3 ทฤษฎีตัวควบคุมPID.....	43
3.1 การควบคุมแบบป้อนกลับด้วยตัวควบคุมพีไอดี.....	45
3.2 กริยาการควบคุมแบบป้อนกลับ.....	45
3.2.1 กริยาการควบคุม ON-OFF.....	45
3.2.2 กริยาการควบคุมแบบ Proportional(P).....	46
3.2.3 กริยาการควบคุมแบบ Integral (I).....	47
3.2.4 กริยาการควบคุมแบบ Derivative (D).....	48
3.2.5 กริยาการควบคุมแบบ Proportional-Integral(PI).....	49
3.2.6 กริยาการควบคุมแบบ Proportional-Derivative(PD).....	49
3.2.7 กริยาการควบคุมแบบ Proportional-Integral-Derivative(PID).....	50
3.3 การคำนวณหาค่าพารามิเตอร์ของตัวควบคุม PID จากผลตอบสนองของกระบวนการ.....	51
3.3.1 การปรับค่าพารามิเตอร์ของตัวควบคุม PID โดยวิธีของ Ziegler-Nichols.....	51
3.3.1.1 วิธี Process Reaction Curve.....	52
3.3.1.2 วิธี Ultimate Method.....	53
3.3.1.3 วิธี Trial and Error (วิธีการลองผิดลองถูก).....	54
3.3.2 การปรับค่าพารามิเตอร์ของตัวควบคุม PID โดยวิธี Damped Oscillation.....	55
3.4 ข้อกำหนด (Specifications) ของผลตอบสนองชั่วคราวของระบบ.....	56
บทที่ 4 การออกแบบตัวควบคุม.....	58
4.1 การออกแบบ HardWare.....	59
4.1.1 เพาเวอร์ซัพพลายชนิดสอง.....	59
4.1.2 วงจรปรับระดับแรงดัน.....	60

เอกสารนี้เป็นเอกสารที่สงวนไว้สำหรับการใช้งานเพื่อการศึกษาเท่านั้น ไม่อนุญาตให้นำไปใช้ประโยชน์ด้านการค้า
ไม่ว่ากรณีใดๆ ทั้งสิ้น อีกทั้งห้ามมิให้ตัดแปลงเนื้อหาและต้องอ้างอิงถึงเจ้าของเอกสารทุกครั้งที่มีการนำไปใช้

สารบัญ(ต่อ)

	หน้า
4.1.3 วงจรแปลงสัญญาณแรงดันไฟฟ้าเป็นสัญญาณกระแสไฟฟ้า.....	62
4.1.4 การออกแบบบอร์ดควบคุม(SW)	63
4.1.5 การออกแบบตัวแสดงผล.....	64
4.1.5.1 ตัวแสดงผล 7-Segment.....	64
4.1.5.2 ตัวแสดงผลแบบผลึกเหลว(LCD).....	65
4.1.5.3 ตัวแสดงผลLED.....	67
4.2 การออกแบบ SoftWare.....	67
4.2.1 การออกแบบ อัลกอริทึม สำหรับตัวควบคุม PID ซึ่งไม่ต่อเนื่องทางเวลา.....	67
4.2.2 การเลือกช่วงเวลาในการสุ่มค่า (Choice of Sampling Interval).....	70
4.2.3 การแปลงสัญญาณอนาลอกเป็นดิจิตอล.....	72
4.2.4 การแปลงสัญญาณดิจิตอลเป็นอนาลอก.....	73
4.2.5 การ Scaling.....	74
บทที่ 5 การทดลองและผลการทดลอง.....	75
5.1 กระบวนการที่ใช้ในการทดสอบตัวควบคุม PID.....	75
5.2 การทดลองตัวควบคุม PID โดยวิธี Process Reation Curve ของ (Ziegler-Nichols).....	76
5.3 การทดลองตัวควบคุม PID โดยวิธี Trial&Error.....	82
บทที่ 6 สรุปผลการวิจัยและข้อเสนอแนะ.....	85
6.1 สรุปผลการการทดลอง.....	85
6.2 ปัญหาและอุปสรรค.....	85
6.3 ข้อเสนอแนะ.....	86
บรรณานุกรม.....	87
ภาคผนวก ก.....	88
ภาคผนวก ข.....	126

เอกสารนี้เป็นเอกสารที่สงวนไว้สำหรับการใช้งานเพื่อ VI ศึกษเท่านั้น ไม่อนุญาตให้นำไปใช้ประโยชน์ด้านการค้า
ไม่ว่ากรณีใดๆ ทั้งสิ้น อีกทั้งห้ามมิให้ตัดแปลงเนื้อหาและต้องอ้างอิงถึงเจ้าของเอกสารทุกครั้งที่มีการนำไปใช้

สารบัญ(ต่อ)

หน้า

ภาคผนวก ค.....130



เอกสารนี้เป็นเอกสารที่สงวนไว้สำหรับการใช้งานเพื่อ VII ศึกษาเท่านั้น ไม่อนุญาตให้นำไปใช้ประโยชน์ด้านการค้า
ไม่ว่ากรณีใดๆ ทั้งสิ้น อีกทั้งห้ามมิให้ดัดแปลงเนื้อหาและต้องอ้างอิงถึงเจ้าของเอกสารทุกครั้งที่มีการนำไปใช้

สารบัญตาราง

ตารางที่	หน้า
2.1 GPIO Pin Function Descriptions.....	4
2.2 GPxCON Registers.....	6
2.3 GPxCON MMR Bit Descriptions	6
2.4 GPxDAT Registers	7
2.5 GPxDAT MMR Bit Descriptions	8
2.6 GPxSET Registers.....	8
2.7 GPxSET MMR Bit Descriptions.....	8
2.8 GPxCLR Registers.....	9
2.9 GPxCLR MMR Bit Descriptions.....	9
2.10 กำหนดค่าคุณสมบัติให้กับ ADC	11
2.11 ADCCON MMR Bit Designations.....	12
2.12 ADCCP Register	13
2.13 ADCCP MMR Bit Designation	14
2.14 ADCCN Register.....	15
2.15 ADCCN MMR Bit Designation	15
2.16 ADCDAT Register	15
2.17 ADCRST Register	16
2.18 ADCGN Register	16
2.19 DACxCON Registers	20
2.20 DAC0CON MMR Bit Designations.....	20
2.21 DACxDAT Registers.....	20
2.22 DAC0DAT MMR Bit Designations	21
2.23 แสดงแอดเดรสของ Register ต่างๆ ใน DS1307	22
2.24 IRQ/FIQ MMRs Bit Description.....	24
2.25 IRQSTA Register	24
2.26 IRQSIG Register	24
2.27 IRQEN Register	24
2.28 รูปแบบการส่งข้อมูลแบบอนุกรม (16 บิต)	29

เอกสารนี้เป็นเอกสารที่สงวนไว้สำหรับการใช้งานเพื่อการศึกษาเท่านั้น ไม่อนุญาตให้นำไปใช้ประโยชน์ด้านการค้า
ไม่ว่ากรณีใดๆ ทั้งสิ้น อีกทั้งห้ามมิให้ดัดแปลงเนื้อหาและต้องอ้างอิงถึงเจ้าของเอกสารทุกครั้งที่มีการนำไปใช้

สารบัญตาราง (ต่อ)

ตารางที่	หน้า
2.29 Register Address Map	29
2.30 Decode-Mode (Address(HEX)=x0X9)	29
2.31 โหมด Decode แบบรหัสเลขฐานสอง	32
2.32 โหมดการปรับความเข้มของ 7 Segment (Address (HEX) =0xXA)	33
2.33 โหมด Scan-Limit (Address (HEX) =0xXB).....	34
2.34 การใช้งานขาต่างๆ.....	35
2.35 การรับเขียนอ่านข้อมูล.....	35
2.36 คำสั่งการควบคุม LCD	36
3.1 แสดงค่าพารามิเตอร์ของตัวควบคุมแบบต่างๆตามวิธี Process Reaction Curve.....	53
3.2 แสดงค่าพารามิเตอร์ของตัวควบคุมแบบต่างๆตามวิธี Ultimate Method.....	54
4.1 การหาขนาดของหม้อแปลง	60

เอกสารนี้เป็นเอกสารที่สงวนไว้สำหรับการใช้งานเพื่อการศึกษาเท่านั้น ไม่อนุญาตให้นำไปใช้ประโยชน์ด้านการค้า
ไม่ว่ากรณีใดๆ ทั้งสิ้น อีกทั้งห้ามมิให้ดัดแปลงเนื้อหาและต้องอ้างอิงถึงเจ้าของเอกสารทุกครั้งที่มีการนำไปใช้

สารบัญภาพ

ภาพที่	หน้า
2.1 แสดงการจัดขาของ ADUC7024	4
2.2 แสดงรูปสัญญาณเมื่อทำงานอยู่ในโหมด Fully Difference	10
2.3 Pseudo Differential and Single-Ended Modes	10
2.4 การแปลงสัญญาณ ADC เมื่อทำงานอยู่ในโหมด Differential	11
2.5 การแสดงผลพัลส์ข้อมูล	16
2.6 วงจรแปลงดิจิตอลเป็นอนาล็อก (D/A)	17
2.7 ระบบการแปลงสัญญาณดิจิตอลเป็นอะนาล็อก.....	17
2.8 Transfer Curve ในอุดมคติของ DAC 3 บิต	18
2.9 คลื่นซายน์ที่สร้างจาก DAC	19
2.10 ลักษณะวงจรการต่อสายและรายละเอียดขาสัญญาณต่างๆ.....	21
2.11 Timing Diagram การส่งข้อมูล.....	22
2.12 โหมดการเขียนข้อมูล.....	23
2.13 การอ่านข้อมูล.....	23
2.14 ภาพโครงสร้างของ Timer.....	26
2.15 วงจร Display 7-Segment 8 Digit กับ ไมโครคอนโทรลเลอร์ ARM7.....	27
2.16 Timing Diagram ของ MAX 7219.....	28
2.17 โหมดการทำงานปกติ.....	31
2.18 Schematic ของการต่อจอแสดงผล LCD กับไมโครคอนโทรลเลอร์ ADuC 7024.....	34
2.19 Timing Diagram แสดงการเขียนข้อมูล.....	36
2.20 Timing Diagram แสดงการอ่านข้อมูล.....	37
2.21 การเปิดโปรแกรม u Vision3.....	37
2.22 การสร้างไฟล์โปรเจกต์และเลือก ARM 7 เบอร์ ADuV 7024.....	38
2.23 การเขียน source code และเพิ่มเข้าไปใน source file	38
2.24 การสร้างโปรเจกต์และ HEX ไฟล์สำหรับ PROM	39
2.25 ผลการสั่ง Run โปรแกรม “ARMWSD”	39
2.26 การเลือกกำหนดหมายเลข Comport	40
2.27 การเลือกกำหนดหมายเลข Comport	40
2.28 การจะ Download ให้กับ MCU มารอไว้ใน Buffer	41

เอกสารนี้เป็นเอกสารที่สงวนไว้สำหรับการใช้งานเพื่อการศึกษาเท่านั้น ไม่อนุญาตให้นำไปใช้ประโยชน์ด้านการค้า
ไม่ว่ากรณีใดๆ ทั้งสิ้น อีกทั้งห้ามมิให้ดัดแปลงเนื้อหาและต้องอ้างอิงถึงเจ้าของเอกสารทุกครั้งที่มีการนำไปใช้

สารบัญภาพ(ต่อ)

ภาพที่	หน้า
2.29 การเลือกกำหนดชื่อ HEX File	41
2.30 ข้อความ บอกให้ผู้ใช้รีเซ็ต MCUให้ทำงานใน Monitor Mode	41
2.31 การเริ่มต้นทำการ Download HEX File	42
2.32 การคลิกเมาส์ที่ปุ่ม “Run”เพื่อให้ MCU เริ่มต้นทำงาน.....	42
3.1 แสดงโครงสร้างของระบบควบคุมแบบป้อนกลับ โดยทั่วไป	44
3.2 แสดงการทำงานของระบบควบคุมแบบ ON-OFF	45
3.3 แสดงคุณสมบัติของการทำงานของระบบควบคุมแบบ Proportional.....	47
3.4 แสดงผลตอบสนองของการทำงานของระบบควบคุมแบบ Integral	48
3.5 แสดงตัวอย่างผลตอบสนองของการทำงานของระบบควบคุมแบบ Derivative	48
3.6 แสดงตัวอย่างผลตอบสนองของการทำงานของระบบควบคุมแบบPI (Direct action)	49
3.7 แสดงตัวอย่างผลตอบสนองของการทำงานของระบบควบคุมแบบ PD.....	50
3.8 แสดงตัวอย่างผลตอบสนองของการทำงานของระบบควบคุมแบบ PI (Direct action)	51
3.9 แสดงค่าพ่วงเกินที่ต้องการเมื่อใช้การปรับด้วยวิธี Ziegler-Nichols	52
3.10 แสดงผลตอบสนองรูปตัว S เมื่อปรับ โดยใช้วิธี Process Reaction Curve	52
3.11 แสดงผลตอบสนองเวลาเกิดการแกว่งอย่างต่อเนื่อง เมื่อปรับ โดยใช้วิธี Ultimate method.....	53
3.12 แสดงค่าอัตราการเสื่อม 1/4เมื่อปรับ โดยวิธี Damped Oscillation.....	55
3.13 แสดงข้อกำหนดของผลตอบสนองชั่วคราวของระบบ.....	57
4.1 แสดงตัวควบคุมPID	58
4.2 แสดงฮาร์ดแวร์ตัวควบคุม โดยรวม.....	59
4.3 แสดงวงจรเพาเวอร์ซัพพลาย.....	59
4.4 แสดงวงจรปรับระดับแรงดัน	60
4.5 วงจรแปลงสัญญาณแรงดันไฟฟ้าเป็นสัญญาณกระแสไฟฟ้า.....	62
4.6 Schematic และการทำงานของSW.....	64
4.7 Schematic ของ 7-Segment.....	64
4.8 การแสดงภาพผลของ 7-Segment บนตัวควบคุม PID	65
4.9 Schematicของการต่อจอแสดงผล LCDกับไมโครคอนโทรลเลอร์ ADuc7024.....	66
4.10 การแสดงผลของ LED บนตัวควบคุม PID	66

เอกสารนี้เป็นเอกสารที่สงวนไว้สำหรับการใช้งานเพื่อการศึกษาเท่านั้น ไม่อนุญาตให้นำไปใช้ประโยชน์ด้านการค้า
ไม่ว่ากรณีใดๆ ทั้งสิ้น อีกทั้งห้ามมิให้ตัดแปลงเนื้อหาและต้องอ้างอิงถึงเจ้าของเอกสารทุกครั้งที่มีการนำไปใช้

สารบัญญภาพ(ต่อ)

ภาพที่	หน้า
4.11 Schematic และการแสดงผลของLED.....	67
4.12 แสดงให้เห็นเสถียรภาพระหว่างตัวควบคุมแบบ PID และ PYID.....	71
5.1 แสดงภาพเตาอบไฟฟ้า.....	75
5.2 แสดงลักษณะการออกแบบกระบวนการ.....	76
5.3 แสดงผลตอบสนองรูปตัว S เมื่อใช้วิธี Process Reaction Curve	77
5.4 แสดงผลตอบสนองรูปตัว S จากการทดลองรูปเปิดที่ MV=20% ไปเป็น 60%.....	78
5.5 แสดงผลตอบสนองของตัวควบคุม PI (Ziegler-Nichols) Setpoint = 60%.....	79
5.6 แสดงผลตอบสนองของตัวควบคุมPI (Ziegler-Nichols) เมื่อเปลี่ยน Setpoint จาก 60 % เป็น 80 %.....	79
5.7 แสดงผลตอบสนองของตัวควบคุม PI (Ziegler-Nichols) เมื่อเปลี่ยน Setpoint จาก 60% เป็น 80% และเกิด disturbance	80
5.8 แสดงผลตอบสนองของตัวควบคุม PID (Ziegler-Nichols) Setpoint = 60%.....	80
5.9 แสดงผลตอบสนองของตัวควบคุม PID (Ziegler-Nichols) เมื่อเปลี่ยน Setpoint จาก 60% เป็น 80%.....	81
5.10 แสดงผลตอบสนองของตัวควบคุม PI (Ziegler-Nichols) เมื่อเปลี่ยน Setpoint จาก 60% เป็น 80% และเกิด disturbance.....	81
5.11 แสดงผลตอบสนองของตัวควบคุม PI (Trial & Error) Setpoint = 60%.....	82
5.12 แสดงผลตอบสนองของตัวควบคุม PI (Trial & Error) เมื่อเปลี่ยน Setpoint จาก 60% เป็น 80%.....	82
5.13 แสดงผลตอบสนองของตัวควบคุม PI (Trial & Error) เมื่อ เปลี่ยน Setpoint จาก 60% เป็น 80% และเกิด disturbance	83
5.14 แสดงผลตอบสนองของตัวควบคุม PID (Trial & Error) Setpoint = 60%.....	83
5.15 แสดงผลตอบสนองของตัวควบคุม PID (Trial & Error) เมื่อเปลี่ยน Setpoint จาก 60% เป็น 80%.....	84
5.16 แสดงผลตอบสนองของตัวควบคุม PID (Trial & Error) เมื่อเปลี่ยน Setpoint จาก 60% เป็น 80% และเกิด disturbance.....	84

เอกสารนี้เป็นเอกสารที่สงวนไว้สำหรับการใช้งานเพื่อการศึกษาเท่านั้น ไม่อนุญาตให้นำไปใช้ประโยชน์ด้านการค้า
ไม่ว่ากรณีใดๆ ทั้งสิ้น อีกทั้งห้ามมิให้ตัดแปลงเนื้อหาและต้องอ้างอิงถึงเจ้าของเอกสารทุกครั้งที่มีการนำไปใช้

บทที่ 1

บทนำ

1.1 ความสำคัญของปริญญานิพนธ์

ระบบควบคุมอัตโนมัติแบบ PID นั้น ได้ถูกนำมาใช้ควบคุมกระบวนการในการผลิตเป็นเวลานานกว่า 50 ปีมาแล้ว ซึ่งในอุตสาหกรรมการผลิตแบบอัตโนมัติทั่วไปในปัจจุบันก็ยังนิยมใช้ตัวควบคุมแบบ PID อย่างแพร่หลาย ทั้งนี้เพราะรูปแบบของตัวควบคุม PID เป็นรูปแบบที่สามารถควบคุมกระบวนการต่างๆ ได้อย่างกว้างขวาง

ในอดีตตัวควบคุมเป็นแบบอนาล็อก สร้างขึ้นด้วยอุปกรณ์ที่เป็นอนาล็อกเช่น ออปแอมป์ แต่ในปัจจุบันได้มีการพัฒนาทางด้านไมโครโปรเซสเซอร์เพิ่มขึ้นอย่างมากมาย ทำให้เป็นไปได้ที่จะสร้างตัวควบคุมโดยใช้ไมโครคอนโทรลเลอร์ที่มีขนาดเล็กที่ซึ่งหาง่ายและ ราคาไม่แพงมากนัก อีกทั้ง ยังให้ประสิทธิภาพในการทำงานที่ดีขึ้น

ส่วนการปรับและการออกแบบค่าพารามิเตอร์ของตัวควบคุม PID ซึ่งได้พัฒนาขึ้นมาพร้อมกับกรณีตัวควบคุม PID ออกมากันมากมาย การปรับค่าพารามิเตอร์ของตัวควบคุม PID จึงเป็นสิ่งที่จะต้องทำให้ได้การควบคุมที่ดีที่สุดซึ่งทำได้หลายวิธี บางวิธีจะอาจพิจารณาจากผลตอบสนองของระบบ และอาศัยประสบการณ์ บางวิธีอาศัยหลักการทางคณิตศาสตร์และส่วนใหญ่จะใช้การพิจารณาจากเงื่อนไขในโดเมนเวลามากกว่าในโดเมนความถี่ จนถึงปัจจุบันวิธีที่ยังได้รับความนิยมอยู่วิธีหนึ่งคือ วิธีของ Ziegler-Nichols

ซึ่งสำหรับปริญญานิพนธ์นี้ จะนำเอาไมโครคอนโทรลเลอร์ ARM7 มาประยุกต์สร้างเป็นตัวควบคุม PID สำหรับกระบวนการทางอุตสาหกรรม เพื่อให้เป็นการเพิ่มความน่าเชื่อถือและเพิ่มศักยภาพในการปฏิบัติงานของตัวควบคุม

1.2 วัตถุประสงค์ของปริญญานิพนธ์

1. เพื่อศึกษาโครงสร้างของระบบควบคุมแบบ PID
2. เพื่อออกแบบตัวควบคุมแบบ PID ที่สามารถควบคุมระบบ ให้มีความเสถียรภาพและมีสมรรถนะที่ดี
3. สร้างตัวควบคุม PID โดยใช้ไมโครคอนโทรลเลอร์ ARM7

1.3 ขอบเขตของปริญญานิพนธ์

1. ศึกษาโครงสร้างของระบบควบคุมแบบ PID รวมทั้งวิธีการหาค่าพารามิเตอร์ โดยได้ใช้

เทคนิคที่เป็นมาตรฐานที่สอนไปคือ Ziegler-Nichols, Root locus และ Trial & Error ศึกษาเท่านั้น ไม่อนุญาตให้นำไปใช้ประโยชน์ด้านการค้าไม่ว่ากรณีใดๆ ทั้งสิ้น อีกทั้งห้ามมิให้ตัดแปลงเนื้อหาและต้องอ้างอิงถึงเจ้าของเอกสารทุกครั้งที่มีการนำไปใช้

2. วิเคราะห์และออกแบบระบบควบคุมในโดเมนเวลา โดยใช้โปรแกรม MATLAB รวมทั้งจำลองระบบควบคุมใน Simulink
3. ศึกษาถึงสถาปัตยกรรมภายในและ การใช้งานของฟังก์ชันต่าง ๆ โดยใช้วิธีการควบคุมไมโครคอนโทรลเลอร์ ARM 7
4. สร้างตัวควบคุม PID บนไมโครคอนโทรลเลอร์ ARM 7
5. ทดลอง ตัวควบคุม PID กับกระบวนการจริง(กระบวนการเตาอบ)

1.4 ขั้นตอนการศึกษา

1. ศึกษาวิธีการออกแบบตัวควบคุม PID
2. ศึกษาวิธีการหาค่าพารามิเตอร์ของตัวควบคุมด้วยวิธีต่าง ๆ
3. ศึกษาสถาปัตยกรรมภายใน รวมทั้งฟังก์ชันการทำงานต่างๆของไมโครคอนโทรลเลอร์ ARM7
4. ศึกษาการเขียนโปรแกรมภาษาซี ซึ่งใช้สำหรับควบคุมการทำงานไมโครคอนโทรลเลอร์ ARM7
5. ศึกษาการเขียน โปรแกรม Visual Basic เพื่อแสดงผลกราฟบนจอคอมพิวเตอร์
6. ศึกษาฟังก์ชันการทำงานของตัวควบคุม PID
7. ศึกษาการทำงานของกระบวนการเตาอบ

1.5 ประโยชน์ที่คาดว่าจะได้รับ

ปริญญานิพนธ์นี้ จะช่วยให้เข้าใจการควบคุมการทำงานของกระบวนการทางอุตสาหกรรมโดยใช้ตัวควบคุมแบบ PID ได้ดียิ่งขึ้น ซึ่งสามารถนำไปพัฒนาเพื่อใช้ในการควบคุมการทำงานของกระบวนการทางอุตสาหกรรมในรูปแบบต่าง ๆ ได้ เช่น ควบคุมระดับของเหลว ควบคุมความดันหรือควบคุมอัตราการไหล เป็นต้น ซึ่งเป็นการง่ายในการพัฒนา เนื่องจากตัวควบคุมถูกสร้างมาจากไมโครคอนโทรลเลอร์ อีกทั้งหลักการควบคุมกระบวนการแบบ PID ยังเป็นหลักการที่มีประสิทธิภาพในการนำไปใช้ควบคุมอีกด้วยโครงการนี้จะเป็นจุดเริ่มต้นในการใช้งานไมโครคอนโทรลเลอร์ ARM7 มาใช้ทำการประมวลผล และยังเป็นแนวทางแก่ผู้สนใจที่จะนำความรู้ของโครงการนี้ไปใช้ในการพัฒนาในอนาคตต่อไป

เอกสารนี้เป็นเอกสารที่สงวนไว้สำหรับการใช้งานเพื่อการศึกษาเท่านั้น ไม่อนุญาตให้นำไปใช้ประโยชน์ด้านการค้าไม่ว่ากรณีใดๆ ทั้งสิ้น อีกทั้งห้ามมิให้ตัดแปลงเนื้อหาและต้องอ้างอิงถึงเจ้าของเอกสารทุกครั้งที่มีการนำไปใช้

บทที่ 2

ไมโครคอนโทรลเลอร์ ARM7

2.1 สถาปัตยกรรม ARM7

สถาปัตยกรรมของ ARM7 เป็นซีพียูแบบ RISC มีขนาด 32 บิต ภายในมีบัสขนาด 32 บิต ซึ่งตัวเดียวที่เราใช้สำหรับรับข้อมูลและ โดยชุดคำสั่งจะมีขนาด 32 บิตคงที่ในขณะที่ข้อมูลสามารถเลือกได้ว่าจะมีขนาด 8, 16 หรือ 32 บิต

โครงสร้างของ ARM7 จะเป็นแบบที่เรียบง่าย มีชุดคำสั่งไม่มากนักและ จะประหยัดพื้นที่สารกึ่งตัวนำที่ใช้สร้างประหยัดพลังงาน

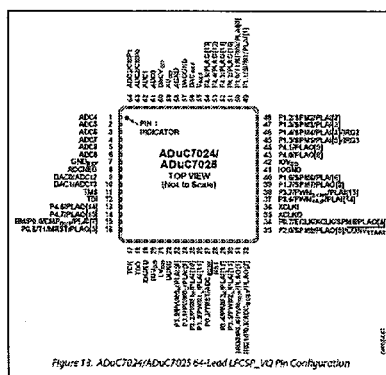
สถาปัตยกรรมของ ARM7 จะเป็นแบบ load-and-store ในการประมวลผลข้อมูลใดๆ ต้องกระทำผ่านทางรีจิสเตอร์เริ่มต้นด้วยการ โหลดค่าจากหน่วยความจำมาเก็บในรีจิสเตอร์ แล้วนำค่ามาประมวลผลเสร็จแล้วจะเขียนค่าเก็บในหน่วยความจำดังเดิม

รีจิสเตอร์ของ ARM7 ที่ใช้งานได้นั้นสำหรับผู้ใช้มีทั้งหมด 16 ตัวคือ R0-R15 โดยทุกตัวมีขนาด 32 บิต โดย R0-R12 ซึ่งรีจิสเตอร์ทั่วไปไม่ได้กำหนดหน้าที่การทำงานพิเศษ สำหรับ R12 ทำหน้าที่เป็น stack pointer (SP), R14 ทำหน้าที่เป็น link register (LR) และ R15 ทำหน้าที่เป็น Program Counter (PC)

ความสามารถของไมโครคอนโทรลเลอร์ ANALOG DEVICES ADUC7024 พอสรุปได้ดังนี้

1. ไมโครคอนโทรลเลอร์ขนาด 16/32 บิต ARM7TDMI ในตัวถึง LQFP 64 ขา
2. หน่วยความจำ Static RAM ขนาด 8 kB
3. หน่วยความจำ Flash Program Memory ขนาด 62 kB
4. วงจรแปลงแอนะล็อกเป็นดิจิตอล(ADC)ความละเอียด 12 bit จำนวน 10 ชุด
5. วงจรแปลงดิจิตอลเป็นแอนะล็อก(DAC)ความละเอียด 12 bit จำนวน 2 ชุด
6. มีขาที่ใช้เป็นขาอินพุต เอาต์พุต จำนวน 40 ขา
7. PWM (Pulse width modulation) 6 เอาต์พุต
8. วงจรสื่อสารอนุกรม I²C ความเร็วสูง
9. มีวงจรสื่อสารอนุกรม UART จำนวน 1 พอร์ต และวงจรสื่อสาร SPI จำนวน 1 พอร์ต

เอกสารนี้เป็นเอกสารที่สงวนไว้สำหรับการใช้งานเพื่อการศึกษาเท่านั้น ไม่อนุญาตให้นำไปใช้ประโยชน์ด้านการค้า ไม่ว่าจะกรณีใดๆ ทั้งสิ้น อีกทั้งห้ามมิให้ดัดแปลงเนื้อหาและต้องอ้างอิงถึงเจ้าของเอกสารทุกครั้งที่มีการนำไปใช้



ภาพที่ 2.1 แสดงการจัดขาของ ADUC7024

2.1.1 การติดต่อพอร์ตและการควบคุมการทำงานของพอร์ตอเนกประสงค์

(General Purpose I/O : GPIO)

ADUC7024 มีพอร์ตอเนกประสงค์ (General Purpose I/O) ขนาด 32 บิตให้ใช้งาน 5 พอร์ต คือ P0-P4 โดยแต่ละพอร์ตจะมี 8 ขา PX.0-PX.7 รวม 40 ขา ทั้งหมดทำหน้าที่เป็นได้ทั้งอินพุตพอร์ตและเอาต์พุตพอร์ต

แต่เนื่องจากแต่ละขาของพอร์ต P0-P4 มีหน้าที่การทำงานได้หลายแบบจึงต้องมีการกำหนดหน้าที่การทำงานของแต่ละพอร์ตโดยรีจิสเตอร์ดังนี้

ตารางที่ 2.1 GPIO Pin Function Descriptions

Port	Pin	Configuration			
		00	01	10	11
0	P0.0	GPIO	CMP	MS2	PLA[7]
	P0.1	GPIO	PWM2H	BLE	
	P0.2	GPIO	PWM2L	BHE	
	P0.3	GPIO	TRUST	A16	ADCbusy
	P0.4	GPIO/IRQ0	PWMtmp	MS1	PLAO[1]
	P0.5	GPIO/IRQ1	ADCbusy	MS0	PLAO[2]
	P0.6	GPIO/T1	MRST	AE	PLAO[3]
	P0.7	GPIO	ECLK/XCLK'	SIN	PLAO[4]

เอกสารนี้เป็นเอกสารที่สงวนไว้สำหรับการใช้งานเพื่อการศึกษาเท่านั้น ไม่อนุญาตให้นำไปใช้ประโยชน์ด้านการค้า ไม่ว่าจะกรณีใดๆ ทั้งสิ้น อีกทั้งห้ามมิให้ดัดแปลงเนื้อหาและต้องอ้างอิงถึงเจ้าของเอกสารทุกครั้งที่มีการนำไปใช้

ตารางที่ 2.1 (ต่อ) GPIO Pin Function Descriptions

Port	Pin	Configuration			
		00	01	10	11
1	P1.0	GPIO/T1	SIN	SCLO	PLA[0]
	P1.1	GPIO	SOUT	SDAO	PLA[1]
	P1.2	GPIO	RTS	SCL1	PLA[2]
	P1.3	GPIO	CTS	SDA1	PLA[3]
	P1.4	GPIO/TRQ2	RI	CLK	PLA[4]
	P1.5	GPIO/TRQ3	DCD	MISO	PLA[5]
	P1.6	GPIO	DSR	MOSI	PLA[6]
	P1.7	GPIO	DTR	CSL	PLAO[0]
2	P2.0	GPIO	CONVstart	SOUT	PLAO[5]
	P2.1	GPIO	PWMOH	WS	PLAO[6]
	P2.2	GPIO	PWMOL	AS	PLAO[7]
	P2.3	GPIO		AE	
	P2.4	GPIO	PWMOH	MS0	
	P2.5	GPIO	PWMOL	MS1	
	P2.6	GPIO	PWM1H	MS2	
	P2.7	GPIO	PWM1L	MS3	
3	P3.0	GPIO	PWMOH	AD0	PLA[8]
	P3.1	GPIO	PWMOL	AD1	PLA[9]
	P3.2	GPIO	PWM1H	AD2	PLA[10]
	P3.3	GPIO	PWM1L	AD3	PLA[11]
	P3.4	GPIO	PWM2H	AD4	PLA[12]
	P3.5	GPIO	PWM2L	AD5	PLA[13]
	P3.6	GPIO	PWMtmp	AD6	PLA[14]
	P3.7	GPIO	PWMsytic	AD7	PLA[15]

เอกสารนี้เป็นเอกสารที่สงวนไว้สำหรับการใช้งานเพื่อการศึกษาเท่านั้น ไม่อนุญาตให้นำไปใช้ประโยชน์ด้านการค้า
ไม่ว่ากรณีใดๆ ทั้งสิ้น อีกทั้งห้ามมิให้ดัดแปลงเนื้อหาและต้องอ้างอิงถึงเจ้าของเอกสารทุกครั้งที่มีการนำไปใช้

ตารางที่ 2.1 (ต่อ) GPIO Pin Function Descriptions

Port	Pin	Configuration			
		00	01	10	11
4	P4.0	GPIO		AD8	PLA[8]
	P4.1	GPIO		AD9	PLA[9]
	P4.2	GPIO		AD10	PLA[10]
	P4.3	GPIO		AD11	PLA[11]
	P4.4	GPIO		AD12	PLA[12]
	P4.5	GPIO		AD13	PLA[13]
	P4.6	GPIO		AD14	PLA[14]
	P4.7	GPIO		AD15	PLA[15]

ตารางที่ 2.2 GPxCON Registers

Name	Address	Default Value	Access
GP0CON	0xFFFFF400	0x00000000	R/W
GP1CON	0xFFFFF404	0x00000000	R/W
GP2CON	0xFFFFF408	0x00000000	R/W
GP3CON	0xFFFFF40C	0x00000000	R/W
GP4CON	0xFFFFF410	0x00000000	R/W

ตารางที่ 2.3 GPxCON MMR Bit Descriptions

Bit	Description
31:30:00	Reserved
29:28:00	Select Function of Px.7Pin
27:26:00	Reserved
25:24:00	Select Function of Px.6Pin
23:22	Reserved
21:20	Select Function of Px.5Pin
19:18	Reserved

เอกสารนี้เป็นเอกสารที่สงวนไว้สำหรับการใช้งานเพื่อการศึกษาเท่านั้น ไม่อนุญาตให้นำไปใช้ประโยชน์ด้านการค้า
ไม่ว่ากรณีใดๆ ทั้งสิ้น อีกทั้งห้ามมิให้ดัดแปลงเนื้อหาและต้องอ้างอิงถึงเจ้าของเอกสารทุกครั้งที่มีการนำไปใช้

ตารางที่ 2.3 (ต่อ) GPxCON MMR Bit Descriptions

Bit	Description
17:16	Select Function of Px.4Pin
15:14	Reserved
13:12	Select Function of Px.3Pin
11:10	Reserved
9:08	Select Function of Px.2Pin
7:06	Reserved
5:04	Select Function of Px.1Pin
3:02	Reserved
1:00	Select Function of Px.0Pin

ค่าแต่ละบิตของรีจิสเตอร์ GPxCON ซึ่งแสดงได้ในตารางที่ 2.3 จากตารางจะพบว่าแต่ละขาจะมีหน้าที่การทำงานได้ถึง 3 หรือ 4 หน้าที่ ตัวอย่างเช่น ขา P0.0 จะมีหน้าที่ในการทำงานได้ถึง 4 หน้าที่ คือ GPIO0.0, CMP, MS0 และ PLAI [7] ถ้าต้องการกำหนดค่าให้ขาของ P0.0 - P0.7 มีการทำงานเป็น GPIO ทำได้โดยการเขียนค่า 0 ทุกบิตให้กับ GP0CON ซึ่งเขียนเป็นภาษาซี ได้ดังนี้

```
GP0CON=0x00000000; //Set P0.0 – P0.7 to GPIO Function
```

ซึ่งจากด้านบนนั้นเป็นการกำหนดค่าควบคุม ซึ่งเป็นการทำงานของพอร์ตเนกทีฟประสงค์ (GPIO)

หลังจากที่กำหนดค่าให้พอร์ตของแต่ละตัว มีการทำงานเป็น GPIO แล้วในการควบคุมการทำงานของ GPIO จะสั่งงานผ่านทางรีจิสเตอร์ 4 ตัวได้แก่ GPxPAR, GPxDAT, GPxSET และ GPxCLR โดยรีจิสเตอร์แต่ละตัวจะมีแอดเดรสแสดงในตาราง

ตารางที่ 2.4 GPxDAT Registers

Name	Address	Default Value	Access
GP0DAT	0xFFFFF420	0x000000XX	R/W
GP1DAT	0xFFFFF430	0x000000XX	R/W
GP2DAT	0xFFFFF440	0x000000XX	R/W
GP3DAT	0xFFFFF450	0x000000XX	R/W
GP4DAT	0xFFFFF460	0x000000XX	R/W

เอกสารนี้เป็นเอกสารที่สงวนไว้สำหรับการใช้งานเพื่อการศึกษาเท่านั้น ไม่อนุญาตให้นำไปใช้ประโยชน์ด้านการค้าไม่ว่ากรณีใดๆ ทั้งสิ้น อีกทั้งห้ามมิให้ตัดแปลงเนื้อหาและต้องอ้างอิงถึงเจ้าของเอกสารทุกครั้งที่มีการนำไปใช้

ตารางที่ 2.5 GPxDAT MMR Bit Descriptions

Bit	DESCRIPTION
31:24:00	Direction of the Data. Set to 1 by user to configure the GPIO pin as an output. Cleared to 0 by user to configure the GPIO pin as an input.
23:16	Port x Data Output.
15:08	Reflect the State of Port x Pins at Reset (read only).
7:00	Port x Data input (read only).

การทำงานของ GPIO นั้นเราเริ่มต้นด้วยการกำหนดทิศทางของพอร์ตก่อนว่าจะให้เป็นอินพุตพอร์ตหรือเอาต์พุต โดยการกำหนดค่าที่รีจิสเตอร์ GPxDAT โดยค่าบิตใดที่เป็น 0 คือให้ขาของบิตนั้นเป็นอินพุต ถ้าให้ค่าเป็น 1 ของบิตนั้นจะเป็นเอาต์พุตตัวอย่าง เช่น ต้องการให้ขาของ P4.0-P4.3 เป็น input และ P4.4-P4.7 เป็น Output GP4DAT = 0xF0F00000 ;

หลังจากกำหนดให้พอร์ตเป็นเอาต์พุตแล้ว ถ้าต้องการสั่งให้พอร์ตที่เป็นเอาต์พุตนี้มีค่าเป็น 1 ต้องสั่งที่รีจิสเตอร์ GPxSET ตัวอย่างเช่น ต้องการให้ขา P4.4 และ P4.5 เป็น 1 จะต้องกำหนดค่าให้กับรีจิสเตอร์ GPxSET ดังนี้ GP4SET=0x00300000;

ตารางที่ 2.6 GPxSET Registers

Name	Address	Default Value	Access
GP0SET	0xFFFFF424	0x000000XX	W
GP1SET	0xFFFFF434	0x000000XX	W
GP2SET	0xFFFFF444	0x000000XX	W
GP3SET	0xFFFFF454	0x000000XX	W
GP4SET	0xFFFFF464	0x000000XX	W

ตารางที่ 2.7 GPxSET MMR Bit Descriptions

Bit	DESCRIPTION
31:24:00	Reserved.
23:16	Data PortxSet Bit. Set to 1 by user to set bit on portx;also sets the corresponding bit in the GPxDAT MMR. Cleared to 0by user; does not affect the data out.
15:00	Reserved

การเขียนค่าเป็น 0 ให้รีจิสเตอร์ GP4SET จะไม่มีผลต่อขาของพอร์ตที่ตรงกับบิตนั้นขาของพอร์ตจะมีค่าคงเดิม ถ้าต้องการสั่งให้พอร์ตที่เป็นเอาต์พุตนี้มีค่าเป็น 0 ต้องสั่งที่รีจิสเตอร์ GPxCLR ตัวอย่าง ต้องการสั่งให้ขา P4.5 และ P4.7 เป็น 0 จะต้องกำหนดค่าให้กับรีจิสเตอร์ GP4CLR ดังนี้ GP4CLR=0x00A00000;

ตารางที่ 2.8 GPxCLR Registers

Name	Address	Default Value	Access
GP0CLR	0xFFFFF428	0x000000XX	W
GP01LR	0xFFFFF438	0x000000XX	W
GP2CLR	0xFFFFF448	0x000000XX	W
GP3CLR	0xFFFFF458	0x000000XX	W
GP4CLR	0xFFFFF468	0x000000XX	W

ตารางที่ 2.9 GPxCLR MMR Bit Descriptions

Bit	DESCRIPTION
31:24:00	Reserved.
23:16	Data PortxSet Bit. Set to 1 by user to clear bit on portx; also clear the corresponding bit in the GPxDAT MMR. Cleared to 0 by user; does not affect the data out.
15:00	Reserved

ข้อควรระวัง ในการสั่งให้ขาพอร์ตมีค่าเป็น 0 นี้ไม่ได้สั่งให้เขียนค่าของ 0 ให้กับรีจิสเตอร์ GPxCLR ต้องเขียนเป็น 1 เท่านั้น

2.1.2 การติดต่อและการเขียนโปรแกรมสั่งงานของวงจรแปลงแอนะล็อกเป็นดิจิตอล(A/D)

ในปัจจุบันมีการนำไมโคร โปรเซสเซอร์ ไมโครคอนโทรลเลอร์และ คอมพิวเตอร์เข้ามาช่วยในการควบคุมอุปกรณ์ต่าง ๆ มากมาย ซึ่งทำให้การควบคุมนั้นทำได้ง่าย สะดวก และรวดเร็วยิ่งขึ้น แต่ในการควบคุมนั้นเราจำเป็นจะต้องใช้สัญญาณดิจิตอล ซึ่งในการติดต่อกับไมโครโปรเซสเซอร์ ไมโครคอนโทรลเลอร์ หรือคอมพิวเตอร์ แต่สัญญาณที่ใช้ในการควบคุมอุปกรณ์หรือกระบวนการต่าง ๆ นั้นจะเป็นสัญญาณแบบอนาล็อก ดังนั้นจึงจำเป็นอย่างมากที่จะต้องให้มีการเปลี่ยนแปลงค่า

สัญญาณอนาล็อกเป็นสัญญาณดิจิตอลเสียก่อน เพื่อให้ได้เป็นสัญญาณของไมโครโปรเซสเซอร์ไม่ว่ากรณีใดๆ ทั้งสิ้น อีกทั้งห้ามมิให้ตัดแปลงเนื้อหาและต้องอ้างอิงถึงเจ้าของเอกสารทุกครั้งที่มีการนำไปใช้

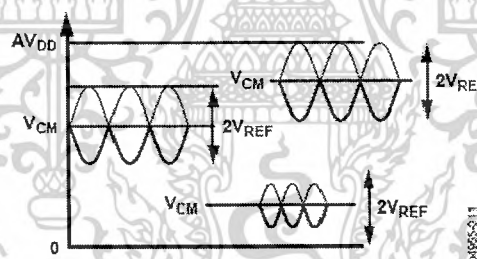
ไมโครคอนโทรลเลอร์หรือคอมพิวเตอร์ที่รู้จักกันแล้วนำจึงสัญญาณที่ได้ไปให้ไมโครโปรเซสเซอร์ ไมโครคอนโทรลเลอร์ หรือคอมพิวเตอร์เพื่อใช้ในการประมวลผลเพื่อควบคุมระบบต่อไป

แม้ว่าสัญญาณอนาล็อกนั้นมีความแน่นอนและแม่นยำสูงแต่สัญญาณอนาล็อกนั้นก็ควบคุมได้ยาก เนื่องจากในสภาพแวดล้อมมีสัญญาณรบกวนอยู่มากและ การที่จะทำให้ระบบการควบคุมแบบอนาล็อกมีความสามารถในการควบคุมได้เท่ากับการควบคุมแบบดิจิทัลนั้นจะทำได้ยาก เนื่องจากวงจรควบคุมแบบอนาล็อกมีความซับซ้อนสูง

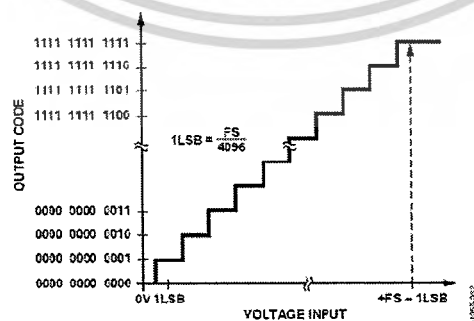
อย่างไรก็ตาม สัญญาณดิจิทัลก็ไม่ได้สามารถทดแทนความละเอียดของสัญญาณอนาล็อกได้อย่างสมบูรณ์แต่จะทำให้การควบคุมนั้นทำได้ง่าย และสะดวกยิ่งขึ้น

การแปลงสัญญาณอนาล็อกเป็นสัญญาณดิจิทัล มีประโยชน์มากในการควบคุมอุปกรณ์ สวิตซ์ซึ่งมีลักษณะการแปลงสัญญาณได้หลายวิธี ซึ่งแต่ละวิธีจะมีอัลกอริทึมที่มีความรวดเร็วในการทำงาน และการใช้อุปกรณ์ฮาร์ดแวร์ต่างกันด้วยทำให้ขนาดและราคาต่างกันจึงขึ้นกับอยู่ความต้องการของผู้ใช้ที่จะต้องเลือกให้เหมาะสมกับงานและงบประมาณที่มีอยู่

สำหรับฟังก์ชัน ADC ของไมโครคอนโทรลเลอร์ ADuC7024 นั้นจะมีขนาด 12-bit 10 channel สามารถรับสัญญาณอนาล็อกได้ตั้งแต่ 0 – VREF เมื่อทำงานอยู่ในโหมดของ single-ended และถ้าทำงานอยู่ในโหมด Fully Difference จะสามารถรับสัญญาณอินพุตแบบอนาล็อกได้ตั้งแต่ค่า 0 – AVDD ด้วยค่าแอมพลิจูดสูงสุดเท่ากับ 2VREF



ภาพที่ 2.2 แสดงรูปสัญญาณเมื่อทำงานอยู่ในโหมด Fully Difference



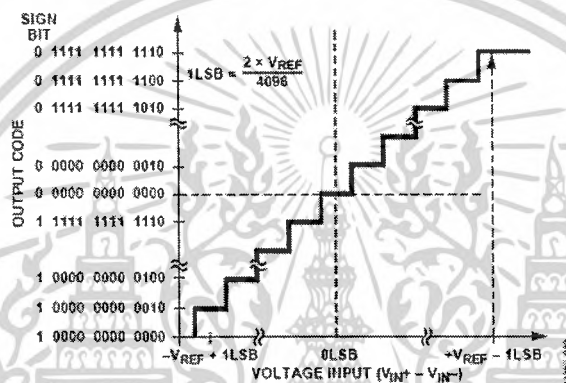
ภาพที่ 2.3 Pseudo Differential and Single-Ended Modes

เอกสารนี้เป็นเอกสารที่สงวนไว้สำหรับการใช้งานเพื่อการศึกษาเท่านั้น ไม่อนุญาตให้นำไปใช้ประโยชน์ด้านการค้า ไม่ว่าจะกรณีใดๆ ทั้งสิ้น อีกทั้งห้ามมิให้ตัดแปลงเนื้อหาและต้องอ้างอิงถึงเจ้าของเอกสารทุกครั้งที่มีการนำไปใช้

เมื่อไมโครคอนโทรลเลอร์ของเรานั้นได้ทำงานอยู่ในโหมดของ Pseudo Differential and Single-Ended ย่านในการทำงานที่สามารถรับอินพุตจากภายนอกจะอยู่ในช่วง 0 V ถึง VREF ถ้าจะแปลงให้เป็นรหัสเลขฐานสองทำได้โดย

1. $1 \text{ LSB} = \text{FS}/4096$ หรือ
2. $2.5 \text{ V}/4096 = 0.61 \text{ mV}$ หรือ
3. $610 \mu\text{V}$ when $\text{VREF} = 2.5 \text{ V}$

ซึ่งคุณสมบัติการแปลงสัญญาณในทางอุดมคติแสดงได้ดังภาพที่ 2.3 ส่วนในภาพที่ 2.4 เป็นคุณสมบัติ ของการแปลงสัญญาณ ADC เมื่อทำงานอยู่ใน โหมด Differential



ภาพที่ 2.4 การแปลงสัญญาณ ADC เมื่อทำงานอยู่ใน โหมด Differential

ตารางที่ 2.10 กำหนดค่าคุณสมบัติให้กับ ADC

Name	Address	Default Value	Access
ADCCON	0xFFFF0500	0x0600	R/W

สำหรับการเขียน โปรแกรมเพื่อให้สามารถรับสัญญาณอะนาล็อกได้นั้นจำเป็นที่จะต้องอ่านคู่มือของ MCU เบอร์นั้นๆ เพราะเนื่องจากว่า MCU แต่ละตัวก็จะมีลักษณะการเข้าถึงที่ต่างกันเพราะฉะนั้นการอ่านคู่มือของ MCU จึงมีความจำเป็นมาก

ตารางที่ 2.10 จะเป็นตารางสำหรับกำหนดค่าเริ่มต้นการทำงานให้กับ ADC เช่น ชื่อตัวแปร แอดเดรส รวมไปถึงการกำหนดโหมดการต่อใช้งานของ ADC ด้วยซึ่งสามารถที่จะเลือกรูปแบบการแปลงสัญญาณได้ตามตารางที่ 2.11

เอกสารนี้เป็นเอกสารที่สงวนไว้สำหรับการใช้งานเพื่อการศึกษาเท่านั้น ไม่อนุญาตให้นำไปใช้ประโยชน์ด้านการค้าไม่ว่ากรณีใดๆ ทั้งสิ้น อีกทั้งห้ามมิให้ดัดแปลงเนื้อหาและต้องอ้างอิงถึงเจ้าของเอกสารทุกครั้งที่มีการนำไปใช้

ตารางที่ 2.11 ADCCON MMR Bit Designations

Bit	Value	Description
15:13		Reserved
12:10		ADC clock speed.
	000	fADC/1.This divider is provided to obtain 1MSPS ADC with an external clock <41.78MHz
	001	fADC/2(default value)
	010	fADC/4
	011	fADC/8
	100	fADC/16
	101	fADC/32
9:08		ADC Acquisition time.
	00	2clocks
	01	4clocks
	10	8clocks
	11	16clocks
7		Enable start conversion
		Set by the user to start any type of conversion command. Cleared by the user to disable a start conversion (cleaning this bit does not stop the ADC when continuously converting:
6		Enable ADCbusy
		Set by the user to enable the ADCbusy pin Cleared by the user to disable the ADCbusy pin.
5		ADC power control.
		Set by the user to place the ADC in normal mode (the ADC must be powered up for at least 5 us before it converts correctly) Cleared by the user to place the ADC in power-down mode.

เอกสารนี้เป็นเอกสารที่สงวนไว้สำหรับการใช้งานเพื่อการศึกษาเท่านั้น ไม่อนุญาตให้นำไปใช้ประโยชน์ด้านการค้า
ไม่ว่ากรณีใดๆ ทั้งสิ้น อีกทั้งห้ามมิให้ดัดแปลงเนื้อหาและต้องอ้างอิงถึงเจ้าของเอกสารทุกครั้งที่มีการนำไปใช้

ตารางที่ 2.11 (ต่อ) ADCCON MMR Bit Designations

Bit	Value	Description
4:03		Conversion type
	00	Single-ended mode.
	10	pseudo differential mode
	11	Reserved
2:00		Conversion type
	000	Enable CONVstart pin as a conversion input.
	001	Enable timer1 as a conversion input.
	010	Enable timer0 as a conversion input.
		Single software conversion; sets to 000 after conversion (Bit 7 of ADCCON MMR should be cleared after starting a single software conversion to avoid further conversions triggered by the CONVstart pin)
	011	
	100	Continuous software conversion
	101	PLA conversion
	Other	Reserved

ตารางที่ 2.12 ADCCP Register

Name	Address	Default Value	Access
ADCCP	0xFFFF0504	0x00	R/W

ADCCP ย่อมาจาก ADC Positive Channel เป็นการเลือก Channel สำหรับการแปลงค่าสัญญาณอนาล็อกให้เป็นสัญญาณดิจิทัลที่เป็นสัญญาณแบบบวกซึ่งตารางสำหรับการเลือกดูได้จากตารางที่ 2.13

เอกสารนี้เป็นเอกสารที่สงวนไว้สำหรับการใช้งานเพื่อการศึกษาเท่านั้น ไม่อนุญาตให้นำไปใช้ประโยชน์ด้านการค้าไม่ว่ากรณีใดๆ ทั้งสิ้น อีกทั้งห้ามมิให้ดัดแปลงเนื้อหาและต้องอ้างอิงถึงเจ้าของเอกสารทุกครั้งที่มีการนำไปใช้

ตารางที่ 2.13 ADCCP MMR Bit Designation

Bit	Value	Description
7:05		Reserved
4:00		Positive channel selection bits
	00000	ADC0
	00001	ADC1
	00010	ADC2
	00011	ADC3
	00100	ADC4
	00101	ADC5
	00110	ADC6
	00111	ADC7
	01000	ADC8
	01001	ADC9
	01010	ADC10
	01011	ADC11
	01100	DAD0/ADC12
	01101	DAD1/ADC13
	01110	DAD2/ADC14
	01111	DAD3/ADC15
	10000	Temperature sensor
	10001	AGND (self-diagnostic feature)
	10010	Internal reference(self-diagnostic feature)
	10011	Avlo/2
	Others	reserved

เอกสารนี้เป็นเอกสารที่สงวนไว้สำหรับการใช้งานเพื่อการศึกษาเท่านั้น ไม่อนุญาตให้นำไปใช้ประโยชน์ด้านการค้า
ไม่ว่ากรณีใดๆ ทั้งสิ้น อีกทั้งห้ามมิให้ดัดแปลงเนื้อหาและต้องอ้างอิงถึงเจ้าของเอกสารทุกครั้งที่มีการนำไปใช้

ตารางที่ 2.14 ADCCN Register

Name	Address	Default Value	Access
ADCCN	0xFFFF0508	0x01	R/W

ADCCN ย่อมาจาก ADC Negative Channel เป็นการเลือก Channel สำหรับการแปลงสัญญาณอนาล็อกเป็นสัญญาณดิจิทัลที่เป็นสัญญาณแบบลบ ซึ่งสำหรับการเลือกดูได้จากตาราง

ตารางที่ 2.15 ADCCN MMR Bit Designation

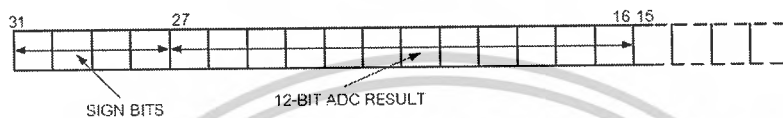
Bit	Value	Description
7:05		Reserved
4:00		Negative channel selection bits
	00000	ADC0
	00001	ADC1
	00010	ADC2
	00011	ADC3
	00100	ADC4
	00101	ADC5
	00110	ADC6
	00111	ADC7
	01000	ADC8
	01001	ADC9
	01010	ADC10
	01011	ADC11
	01100	DAD0/ADC12
	01101	DAD1/ADC13
	01110	DAD2/ADC14
	01111	DAD3/ADC15
	10000	Internal reference(self-diagnostic feature)
	Others	Reserved

เอกสารนี้เป็นเอกสารที่สงวนไว้สำหรับการใช้งานเพื่อการศึกษาเท่านั้น ไม่อนุญาตให้นำไปใช้ประโยชน์ด้านการค้าไม่ว่ากรณีใดๆ ทั้งสิ้น อีกทั้งห้ามมิให้ดัดแปลงเนื้อหาและต้องอ้างอิงถึงเจ้าของเอกสารทุกครั้งที่มีการนำไปใช้

ตารางที่ 2.16 ADCDAT Register

Name	Address	Default Value	Access
ADCDAT	0xFFFF0510	0x00000000	R

ADCDAT คือ ADC Data result register ซึ่งมีขนาด 12 bit แสดงได้ดังภาพด้านล่าง โดยที่ 4 บิตบน (27-31) ส่วนรูปแบบผลลัพธ์ของข้อมูลขนาด 12 บิต นั้นจะเริ่มตั้งแต่บิตที่ 16-27



ภาพที่ 2.5 การแสดงผลที่ข้อมูล

ตารางที่ 2.17 ADCRST Register

Name	Address	Default Value	Access
ADCSTA	0xFFFF050C	0x00	R

ADCRST เป็นการรีเซ็ตค่าของข้อมูลในรีจิสเตอร์และทำการเขียนข้อมูลค่าเริ่มต้นลงไปยังรีจิสเตอร์

ตารางที่ 2.18 ADCGN Register

Name	Address	Default Value	Access
ADCGN	0xFFFF0530	0x0200	R/W

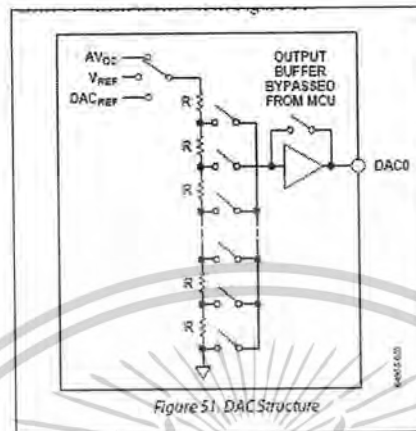
ADCGN ใช้สำหรับสอบเทียบ (Calibration) รีจิสเตอร์

เอกสารนี้เป็นเอกสารที่สงวนไว้สำหรับการใช้งานเพื่อการศึกษาเท่านั้น ไม่อนุญาตให้นำไปใช้ประโยชน์ด้านการค้าไม่ว่ากรณีใดๆ ทั้งสิ้น อีกทั้งห้ามมิให้ดัดแปลงเนื้อหาและต้องอ้างอิงถึงเจ้าของเอกสารทุกครั้งที่มีการนำไปใช้

สำนักหอสมุดกลาง พระจอมเกล้าลาดกระบัง

2.1.3 การติดต่อและการเขียนโปรแกรมสั่งงานของวงจรแปลงดิจิทัลเป็นอนาลอก (D/A)

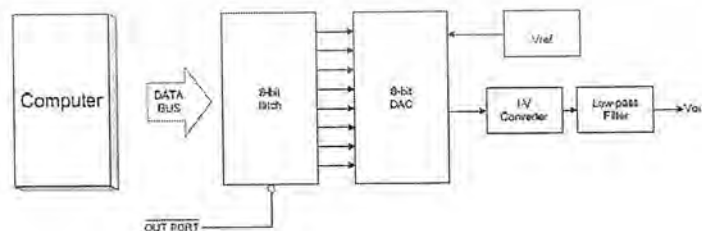
มี D/A จำนวน 2 ช่อง อินพุตเป็นสัญญาณอนาลอกขนาด 12 บิต ขนาดของแรงดันเอาต์พุตอยู่ที่ $0 - V_{REF}$, $0 - A_{VDD}$, $0 - DAC_{REF}$ แล้วแต่จะเลือกใช้



ภาพที่ 2.6 วงจรแปลงดิจิทัลเป็นอนาลอก (D/A)

หลักการทำงานเมื่อมีลอจิก 1 เข้ามาเหมือนกับสวิตช์ทำให้เกิดการแบ่งแรงดันส่งต่อผ่านออปแอมป์ ทำให้เกิดแรงดันที่เอาต์พุตลอจิกที่มีนัยสำคัญมากกว่าถูกสั้นอยู่ก็จะทำให้ได้รับค่าสัญญาณเอาต์พุตมากขึ้นตามไปด้วย

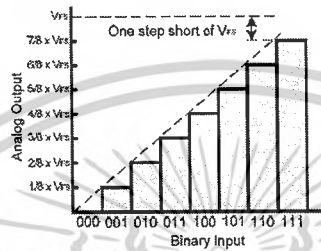
สัญญาณควบคุมอุปกรณ์ โดยทั่วไป เช่น มอเตอร์ นั้นจะเป็นสัญญาณแบบอนาล็อกที่ใช้กับค่า (แบบต่อเนื่อง) เช่น แรงดันไฟฟ้า, กระแสไฟฟ้า เป็นต้น ส่วนสัญญาณที่ได้จากคอมพิวเตอร์ หรือ ไมโครคอนโทรลเลอร์ซึ่งจะเป็นสัญญาณแบบดิจิทัล (แบบไม่ต่อเนื่อง) เมื่อเราได้นำระบบดิจิทัล หรือใช้ไมโครคอนโทรลเลอร์มาใช้ควบคุมอุปกรณ์แบบอนาล็อกเหล่านี้ จึงต้องมีวงจรในการแปลงสัญญาณทางดิจิทัลเป็นสัญญาณแบบอนาล็อก ตั้งแต่ศูนย์โวลต์จนถึงระดับสูงสุดที่กำหนดไว้ เรียกว่าวงจร Digital to Analog Converter (DAC)



ภาพที่ 2.7 ระบบการแปลงสัญญาณดิจิทัลเป็นอนาล็อก

เอกสารนี้เป็นเอกสารที่สงวนไว้สำหรับการใช้งานเพื่อการศึกษาเท่านั้น ไม่อนุญาตให้นำไปใช้ประโยชน์ด้านการค้า ไม่ว่ากรณีใดๆ ทั้งสิ้น อีกทั้งห้ามมิให้ตัดแปลงเนื้อหาและต้องอ้างอิงถึงเจ้าของเอกสารทุกครั้งที่มีการนำไปใช้

ในภาพที่ 2.7 เป็นการแสดงถึงส่วนประกอบหลักของระบบ DAC โดยทั่วไปคอมพิวเตอร์จะมีเอาต์พุตเป็นค่าไบนารีซึ่ง วงจรเลขจะรับค่าไบนารีเข้ามาเพื่อส่งไปยัง DAC ในวงจรนี้จะใช้แหล่งกำเนิดแรงดัน หรือกระแสคงที่เพื่ออ้างอิงในการแปลงข้อมูลไบนารีเป็นระดับกระแสต่อมาจะมีวงจรแปลงจากกระแสเป็นระดับแรงดัน (current-to-voltage converter) ซึ่งปกติจะใช้โอปแอมป์สัญญาณอนาล็อกที่ได้จะผ่านวงจร low-pass filter เพื่อกำจัดสัญญาณความถี่สูงที่แฝงอยู่ในรูปของสัญญาณที่ถูกสร้างขึ้นมา



ภาพที่ 2.8 Transfer Curve ในอุดมคติของ DAC 3 บิต

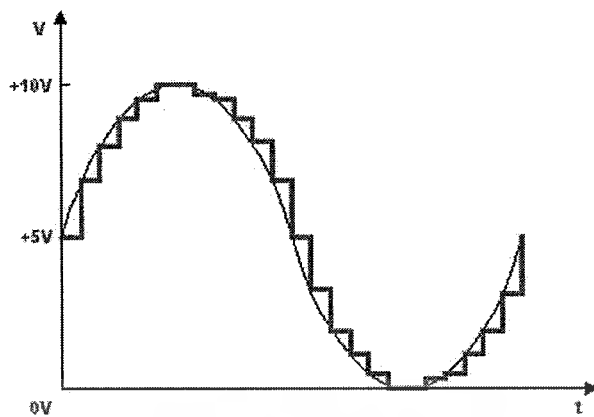
ในภาพที่ 2.8 เป็นกราฟแสดงถึงความสัมพันธ์ระหว่าง เอาต์พุตที่เป็นอนาล็อกกับอินพุตที่เป็นดิจิทัลขนาด 3 บิตเรียกว่า transfer curve สังเกตว่าเมื่ออินพุตไบนารีเพิ่มขึ้นเอาต์พุตอนาล็อกจะเพิ่ม ในลักษณะขั้นบันได ขนาดของแต่ละขั้นจะ หาได้จาก

$$\text{Step size} = \text{VFS}/2^n \quad (2.1)$$

เมื่อให้ VFS คือ ระดับแรงดันเอาต์พุตสูงสุด

n คือ จำนวนบิตของอินพุต

เนื่องจากเอาต์พุตของ DAC จะเพิ่มเป็นขั้น ๆ รูปคลื่นสัญญาณที่ได้จาก DAC จึงมีลักษณะไม่เรียบดังตัวอย่าง ในภาพที่ 2.9 ซึ่งแสดงถึงสัญญาณซำซัน ที่สร้างจาก DAC



ภาพที่ 2.9 คลื่นซายน์ที่สร้างจาก DAC

ถ้าทำการเพิ่มจำนวนบิตของความละเอียดของ DAC จะเพิ่มขึ้นเช่น เมื่อเราใช้ DAC 12 บิต และ $V_{FS} = 5.0 \text{ V}$ ความละเอียดคือ $5.0 \text{ V} / 4096 = 1.22 \text{ mV}$ ซึ่งจะ ละเอียดกว่า DAC 8 บิตถึง 16 เท่า ความถูกต้องของค่า DAC ขึ้นอยู่กับองค์ประกอบต่างๆ หลายส่วน ดังต่อไปนี้

1. Quantization error DAC บิต $V_{FS} = 5.0 \text{ V}$ เอาต์พุตจะมีความละเอียด 19.53 mV ถ้าจะ ต้องการให้เอาต์พุตมี 4.00 V DAC จะให้เอาต์พุตได้ใกล้เคียงที่สุดคือ 4.04 V ($19.53 \text{ mV} \times 205$) ค่า ผิดพลาด 4 mV โดยทั่วไปค่าผิดพลาดจะเท่ากับ $\pm 0.5 \text{ LSB}$ (least significant bit) ตัวอย่างเช่นถ้า DAC 8 บิต ความผิดพลาดจะเป็น 1 ใน 512 หรือ $\pm 0.195 \%$

2. Offset and gain errors เมื่ออินพุต ไบนารีมีค่าเท่ากับ 0 แต่ถ้าเอาต์พุตของ DAC ไม่เป็น ค่า 0 เรียกว่า offset error และอาจเกิดร่วมกับ gain error ความผิดพลาดเหล่านี้จะทำให้ค่าของ transfer curve ในภาพที่ 2.9 จะ โค้งขึ้นหรือลงขึ้นอยู่กับความไม่สมดุลภายใน DAC ใดๆก็ตาม offset error และ gain error จะแก้ไขได้โดยใช้ความต้านทานปรับค่าได้ต่อไว้ภายนอก

3. Nonlinearity คือค่าความคลาดเคลื่อนสูงสุดของ transfer curve เทียบกับเส้นตรงจากจุด ศูนย์และจุดสูงสุด ซึ่งมันจะขึ้นอยู่กับความผิดพลาดของส่วนประกอบภายใน DAC ใน data sheet ของ DAC จะระบุเป็นเปอร์เซ็นต์เทียบกับค่าสูงสุด หรือในการที่จะระบุเป็นเศษส่วนของค่า LSB (โดยทั่วไปคือ $\pm 0.5 \text{ LSB}$)

4. Settling time คือช่วงเวลานับแต่ให้อินพุตจนกระทั่ง DAC ให้ เอาต์พุต วัตเมื่อเอาต์พุตที่ได้ ผิดพลาดจากค่าจริงน้อยกว่า 0.5 LSB ค่าเวลานี้อาจน้อยกว่า 100 ns สำหรับ DAC มีความเร็วสูง และอาจมากกว่า $100 \mu\text{s}$ สำหรับ DAC ราคาถูก

สำหรับการใช้งาน DAC ในไมโครคอนโทรลเลอร์ ARM7 เบอร์ ADuC7024 นั้นจะมีขนาด 12-bit 2 Channel มีย่านการใช้งาน 2 ย่าน คือ $0 \text{ V} - V_{REF}$ และ $0 \text{ V} - AV_{DD}$ ตัวอย่างการกำหนด รีจิสเตอร์ DAC0CON (ดูจากตารางที่ 2.19) และ DAC0DAT (ดูจากตารางที่ 2.4) ส่วน ตารางที่ 2.19 และ 2.20 นั้นจะเป็นตารางสำหรับบอกถึงรีจิสเตอร์ DAC x CON และ DAC x DAT ทั้งหมดที่มีใช้ และบอกแอดเดรสของรีจิสเตอร์แต่ละตัว

เอกสารนี้เป็นเอกสารที่สงวนไว้สำหรับการใช้งานเพื่อการศึกษาเท่านั้น ไม่อนุญาตให้นำไปใช้ประโยชน์ด้านการค้า ไม่ว่ากรณีใดๆ ทั้งสิ้น อีกทั้งห้ามมิให้ตัดแปลงเนื้อหาและต้องอ้างอิงถึงเจ้าของเอกสารทุกครั้งที่มีการนำไปใช้

ตารางที่ 2.19 DACxCON Registers

Name	Address	Default Value	Access
DAC0CON	0xFFFF0600	0x00	R/W
DAC1CON	0xFFFF0608	0x00	R/W
DAC2CON	0xFFFF0610	0x00	R/W
DAC3CON	0xFFFF0618	0x00	R/W

ตารางที่ 2.20 DAC0CON MMR Bit Designations

Bit	Value	Name	Description
6			Reserved
5		DACCLK	DAC Update Rate. Set by user to update the DAC using Timer1. Cleared by user to update the DAC using HCLK(core clock).
4		DACCLR	DAC Clear Bit. Set by user to enable normal DAC operation. Cleared by user to reset data register of the DAC to 0.
3			Reserved. This bit should be left at 0.
2			Reserved. This bit should be left at 0.
1:0			
	00		Power-Down Mode. The DAC output is in tristate
	01		0V to DACref Range.
	10		0V to Vref(2.5V) Range.
	11		0V to Avdd Range.

ตารางที่ 2.21 DACxDAT Registers

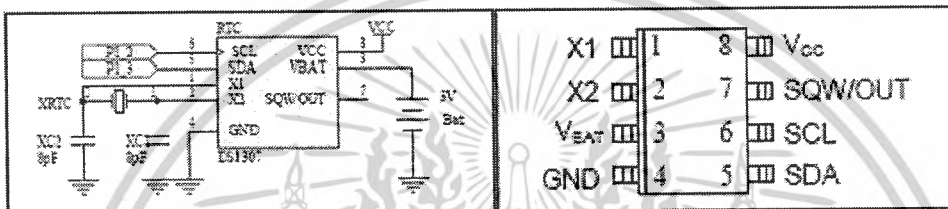
Name	Address	Default Value	Access
DAC0DAT	0xFFFF0604	0x00000000	R/W
DAC1DAT	0xFFFF060C	0x00000000	R/W
DAC2DAT	0xFFFF0614	0x00000000	R/W
DAC3DAT	0xFFFF061C	0x00000000	R/W

เอกสารนี้เป็นเอกสารที่สงวนไว้สำหรับการใช้งานเพื่อการศึกษาเท่านั้น ไม่อนุญาตให้นำไปใช้ประโยชน์ด้านการค้า
ไม่ว่ากรณีใดๆ ทั้งสิ้น อีกทั้งห้ามมิให้ดัดแปลงเนื้อหาและต้องอ้างอิงถึงเจ้าของเอกสารทุกครั้งที่มีการนำไปใช้

ตารางที่ 2.22 DAC0DAT MMR Bit Designations

Bit	DESCRIPTION
31:24	Reserved.
27:16	12-bit data for DAC0
15:0	Reserved

2.1.4 เขียนโปรแกรมติดต่อกับ REAL TIME CLOCK



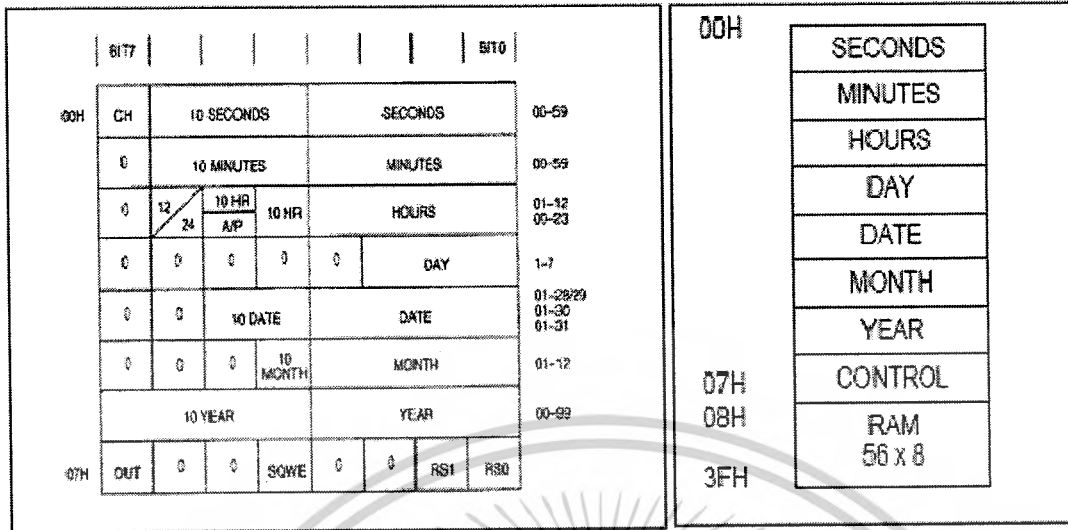
ภาพที่ 2.10 ลักษณะวงจรการต่อสายและรายละเอียดขาสัญญาณต่างๆ

หน้าที่การทำงานของแต่ละขา

1. Vcc - แหล่งจ่ายไฟฟ้า
2. X1,X2 - ขาต่อคริสตอลความถี่ 32.768 kHz
3. Vbat - +3V แหล่งจ่ายไฟสำรอง
4. GND - กราวด์
5. SDA - Serial data line ขาสัญญาณข้อมูลอนุกรม
6. SCL - Serial clock line ขาสัญญาณนาฬิกา
7. SQW/OUT - ขาสัญญาณรูปคลื่นสี่เหลี่ยมเอาต์พุต

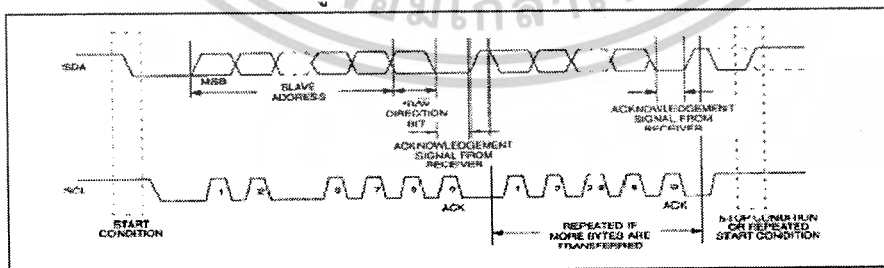
เอกสารนี้เป็นเอกสารที่สงวนไว้สำหรับการใช้งานเพื่อการศึกษาเท่านั้น ไม่อนุญาตให้นำไปใช้ประโยชน์ด้านการค้า ไม่ว่าจะกรณีใดๆ ทั้งสิ้น อีกทั้งห้ามมิให้ดัดแปลงเนื้อหาและต้องอ้างอิงถึงเจ้าของเอกสารทุกครั้งที่มีการนำไปใช้

ตารางที่ 2.23 แสดงแอดเดรสของ Register ต่างๆ ใน DS1307



DS1307 มีขนาด 64 * 8 ในแต่ละแอดเดรสของข้อมูลจะมีขนาด 8 บิต เริ่มตั้งแต่แอดเดรสที่ 00H-06H มีไว้สำหรับเขียนหรือ การอ่านข้อมูลที่เป็น วินาที, นาที, ชั่วโมง, วัน, วันที่, เดือน, ปี ไปตามลำดับ แต่ในส่วนการใช้งานนั้นถ้าต้องการเขียนปี 07 ลงไปใน register จะต้องอ้างอิงแอดเดรสก่อนคือ ให้แอดเดรสที่ 06H ต่อจากนั้นก็เขียนข้อมูลลงไปได้เลข คือ 07H ซึ่งตัวอย่างของคำสั่งนี้คือ WriteDS1307(0x06,0x07); ลำดับการทำงานของคำสั่งนี้จะต้องส่ง 06H ออกไปก่อนต่อจากนั้นเราก็จะทำการส่งข้อมูล 07H ตามออกไปแอดเดรสที่ 07H นั้นซึ่งเป็นส่วนของการควบคุมการผลิตของสัญญาณพัลส์ ซึ่งเราสามารถที่จะต่อออกไปใช้งานภายนอกได้ส่วนแอดเดรสตั้งแต่ 08H-3FH นั้นเป็นส่วนของแรมที่สามารถที่จะเก็บข้อมูลได้ขนาด 56*8 บิต

TIMING DIAGRAM ของการส่งถ่ายข้อมูลแบบ I2C



ภาพที่ 2.11 Timing Diagram การส่งข้อมูล

เอกสารนี้เป็นเอกสารที่สงวนไว้สำหรับการใช้งานเพื่อการศึกษาเท่านั้น ไม่อนุญาตให้นำไปใช้ประโยชน์ด้านการค้า ไม่ว่ากรณีใดๆ ทั้งสิ้น อีกทั้งห้ามมิให้ตัดแปลงเนื้อหาและต้องอ้างอิงถึงเจ้าของเอกสารทุกครั้งที่มีการนำไปใช้

จากภาพที่ 2.11 สังเกตได้ว่าถ้า SCL เป็นลอจิก 1 แบบค้างสถานะแล้ว SDA มีการเปลี่ยนแปลงข้อมูลจะถือว่าการเปลี่ยนแปลงนั้นไม่ใช่ข้อมูล ในช่วงเริ่มต้น (start condition) SCL เป็นลอจิก 1 SDA เป็นช่วงขอบขาลงหลังจากผ่านสัญญาณ start แล้วตัว master จะส่งแอดเดรสไปให้กับตัว slave (DS1307) ว่าจะติดต่อกับตัวไหนในบอร์ดทดลองนี้ DS1307 อยู่ที่ 0xD หลังจากนั้นจะส่งบิตให้ R/W เพื่อบอกว่าต้องการเขียนหรืออ่าน 1=อ่าน, 0=เขียน เช่น 0xD0 เป็นการติดต่อเพื่อทำการเขียนเป็นต้น ซึ่งหลังจากนั้นตัว master จะหยุดส่ง SDA แต่ส่ง SCL ออกไปหนึ่งลูกและรอรับสัญญาณจาก DS1307 ว่าทราบข้อมูลหรือ ยังถ้าตัวลูกส่ง ACK ตอบกลับมาว่าทราบแล้ว master จะส่งข้อมูลไบต์ถัดไปตามมาถ้าส่งครบแล้วตัว master จะทำให้ SDA,SCL เป็นลอจิก 1 คือช่วงของ stop condition

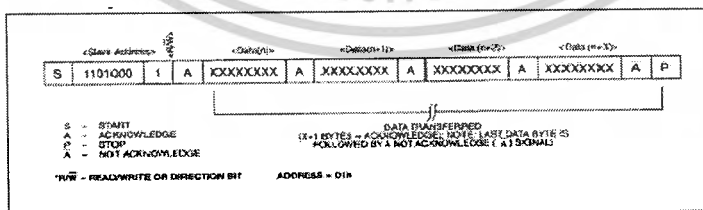
โหมดการเขียนข้อมูล



ภาพที่ 2.12 โหมดการเขียนข้อมูล

ในโหมดนี้ตัวไมโครคอนโทรลเลอร์ (Master) ต้องการติดต่อกับ DS1307 (slave) เพื่อทำการเขียนข้อมูลหลังจากผ่าน start condition ไปแล้วตัว master จะส่งข้อมูล 0xD0 เพื่ออ้างอิงถึงตำแหน่งและการเขียนต่อจากนั้นก็ส่ง ACK รอการตอบกลับตามด้วยข้อมูลและ stop bit เป็นการสิ้นสุดโหมดการเขียนข้อมูล

โหมดการอ่านข้อมูล



ภาพที่ 2.13 การอ่านข้อมูล

เอกสารนี้เป็นเอกสารที่สงวนไว้สำหรับการใช้งานเพื่อการศึกษาเท่านั้น ไม่อนุญาตให้นำไปใช้ประโยชน์ด้านการค้า ไม่ว่าจะกรณีใดๆ ทั้งสิ้น อีกทั้งห้ามมิให้ดัดแปลงเนื้อหาและต้องอ้างอิงถึงเจ้าของเอกสารทุกครั้งที่มีการนำไปใช้

ในโหมดนี้ตัวไมโครคอนโทรลเลอร์ (Master) ต้องการติดต่อกับ DS1307 (slave) เพื่อทำการอ่านข้อมูลหลังจากผ่าน start condition ไป แล้วตัว master จะทำการส่งข้อมูล 0xD1 เพื่อใช้ในการอ้างอิงถึงตำแหน่งและการอ่าน ต่อจากนั้นก็ส่ง ACK รอการตอบกลับตามด้วยข้อมูลและ stop bit เป็นการสิ้นสุดโหมดการเขียนข้อมูล

2.1.5 การอินเทอร์รัปต์ (Interrupt)

การอินเทอร์รัปต์ คือ การขัดจังหวะการทำงานของโปรแกรมกล่าวคือ ถ้าโปรแกรมทำงานอยู่ในภาวะปกติแล้วเกิดมีการร้องขอให้ไปทำงานอื่นก่อน แล้วจึงจะกลับมาทำงานในสภาวะปกติ ลักษณะเช่นนี้เรียกว่า “การอินเทอร์รัปต์” การอินเทอร์รัปต์ของ ADuC7024 นั้นจะมีการใช้งานของอินเทอร์รัปต์จากแหล่งต่าง ๆ ได้ถึง 23 แหล่ง เช่น อินเทอร์รัปต์ ADC และการอินเทอร์รัปต์ UART เป็นต้น นอกจากนี้แล้วยังมีอินเทอร์รัปต์อีก 4 ตัว ที่มาจากภายนอกผ่านขา IRQ0, IRQ1, IRQ2, และ IRQ3 การอินเทอร์รัปต์ของ ARM7TDMI มีการอินเทอร์รัปต์อยู่ 2 ชนิด คือ การอินเทอร์รัปต์ปกติ (IRQ) การอินเทอร์รัปต์แบบเร็ว (FIQ) ซึ่งในการอินเทอร์รัปต์ทั้งหมดสามารถทำงานแยกกันได้โดยรีจิสเตอร์ต่าง ๆ ของอินเทอร์รัปต์แสดงได้ดังตารางที่ 2.24

ตารางที่ 2.24 IRQ/FIQ MMRs Bit Description

Bit	Description
0	All Interrupts OR'ed
1	SW1
2	Timer0
3	Timer1
4	Wake-Up Timer-Timer2
5	Watchdog Timer-Timer3
6	Flash Control
7	ADC Channel
8	PLL Lock
9	I2C0 Slave
10	I2C0 Master
11	I2C1 Master
12	SPI Slave

เอกสารนี้เป็นเอกสารที่สงวนไว้สำหรับการใช้งานเพื่อการศึกษาเท่านั้น ไม่อนุญาตให้นำไปใช้ประโยชน์ด้านการค้า ไม่ว่ากรณีใดๆ ทั้งสิ้น อีกทั้งห้ามมิให้ดัดแปลงเนื้อหาและต้องอ้างอิงถึงเจ้าของเอกสารทุกครั้งที่มีการนำไปใช้

ตารางที่ 2.24 (ต่อ) IRQ/FIQ MMRs Bit Description

Bit	Description
13	SPI Master
14	UART
15	External IRQ0
16	Comparator
17	PSM
18	External IRQ1
19	PLA IRQ0
20	PLA IRQ1
21	External IRQ2
22	External IRQ3
23	PWM Trip (IRQ only)/PWM Sync(FIQ only)

ตารางที่ 2.25 IRQSTA Register

Name	Address	Default Value	Access
IRQSTA	0xFFFF0000	0x00000000	R

IRQSTA เป็นรีจิสเตอร์สำหรับอ่านอย่างเดียว ซึ่งจะแสดงสถานะของเฟล็กซ์ ถ้าเซ็ทบิตใดบิตหนึ่งเป็น 1 จะทำให้การอินเตอร์รัปต์เกิดขึ้น

ตารางที่ 2.26 IRQSIG Register

Name	Address	Default Value	Access
IRQSIG	0xFFFF0004	0x00XXX000	R

IRQSIG เป็นรีจิสเตอร์ที่ใช้อ่านค่าอย่างเดียว จะแสดงเฟล็กซ์อินเตอร์รัปต์

ตารางที่ 2.27 IRQEN Register

Name	Address	Default Value	Access
IRQEN	0xFFFF0008	0x00000000	R/W

เอกสารนี้เป็นเอกสารที่สงวนไว้สำหรับการใช้งานเพื่อการศึกษาเท่านั้น ไม่อนุญาตให้นำไปใช้ประโยชน์ด้านการค้าไม่ว่ากรณีใดๆ ทั้งสิ้น อีกทั้งห้ามมิให้ดัดแปลงเนื้อหาและต้องอ้างอิงถึงเจ้าของเอกสารทุกครั้งที่มีการนำไปใช้

IRQEN เป็นรีจิสเตอร์ที่อ่านและเขียน ถ้าเซทบิตให้เป็น 1 หมายถึงการ Enables ถ้าเซทให้เป็น 0 หมายถึงการ Disable

ในไมโครคอนโทรลเลอร์ ADuC7024 มี Timer สำหรับให้เลือกใช้งานมี 4 ตัวด้วยกัน คือ

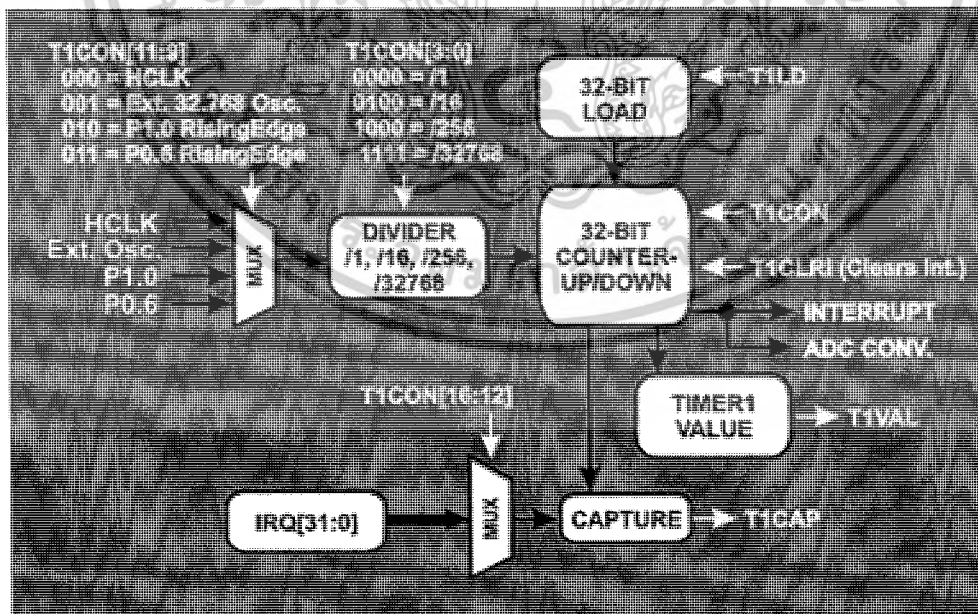
1. Timer0 (RTOS Timer), count-down
2. Timer1 (General Use Timer), count-down i count-up
3. Timer2 (Wake Up / general use timer), count-down i count-up
4. Timer3 (Watchdog timer), count-down, count-up

ใน Timers หนึ่งตัวสามารถทำงานได้สองโหมดคือ

1. freerun สำหรับในกรณีนี้ เป็น Timer ซึ่งจะทำการเริ่มนับจากค่าสูงสุดลงมาจนถึงค่าต่ำสุด(timer count down) จากนั้นจะเริ่มนับจากค่าต่ำสุดไปจนถึงค่าสูงสุด (timer count-up)
2. periodic (okresowy) ในกรณีนี้ Timer ซึ่งจะเริ่มนับจากค่าสูงสุดใน Load Register ให้ (TxLD) ลงมาจนถึงค่าต่ำสุด (timer count - down) จากนั้นให้ทำการเริ่มนับจากค่าต่ำสุดใน Load Register (TxLD) ไปจนถึงค่าสูงสุด(timer count-up) สำหรับโหมด Periodic จะทำงานตามสมการ

$$Interval = \frac{(TxLD) Prescaler}{SourceClock} \quad (2.2)$$

Timer1 (General purpose timer)

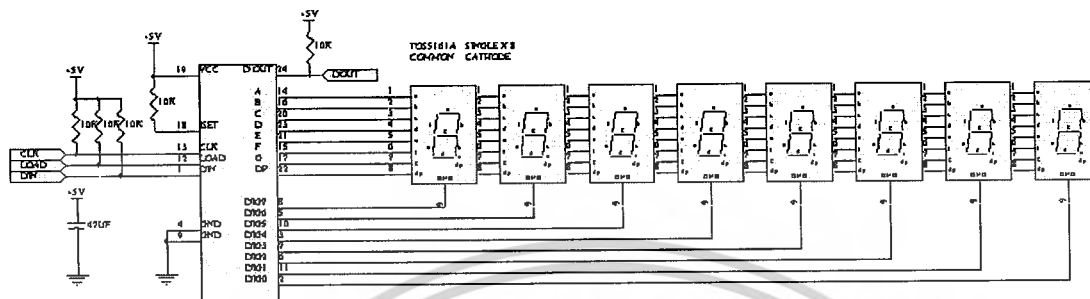


ภาพที่ 2.14 ภาพโครงสร้างของ Timer

เอกสารนี้เป็นเอกสารที่สงวนไว้สำหรับการใช้งานเพื่อการศึกษาเท่านั้น ไม่อนุญาตให้นำไปใช้ประโยชน์ด้านการค้า ไม่ว่าจะกรณีใดๆ ทั้งสิ้น อีกทั้งห้ามมิให้ดัดแปลงเนื้อหาและต้องอ้างอิงถึงเจ้าของเอกสารทุกครั้งที่มีการนำไปใช้

รีจิสเตอร์ของ T1 คือ: TILD, TIVAL, TICON, TICLRI, TICAP

2.1.6 การติดต่อและสั่งงาน Display 7-Segment 8 Digit กับไมโครคอนโทรลเลอร์ ARM7



ภาพที่ 2.15 วงจร Display 7-Segment 8 Digit กับ ไมโครคอนโทรลเลอร์ ARM7

สำหรับการควบคุมการทำงานของอุปกรณ์แสดงผลแบบ 7 ส่วน (7-Segment) นั้นโดยปกติแล้วเราจะใช้สัญญาณที่ได้จากไมโครคอนโทรลเลอร์ของเราไปทำให้ 7 Segment ทำงานโดยตรงเลยไม่ได้ เนื่องจาก 7 Segment นั้นต้องการกระแสในการทำให้ติดค่อนข้างสูงด้วยเหตุนี้เองจึงจำเป็นต้องมีไอซีอีกอย่างน้อย 1 ตัวที่จะคอยทำหน้าที่ในเปลี่ยนสัญญาณที่ได้รับจากไมโครคอนโทรลเลอร์และขยายสัญญาณให้สามารถที่จะไปขับ 7 Segment ติดได้ ซึ่งในบอร์ดนี้ใช้ไอซีเบอร์ MAX7219 เป็นบอร์ดที่ใช้ในการทดลองนี้จะสังเกตเห็นได้ว่าจะมีไอซีเบอร์ MAX7219 ที่ทำหน้าที่ควบคุมการทำงานของ 7 Segment ซึ่งลักษณะการต่อวงจรใช้งานของ MAX 7219 กับ 7 Segment แสดงภาพที่ 2.15

คุณสมบัติของวงจรที่ใช้ IC MAX 7219

1. ทำงานที่ความเร็วสูงถึง 10 เมกะเฮิร์ตซ์
 2. สามารถควบคุมการแสดงผลของแผงแสดงผลแบบตัวเลข 7 ส่วนชนิดคอมมอนคาโทดได้ 8 หลัก ต่อวงจรควบคุม 1 วงจร
 3. สามารถควบคุมความสว่างของการแสดงผลได้ 16 ระดับ ด้วย Soft-Ware
 4. ใช้การเชื่อมต่อแบบอนุกรมโดยใช้สัญญาณในการเชื่อมต่อแค่เพียง 3 เส้นทำให้ประหยัด พอร์ตควบคุมได้เป็นอย่างมาก
 5. ใช้การสั่งงานให้แสดงผลเพียงครั้งเดียว หลังจากนั้นจะทำการควบคุมการแสดงผลของแผงแสดงผลทุกหลักเอง จนกว่าเราจะต้องการเปลี่ยนค่าการแสดงผลเป็นค่าใหม่จึงจะส่งข้อมูลและคำสั่งใหม่ให้กับ IC อีก ทำให้ง่ายต่อการเขียนโปรแกรมควบคุมเพราะเราสามารถให้ CPU ไปใช้ทำงานอย่างอื่น ได้โดยไม่ต้องกลัวว่าส่วนแสดงผลจะหยุดทำงาน
- เอกสารนี้เป็นเอกสารที่สงวนไว้สำหรับการใช้งานเพื่อการศึกษาเท่านั้น เมื่อนุญาตให้นำไปใช้ประโยชน์ด้านการค้าไม่ว่ากรณีใดๆ ทั้งสิ้น อีกทั้งห้ามมิให้ตัดแปลงเนื้อหาและต้องอ้างอิงถึงเจ้าของเอกสารทุกครั้งที่มีการนำไปใช้

การทำงาน มีสัญญาณในการเชื่อมต่อเพียง 4 เส้นดังนี้ คือ

1. DIN เป็นขาของสัญญาณอินพุตใช้สำหรับรับข้อมูลอินพุตแบบอนุกรม โดยที่ข้อมูลจะถูกโหลดเข้าไปอยู่ในชิพตรีจิสเตอร์ ขนาด 16 บิต โดยสัมพันธ์กับสัญญาณนาฬิกาที่ส่งเข้ามาทางขาCLK โดยข้อมูลจะเริ่มจาก D15..D0

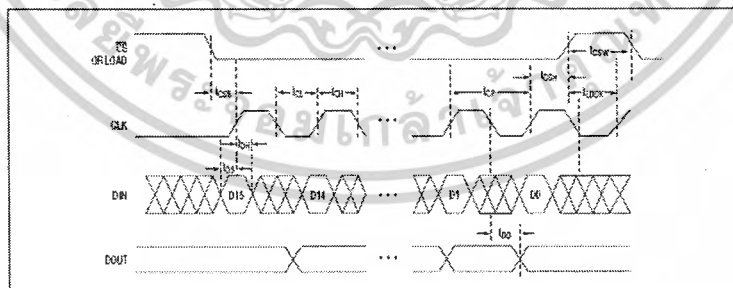
2. CLK เป็นขาสัญญาณอินพุตใช้สำหรับรับสัญญาณนาฬิกาอินพุตจากภายนอก ซึ่งจะมีอัตราความเร็วสูงสุด 10 เมกะเฮิร์ตซ์ โดยเมื่อสัญญาณนาฬิกาเป็นช่วงขอบขาขึ้นสัญญาณ ข้อมูลจาก DIN จะถูกเลื่อนเข้าสู่ชิพตรีจิสเตอร์ภายในเมื่อสัญญาณนาฬิกาเป็นช่วงขอบขาลงข้อมูลที่อยู่ในชิพตรีจิสเตอร์ ตำแหน่งสุดท้าย(D15) จะถูกเลื่อนออกมาที่ขาสัญญาณ DOUT

3. LOAD เป็นขาสัญญาณอินพุต ใช้สำหรับควบคุมการโหลดข้อมูลที่ถูกเลื่อนเข้ามาไว้ในชิพ ตรีจิสเตอร์เข้าไปยังหน่วยความจำของ IC MAX 7219 โดยค่าในชิพตรีจิสเตอร์ ทั้งหมดจะถูกโหลดเมื่อสัญญาณนาฬิกาที่ขา LOAD เป็นขอบขาขึ้น

4. DOUT เป็นขาสัญญาณเอาต์พุต ซึ่งเป็นข้อมูลแบบอนุกรมชุดเดียวกับสัญญาณ DIN โดยสัญญาณ DOUT นี้เราใช้สำหรับต่อเข้ากับสัญญาณ DIN ของ IC MAX ตัวถัดไป เมื่อต้องการเพ่งจำนวนหลักแสดงผลให้มากขึ้น

จากข้อมูลข้างต้น ใช้สัญญาณเชื่อมต่อกับ ไมโครคอนโทรลเลอร์เพียง 3 เส้น จึงได้เลือกใช้พอร์ต 1 คือ P1.4, P1.6 และ P1.7

การเขียนโปรแกรมติดต่อกับ MAX 7219 จำเป็นที่จะต้องศึกษาถึงคู่มือการใช้งาน MAX 7219 โดยละเอียดจึงจะสามารถเขียนโปรแกรมติดต่อกับ MAX 7219 ได้ถูกต้อง ซึ่งในใบงานนี้จะกล่าวถึงเนื้อหาที่จำเป็นในคู่มือของMAX 7219 ที่ถูกนำมาใช้เป็นตัวช่วยในการเขียนโปรแกรมรวมไปถึงตัวอย่าง โปรแกรมที่ใช้ในการเขียนติดต่อกับMAX 7219 เพื่อควบคุม 7 Segment



ภาพที่ 2.16 Timing Diagram ของ MAX 7219

สำหรับการเขียนโปรแกรมควบคุมการทำงาน 7 Segment โดยใช้ MAX 7219 นั้นจำเป็นจะต้องทำความเข้าใจวงจรในภาพที่ 2.15 เสียก่อนว่าพอร์ตต่างๆ ของไมโครคอนโทรลเลอร์ ARM7

ADuC7024 ต่ออยู่กับขาใดของMAX 7219 ซึ่งจากวงจรจะเห็นได้ว่า P1.4, P1.5 และ P1.6 นั้นต่ออยู่เอกสารนี้เป็นเอกสารที่สงวนไว้สำหรับการใช้งานเพื่อการศึกษาเท่านั้น ไม่นุญาตให้นำไปใช้ประโยชน์ด้านการค้าไม่ว่ากรณีใดๆ ทั้งสิ้น อีกทั้งห้ามมิให้ตัดแปลงเนื้อหาและต้องอ้างอิงถึงเจ้าของเอกสารทุกครั้งที่มีการนำไปใช้

กับขาของสัญญาณ CLK, Load และ DIN ตามลำดับส่วน Timing Diagram ของการทำงานของ MAX7219 แสดงดังในภาพที่ 2.16

รูปแบบการส่งข้อมูลแบบอนุกรม ซึ่งการส่งข้อมูลจะส่งเป็น Packets ครั้งละ 16 บิต โดยในหนึ่ง packets จะประกอบไปด้วย ข้อมูล 8 บิต (D0-D7) แอดเดรส 4 บิต (D8-D11) ส่วนบิตที่ 12-15 (D12-D15) นั้น ไม่สนใจซึ่งรูปแบบการส่งข้อมูล 1 packets แสดงดังตารางที่ 2.28

ตารางที่ 2.28 รูปแบบการส่งข้อมูลแบบอนุกรม (16 บิต)

D15	D14	D13	D12	D11	D10	D9	D8	D7	D6	D5	D4	D3	D2	D1	D0
x	x	x	x	ADDRESS				MSB	DATA						LSB

หลังจากที่เราศึกษารูปแบบการส่งข้อมูลแบบอนุกรม แล้วต่อไปจะเป็นการศึกษาวิธีการ Map Address ของรีจิสเตอร์ ในตารางที่ 2.28 ซึ่งจะอธิบายวิธี Map Address ของ MAX 7219 จะพิจารณาที่บิต D8-D11 ซึ่งเป็นบิตที่ใช้สำหรับกำหนด Address ของ 7 Segment ส่วนบิตที่ D0-D7 จะเป็นบิตข้อมูล และ D12-D15 จะเป็นบิตที่ไม่สนใจเพื่อความเข้าใจเราจะกำหนดให้เป็นศูนย์ได้ ในตารางที่ 2.28 จะอธิบายถึงรหัสเลขฐาน 16 ที่จะนำไปเขียนในโปรแกรมเพื่อกำหนดว่าจะให้ข้อมูลออกที่ 7 Segment หลักใด (0-7) ยกตัวอย่างเช่น ต้องการส่งข้อมูลไปแสดงยังหลักที่ 0 รหัสคือ 0x01, หลักที่ 1 รหัสคือ 0x02 นอกจากนี้แล้วยังมีรหัสอื่นๆ ที่เกี่ยวข้อง เช่น กำหนดให้อยู่ในโหมด Decode รหัสคือ 0x09, การปรับความเข้มของ 7 Segment รหัสคือ 0x0A เป็นต้น รายละเอียดอื่นๆ สามารถดูได้จากตารางที่ 2.29

ตารางที่ 2.29 Register Address Map

REGISTER	ADDRESS					HEX
	D15-D12	D11	D10	D9	D8	CODE
No-Op	x	0	0	0	0	0xX0
Digit0	x	0	0	0	1	0xX1
Digit1	x	0	0	1	0	0xX2
Digit2	x	0	0	1	1	0xX3
Digit3	x	0	1	0	0	0xX4
Digit4	x	0	1	0	1	0xX5

เอกสารนี้เป็นเอกสารที่สงวนไว้สำหรับการใช้งานเพื่อการศึกษาเท่านั้น ไม่นอนุญาตให้นำไปใช้ประโยชน์ด้านการค้า ไม่ว่ากรณีใดๆ ทั้งสิ้น อีกทั้งห้ามมิให้ดัดแปลงเนื้อหาและต้องอ้างอิงถึงเจ้าของเอกสารทุกครั้งที่มีการนำไปใช้

ตารางที่ 2.29 (ต่อ) Register Address Map

Digit5	x	0	1	1	0	0xX6
Digit6	x	0	1	1	1	0xX7
Digit7	x	1	0	0	0	0xX8
Decode Mode	x	1	0	0	1	0xX9
Intensity	x	1	0	1	0	0xXA
Scan Limit	x	1	0	1	1	0xXB
Shutdown	x	1	1	0	0	0xXC
Display Test	x	1	1	1	1	0xXF

ตารางที่ 2.30 Decode-Mode (Address(HEX)=x0X9)

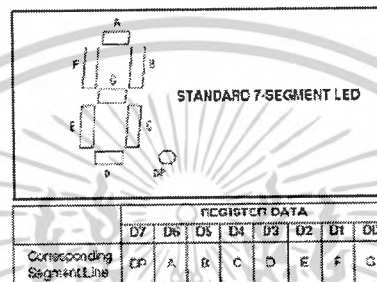
DECODE MODE	REGISTER DATA								Hex
	D7	D6	D5	D4	D3	D2	D1	D0	Code
No Decode digits7-0	0	0	0	0	0	0	0	0	0x00
Code B decode for digit0 No decode digits7-1	0	0	0	0	0	0	0	1	0x01
Code B decode for digit 3-0 No decode digits 7-4	0	0	0	0	0	1	1	1	0x0F
Code B decode for digit 7-0	1	1	1	1	1	1	1	1	0xFF

ในตารางที่ 2.30 จะเป็นรายละเอียดการกำหนด Register Data เมื่อ MAX 7219 ทำงานอยู่ในโหมด Decode (Address(HEX)=x0X9) ซึ่งการกำหนดโหมดการทำงานที่ถูกกำหนดโดยรหัส Address(HEX)=x0X9 แล้วเรายังสามารถกำหนดได้ว่าจะเลือกให้ 7 Segment หลัใดทำงานอยู่ในโหมด Decode ยกตัวอย่าง เช่น ในตารางที่ 2.30 เมื่อคำสั่ง Register Address Map ในตารางที่ 2.29 ถูกกำหนดให้เป็น (0x09) นั้นแสดงว่า MAX 7219 จะทำงานอยู่ในโหมด Decode ซึ่งการ Decode นั้นเรายังสามารถที่จะกำหนดได้อีกว่าจะเลือก Decode ที่หลักใดบ้างใน ตารางที่ 2.30 จะแสดงตัวอย่างวิธีการ Decode อยู่ 4 ตัวอย่างคือถ้ากำหนดคำสั่งเป็น (Address(HEX)=x009, 0x00) แสดงว่าหลักที่ 7-0 ของ 7 Segment ไม่ได้ทำงานอยู่ในโหมด Decode กำหนดคำสั่งเป็น (Address (HEX)=x009,0x01) แสดงว่าหลักที่ 0 ของ 7 Segment จะทำงานอยู่ในโหมด Decode ส่วนหลักที่ 7-1 ทำ

เอกสารนี้เป็นเอกสารที่สงวนไว้สำหรับการใช้งานเพื่อการศึกษาเท่านั้น ไม่อนุญาตให้นำไปใช้ประโยชน์ด้านการค้า ไม่ว่ากรณีใดๆ ทั้งสิ้น อีกทั้งห้ามมิให้ตัดแปลงเนื้อหาและต้องอ้างอิงถึงเจ้าของเอกสารทุกครั้งที่มีการนำไปใช้

งานในโหมดปกติกำหนดค่าสั่งเป็น (Address (HEX) = x009 , 0x0F) ซึ่งแสดงได้ว่าหลักที่ 3-0 ของ 7 Segment จะทำงานอยู่ในโหมด Decode ส่วนหลักที่ 7- 4 ทำงานในโหมดปกติกำหนดค่าสั่งเป็น (Address(HEX)=x009, 0xFF) แสดงว่าทุกหลักของ 7 Segment จะทำงานอยู่ในโหมดDecode

ข้อดีของการสั่งให้โปรแกรมทำงานอยู่ในโหมด Decode คือ ทำให้เราเข้าใจคำสั่งได้ง่าย และสะดวกในการเขียนโปรแกรม ยกตัวอย่างเช่น ถ้าเราต้องการส่งค่าตัวเลข 3 ออกไปยังหลักที่ 1 ของ 7 Segment ตัวอย่างรูปแบบของคำสั่งคือ MAX7219(0x01, 0x03) นั้น หมายความว่าถ้าเราต้องการให้ตัวเลขตัวใดแสดงผลที่ 7 Segment ก็ให้ใส่ข้อมูลตัวเลขนั้นจริงๆ ในโค้ดคำสั่งได้เลย



ภาพที่ 2.17 โหมดการทำงานปกติ

ถ้าเรากำหนดให้โปรแกรมเป็น MAX7219(0x09, 0x00) แสดงว่าการทำงานของ MAX7219 อยู่ในโหมดปกติ ในการที่เราจะส่งข้อมูลไปแสดงผลยัง 7 Segment นั้นเราจะส่งข้อมูลออกไปให้เหมือนโหมด Decode ไม่ได้ ในตัวอย่างเช่นถ้าเราจะส่งค่าข้อมูลเลข 1 ไปแสดงผลที่ 7 Segment ถ้า MAX7219 อยู่ในโหมด Decode เราจะใช้คำสั่งเป็น MAX7219(0x09, 0x01) ได้เลยแต่ถ้า MAX7219 อยู่ในโหมดปกติค่าของเลข 1 ที่จะส่งออกไปจะต้องคำนวณจากภาพที่ 2.17 หมายความว่าถ้าต้องการที่ ให้ค่า 7 Segment ซึ่งจะแสดงเลข 1 ตำแหน่งของหลอด LED ที่จะติดคือ ตำแหน่ง B และ C เมื่อเรานำไปเทียบกับภาพที่ 2.17 จะได้ว่าถ้าจะส่งข้อมูลเลข 1 ไปแสดงผลที่ 7 Segment จะต้องส่งคำสั่งให้ MAX7219 (0x09, 0x30) ในตารางที่ 2.30 จะแสดงรายละเอียดการกำหนดค่าของข้อมูลเมื่อเราให้ MAX 7219 ทำงานในโหมด Decode ในรูปรหัสเลขฐานสองและ แสดงให้เห็นว่าหลอดของ LED ที่ตัว 7 Segment ติดสัมพันธ์กับข้อมูลที่ส่งออกไปอย่างไร ตัวอย่างเช่น ถ้าเราจะส่งข้อมูลเลข 0 ให้ออกไป หลอด LED ที่ 7 Segment ก็จะติดที่ตำแหน่ง A, B, C, D, E, และ F ส่วนตำแหน่ง G จะไม่ติดเพื่อที่จะแสดงเป็นค่าตัวเลข และถ้าจะให้ตำแหน่ง DP ของ 7 Segment ติดก็กำหนดให้ D7 = 1

ตารางที่ 2.31 โหมด Decode แบบรหัสเลขฐานสอง

7-SEGMENT CHARACTER	REGISTER DATA						ON SEGMENTS=1							
	D7*	D6-D4	D3	D2	D1	D0	DP*	A	B	C	D	E	F	G
0		x	0	0	0	0		1	1	1	1	1	1	0
1		x	0	0	0	1		0	1	1	0	0	0	0
2		x	0	0	1	0		1	1	0	1	1	0	1
3		x	0	0	1	1		1	1	1	1	0	0	1
4		x	0	1	0	0		0	1	1	0	0	1	1
5		x	0	1	0	1		1	0	1	1	0	1	1
6		x	0	1	1	0		1	0	1	1	1	1	1
7		x	0	1	1	1		1	1	1	0	0	0	0
8		x	1	0	0	0		1	1	1	1	1	1	1
9		x	1	0	0	1		1	1	1	1	0	1	1
-		x	1	0	1	0		0	0	0	0	0	0	1
E		x	1	0	1	1		1	0	0	1	1	1	1
H		x	1	1	0	0		0	1	1	0	1	1	1
L		x	1	1	0	1		0	0	0	1	1	1	0
P		x	1	1	1	0		1	1	0	0	1	1	1
blank		x	1	1	1	1		0	0	0	0	0	0	0

ในตารางที่ 2.31 จะเป็น รายละเอียดของคำสั่งเพื่อกำหนดความเข้มของ 7 Segment ซึ่งจะแสดงเป็นคำสั่งรหัสเลขฐาน 16 การเขียนคำสั่งสามารถทำได้โดย กำหนด Register Address Map ให้เป็น (Address (HEX)=0x0A) ซึ่งดูได้จากตารางที่ 2.29 จากนั้นในใส่ข้อมูลในตารางที่ 2.31 ในช่อง Hex Code ซึ่งจะป็นรหัสเลขฐาน 16 ตั้งแต่ 0x00 ไปจนถึง 0x0F ซึ่งจะสัมพันธ์กับช่อง Duty Circle ซึ่งจะมีค่าตั้ง 1/32 ไปจนถึง 31/32 ซึ่งจะบอกถึงความเข้มจากน้อยไปหามากตามลำดับตัวอย่างการเขียนโปรแกรม เช่น MAX7219(0x0A,0x0F) ความหมายของโปรแกรมคือกำหนดให้หลอด LED ของ 7 Segment มีความเข้มสูงสุดนั่นเอง

เอกสารนี้เป็นเอกสารที่สงวนไว้สำหรับการใช้งานเพื่อการศึกษาเท่านั้น ไม่อนุญาตให้นำไปใช้ประโยชน์ด้านการค้า ไม่ว่ากรณีใดๆ ทั้งสิ้น อีกทั้งห้ามมิให้ดัดแปลงเนื้อหาและต้องอ้างอิงถึงเจ้าของเอกสารทุกครั้งที่มีการนำไปใช้

ตารางที่ 2.32 โหมดการปรับความเข้มของ 7 Segment (Address (HEX) =0xXA)

Duty Cycle		D7	D6	D5	D4	D3	D2	D1	D0	HEX CODE
MAX7219	MAX7221									
1/32 (min on)	1/16 (min on)	x	x	x	x	0	0	0	0	0xX0
3/32	2/16	x	x	x	x	0	0	0	1	0xX1
5/32	3/16	x	x	x	x	0	0	1	0	0xX2
7/32	4/16	x	x	x	x	0	0	1	1	0xX3
9/32	5/16	x	x	x	x	0	1	0	0	0xX4
11/32	6/16	x	x	x	x	0	1	0	1	0xX5
13/32	7/16	x	x	x	x	0	1	1	0	0xX6
15/32	8/16	x	x	x	x	0	1	1	1	0xX7
17/32	9/16	x	x	x	x	1	0	0	0	0xX8
19/32	10/16	x	x	x	x	1	0	0	1	0xX9
21/32	11/16	x	x	x	x	1	0	1	0	0xXA
23/32	12/16	x	x	x	x	1	0	1	1	0xXB
25/32	13/16	x	x	x	x	1	1	0	0	0xXC
27/32	14/16	x	x	x	x	1	1	0	1	0xXD
29/32	15/16	x	x	x	x	1	1	1	0	0xXE
31/32	15/16(maxon)	x	x	x	x	1	1	1	1	0xFF

คุณสมบัติอีกอย่างหนึ่งที่ MAX7219 ทำได้คือการกำหนดการแสดงผลของ 7 Segment โดยสามารถกำหนดให้แสดงได้ตั้งแต่ 1 หลักจนถึง 8 หลัก ซึ่งคำสั่งที่ใช้คือ (Address (HEX) = 0xXB) แล้วตามด้วยรหัสเลขฐาน 16 ตั้งแต่ 0x00 ไปจนถึง 0x07 ตัวอย่างเช่น

1. MAX7219 (0x0B,0x00) หมายถึง 7 Segment จะแสดงผลหลักที่หนึ่งหลักเดียว
2. MAX7219(0x0B,0x03) หมายถึง 7 Segment จะแสดงผลหลักที่ 1 ไปจนถึงหลักที่ 4
3. MAX7219(0x0B,0x07) หมายถึง 7 Segment จะแสดงผลทุกหลัก

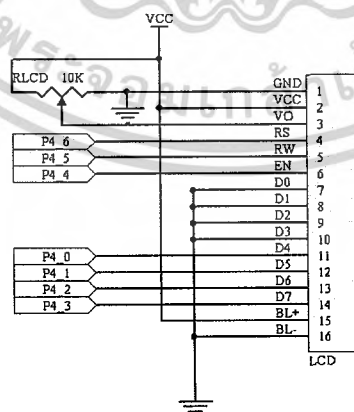
ซึ่งรายละเอียดต่างๆ แสดงดังตารางที่ 2.33

ตารางที่ 2.33 โหมด Scan-Limit (Address (HEX) =0xB)

SCAN LIMIT	Register Data								HEX
	D7	D6	D5	D4	D3	D2	D1	D0	CODE
Display digits 0 only*	x	x	x	x	x	0	0	0	0xX0
Display digits 0 & 1 *	x	x	x	x	x	0	0	1	0xX1
Display digits 0 1 2*	x	x	x	x	x	0	1	0	0xX2
Display digits 0 1 2 3	x	x	x	x	x	0	1	1	0xX3
Display digits 0 1 2 3 4	x	x	x	x	x	1	0	0	0xX4
Display digits 0 1 2 3 4 5	x	x	x	x	x	1	0	1	0xX5
Display digits 0 1 2 3 4 5 6	x	x	x	x	x	1	1	0	0xX6
Display digits 0 1 2 3 4 5 6 7	x	x	x	x	x	1	1	1	0xX7

2.1.7 คำสั่งควบคุมโมดูลตัวแสดงผลแบบผลึกเหลว (LCD interface)

จอแสดงผลที่ใช้ในใบงานนี้เป็นแบบ DOT MATRIX LCD MODULE เป็นอุปกรณ์แผงแสดงผลตัวอักษรหรือตัวเลข เหมาะสำหรับงานแสดงผลการทำงานเป็นข้อความตัวอักษรหรือข้อความต่างๆ ซึ่ง LCD Module มีส่วนประกอบใหญ่ๆแบ่งได้เป็น Dot Matrix LCD เป็นส่วนของกระจกผลึกสำหรับการแสดงผล Driver เป็นตัวรับสัญญาณจากตัวควบคุมมาขับ LCD อีกที่หนึ่ง Controller เป็นตัวรับข้อมูลจากอุปกรณ์ภายนอกมาและจัดการควบคุม LCD Module ให้ทำงานแสดงผลต่างๆ เช่น สบจอภาพ การเกิดตัวอักษร โดยตัว LCD MODULE นี้ สามารถต่อเข้ากับบอร์ดของไมโครคอนโทรลเลอร์ ได้ทาง DATA BUS หรือทาง I/O PORT



ภาพที่ 2.18 Schematic ของการต่อจอแสดงผล LCD กับไมโครคอนโทรลเลอร์ ADuC 7024

เอกสารนี้เป็นเอกสารที่สงวนไว้สำหรับการใช้งานเพื่อการศึกษาเท่านั้น ไม่อนุญาตให้นำไปใช้ประโยชน์ด้านการค้าไม่ว่ากรณีใดๆ ทั้งสิ้น อีกทั้งห้ามมิให้ดัดแปลงเนื้อหาและต้องอ้างอิงถึงเจ้าของเอกสารทุกครั้งที่มีการนำไปใช้





จากภาพที่ 2.18 Schematic การต่อจอแสดงผล LCD กับไมโครคอนโทรลเลอร์ ADuC 7024 ซึ่งจะเห็นได้ว่าเป็นการต่อแบบ I/O port และการทำงานของจอแสดงผล LCD อยู่ในโหมด 4 บิต ซึ่งจะต่อใช้งานที่ D7 – D4 โดยข้อมูลครั้งแรกที่ส่งนั้นจะถือเป็นข้อมูล 4 บิตบนและข้อมูลที่ส่งต่อมานั้นเป็นข้อมูล 4 บิตล่าง โดยรายละเอียดการต่อใช้งานขาต่างๆของ LCD โมดูล ดังต่อไปนี้

ตารางที่ 2.34 การใช้งานขาต่างๆ

No.	Symbol	Function
1	VSS	0 V Power Supply(GND Level)
2	VCC	Power supply for Logic circuit
3	V0	Power supply for Driving the LCD
4	RS	Data/Instruction select
5	R/W	Read/Write select
6	E	Enable signal
7-14	DB0-DB7	Data Bus line

1. RS (Register Selection) จะเป็นขาเลือก Register ภายใน ซึ่งมีอยู่ 2 ตัวคือ Instruction Register (IR) และ Data Register (DR) โดยถ้าเป็น 1 จะเป็นการเลือก Data และถ้าใช้เป็น 0 จะเป็นการเลือก Instruction
2. R/W (Read/Write) เป็นตัวเลือกว่าจะเขียนหรืออ่านข้อมูลจาก IC โดยอ่านข้อมูล = 1 และเขียนข้อมูล = 0
3. EN (Enable Signal) เป็นขากำหนดสภาพการรับเขียนอ่านข้อมูล

ตารางที่ 2.35 การรับเขียนอ่านข้อมูล

RS	R/W	EN	Operation
0	0		IR write as internal operation (Display clear, etc.)
0	1		Read busy flag (DB7) and Address counter (DB6-DB0)
1	0		DR write as internal operation (DR to DD or CG RAM)
1	1		DR read as internal operation (DD or CG RAM to DR)

4. DB0-DB7 เป็นขารับส่งข้อมูลจากตัว IC

เอกสารนี้เป็นเอกสารที่สงวนลิขสิทธิ์ไว้สำหรับใช้เพื่อการศึกษาเท่านั้น ไม่อนุญาตให้นำไปใช้ประโยชน์ด้านการค้า ไม่ว่าจะกรณีใดๆ ทั้งสิ้น อีกทั้งห้ามมิให้ตัดแปลงเนื้อหาและต้องอ้างอิงถึงเจ้าของเอกสารทุกครั้งที่มีการนำไปใช้

6. VSS เป็นขางND

7. VO เป็นขารับ Voltage ในการขับ LCD .ให้สว่างหรือมืด

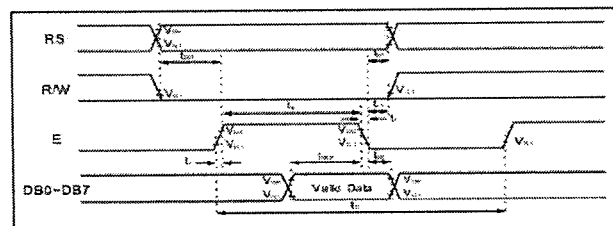
ในการควบคุมให้จอแสดงผล LCD แสดงตัวอักษรจะเริ่มต้นจากการเขียนคำสั่งให้ควบคุมการทำงานเพื่อกำหนดรูปแบบการแสดงผล จากนั้นก็จะส่งค่ารหัสตัวอักษรตามรหัส ASCII ให้กับจอแสดงผล LCD เพื่อนำไปแสดงผลบนหน้าจอ LCD โดยคำสั่งควบคุมแสดง

ตารางที่ 2.36 คำสั่งการควบคุม LCD

Instruction	Instruction Code										Description	Execution time (fosc= 270 kHz)
	RS	RW	DB7	DB6	DB5	DB4	DB3	DB2	DB1	DB0		
Clear Display	0	0	0	0	0	0	0	0	0	1	Write "20H" to DDRAM and set DDRAM address to "00H" from AC	1.53 ms
Return Home	0	0	0	0	0	0	0	0	0	1	Set DDRAM address to "00H" from AC and return cursor to its original position if shifted. The contents of DDRAM are not changed.	1.53 ms
Entry Mode Set	0	0	0	0	0	0	0	1	I/D	S/H	Assign cursor moving direction and enable the shift of entire display.	39 µs
Display ON/OFF Control	0	0	0	0	0	0	1	D	C	B	Set display(D), cursor(C), and blinking of cursor(B) on/off control bit.	39 µs
Cursor or Display Shift	0	0	0	0	0	1	S/C	R/L	-	-	Set cursor moving and display shift control bit, and the direction, without changing of DDRAM data.	39 µs
Function Set	0	0	0	0	1	DL	N	F	-	-	Set interface data length (DL: 8-bit/4-bit), numbers of display line (N: 2-line/1-line) and, display font type (F:5×11dots/5×8 dots)	39 µs
Set CGRAM Address	0	0	0	1	AC6	AC4	AC3	AC2	AC1	AC0	Set CGRAM address in address counter.	39 µs
Set DDRAM Address	0	0	1	AC6	AC5	AC4	AC3	AC2	AC1	AC0	Set DDRAM address in address counter.	39 µs
Read Busy Flag and Address	0	1	BF	AC6	AC5	AC4	AC3	AC2	AC1	AC0	Whether during internal operation or not can be known by reading BF. The contents of address counter can also be read.	0 µs
Write Data to RAM	1	0	D7	D6	D5	D4	D3	D2	D1	D0	Write data into internal RAM (DDRAM/CGRAM).	43 µs
Read Data from RAM	1	1	D7	D6	D5	D4	D3	D2	D1	D0	Read data from internal RAM (DDRAM/CGRAM).	43 µs

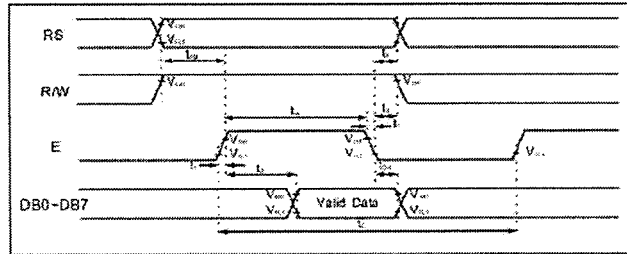
Timing Diagram ของโหมดการเขียน และการอ่าน คำสั่งหรือข้อมูลของ LCD Module อธิบายได้ ภาพที่ 2.19

Write Mode Timing Diagram



ภาพที่ 2.19 Timing Diagram แสดงการเขียนข้อมูล
เอกสารนี้เป็นเอกสารที่สงวนไว้สำหรับการใช้งานเพื่อการศึกษาเท่านั้น เมื่อนำไปใช้ประโยชน์ด้านการค้า
ไม่ว่ากรณีใดๆ ทั้งสิ้น อีกทั้งห้ามมิให้ตัดแปลงเนื้อหาและต้องอ้างอิงถึงเจ้าของเอกสารทุกครั้งที่มีการนำไปใช้

Read Mode Timing Diagram



ภาพที่ 2.20 Timing Diagram แสดงการอ่านข้อมูล

2.2 การใช้งานโปรแกรม KEIL uVision 3

การเขียนโปรแกรมให้ไมโครคอนโทรลเลอร์ ด้วยภาษาแอสเซมบลีจะมีความเร็วที่ดี แต่กว่าจะเขียนได้แต่ละโปรแกรมนั้นค่อนข้างยุ่งยาก อีกทั้งยังไม่สามารถเขียนภาษาแอสเซมบลีในระบบใหญ่ๆ ได้อีกด้วย เมื่อศึกษาแล้วมีโปรแกรมที่ช่วยแปลงภาษา C เป็น HEX code ได้เลย โปรแกรมที่ว่านี้คือ KEIL uVision 3 อีกเหตุผลที่เลือก เขียนภาษา C เนื่องจากเป็นภาษาที่เข้าใจได้ง่าย แก้ไขได้สะดวก

ขั้นตอนในการใช้งาน โปรแกรม Keil uVision 3 สรุปพอสังเขปได้ดังนี้

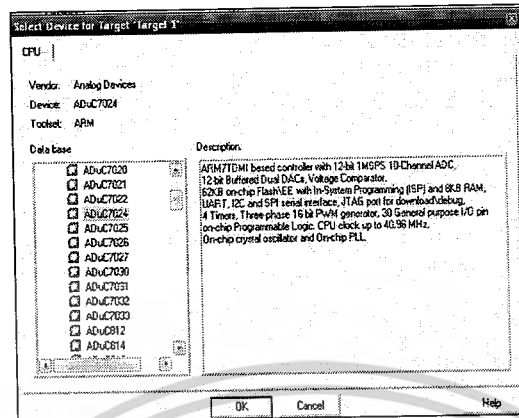
1. เปิดโปรแกรม u Vision3,



ภาพที่ 2.21 การเปิด โปรแกรม u Vision3

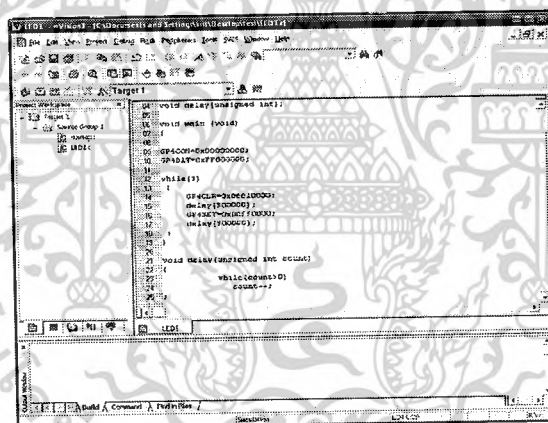
เอกสารนี้เป็นเอกสารที่สงวนไว้สำหรับการใช้งานเพื่อการศึกษาเท่านั้น ไม่อนุญาตให้นำไปใช้ประโยชน์ด้านการค้าไม่ว่ากรณีใดๆ ทั้งสิ้น อีกทั้งห้ามมิให้ดัดแปลงเนื้อหาและต้องอ้างอิงถึงเจ้าของเอกสารทุกครั้งที่มีการนำไปใช้

2. สร้างไฟล์โปรเจกต์และเลือก ARM 7 เบอร์ ADuV 7024



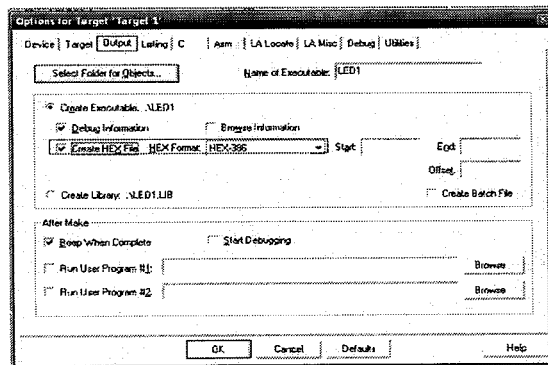
ภาพที่ 2.22 การสร้างไฟล์โปรเจกต์และเลือก ARM 7 เบอร์ ADuV 7024

3. เขียน source code และเพิ่มเข้าไปใน source file ของ โปรเจกต์



4. สร้างโปรเจกต์และ HEX ไฟล์สำหรับ PROM

เอกสารนี้เป็นเอกสารที่สงวนไว้สำหรับการใช้งานเพื่อการศึกษาเท่านั้น ไม่อนุญาตให้นำไปใช้ประโยชน์ด้านการค้า ไม่ว่าจะกรณีใดๆ ทั้งสิ้น อีกทั้งห้ามมิให้ดัดแปลงเนื้อหาและต้องอ้างอิงถึงเจ้าของเอกสารทุกครั้งที่มีการนำไปใช้

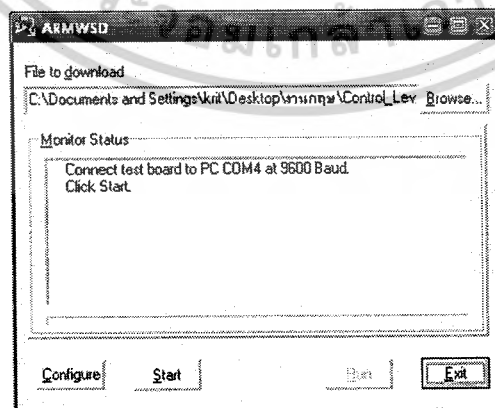


ภาพที่ 2.24 การสร้างโปรเจกต์และ HEX ไฟล์สำหรับ PROM

2.3 การ Download Hex file ให้กับ MCU ของบอร์ด

การ Download Hex File ให้กับหน่วยความจำให้กับ Flash ของ MCU ในบอร์ดนั้นจะใช้โปรแกรม ชื่อ “ARMWSD” ของ Analog Device ซึ่งจะติดต่อกันกับ MCU ผ่าน Serial Port ของคอมพิวเตอร์ PC ในการเชื่อมต่อกับระบบฮาร์ดแวร์ที่ใช้ในการเชื่อมต่อแบบ RS232 โดยโปรแกรม RMWSD จะใช้สำหรับ Download ข้อมูลให้กับหน่วยความจำของไมโครคอนโทรลเลอร์ ในการที่จะสั่ง Reset ให้กับ CPU เข้าทำงานใน Monitor Mode เพื่อสั่ง Download HEX File จาก PC ให้กับบอร์ดสามารถทำได้ ตามขั้นตอนต่อไปนี้คือ

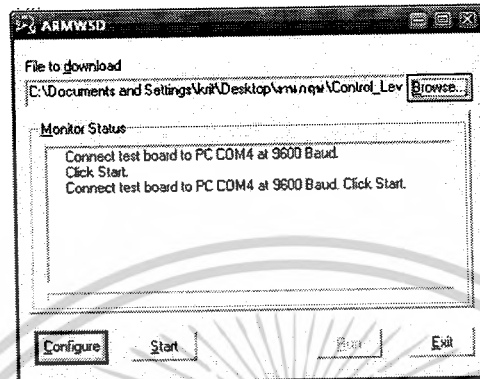
1. ต่อสายสัญญาณ RS232 จาก Com Port ของเครื่องคอมพิวเตอร์ PC เข้ากับขั้วของ RS232 แบบ 4 Pin ของบอร์ด
2. จ่ายไฟเลี้ยงวงจรให้บอร์ด ซึ่งจะสังเกตเห็น LED แสดงสถานะของ PWR สีแดงติดสว่างให้เห็น
3. สั่ง Run โปรแกรม “ARMWSD” ซึ่งจะแสดงผลดังภาพที่ 2.25



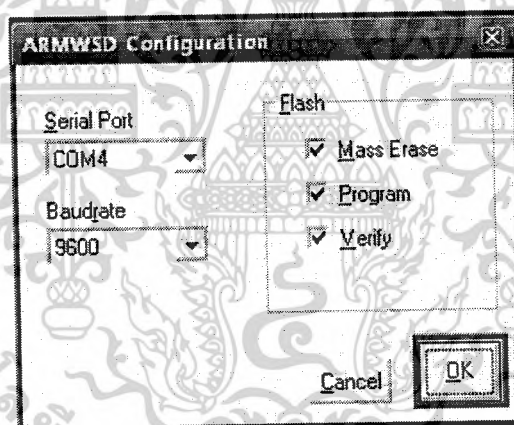
ภาพที่ 2.25 ผลการสั่ง Run โปรแกรม “ARMWSD”

เอกสารนี้เป็นเอกสารที่สงวนไว้สำหรับการใช้งานเพื่อการศึกษาเท่านั้น ไม่อนุญาตให้นำไปใช้ประโยชน์ด้านการค้า ไม่ว่าจะกรณีใดๆ ทั้งสิ้น อีกทั้งห้ามมิให้ดัดแปลงเนื้อหาและต้องอ้างอิงถึงเจ้าของเอกสารทุกครั้งที่มีการนำไปใช้

4. เลือกกำหนดการเชื่อมต่อกับพอร์ตสื่อสารอนุกรม RS232 ให้ตรงตามเงื่อนไขที่ใช้
อยู่จริง โดยให้คลิกเมาส์ที่ปุ่ม “Configure” แล้วเลือกกำหนดหมายเลข Comport ให้ถูกต้องดัง
ภาพที่ 2.26



ภาพที่ 2.26 การเลือกกำหนดหมายเลข Comport



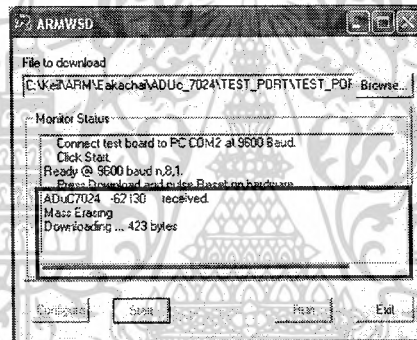
ภาพที่ 2.27 การเลือกกำหนดหมายเลข Comport

5. สั่งเปิด Hex File ที่ต้องการจะ Download ให้กับ MCU มารอไว้ใน Buffer ของโปรแกรม
โดยให้คลิกเมาส์ที่ปุ่ม “Browse...” แล้วเลือกกำหนดชื่อ HEX File ให้ถูกต้องเรียบร้อยดังภาพที่ 2.28

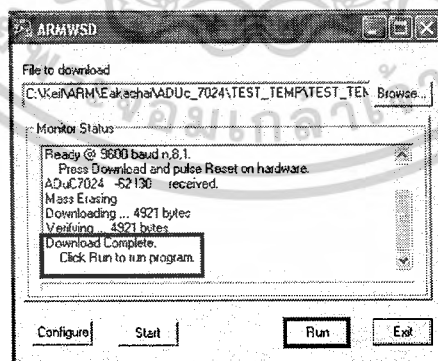
เอกสารนี้เป็นเอกสารที่สงวนไว้สำหรับการใช้งานเพื่อการศึกษาเท่านั้น ไม่อนุญาตให้นำไปใช้ประโยชน์ด้านการค้า
ไม่ว่ากรณีใดๆ ทั้งสิ้น อีกทั้งห้ามมิให้ตัดแปลงเนื้อหาและต้องอ้างอิงถึงเจ้าของเอกสารทุกครั้งที่มีการนำไปใช้

- กดสวิทช์ LOAD ค้างไว้เพื่อกำหนดสถานะขาสัญญาณ P0.0 (BM) ให้เป็น “0”
- กดสวิทช์ RESET เพื่อส่งสัญญาณ RESET ให้กับ MCU โดยสวิทช์ LOAD ต้องกดค้างอยู่เช่นเดิม
- ปลดสวิทช์ RESET เพื่อปล่อยให้ MCU พ้นจากสภาวะการ Reset (สวิทช์ LOAD ยังกดค้างอยู่)
- ปลดสวิทช์ LOAD เป็นลำดับสุดท้าย

8. ถ้าทุกอย่างถูกต้องตามขั้นตอน โปรแกรมจะเริ่มต้นทำการ Download HEX File ให้กับ MCU ทันทีซึ่งในขั้นตอนนี้ให้รอนการทำงานของโปรแกรมเสร็จเรียบร้อย แล้วจึง คลิกเมาส์ที่ปุ่ม “Run” หรือกดสวิทช์ RESET ที่บอร์ด เพื่อให้ MCU เริ่มต้นทำงานตามโปรแกรมที่ Download ให้ ดังภาพที่ 2.31



ภาพที่ 2.31 การเริ่มต้นทำการ Download HEX File



ภาพที่ 2.32 การคลิกเมาส์ที่ปุ่ม “Run” เพื่อให้ MCU เริ่มต้นทำงาน

เอกสารนี้เป็นเอกสารที่สงวนไว้สำหรับการใช้งานเพื่อการศึกษาเท่านั้น ไม่อนุญาตให้นำไปใช้ประโยชน์ด้านการค้า ไม่ว่าจะกรณีใดๆ ทั้งสิ้น อีกทั้งห้ามมิให้ดัดแปลงเนื้อหาและต้องอ้างอิงถึงเจ้าของเอกสารทุกครั้งที่มีการนำไปใช้

บทที่ 3

ทฤษฎีตัวควบคุม PID

เครื่องควบคุมหรือตัวควบคุม เป็นส่วนประกอบที่สำคัญของระบบควบคุมแบบอัตโนมัติ การควบคุมอัตโนมัติก็คือ การใช้ตัวควบคุม (Controller) ทำหน้าที่เปรียบเทียบตัดสินใจและปรับแทนมนุษย์ให้มีผลตอบสนองเป็นไปตามต้องการ ซึ่งสัญญาณดังกล่าวจะเป็นไปตามกฎ และรูปแบบของการควบคุมที่ผู้ควบคุมได้เลือก และกำหนดไว้ล่วงหน้า การควบคุมไม่ว่าจะเป็นการควบคุมด้วยมือหรืออัตโนมัติ ผลการควบคุมจะถูกวัดและป้อนกลับไปยังตัวควบคุมเพื่อทำการเปรียบเทียบ ตัดสิน และ ออกคำสั่งปรับใหม่การกระทำจะดำเนินไปซ้ำๆกัน เช่นนี้โดยลำดับ

ปัจจุบันเครื่องควบคุมสามารถแบ่งตามโครงสร้างการทำงานได้ 3 ชนิด คือเครื่องควบคุมแบบนิวเมตริกส์ที่ทำงาน โดยใช้สัญญาณลม เครื่องควบคุมแบบอิเล็กทรอนิกส์ที่ทำงาน โดยใช้วงจรอิเล็กทรอนิกส์เชิงเส้น (Linear Circuit) ในการสร้างสัญญาณควบคุม และเครื่องควบคุมแบบดิจิทัลทำงาน โดยใช้วงจรตรรกะ (Logic Circuit) หรือไมโครโปรเซสเซอร์สร้างสัญญาณควบคุม โดยเครื่องควบคุม ที่ถูกนำมาใช้และเป็นที่รู้จักกันดีมากที่สุดในการอุตสาหกรรมการผลิตก็คือ ตัวควบคุมแบบ PID

3.1 การควบคุมแบบป้อนกลับด้วยตัวควบคุมพีไอดี

ระบบควบคุมแบบ Closed-loop นั้นเป็นระบบควบคุมแบบหนึ่งซึ่งสัญญาณเอาต์พุตจะมีผลโดยตรงต่อการควบคุม ดังนั้นระบบควบคุมแบบ Closed-loop ก็คือ ระบบควบคุมป้อนกลับนั่นเอง สัญญาณค่าความคลาดเคลื่อนซึ่งเป็นสัญญาณแตกต่างระหว่างสัญญาณอินพุตกับสัญญาณป้อนกลับจะถูกป้อนให้ตัวควบคุมเพื่อที่จะได้ลดความคลาดเคลื่อนให้น้อยลง และ ทำให้เอาต์พุตของระบบมีค่าตามที่ต้องการ ซึ่งสัญญาณที่ใช้ป้อนกลับนี้อาจเป็นสัญญาณเอาต์พุตโดยตรงหรือเป็นสัญญาณที่เป็นฟังก์ชันของสัญญาณเอาต์พุต

ระบบควบคุมป้อนกลับ โดยทั่วไปประกอบด้วยอุปกรณ์ ดังนี้

1. ตัวควบคุม (Controller) คือ ตัวรับค่าสัญญาณวัดเพื่อนำมาเปรียบเทียบเป็นค่าเป้าหมายแล้วคำนวณหาค่าที่เหมาะสม เพื่อส่งเป็นสัญญาณควบคุมออกไปควบคุมโปรเซสซึ่งเราสามารถจะตั้งเป้าหมายให้กับตัวควบคุมนี้ได้ ซึ่งการควบคุมมีหลายแบบ เช่น ON-OFF Control, P Control, PI Control, PID Control เป็นต้น

2. อุปกรณ์วัด (Measuring Instruments) หมายถึง อุปกรณ์ได้แก่ Sensor, Transducer หรืออุปกรณ์แปลงสัญญาณ (Converter) หรือวัดสัญญาณอื่นๆ ที่มีเอาต์พุตตามสัญญาณมาตรฐาน

เอาต์พุต

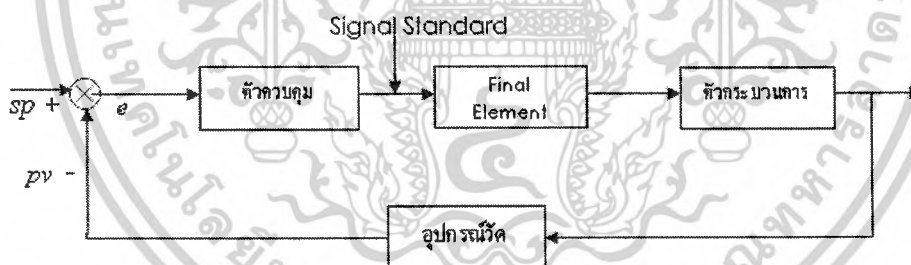
เอกสารนี้เป็นเอกสารที่สงวนไว้สำหรับการใช้งานเพื่อการศึกษาเท่านั้น ไม่อนุญาตให้นำไปใช้ประโยชน์ด้านการค้าไม่ว่ากรณีใดๆ ทั้งสิ้น อีกทั้งห้ามมิให้ตัดแปลงเนื้อหาและต้องอ้างอิงถึงเจ้าของเอกสารทุกครั้งที่มีการนำไปใช้

2. อุปกรณ์วัด (Measuring Instruments) หมายถึง อุปกรณ์ได้แก่ Sensor, Transducer หรืออุปกรณ์แปลงสัญญาณ (Converter) หรือวัดสัญญาณอื่นๆ ที่มีเอาต์พุตตามสัญญาณมาตรฐานเอาต์พุต

3. อุปกรณ์ปรับกระบวนการ (Final Control Element) เป็นอุปกรณ์ที่ทำหน้าที่ปรับสภาวะของกระบวนการด้วยสภาวะของกระบวนการเปลี่ยนแปลงตามค่าสัญญาณควบคุม (Manipulated Variable) ของกฎการควบคุมอุปกรณ์พวกนี้ได้แก่ วาล์วควบคุม (Control Valve), inverter, Actuator ต่างๆ เป็นต้น

4. ตัวกระบวนการ (Plant or process) คือ กระบวนการที่ถูกควบคุมหรือกระบวนการทางฟิสิกส์ที่เราต้องการควบคุมให้มีสภาวะตามต้องการ ขณะที่สภาวะการทำงานหรือสภาพแวดล้อมอาจเปลี่ยนแปลงอยู่ตลอดเวลากระบวนการซึ่ง ได้แก่ อุณหภูมิ, ความดัน, อัตราการไหล, ระดับค่าความเข้มข้นกรดต่าง เป็นต้น

5. สัญญาณมาตรฐาน (Standard Signal) ในการที่เราต้องการเชื่อมต่ออุปกรณ์ในระบบให้ควบคุมอัตโนมัติในการทำงานได้ตามต้องการซึ่งจำเป็นต้องมีมาตรฐานรองรับ ซึ่งวิวัฒนาการตั้งแต่เริ่มมีระบบควบคุมอัตโนมัติมานั้นก็มีการเปลี่ยนแปลงระบบตัวอุปกรณ์ทางเครื่องมือวัดมาตั้งแต่ยุคการใช้ (Pneumatic), ไฟฟ้า (Electrical) แล้วปัจจุบันเริ่มมีการใช้สัญญาณดิจิทัลกันแล้ว สัญญาณลม 3-15 PSI, สัญญาณไฟฟ้า 1-5 Vd.c หรือ 4-20 mA



ภาพที่ 3.1 แสดงโครงสร้างของระบบควบคุมแบบป้อนกลับโดยทั่วไป

การควบคุมกระบวนการทางอุตสาหกรรม โดยทั่วไปนิยมใช้ตัวควบคุมแบบพีไอดี (PID) เพราะรูปแบบของตัวควบคุมเป็นตัวควบคุมที่สามารถควบคุมกระบวนการต่างๆ ได้อย่างกว้างขวาง เนื่องจากมีโครงสร้างการทำงานที่ไม่ซับซ้อน สามารถเข้าใจได้ง่าย การใช้งานตัวควบคุมพีไอดีนี้ขึ้นอยู่กับค่าปรับค่าพารามิเตอร์ของตัวควบคุม PID ให้เหมาะสม เพื่อให้ได้ผลตอบสนองของกระบวนการตามต้องการ

ตัวควบคุม PID ประกอบด้วยตัวควบคุมแบบ Proportional (P) ตัวควบคุมแบบ Integral (I)

ตัวควบคุมแบบ Derivative (D) ซึ่งมีฟังก์ชันถ่ายโอน (Transfer function) ดังนี้
เอกสารนี้เป็นเอกสารที่สงวนไว้สำหรับการใช้งานเพื่อการศึกษาเท่านั้น ไม่อนุญาตให้นำไปใช้ประโยชน์ด้านการค้าไม่ว่ากรณีใดๆ ทั้งสิ้น อีกทั้งห้ามมิให้ตัดแปลงเนื้อหาและต้องอ้างอิงถึงเจ้าของเอกสารทุกครั้งที่มีการนำไปใช้

$$m(t) = Kp \left(e(t) + \frac{1}{Ti} \int_0^t e(t) dt + Td \frac{de(t)}{dt} \right) \quad (3.1)$$

โดยที่ Kp = ค่าอัตราขยายของตัวควบคุมแบบ P (Proportional Gain)

Ti = ค่าเวลา Integral (Integral Time)

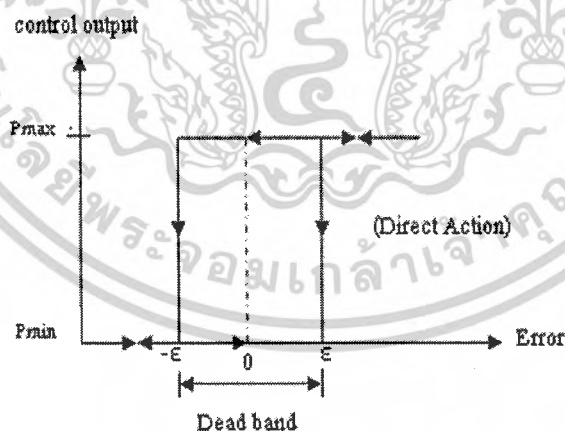
Td = ค่าเวลา Derivative (Derivative Time)

จากภาพที่ 3.1 จะเห็นได้ว่าสัญญาณควบคุมหรือ ตัวแปรปรับกระบวนการ (mv) ที่ได้จากตัวควบคุม PID จะถูกกำหนดด้วยความสัมพันธ์ระหว่างค่าสัญญาณขาเข้าด้วยตัวควบคุมกับตัวแปรกระบวนการ (pv) กับสัญญาณอ้างอิงหรือค่าเป้าหมาย (sp) โดยที่ความสัมพันธ์ดังกล่าวจะขึ้นอยู่กับกฎเกณฑ์การควบคุมที่ผู้ควบคุมปรับแต่งไว้ล่วงหน้า (ค่าพารามิเตอร์ของตัวควบคุม) จะเป็นไปตามกริยาควบคุมแบบต่างๆดังที่กล่าวต่อไปนี้

3.2 กริยาการควบคุมแบบป้อนกลับ

3.2.1 กริยาการควบคุมแบบ ON-OFF

การควบคุมแบบ ON-OFF เป็นการควบคุมที่ง่ายที่สุด และนิยมที่จะใช้เพื่อการควบคุมทางกระบวนการที่ไม่ต้องการความเที่ยงตรงสูง โดยการควบคุมนั้นจะทำงานเพียง 2 สถานะ คือ ให้เปิด (100%) กับปิด (0%) กริยาการควบคุมแบบ ON-OFF ดังแสดง ภาพที่ 3.2



ภาพที่ 3.2 แสดงกริยาการควบคุมแบบ ON-OFF

จากภาพที่ 3.2 จะเห็นว่าถ้าค่าความคลาดเคลื่อนมากกว่าค่าวิกฤต ($+E$) ค่าเอาต์พุทของตัวควบคุมจะเปลี่ยนจาก 0% เป็น 100% เมื่อค่าความคลาดเคลื่อนน้อยกว่าค่าวิกฤต ($-E$) ค่าเอาต์พุทของตัวควบคุมจะเปลี่ยนจาก 100% เป็น 0% ค่าเอาต์พุทที่อยู่ในช่วงเขตแบนด์ (Dead Band) จะไม่มีการเอกสการนี้เป็นเอกสการที่สงวนไว้สำหรับการใช้งานเพื่อการศึกษาเท่านั้น ไม่อนุญาตให้นำไปใช้ประโยชน์ด้านการค้าไม่ว่ากรณีใดๆ ทั้งสิ้น อีกทั้งห้ามมิให้ตัดแปลงเนื้อหาและต้องอ้างอิงถึงเจ้าของเอกสารทุกครั้งที่มีการนำไปใช้

เที่ยงตรงของการควบคุมลดลง กริยาการควบคุมแบบ ON-OFF สามารถเขียนเป็นสมการ(3.2) ได้ดังนี้

$$m(t) = \begin{cases} 0\% & , e < -\epsilon \\ 100\% & , e > +\epsilon \end{cases} \quad (3.2)$$

เมื่อ $m(t)$ = สัญญาณควบคุมหรือเอาต์พุทของตัวควบคุม

$e(t)$ = ค่าความคลาดเคลื่อน

ϵ = $\frac{1}{2}$ ของค่าเดธแบนด์

3.2.2 กริยาการควบคุมแบบ Proportional (P)

กริยาการควบคุม P นั้น ค่าเอาต์พุทของตัวควบคุมจะแปรผันตรงกับค่าความคลาดเคลื่อน กล่าวคือ ถ้าค่าความคลาดเคลื่อนมีค่ามากขึ้น ค่าเอาต์พุทของตัวควบคุมก็จะมีค่ามากขึ้นตาม และถ้าค่าความคลาดเคลื่อนมีค่าน้อยลง ค่าเอาต์พุทของตัวควบคุมก็จะมีค่าน้อยลงตามกริยาการควบคุมแบบ P สามารถเขียนสมการ(3.3) ได้ดังนี้

$$mp(t) = Kp e(t) + \bar{m} \quad (3.3)$$

$mp(t)$ = ค่าเอาต์พุทของตัวควบคุมแบบ Proportional

Kp = อัตราขยายของตัวควบคุมแบบ Proportional

\bar{m} = ค่าเอาต์พุทของตัวควบคุมที่ค่าความคลาดเคลื่อนเท่ากับศูนย์

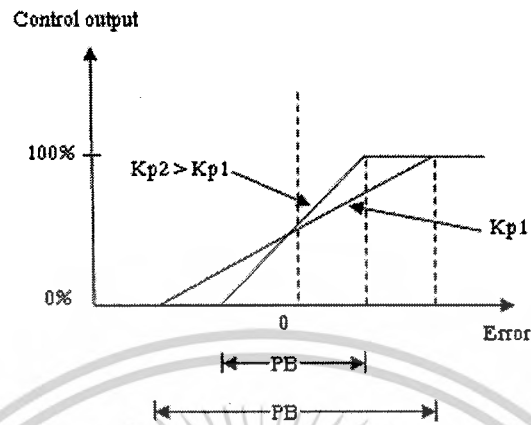
ตัวควบคุมแบบ P บางตัวอาจจะใช้ค่า Proportional Band(PB) แทนการใช้ค่า Kp ซึ่ง PB คือช่วงของค่าความคลาดเคลื่อนในระหว่างที่เอาต์พุทของตัวควบคุมมีค่า 0-100% ดังสมการ (3.4)

$$PB = \frac{100\%}{Kp} \quad (3.4)$$

ข้อเสียของกริยาการควบคุมแบบ Proportional คือ ไม่สามารถกำจัดค่าออฟเซตได้

เอกสารนี้เป็นเอกสารที่สงวนไว้สำหรับการใช้งานเพื่อการศึกษาเท่านั้น ไม่อนุญาตให้นำไปใช้ประโยชน์ด้านการค้าไม่ว่ากรณีใดๆ ทั้งสิ้น อีกทั้งห้ามมิให้ตัดแปลงเนื้อหาและต้องอ้างอิงถึงเจ้าของเอกสารทุกครั้งที่มีการนำไปใช้

ข้อเสียของกริยาการควบคุมแบบ Proportional คือ ไม่สามารถกำจัดค่าออฟเซตได้



ภาพที่ 3.3 แสดงคุณสมบัติของกริยาการควบคุมแบบ Proportional

3.2.3 กริยาการควบคุมแบบ Integral (I)

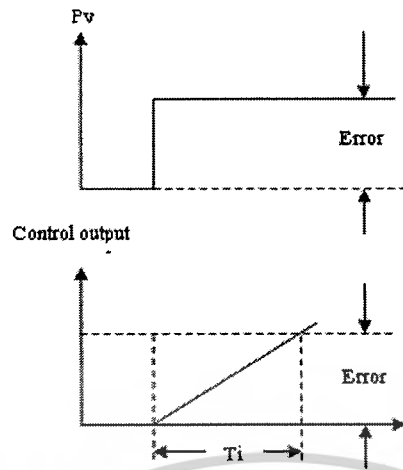
กริยาการควบคุมแบบ I หรือ เรียกอีกอย่างหนึ่งว่า การควบคุมแบบรีเซ็ต (Reset Control) โดยค่าเอาต์พุตของตัวควบคุมซึ่งหาได้จากค่าพื้นที่ทั้งหมดภายใต้กราฟของค่าความคลาดเคลื่อนต่อเวลาคูณกับค่าคงที่ ที่เรียกว่า อัตราขยายของตัวควบคุมแบบ I (Integral Gain) ดังสมการ (3.5) ต่อไปนี้

$$m_I(t) = K_I \int_0^t e(t) dt + \bar{m}_I(0) \quad (3.5)$$

เมื่อ $m_I(t)$ = ค่าเอาต์พุตของตัวควบคุมแบบ Integral
 K_I = อัตราขยายของตัวควบคุมแบบ Integral
 $\int_0^t e(t) dt$ = พื้นที่ทั้งหมดของค่าความคลาดเคลื่อน
 $\bar{m}_I(0)$ = ค่าเอาต์พุตของตัวควบคุมที่เวลา t เท่ากับศูนย์

ผลของกริยาการควบคุมแบบ I นี้จะทำให้ไม่เกิดค่าของออฟเซตขึ้นในระบบ และ ลดค่าพุ่งเกิน (Overshoot) ของระบบลงได้ แต่ถ้ากริยาการควบคุมมีค่าสูงเกินไปจะทำให้ผลตอบสนองของกระบวนการช้าลง ผลตอบสนองของกริยาการควบคุมแบบ I ดังแสดงในภาพที่ 3.4

เอกสารนี้เป็นเอกสารที่สงวนไว้สำหรับการใช้งานเพื่อการศึกษาเท่านั้น ไม่อนุญาตให้นำไปใช้ประโยชน์ด้านการค้า ไม่ว่ากรณีใดๆ ทั้งสิ้น อีกทั้งห้ามมิให้ตัดแปลงเนื้อหาและต้องอ้างอิงถึงเจ้าของเอกสารทุกครั้งที่มีการนำไปใช้



ภาพที่ 3.4 แสดงผลตอบสนองของกริยาการควบคุมแบบ Integral

3.2.4 กริยาการควบคุมแบบ Derivative (D)

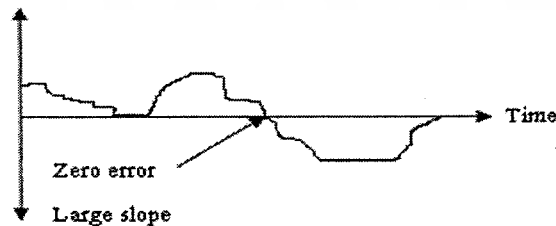
กริยาการควบคุมแบบ D เรียกอีกชื่อหนึ่งว่า การควบคุมแบบอัตราส่วน (Rate Action) โดยสัญญาณเอาต์พุทของตัวควบคุมจะขึ้นอยู่กับอัตราการเปลี่ยนแปลงของค่าความคลาดเคลื่อนต่อเวลา จะเห็นว่าค่าความคลาดเคลื่อนนี้มีโอกาสเป็นศูนย์ได้ และค่าเอาต์พุทก็สามารถเปลี่ยนแปลงให้มีค่าสูงขึ้น เมื่อความคลาดเคลื่อนเปลี่ยนแปลง ซึ่งเรียกการกระทำดังกล่าวว่า อัตราการกระทำ (Rate Action) ดังสมการ(3.6) ต่อไปนี้

$$m_D(t) = K_D \frac{de(t)}{dt} \quad (3.6)$$

เมื่อ $m_D(t)$ = ค่าเอาต์พุทของตัวควบคุมแบบ Derivative

K_D = อัตราขยายของตัวควบคุมแบบ Derivative

$\frac{de(t)}{dt}$ = ค่าความคลาดเคลื่อนที่เวลา t



ภาพที่ 3.5 แสดงตัวอย่างผลตอบสนองของกริยาการควบคุมแบบ Derivative

เอกสารนี้เป็นเอกสารที่สงวนไว้สำหรับการใช้งานเพื่อการศึกษาเท่านั้น ไม่นิยมนำไปเผยแพร่โดยไม่ได้รับอนุญาต
ไม่ว่ากรณีใดๆ ทั้งสิ้น อีกทั้งห้ามมิให้ตัดแปลงเนื้อหาและต้องอ้างอิงถึงเจ้าของเอกสารทุกครั้งที่มีการนำไปใช้

3.2.5 ฏิกิริยาการควบคุมแบบ Proportional- Integral (PI)

ตามที่กล่าวมาแล้วว่าฏิกิริยาการควบคุมแบบ P นั้น จะมีออฟเซ็ทเกิดขึ้น ซึ่งการกำจัดค่าของออฟเซ็ทนี้ สามารถทำได้โดยการเพิ่มฏิกิริยาการควบคุมแบบ I เข้าไป ดังสมการต่อไปนี้

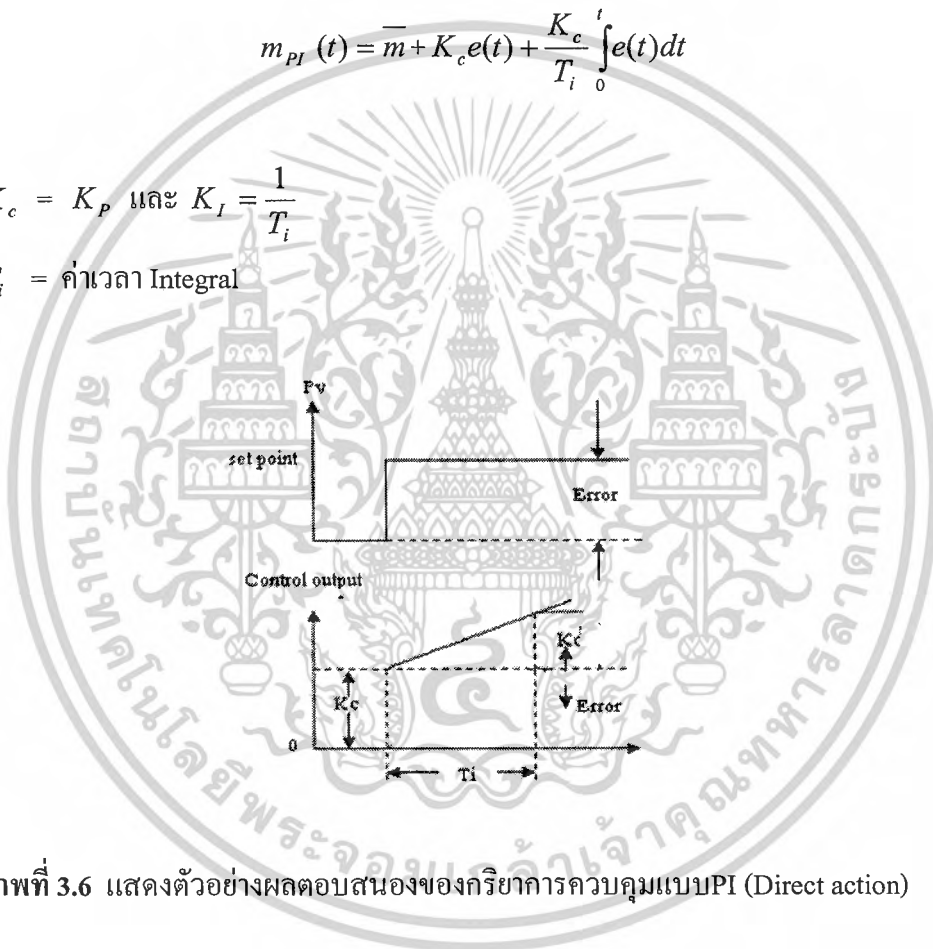
$$m_{PI}(t) = \bar{m} + K_p e(t) + K_p K_I \int_0^t e(t) dt \quad (3.7)$$

หรือ

$$m_{PI}(t) = \bar{m} + K_c e(t) + \frac{K_c}{T_i} \int_0^t e(t) dt \quad (3.8)$$

เมื่อ $K_c = K_p$ และ $K_I = \frac{1}{T_i}$

T_i = ค่าเวลา Integral



ภาพที่ 3.6 แสดงตัวอย่างผลตอบสนองของฏิกิริยาการควบคุมแบบPI (Direct action)

3.2.6 ฏิกิริยาการควบคุมแบบ Proportional-Derivative (PD)

การประยุกต์ใช้ฏิกิริยาการควบคุมแบบ P ร่วมกับฏิกิริยาการควบคุมแบบ D เพื่อให้ผลตอบสนองของระบบรวดเร็วขึ้น แต่จะไม่มีผลโดยตรงต่อผลตอบสนองของระบบที่สภาวะคงที่ไว้ซึ่งสมการเอาท์พุทของฏิกิริยาการควบคุมแบบ PD แสดงดังสมการ(3.9)ต่อไปนี้

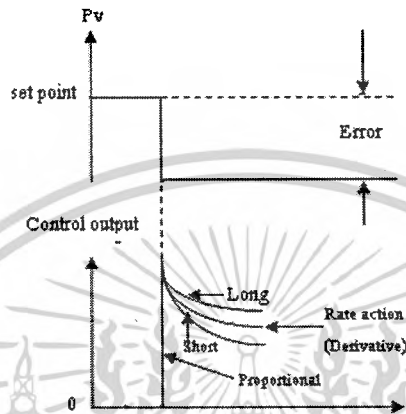
$$m_{PD}(t) = \bar{m} + K_p e(t) + K_p K_D \frac{de(t)}{dt} \quad (3.9)$$

หรือ เอกสารนี้เป็นเอกสารที่สงวนไว้สำหรับการใช้งานเพื่อการศึกษาเท่านั้น ไม่อนุญาตให้นำไปใช้ประโยชน์ด้านการค้าไม่ว่ากรณีใดๆ ทั้งสิ้น อีกทั้งห้ามมิให้ดัดแปลงเนื้อหาและต้องอ้างอิงถึงเจ้าของเอกสารทุกครั้งที่มีการนำไปใช้

$$m_{PD}(t) = \bar{m} + K_c e(t) + K_c T_d \frac{de(t)}{dt}$$

เมื่อ $K_D = T_d$

T_d = ค่าเวลา Derivative



ภาพที่ 3.7 แสดงตัวอย่างผลตอบสนองของกริยาการควบคุมแบบ PD

3.2.7 กริยาการควบคุมแบบ Proportional – Integral- Derivative (PID)

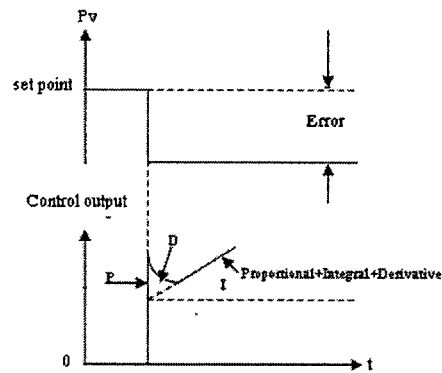
เพื่อให้ผลตอบสนองของระบบควบคุมมีสมรรถนะเป็นไปตามต้องการ จึงใช้กริยาในการควบคุมทั้ง 3 แบบ ร่วมกัน ซึ่งจะทำให้ได้กริยาการควบคุมแบบ PID ที่มีสมการดัง (3.10) ต่อไปนี้

$$m_{PID}(t) = \bar{m} + K_p e(t) + K_p K_I \int_0^t e(t) dt + K_p K_D \frac{de(t)}{dt} \quad (3.10)$$

หรือ

$$m_{PID}(t) = \bar{m} + K_c e(t) + \frac{K_c}{T_i} \int_0^t e(t) dt + K_c T_d \frac{de(t)}{dt}$$

เอกสารนี้เป็นเอกสารที่สงวนไว้สำหรับการใช้งานเพื่อการศึกษาเท่านั้น ไม่อนุญาตให้นำไปใช้ประโยชน์ด้านการค้า ไม่ว่ากรณีใดๆ ทั้งสิ้น อีกทั้งห้ามมิให้ดัดแปลงเนื้อหาและต้องอ้างอิงถึงเจ้าของเอกสารทุกครั้งที่มีการนำไปใช้



ภาพที่ 3.8 แสดงตัวอย่างผลตอบสนองของกริยาการควบคุมแบบ PI (Direct action)

3.3 การคำนวณหาค่าพารามิเตอร์ของตัวควบคุม PID จากผลตอบสนองของกระบวนการ

การนำตัวควบคุม PID ไปใช้ในการควบคุมกระบวนการต่างๆ จำเป็นที่จะต้องทำการปรับค่าพารามิเตอร์ของตัวควบคุม PID ให้เหมาะสมเพื่อให้ได้ผลตอบสนองที่ดีตามความต้องการซึ่งในการหาค่าพารามิเตอร์ของตัวควบคุม PID นี้สามารถทำได้หลายวิธี ซึ่งบางวิธีอาจพิจารณาได้จากผลตอบสนองของกระบวนการจากการทดสอบทางกระบวนการ หรือจะอาศัยประสบการณ์จากการควบคุม บางวิธีอาจจะอาศัยทฤษฎีทางคณิตศาสตร์ และส่วนใหญ่แล้วจะพิจารณาจากเงื่อนไขของรูปแบบของโดเมนเวลามากกว่าในโดเมนความถี่ซึ่งวิธี Ziegler-Nichols นี้เป็นวิธีที่ได้รับความนิยมมากที่สุดในทางปฏิบัติ

3.3.1 การปรับค่าพารามิเตอร์ของตัวควบคุม PID โดยวิธีของ Ziegler-Nichols

การหาค่า K_p , T_i และ T_d จะขึ้นอยู่กับค่าทางคุณลักษณะของผลตอบสนองชั่วคราวซึ่งในกระบวนการที่ถูกควบคุมมี 3 วิธี คือ

1. วิธี Process Reaction Curve Method (Open Loop Method)
2. วิธี Ultimate Method (Close Loop)
3. วิธี Trial and Error (วิธีการลองผิดลองถูก)

ซึ่งแต่ละวิธีมีจุดมุ่งหมายที่จะทำให้ผลตอบสนองต่อเวลาของกระบวนการต่ออินพุตแบบขั้นบันได มีค่าพุ่งเกินสูงสุดไม่เกิน 25% ดังแสดงในภาพที่ 3.9

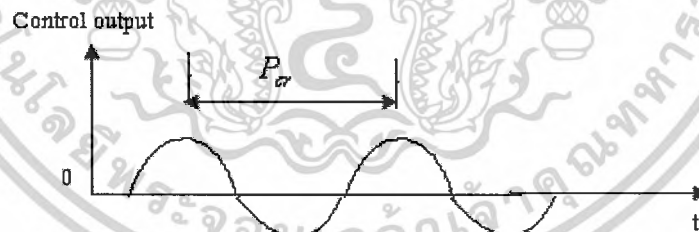
Ziegler-Nichols ได้กำหนดค่าของ K_p, T_i และ T_d สำหรับตัวควบคุมแบบต่างๆดังตาราง

ตารางที่ 3.1 แสดงค่าพารามิเตอร์ของตัวควบคุมแบบต่างๆตามวิธี Process Reaction Curve

Controller Type		Proportional Gain K_c	Integral Time T_i	Derivative Time T_d
Proportional only	P	$\frac{1}{K} \left(\frac{\tau}{t_0} \right)$	-	-
Proportional – Integral	PI	$\frac{0.9}{K} \left(\frac{\tau}{t_0} \right)$	$3.33t_0$	-
Proportional-Integral-Derivative	PID	$\frac{1.2}{K} \left(\frac{\tau}{t_0} \right)$	$2.0t_0$	$0.5t_0$

3.3.1.2 วิธี Ultimate Method (Close Loop)

วิธีนี้จะหาค่าพารามิเตอร์ของตัวควบคุม PID จากผลตอบสนองของกระบวนการแบบลูปปิดที่ถูกรักษาด้วยตัวควบคุมแบบ P ต่อสัญญาณอินพุตแบบขั้นบันได โดยปรับค่า K_p ไปเรื่อยๆ จนผลตอบสนองของกระบวนการเกิดการแกว่งอย่างต่อเนื่อง (Sustained Oscillations) ถ้าผลตอบสนองเวลาไม่เกิดการแกว่งอย่างต่อเนื่อง วิธีการนี้จะใช้ไม่ได้ ดังแสดงในภาพที่ 3.11



ภาพที่ 3.11 แสดงผลตอบสนองเวลาเกิดการแกว่งอย่างต่อเนื่อง เมื่อปรับโดยใช้วิธี Ultimate method

จากการหาค่าของ

K_{cr} (Critical Gain) คือ อัตราการขยายที่ทำให้ผลตอบสนองเวลาเกิดการแกว่งได้อย่างต่อเนื่อง

P_{cr} (Oscillation Period) คือ คาบเวลาของการแกว่งอย่างต่อเนื่อง

เอกสารนี้เป็นเอกสารที่สงวนไว้สำหรับการใช้งานเพื่อการศึกษาเท่านั้น ไม่อนุญาตให้นำไปใช้ประโยชน์ด้านการค้า ไม่ว่ากรณีใดๆ ทั้งสิ้น อีกทั้งห้ามมิให้ตัดแปลงเนื้อหาและต้องอ้างอิงถึงเจ้าของเอกสารทุกครั้งที่มีการนำไปใช้

Ziegler-Nichols ได้กำหนดค่าของ K_p, T_i และ T_d สำหรับตัวควบคุมแบบต่าง ๆ

ดังตาราง

ตารางที่ 3.2 แสดงค่าพารามิเตอร์ของตัวควบคุมแบบต่างๆตามวิธี Ultimate Method

Controller Type		Proportional Gain K_c	Integral Time T_i	Derivative Time T_d
Proportional only	P	$\frac{K_{cr}}{2}$	-	-
Proportional – Integral	PI	$\frac{K_{cr}}{2.2}$	$\frac{T_{cr}}{1.2}$	-
Proportional-Integral-Derivative	PID	$\frac{K_{cr}}{1.7}$	$\frac{T_{cr}}{2}$	$\frac{T_{cr}}{8}$

การคำนวณหาค่าพารามิเตอร์ของตัวควบคุมของ PID โดยวิธีของ Ziegler-Nichols นั้นไม่ใช่เป็นค่าที่เที่ยงตรงที่จะนำไปใช้งานได้ทันที และมีความฟุ้งเกินสูงสุดไม่เกิน 25 % ตามที่ได้กล่าวไว้ แต่ค่าที่ได้อาจจะมีความคลาดเคลื่อนเพียงแค่นี้ก็เพียงพอแล้ว หรือ ไม่ก็คลาดเคลื่อนก็ตามผู้ควบคุมจะต้องทำการปรับค่าของพารามิเตอร์เหล่านี้แบบละเอียด (Fine Tuning) อีกครั้งหนึ่ง

3.3.1.3 วิธี Trial and Error (วิธีการลองผิดลองถูก)

เป็นวิธีการที่เหมาะสมสำหรับผู้ที่มีประสบการณ์ในด้านการปรับพารามิเตอร์ PID แล้ว โดยการควบคุมจะต้องเป็นระบบปิดและตำแหน่งการควบคุมจะต้องอยู่ในตำแหน่ง Automatic Control ส่วนวิธีการต่อไปนี้ก็คือ

วิธีการปรับแบบ PI

1. ให้ตัวควบคุมทำงานในรูปแบบ Proportional Control เพียงอย่างเดียว
2. ต่อไปทำการปรับค่า K_c จนกระทั่งค่า PV เข้าใกล้ค่าเป้าหมายซึ่งโดยทั่วไปก็จะต่ำกว่าค่าเป้าหมายเพียงเล็กน้อย
3. ต่อไปค่อยๆปรับค่า T_i เพิ่มขึ้นเพื่อชดเชยค่า Offset ที่เกิดขึ้นแล้วดูผลว่าค่า PV เข้าสู่ค่าเป้าหมายตามที่ต้องการหรือยังถ้ายังก็ค่อยๆปรับขึ้นอีกจนกระทั่งได้ตามต้องการ โดยช่วงนี้ก็พยายามลด K_c เพื่อลดการแกว่ง

วิธีการปรับแบบ PID

1. ทำตามวิธีการแบบ PI ทั้ง 3 ข้อ

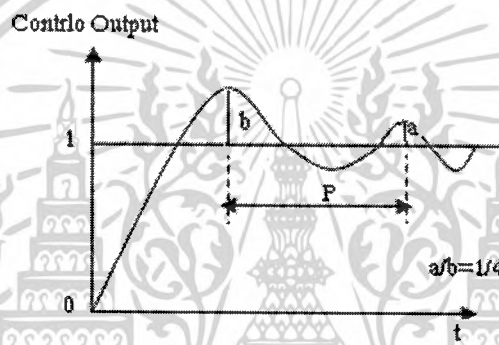
เอกสารนี้เป็นเอกสารที่สงวนไว้สำหรับการใช้งานเพื่อการศึกษาเท่านั้น ไม่อนุญาตให้นำไปใช้ประโยชน์ด้านการค้า ไม่ว่ากรณีใดๆ ทั้งสิ้น อีกทั้งห้ามมิให้ตัดแปลงเนื้อหาและต้องอ้างอิงถึงเจ้าของเอกสารทุกครั้งที่มีการนำไปใช้

2. ถ้าต้องการผลตอบสนองที่รวดเร็วขึ้นมักจะใช้ค่าอัตราส่วนระหว่างค่า Integral Time กับ Derivative Time เป็น 4/1 เป็นต้นไปพร้อมกับการเพิ่มลดของค่า K_c ไปด้วยเพื่อที่จะใช้ป้องกันการเกิด Overshoot และการเกิด Hunting

3. เนื่องด้วยวิธีการนี้เป็นความพึงพอใจเฉพาะบุคคลจึงยากที่จะกำหนดให้เป็นไปตามกฎเกณฑ์ตายตัว แต่วิธีการเริ่มต้นในการปรับนั้นมักเหมือนกัน

3.3.2 การปรับค่าพารามิเตอร์ของตัวควบคุม PID โดยวิธี Damped Oscillation

วิธีปรับปรุงมาจากวิธี Ultimate Method โดย Harriott เพื่อใช้ในกรณีที่การปรับค่าของ K_p ไปอย่างไรก็ตาม แต่ผลตอบสนองต่อเวลาไม่เกิดการแกว่งอย่างต่อเนื่อง ดังแสดงในภาพ



ภาพที่ 3.12 แสดงค่าอัตราการเสื่อม 1/4 เมื่อปรับโดยวิธี Damped Oscillation

วิธี Damped Oscillation นี้จะปรับค่าของ K_p ไปจนถึงผลตอบสนองต่อเวลาของระบบที่ใช้ควบคุมแบบลูบปิดมีอัตราเสื่อม 1/4 ดังภาพ จากนั้นวัดค่าของ P และใช้ค่า $K_p (1/4)$ เพื่อคำนวณหาค่า K_p, T_i และ T_d ดังนี้

$$K_p = (1/4)$$

$$T_i = P/1.5$$

$$T_d = P/6$$

3.4 ข้อกำหนด (Specifications) ของผลตอบสนองชั่วคราวของระบบ

สมรรถนะของระบบควบคุม จะแสดงในเทอมของปริมาณต่างๆ ในรูปของโดเมนเวลา โดยจะทำการวิเคราะห์สมรรถนะจากผลตอบสนองชั่วคราวของระบบต่ออินพุทที่เป็น Unit step สำหรับข้อกำหนดต่างๆ ซึ่งจะประกอบด้วย

เอกสารนี้เป็นเอกสารที่สงวนไว้สำหรับการใช้งานเพื่อการศึกษาเท่านั้น ไม่อนุญาตให้นำไปใช้ประโยชน์ด้านการค้า ไม่ว่ากรณีใดๆ ทั้งสิ้น อีกทั้งห้ามมิให้ตัดแปลงเนื้อหาและต้องอ้างอิงถึงเจ้าของเอกสารทุกครั้งที่มีการนำไปใช้

1. Maximum Overshoot (M_p) ซึ่งบางครั้งนั้นจะทำการแสดงแบบในเทอมของ Perfect Maximum Overshoot เป็นค่าแตกต่างระหว่างเอาท์พุทที่มีค่าสูงสุดของระบบกับเอาท์พุทที่มีค่าคงที่ นั่นคือถ้า

C_{\max} คือ ค่าเอาท์พุทที่มีค่าสูงสุด

C_{ss} คือ ค่าเอาท์พุทที่มีค่าคงที่

จะได้ว่า

$$M_p = C_{\max} - C_{ss}$$

และ Perfect Maximum Overshoot :

$$\%M_p = \left(\frac{M_p}{C_{ss}} \right) \times 100 \quad (3.12)$$

Maximum Overshoot จะแสดงถึงเสถียรภาพสัมพัทธ์ของระบบโดยทั่วไปแล้วในระบบที่มี Overshoot มากนั้นจะไม่ใช่สิ่งที่ต้องการ นอกจากนี้แล้วค่า Maximum Overshoot ยังเป็นข้อกำหนดสำหรับการออกแบบระบบควบคุมด้วย

2. Delay Time (t_d) เป็นช่วงเวลาที่ผลตอบสนองชั่วคราวของระบบที่จะมีค่าเข้าสู่ 50% ของค่าที่ภาวะคงที่

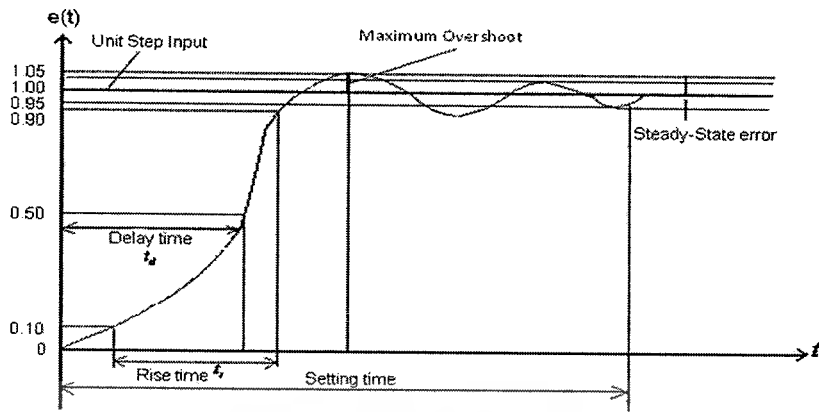
3. Rise Time (t_r) เป็นช่วงเวลาที่ผลตอบสนองชั่วคราวของระบบจะมีค่าเพิ่มขึ้นจาก 10% ถึง 90% ของค่าที่ภาวะคงที่ในบางครั้งอาจจะถือว่า Rise Time เป็นช่วงเวลาที่ให้ผลตอบสนอง 10% ถึง 90%, 5% ถึง 95%, 0% ถึง 100% ของค่าที่ภาวะคงที่ก็ได้

4. Settling Time (t_s) เป็นช่วงเวลาที่ผลตอบสนองชั่วคราวของระบบที่จะมีค่าเข้าสู่ช่วง $\pm 2\%$ หรือ $\pm 5\%$ ของค่าที่ภาวะคงที่และมีค่าอยู่ในช่วงนี้ตลอด หรือหมายถึง ค่าเวลาที่ผลตอบสนองต่อเวลาเปลี่ยนสภาพจากผลตอบสนองชั่วคราวไปเป็นผลตอบสนองที่ภาวะคงที่

5. Peak Time (t_p หรือ t_{\max}) เป็นช่วงเวลาที่ตอบสนองชั่วคราวของการเกิดระบบ Maximum Overshoot

ข้อกำหนดต่าง ๆ เหล่านี้จะใช้วัดคุณลักษณะของผลตอบสนองแบบชั่วคราว โดยอินพุทแบบ Unit step เท่านั้น แต่จะไม่สามารถนำไปใช้ในทุกระบบได้ เช่น ระบบที่ใช้เป็นแบบ Critical Damped และ Over Damped นั้นจะไม่มีค่าของ t_p และ M_p นอกจากนี้ข้อกำหนดเหล่านี้จะใช้กับระบบที่มีเสถียรภาพเท่านั้น เพราะระบบที่ไม่มีเสถียรภาพนั้นผลตอบสนองของระบบจะมีที่ขนาดใหญ่ขึ้นเรื่อยๆ และควบคุมไม่ได้

เอกสารนี้เป็นเอกสารที่สงวนไว้สำหรับการใช้งานเพื่อการศึกษาเท่านั้น ไม่อนุญาตให้นำไปใช้ประโยชน์ด้านการค้า ไม่ว่ากรณีใดๆ ทั้งสิ้น อีกทั้งห้ามมิให้ตัดแปลงเนื้อหาและต้องอ้างอิงถึงเจ้าของเอกสารทุกครั้งที่มีการนำไปใช้



ภาพที่ 3.13 แสดงข้อกำหนดของผลตอบสนองชั่วคราวของระบบ

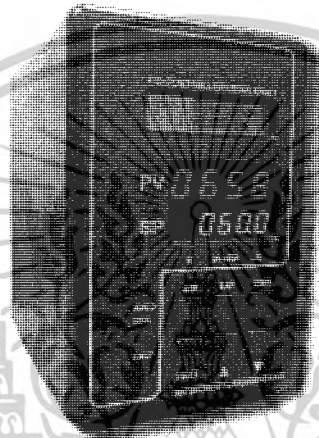


เอกสารนี้เป็นเอกสารที่สงวนไว้สำหรับการใช้งานเพื่อการศึกษาเท่านั้น ไม่อนุญาตให้นำไปใช้ประโยชน์ด้านการค้า
ไม่ว่ากรณีใดๆ ทั้งสิ้น อีกทั้งห้ามมิให้ดัดแปลงเนื้อหาและต้องอ้างอิงถึงเจ้าของเอกสารทุกครั้งที่มีการนำไปใช้

บทที่ 4

การออกแบบตัวควบคุม

ในบทนี้จะทำการกล่าวถึงวิธีการ และ ขั้นตอนของการออกแบบตัวควบคุม PID โดยใช้ตัวไมโครคอนโทรลเลอร์ ARM7 ซึ่งจะทำการแบ่งการออกแบบในส่วนนี้เป็น ฮาร์ดแวร์ และ ส่วนของซอฟต์แวร์ดังนี้



ภาพที่ 4.1 แสดงตัวควบคุม PID

1. Hardware จะประกอบด้วยวงจรต่างๆรวมทั้งในส่วนของการควบคุมและแสดงผล ดังนี้
 - วงจรเพาเวอร์ซัพพลาย
 - วงจร V-V
 - วงจร V-I
 - การออกแบบเคียบอร์ด(SW)
 - การออกแบบตัวแสดงผล (Segment , LCD , LED)

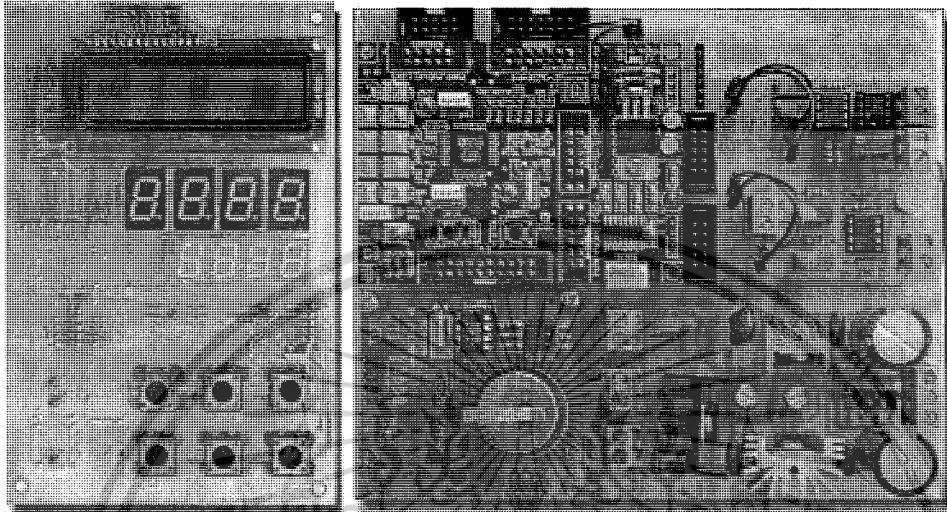
2. Software ในส่วนนี้จะกล่าวถึงทฤษฎีต่างๆที่ใช้ในการออกแบบตัวควบคุม รวมไปถึงการเขียนโปรแกรมควบคุมเพื่อให้ไมโครคอนโทรลเลอร์ทำงานได้ตามที่ต้องการ เนื้อหาประกอบด้วย

- การออกแบบอัลกอริทึม
- การกำหนดช่วงเวลาของการแซมปลิง(interrupt)
- การแปลงอนาลอกเป็นดิจิตอล

เอกสารนี้เป็นเอกสารที่สงวนไว้สำหรับการใช้งานเพื่อการศึกษาเท่านั้น ไม่อนุญาตให้นำไปใช้ประโยชน์ด้านการค้าไม่ว่ากรณีใดๆ ทั้งสิ้น อีกทั้งห้ามมิให้ดัดแปลงเนื้อหาและต้องอ้างอิงถึงเจ้าของเอกสารทุกครั้งที่มีการนำไปใช้

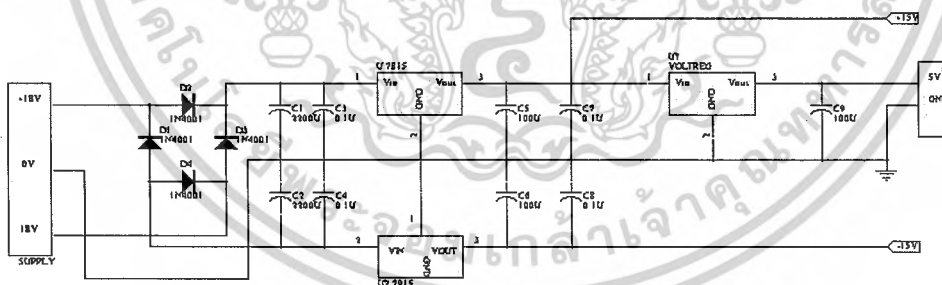
- การแปลงดิจิทัลเป็นอนาลอก
- การ Scaling

4.1 การออกแบบ HardWare



ภาพที่ 4.2 แสดงฮาร์ดแวร์ตัวควบคุมโดยรวม

4.1.1 เพาเวอร์ซัพพลายชนิดสองขั้ว



ภาพที่ 4.3 แสดงวงจรเพาเวอร์ซัพพลาย

จากภาพที่ 4.3 เป็นเพาเวอร์ซัพพลายชนิดสองขั้ว โดยที่แต่ละขั้วจะให้แรงดัน ± 15 โวลต์ D2 และ D4 จะมีหน้าที่ป้อนแรงดันที่เป็นบวกเมื่อเทียบกับกราวด์ให้กับขั้ว 1 และ D1 และ D3 มีหน้าที่ป้อนแรงดันที่เป็นลบเมื่อเทียบกับกราวด์ให้กับขั้ว 2 สำหรับตัวเก็บประจุทั้งสองตัวนั้นจะทำหน้าที่กรองแรงดันรีปเปลให้ลดลง โดย c+ จะทำหน้าที่กรองแรงดันในฝั่งบวก c- ทำหน้าที่กรองแรงดันในฝั่งลบ สำหรับวิธีการคำนวณสามารถทำได้ดังนี้

เอกสารนี้เป็นเอกสารที่สงวนไว้สำหรับการใช้งานเพื่อการศึกษาเท่านั้น ไม่อนุญาตให้นำไปใช้ประโยชน์ด้านการค้า ไม่ว่าจะกรณีใดๆ ทั้งสิ้น อีกทั้งห้ามมิให้ตัดแปลงเนื้อหาและต้องอ้างอิงถึงเจ้าของเอกสารทุกครั้งที่มีการนำไปใช้

ตารางที่ 4.1 การหาขนาดของหม้อแปลง

ชนิดของเรกติไฟ	แรงดันทางด้านขดลวดทุติยภูมิ (Vsec rms)	กระแสทางด้านขดลวดทุติยภูมิ (Isec rms)
HalfWave	$(V_0+0.7)/1.414$	$1.8I_0$
FWCT	$(V_0+0.7)/1.414$	$0.9I_0$
FWB	$(V_0+0.7)/1.414$	$1.8I_0$
Dual FWCT	$(V_0+0.7)/1.414$	$1.8I_0$

ในที่นี้เราใช้เรกติไฟแบบฟลูเวฟเรกติไฟแบบมีเซนเตอร์แท๊ป จากตารางจะเห็นได้ว่า

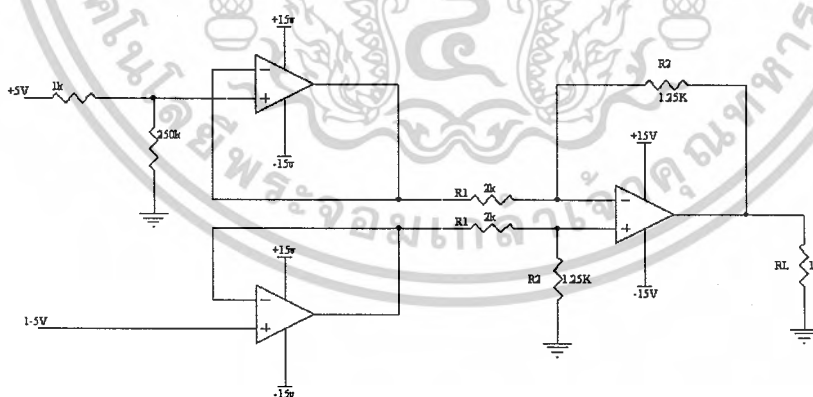
$$V_{sec\ rms} = \frac{V_0 + 0.7}{1.41} = \frac{15 + 0.7}{1.41} = 11.13 \text{ Volts}$$

$$I_{sec\ rms} = 1.8I_0 = 1.44 \text{ A}$$

การหาค่า E_m ที่บวก 15 กับจุด CT

$$E_m = 1.4(15) = 21 \text{ v}$$

4.1.2 วงจรปรับระดับแรงดัน ($V_{in} = 1-5V$, $V_{out} = 0-2.5V$)



ภาพที่ 4.4 แสดงวงจรปรับระดับแรงดัน

จากวงจรค่าแรงดันเอาต์พุต V_{out} จะขึ้นอยู่กับผลต่างแรงดันอินพุต V_1 และ V_2 ถ้าแรงดันอินพุต V_1 และ V_2 มีค่าเท่ากันจะได้ค่าแรงดันเอาต์พุต V_0 จะเท่ากับศูนย์ จะเรียกสัญญาณแรงดันอินพุต V_1 และ V_2 นี้ว่า สัญญาณร่วม (Common Mode Voltage) ค่าความต้านทาน R_1 และ R_2 ในแต่ละกิ่งเป็นเอกลักษณ์ที่ส่งแรงดันครึ่งให้กับวงจรงานเพื่อการศึกษาเท่านั้น เมื่อผู้ดูแลเห็นว่าเว็บไซต์วิชาการค่าไม่ว่ากรณีใดๆ ทั้งสิ้น อีกทั้งห้ามมิให้ตัดแปลงเนื้อหาและต้องอ้างอิงถึงเจ้าของเอกสารทุกครั้งที่มีการนำไปใช้

ละคู่ในวงจรจะต้องมีความสมนัยกันมาก เพื่อให้ได้อัตราขยายของวงจรต่อสัญญาณร่วมเท่ากับศูนย์ ส่วนวงจรขยายความแตกต่างที่เพิ่มวงจรตามศักดาหรือวงจรบัฟเฟอร์ (Buffer) เข้ามายังส่วนหน้าของวงจรนี้ เรียกว่า วงจรขยายแบบอินสตรูเมนต์แบบพื้นฐาน (Basic Instrumentation Amplifier) ซึ่งการคำนวณหาค่าความต้านทาน R_1 และ R_2 มีดังนี้

หาค่าอัตราขยาย A_v

$$A_v = \frac{V_{out}}{V_{in}} = \frac{2.5 - 0}{5 - 1} = 0.625 \quad (4.1)$$

ทำการคำนวณหาค่า R_1 และ R_2 จากสมการ Differential Amplifier

$$V_{out} = \frac{R_2}{R_1} (V_2 - V_1) \quad (4.2)$$

$$A_v = \frac{V_{out}}{V_2 - V_1} = \frac{R_2}{R_1} \quad (4.3)$$

$$0.625R_1 = R_2$$

เลือกค่า $R_1 = 2k\Omega$ เพื่อให้ได้คำตอบของ R_1 และ R_2 เท่ากับ A_v

$$0.625(2k\Omega) = R_2$$

$$R_2 = 1.25k\Omega$$

หาค่าแรงดัน V_1 จาก $V_{in} = 1$ $V_{out} = 0$ แทนสมการที่ (4.2)

$$V_{out} = \frac{R_2}{R_1} (V_2 - V_1)$$

$$0 = \frac{1.25k\Omega}{2k\Omega} (1 - V_1)$$

$$0 = 0.625 - 0.625V_1$$

$$V_1 = 1V$$

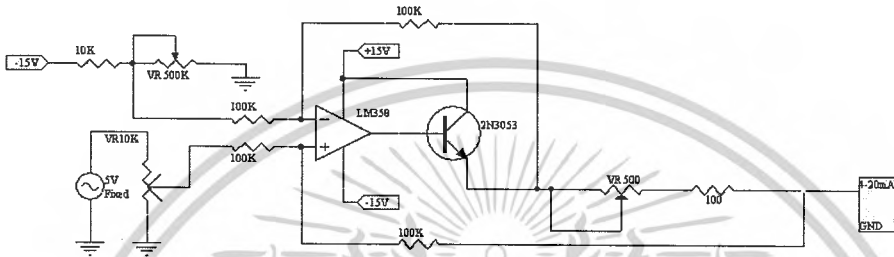
นำค่าแรงดันอินพุตแทนในสมการ (4.2)

เอกสารนี้เป็นเอกสารที่สงวนไว้สำหรับการใช้งานเพื่อการศึกษาเท่านั้น ไม่อนุญาตให้นำไปใช้ประโยชน์ด้านการค้า ไม่ว่ากรณีใดๆ ทั้งสิ้น อีกทั้งห้ามมิให้ดัดแปลงเนื้อหาและต้องอ้างอิงถึงเจ้าของเอกสารทุกครั้งที่มีการนำไปใช้

$$V_{out} = \frac{1.25k\Omega}{2k\Omega}(V2 - V1)$$

จากทฤษฎีตามสมการ (2) จะได้ $V_{out} = 0.625(V2 - V1)$

4.1.3 วงจรแปลงสัญญาณแรงดันไฟฟ้าเป็นสัญญาณกระแสไฟฟ้า (Voltage to Current Converter Circuit)



ภาพที่ 4.5 วงจรแปลงสัญญาณแรงดันไฟฟ้าเป็นสัญญาณกระแสไฟฟ้า

เป็นวงจรที่สำคัญวงจรหนึ่งที่ใช้ในระบบควบคุมกระบวนการทางอุตสาหกรรม ทั้งนี้เนื่องจากบางครั้งอุปกรณ์ตัวส่งสัญญาณในระบบ ให้สัญญาณเอาต์พุตเป็นแรงดันไฟฟ้าแต่ถ้าจำเป็นต้องส่งไปเป็นระยะทางไกลจึงต้องส่งเป็นกระแสไฟฟ้า

จากวงจรต้องการแปลงแรงดันไฟฟ้า 0-2.5 โวลต์ เป็น กระแสไฟฟ้า 4-20 มิลลิแอมป์ ซึ่งมีขั้นตอนการคำนวณดังนี้ วงจรขยายความแตกต่างแรงดันไฟฟ้า คำนวณ ค่าความต้านทานไฟฟ้า จากภาพที่ 4.4 ถ้า $R1=R2=R3=R4=R$ เราสามารถคำนวณแรงดันเอาต์พุตของวงจรได้โดยใช้ทฤษฎีการทับซ้อน (Superposition)

$$V_{out1} = -e_{ref} \quad (4.4)$$

$$V_{out} = \left(1 + \frac{R}{R}\right)V_a \quad (4.5)$$

$$\text{ซึ่ง } V_a = \left(\frac{e_{in} - V_l}{2R}\right)R + V_l$$

$$V_{out2} = 2V_a = 2\left[\left(\frac{e_{in} - V_l}{2R}\right)R + V_l\right] = e_{in} + V_l \quad (4.6)$$

และ

เอกสารนี้เป็นเอกสารที่สงวนไว้สำหรับการใช้งานเพื่อการศึกษาเท่านั้น ไม่อนุญาตให้นำไปใช้ประโยชน์ด้านการค้า ไม่ว่าจะกรณีใดๆ ทั้งสิ้น อีกทั้งห้ามมิให้ตัดแปลงเนื้อหาและต้องอ้างอิงถึงเจ้าของเอกสารทุกครั้งที่มีการนำไปใช้

$$V_{out} = V_{out1} + V_{out2} = V_I + e_{in} - e_{ref} \quad (4.7)$$

และจากรูป $V_{RS} = V_{out} - V_I = V_I + e_{in} - e_{ref} - V_I = e_{in} - e_{ref}$

ดังนั้นกระแสที่ไหลผ่าน R_S ซึ่งมีค่าเท่ากับกระแสเอาต์พุต คือ

$$i_{RS} = i_o = \frac{V_{RS}}{R_S} = \frac{e_{in} - e_{ref}}{R_S} \quad (4.8)$$

จากสมการจะเห็นว่ากระแสเอาต์พุตขึ้นอยู่กับค่าแรงดันอินพุต แรงดันอ้างอิงและค่าความต้านทาน R_S ดังนี้

$$\begin{aligned} e_{in} = 0V & \quad ; \quad i_o = 4mA \\ 4mA & = \frac{0V - e_{ref1}}{R_S} \\ e_{ref} & = 0 - 4mA * R_S \\ \text{ที่ } e_{in} = 2.5V & \quad ; \quad i_o = 20mA \\ 20mA & = \frac{0.5V - e_{ref1}}{R_S} \\ e_{ref} & = 2.5 - 20mA * R_S \end{aligned} \quad (4.9)$$

แทนค่าลงในสมการ จะได้

$$R_S = \frac{2.5}{16mA} = 156.25$$

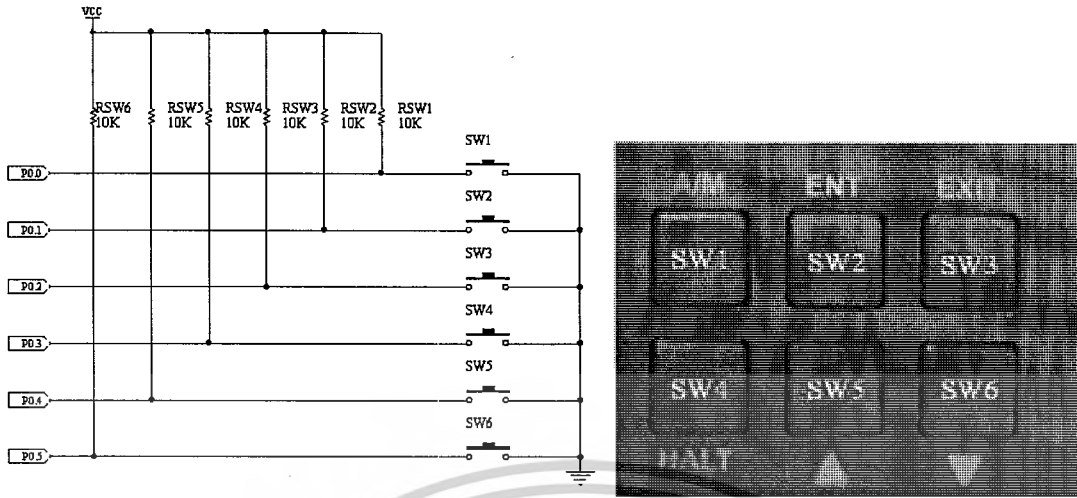
และ $e_{ref} = 0 - 4mA * 156.25 = -0.625$

$$\text{ถ้าแทนลงในสมการ } i_o = \frac{e_{in} - e_{ref}}{R_S} = \frac{0 - (-0.625)}{156.25} = 4mA$$

4.1.4 การออกแบบคีย์บอร์ดควบคุม(SW)

ในการกำหนดอินพุตให้กับระบบนั้นจะใช้วงจรเชื่อมต่อกับไมโครคอนโทรลเลอร์ ARM7 ดังแสดงในภาพที่ 4.6 เลือกใช้งานพอร์ต 0 เป็นอินพุตพอร์ต มีดังนี้ P0.0, P0.1, P0.2, P0.3, P0.4 และ P0.5 จะเห็นว่าทุกขาจะมี R pull-up ต่อร่วมอยู่ ทั้งนี้เพื่อเป็นการกำหนดสถานะเริ่มต้นขณะที่ไม่มีการกดคีย์ โดยจะมีสถานะเป็นลอจิก 1 ตลอดเมื่อมีการกดคีย์สถานะของขานั้นจะมีค่าเป็น 0

เอกสารนี้เป็นเอกสารที่สงวนไว้สำหรับการใช้งานเพื่อการศึกษาเท่านั้น ไม่อนุญาตให้นำไปใช้ประโยชน์ด้านการค้า ไม่ว่ากรณีใดๆ ทั้งสิ้น อีกทั้งห้ามมิให้ตัดแปลงเนื้อหาและต้องอ้างอิงถึงเจ้าของเอกสารทุกครั้งที่มีการนำไปใช้



ภาพที่ 4.6 Schematic และการทำงานของ SW

หน้าที่การทำงานของสวิตช์ต่างๆ

SW1 ทำหน้าที่เป็นปุ่ม ใช้ในการเลือกโหมดการทำงานของตัวควบคุมเป็นแบบ AUTO หรือ MAN ซึ่งจะแสดงสถานะที่ LED_AUTO และ LED_MAN

SW2 ทำหน้าที่เป็นปุ่ม Enter เลือกเข้าฟังก์ชัน

SW3 ทำหน้าที่เป็นปุ่ม Exit ออกจากฟังก์ชัน

SW4 ทำหน้าที่เป็นปุ่ม Halt ใช้ในการหยุดการทำงานของตัวควบคุมชั่วคราว

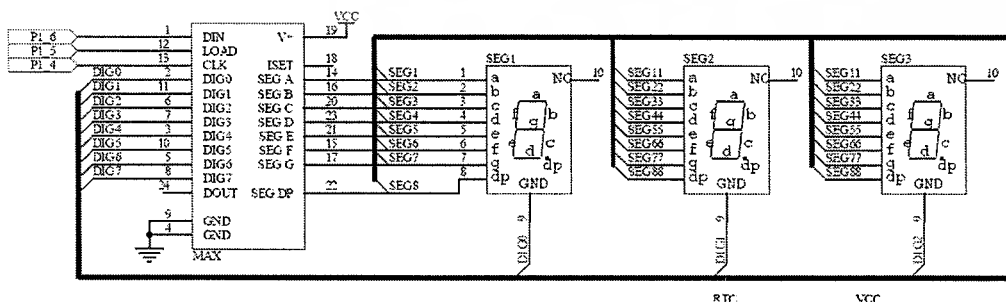
SW5 ทำหน้าที่เป็นปุ่ม ใช้ในการเลื่อนฟังก์ชันขึ้น, เพิ่มค่าของพารามิเตอร์ต่างๆ

SW6 ทำหน้าที่เป็นปุ่ม ใช้ในการเลื่อนฟังก์ชันลง, ลดค่าของพารามิเตอร์ต่างๆ

4.1.5 การออกแบบตัวแสดงผล

สำหรับการแสดงผลนั้นมีอยู่ด้วยกันหลายแบบขึ้นอยู่กับความเหมาะสมของการแสดงผลนั้นๆ ในโปรเจกต์นี้เลือกใช้ตัวแสดงผล 3 แบบ คือ ตัวแสดงผล 7-Segment , LCD และ LED

4.1.5.1 ตัวแสดงผล 7-Segment



เอกสารนี้เป็นเอกสารที่สงวนไว้สำหรับภาพที่ 4.7 Schematic ของ 7-Segment นี้มีอนุญาตให้นำไปใช้ประโยชน์ด้านการค้าไม่ว่ากรณีใดๆ ทั้งสิ้น อีกทั้งห้ามมิให้ดัดแปลงเนื้อหาและต้องอ้างอิงถึงเจ้าของเอกสารทุกครั้งที่มีการนำไปใช้

ในการควบคุมการแสดงผลของแผงแสดงผลแบบตัวเลข 7 ส่วน จำนวน 8 หลักจะใช้ IC MAX 7219 เป็นตัวควบคุมการแสดงผล ทำให้วงจรมีขนาดเล็กและการเขียนโปรแกรมทำงานง่ายและสะดวกมาก

สำหรับการเขียนโปรแกรมควบคุมการทำงาน 7-segment โดยใช้ MAX 7219 นั้นจำเป็นจะต้องทำความเข้าใจวงจรใน ภาพที่ 4.6 เสียก่อนว่าพอร์ตต่างๆของไมโครคอนโทรลเลอร์ ARM7 ADuC7024 ต่อกับขาใดของ MAX 7219 ซึ่งจากวงจรจะได้ว่า

P1.4 ต่อกับขาสัญญาณ CLK

P1.5 ต่อกับขาสัญญาณ Load

P1.6 ต่อกับขาสัญญาณ DIN

ซึ่งในการออกแบบนั้นมี 7-Segment ทั้งหมด 8 หลัก เพื่อที่จะแสดงค่าการทำงานของกระบวนการดังนี้



ภาพที่ 4.8 การแสดงผลของ 7-Segment บนตัวควบคุมPID

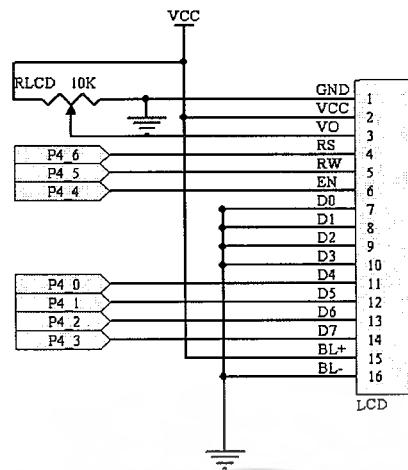
4 หลักบน ใช้แสดงค่า PV ที่ได้รับมาจากทรานซ์ดิวเซอร์

4 หลักล่าง ใช้แสดงค่าเป้าหมาย(setpoint)

4.1.5.2 ตัวแสดงผลแบบผลึกเหลว(LCD)

จอแสดงผลที่ใช้นี้เป็นแบบ DOT MATRIX LCD MODULE เป็นอุปกรณ์แผงแสดงผลตัวอักษรหรือตัวเลข เหมาะสมสำหรับงานแสดงผลการทำงานเป็นข้อความตัวอักษร หรือข้อความต่างๆ

เอกสารนี้เป็นเอกสารที่สงวนไว้สำหรับการใช้งานเพื่อการศึกษาเท่านั้น ไม่อนุญาตให้นำไปใช้ประโยชน์ด้านการค้าไม่ว่ากรณีใดๆ ทั้งสิ้น อีกทั้งห้ามมิให้ตัดแปลงเนื้อหาและต้องอ้างอิงถึงเจ้าของเอกสารทุกครั้งที่มีการนำไปใช้



ภาพที่ 4.9 Schematic ของการต่อจอแสดงผล LCD กับไมโครคอนโทรลเลอร์ ADuC7024

จากภาพที่ 4.9 Schematic ของการต่อจอแสดงผล LCD กับไมโครคอนโทรลเลอร์ ADuC 7024 ซึ่งจะเห็นได้ว่าเป็นการต่อแบบ I/O port และการทำงานของจอแสดงผล LCD อยู่ในโหมด 4 บิต ซึ่งจะต่อใช้งานที่ D7 – D4

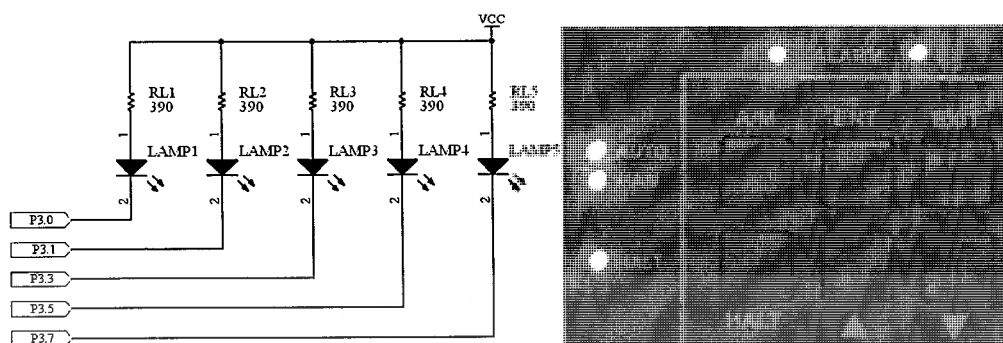


ภาพที่ 4.10 การแสดงผลของ LCD บนตัวควบคุม PID

หน้าที่ของตัวแสดงผล LCD เพื่อใช้แสดงฟังก์ชันการทำงานของตัวควบคุมว่าในขณะที่ตัวควบคุมอยู่ในฟังก์ชันการทำงานอะไร ซึ่งจะมีความสะดวกกว่าการแสดงชื่อฟังก์ชันบน 7-Segment ซึ่งจำเป็นต้องใช้คู่มือประกอบการใช้งานตัวควบคุมเสมอ

เอกสารนี้เป็นเอกสารที่สงวนไว้สำหรับการใช้งานเพื่อการศึกษาเท่านั้น ไม่อนุญาตให้นำไปใช้ประโยชน์ด้านการค้าไม่ว่ากรณีใดๆ ทั้งสิ้น อีกทั้งห้ามมิให้ตัดแปลงเนื้อหาและต้องอ้างอิงถึงเจ้าของเอกสารทุกครั้งที่มีการนำไปใช้

4.1.5.3 ตัวแสดงผล LED



ภาพที่ 4.11 Schematic และการแสดงผลของ LED

LED_H จะติดเพื่อเตือนว่า ขณะนี้ผลของ PV มากกว่าค่าของ SP มากเกินไป นั่นคือกระบวนการเกิดค่า error มากเกินไปนั่นเอง

LED_L จะติดเพื่อเตือนว่า ขณะนี้ผลของ PV น้อยกว่าค่าของ SP มากเกินไป

LED_AUTO จะติดเมื่อ ตัวควบคุมทำงานในโหมด Automatic

LED_MAN จะติดเมื่อ ตัวควบคุมทำงานในโหมด Manual

LED_HALT จะติดเมื่อ ตัวควบคุมมีการหยุดทำงานชั่วคราว

4.2 การออกแบบ SoftWare

4.2.1 การออกแบบ อัลกอริทึม สำหรับตัวควบคุม PID ซึ่งไม่ต่อเนื่องทางเวลา

ก่อนที่จะกล่าวถึงการออกแบบ อัลกอริทึมของดิจิทัลคอนโทรลเลอร์นั้น จะต้องพิจารณาว่า ตัวควบคุมแบบไม่ต่อเนื่องมีคุณสมบัติเหมือนกันกับตัวควบคุมอนาล็อก การควบคุมแบบอนาล็อก ได้อ้างถึงการออกแบบและ การทำให้เกิดผลของตัวควบคุมในโดเมนที่มีความต่อเนื่อง ซึ่งนั่นคือ คอนโทรลเลอร์ที่สร้างจากอุปกรณ์อิเล็กทรอนิกส์นั่นเอง ถึงแม้ว่าธรรมชาติของความไม่ต่อเนื่อง จะควบคุมโดยการจำลองการทำงานให้เหมือนกับธรรมชาติ ตามความต่อเนื่องของการควบคุมแบบอนาล็อก ตัวอย่างซึ่งเป็น PI/PID อัลกอริทึมแบบอิเล็กทรอนิกส์จะมีขั้นตอนอยู่ด้วยกันหลายวิธี โดยคอนโทรลเลอร์นี้มีให้เห็นอยู่ทั่วไปแล้วถูกสร้างขึ้นมาจากรูปแบบที่ไม่ต่อเนื่องทั้งสิ้น

การออกแบบตัวควบคุม PI/PID จาก time domain

พิจารณาตัวควบคุม PID ในทางอุดมคติ เขียนเป็นรูปแบบโดเมนเวลาดังนี้

$$u(t) = K_c e(t) + \frac{K_c}{T_i} \int e(t) dt + K_c T_d \frac{de(t)}{dt} + u_0 \quad (4.10)$$

เอกสารนี้เป็นเอกสารที่สงวนไว้สำหรับการใช้งานเพื่อการศึกษาเท่านั้น ไม่อนุญาตให้นำไปใช้ประโยชน์ด้านการค้า ไม่ว่ากรณีใดๆ ทั้งสิ้น อีกทั้งห้ามมิให้ดัดแปลงเนื้อหาและต้องอ้างอิงถึงเจ้าของเอกสารทุกครั้งที่มีการนำไปใช้

สำหรับคอนโทรลเลอร์ที่ไม่ต่อเนื่อง ที่จำเป็นต้องมีการประมาณค่าในเทอมของการอินทิกรัล และ derivative เพื่อให้เป็นรูปแบบที่เหมาะสมสำหรับการคำนวณโดยคอมพิวเตอร์ สามารถสรุปได้ว่า

$$\frac{de(t)}{dt} \approx \frac{e(t) - e(t-1)}{T_s} \quad (4.11)$$

และ

$$\int e(t)dt \approx T_s \sum_0^t e(i) \quad (4.12)$$

อัลกอริทึมของ PID ซึ่งไม่ต่อเนื่องของเวลาจะได้ว่า

$$u(t) = K_c e(t) + \frac{K_c T_s}{T_i} \sum_{i=0}^t e(i) + \frac{K_c T_d (e(t) + e(t-1))}{T_s} + u_0 \quad (4.13)$$

ฟอร์มที่ได้มานี้เป็นสมการความแตกต่าง ซึ่งเหมาะสำหรับการแปลรหัสในการประมาณค่าของการเขียนโปรแกรม ซึ่งเป็นที่รู้จักกันในชื่อ “positional” อันเนื่องมาจากสัญญาณควบคุมที่ได้จากการคำนวณอ้างอิงค่าจาก U_0

การออกแบบตัวควบคุม PI/PID จาก Laplace domain

เราสามารถกำหนดตัวควบคุม PID ซึ่งไม่ต่อเนื่องทางเวลาได้โดยตรงจากลาปลาซโดเมน อัลกอริทึมสามารถเขียนได้ดังนี้

$$\frac{U(s)}{E(s)} = K_c \left[1 + \frac{1}{T_i s} + T_d s \right] \quad (4.14)$$

จากนั้นเราก็สามารถใช้วิธี backward difference หรือ bilinear ในการสมมูลตัวควบคุม PID ยกตัวอย่างการประยุกต์ใช้วิธี backward difference เป็นดังนี้

$$\frac{U(s)}{E(s)} = K_c \left[1 + \frac{1}{T_i s} + T_d s \right] \xrightarrow{\text{backward-difference}} u(t) = e(t) K_c \left[1 + \frac{T_s}{T_i (1 - z^{-1})} + T_d \frac{(1 - Z^{-1})}{T_s} \right]$$

หรือเขียนให้เข้าใจได้ง่ายว่า

$$u(t) = u(t-1) + K_c [(e(t) - e(t-1))] + \frac{K_c T_s}{T_i} e(t) + \frac{K_c T_d}{T_s} [e(t) - 2e(t-1) + e(t-2)]$$

เอกสารนี้เป็นเอกสารที่สงวนไว้สำหรับการใช้งานเพื่อการศึกษาเท่านั้น ไม่อนุญาตให้นำไปใช้ประโยชน์ด้านการค้า ไม่ว่ากรณีใดๆ ทั้งสิ้น อีกทั้งห้ามมิให้ตัดแปลงเนื้อหาและต้องอ้างอิงถึงเจ้าของเอกสารทุกครั้งที่มีการนำไปใช้

อัลกอริทึมตัวควบคุม PID นี้มีโครงสร้างที่แตกต่างไปจากที่ได้รับจาก time domain เรียก อัลกอริทึมลักษณะนี้ว่า “Velocity” ซึ่งจะค่อนข้างแตกต่างกับการคอนโทรลที่ระบุค่าอ้างอิงคงที่ ที่ใช้ในอัลกอริทึม position การคำนวณตัวควบคุมในปัจจุบันใช้ค่าที่ควบคุมก่อนหน้าในการอ้างอิง การควบคุมจะถูกลำดับเวลาที่เกิดการเปลี่ยนแปลง เพราะฉะนั้นในเทอมของ “velocity form” ให้ผลลัพธ์ที่ได้จาก Bilinear Transform จะเหมือนกับอัลกอริทึมของ Velocity เนื่องจากการประพจน์ ตัวของ $(1-z^{-1})$ ที่ได้จากการประมาณค่า

อัลกอริทึม PID แบบ Positional และ Velocity

ถึงแม้ว่าโครงสร้างของอัลกอริทึมแบบ positional และ velocity จะมีความต่างกัน แต่ในความเป็นจริงแล้วมีความสัมพันธ์กัน ดังนี้

$$u(t) = K_c e(t) + \frac{K_c T_s}{T_i} \sum_{i=0}^t e(i) + \frac{T_d (e(t) - e(t-1))}{T_s} + u_0 \quad (4.15)$$

เมื่อย้อนกลับไปหนึ่งครั้งของช่วงเวลารวม sampling จะได้ว่า

$$u(t-1) = K_c e(t-1) + \frac{K_c T_s}{T_i} \sum_{i=0}^{t-1} e(i) + \frac{T_d (e(t-1) - e(t-2))}{T_s} + u_0 \quad (4.16)$$

นำทั้งสองสมการมาลบกัน จะได้ฟอร์มสุดท้ายคือ

$$u(t) = u(t-1) + K_c [e(t) - e(t-1)] + \frac{K_c T_s}{T_i} e(t) + \frac{K_c T_d}{T_s} [e(t) - 2e(t-1) + e(t-2)] \quad (4.17)$$

หรือเขียนได้ดังนี้

$$U(kT) = U(kT - T) + K_c [e(kT) - e(kT - T)] + \frac{K_c T}{T_i} e(kT) + \frac{K_c T_d}{T} [e(kT) - 2e(kT - T) + e(kT - 2T)]$$

กำหนดให้ $a = K_c$

$$b = \frac{K_c T}{T_i}$$

$$c = \frac{K_c T_d}{T}$$

จะได้

$$U(kT) = U(kT - T) + a[e(kT) - e(kT - T)] + be(kT) + c[e(kT) - 2e(kT - T) + e(kT - 2T)]$$

สามารถเขียนสมการของแต่ละเทอมได้ดังนี้
เอกสารนี้เป็นเอกสารที่สงวนไว้สำหรับการใช้งานเพื่อการศึกษาเท่านั้น ไม่อนุญาตให้นำไปใช้ประโยชน์ด้านการค้า
ไม่ว่ากรณีใดๆ ทั้งสิ้น อีกทั้งห้ามมิให้ตัดแปลงเนื้อหาและต้องอ้างอิงถึงเจ้าของเอกสารทุกครั้งที่มีการนำไปใช้

$$p(kT) = ae(kT) - ae(kT-T)$$

$$i(kT) = be(kT)$$

$$d(kT) = ce(kT) - c2e(kT-T) + ce(kT-2T)$$

เราสามารถนำมาพัฒนาสร้างเป็นอัลกอริทึมเพื่อให้ได้ผลสำเร็จได้ดังนี้ (โดยที่ตัวแปร a, b, c กำหนดได้ตามสมการข้างต้น)

BEGIN

DO FOREVER

Get set point: $r(kT)$
 Get system output: $y(kT)$
 Calculate error: $e(kT) = r(kT) - y(kT)$
 Calculate P term: $p(kT) = ae(kT) - ae(kT-T)$
 Calculate I term: $i(kT) = be(kT)$
 Calculate D term: $d(kT) = ce(kT) - c2e(kT-T) + ce(kT-2T)$
 Calculate PID output: $u(kT) = p(kT) + i(kT) + d(kT) + u(kT-T)$
 Send control to actuator
 Save variables: $e(kT-2T) = e(kT-T)$
 $e(kT-T) = e(kT)$
 $u(kT-T) = u(kT)$
 Wait for next sample

END DO

END

4.2.2 การเลือกช่วงเวลาในการสุ่มค่า (Choice of Sampling Interval)

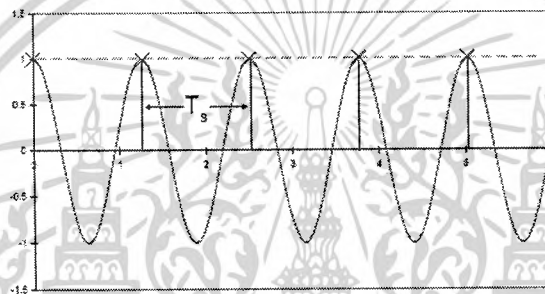
ความสำคัญอื่นอีกในการสุ่มข้อมูลควบคุมจากระบบคือ การเลือกช่วงเวลาสำหรับการสุ่มค่าให้มีความเหมาะสม เพื่อให้สัญญาณที่คอนโทรลเลอร์ได้รับและส่งออกไปในนั้นมีค่าใกล้เคียงกับตัวควบคุมที่มีความต่อเนื่องของเวลา อย่างง่ายดายเป็นช่วงเวลา sampling ต้องมีความเร็วที่มากพอ นั่นก็เพราะการประมาณค่าเพื่อใช้สร้างสมการความแตกต่าง ในการอธิบายคุณสมบัติตัวควบคุม หากช่วงเวลาในการ sampling น้อยก็จะให้คุณสมบัติของตัวควบคุมที่ได้ออกแบบนั้นบิดเบือนไปจากความเป็นจริง ดังนั้นเพื่อจะให้ได้เสถียรภาพที่ดีกว่าการสุ่มค่าที่ดีจะทำให้การทำงานของตัวควบคุมทำงานได้เต็มความสามารถ เมื่อช่วงเวลาในการ sampling มีค่าน้อยๆ

เอกสารนี้เป็นเอกสารที่สงวนไว้สำหรับการใช้งานเพื่อการศึกษาเท่านั้น ไม่อนุญาตให้นำไปใช้ประโยชน์ด้านการค้า ไม่ว่ากรณีใดๆ ทั้งสิ้น อีกทั้งห้ามมิให้ตัดแปลงเนื้อหาและต้องอ้างอิงถึงเจ้าของเอกสารทุกครั้งที่มีการนำไปใช้

อย่างไรก็ตาม หากช่วงเวลาในการsampling เร็วมากจนเกินไป จะก่อให้เกิดความสั่นเปลื้องหรือทรัพยากรเสียหายได้ เช่น ต้นทุนจะเพิ่มมากขึ้นเมื่อต้องการองค์ประกอบที่ทำได้ดีมากขึ้น, ความเร็วในการsamplingสูงจะหมายความว่าส่วนประกอบนั้นต้องมีความถี่สูงเช่นสัญญาณรบกวนซึ่งจะมีผลกระทบต่อสัญญาณอีกด้วย อีกทั้งไม่ส่งผลให้เกิดประโยชน์อย่างจำเป็นสำหรับเสถียรภาพกับวงรอบของการควบคุม

ถ้าระยะเวลาในการ sampling นานเกินไป สัญญาณสูญเสียจะปรากฏ กรณีอย่างนี้จะเกิดปรากฏการณ์ที่เรียกว่า “aliasing”

ภาพประกอบด้านล่างแสดงให้เห็นเสถียรภาพระหว่างตัวควบคุมแบบ PID และ PYID ซึ่งมีช่วงเวลาของคลื่นเหมือนกัน(ค่าที่ได้จากการสุ่มคือตำแหน่งของเครื่องหมายดอกจัน)



ภาพที่ 4.12 แสดงให้เห็นเสถียรภาพระหว่างตัวควบคุมแบบ PID และ PYID

มีหลากหลายทฤษฎีซึ่งได้จกามาประสบการณ์สำหรับการเลือกช่วงเวลา sampling ซึ่งเป็นที่ยอมรับและได้จัดตีพิมพ์ รวมทั้งวิธีการที่จะกล่าวต่อไปด้วย

1. ถ้าเป็นระบบควบคุมลูบปิดซึ่งมีความถี่ธรรมชาติ (natural frequency) ω_n ควรเลือกใช้ค่าความถี่ในการ sampling ของระบบเป็น

$$\omega_s > 10\omega_n$$

เมื่อ ω_s คือความถี่ในการsampling $\omega_s = \frac{2\pi}{T}$

ซึ่งในการเลือกค่า เช่น เดียวกัน $T < T_s/10$ เมื่อ T_s คือ ช่วงเวลาเข้าสู่สภาวะคงที่ของระบบปิดใดๆ

2. ถ้าระบบมีค่า dominant time constant, T_{dc} ดังนั้นช่วงเวลาsampling T หาได้ดังนี้

$$T < \frac{T_{dc}}{10}$$

เอกสารนี้เป็นเอกสารที่สงวนไว้สำหรับการใช้งานเพื่อการศึกษาเท่านั้น ไม่อนุญาตให้นำไปใช้ประโยชน์ด้านการค้าไม่ว่ากรณีใดๆ ทั้งสิ้น อีกทั้งห้ามมิให้ตัดแปลงเนื้อหาและต้องอ้างอิงถึงเจ้าของเอกสารทุกครั้งที่มีการนำไปใช้

ในการออกแบบช่วงเวลาแคมป์ลิ่ง ได้เลือกช่วงเวลาเท่ากับ 250 msec ซึ่งในการกำหนดให้ไมโครคอนโทรลเลอร์แคมป์ลิ่งทุกๆ 250 ms นั้น จะต้องกำหนดการทำงานในส่วนของ Interrupt ซึ่งเลือกใช้ Timer1 ทำงานในโหมด periodic (okresowy)

ในกรณีนี้ Timer จะเริ่มนับจากค่าสูงสุดใน Load Register (TxLD) ลงมาจนถึงค่าต่ำสุด (timer count-down) จากนั้นจะเริ่มนับจากค่าต่ำสุดใน Load Register (TxLD) ไปจนถึงค่าสูงสุด (timer count-up) สำหรับโหมด Periodic จะทำงานตามสมการ

$$Interval = \frac{(TxLD) Pr escaler}{SourceClock} \quad (4.18)$$

หรือ

$$TxLD = \frac{Interval(SourceClock)}{Pr escaler} \quad \text{เมื่อ } Interval = 250 \text{ ms}$$

$$SourceClock = HCLK = 41.78 \text{ MHz}$$

$$Presaler = / 1$$

แทนค่าในสมการจะได้

$$TxLD = \frac{250ms(41.78MHz)}{1} = 10445042 \text{ Cycle}$$

กำหนด T1LD = 10445042 ; ในโปรแกรมก็จะอินเตอร์รัพท์ ทุกๆ 250 ms

4.2.3 การแปลงสัญญาณอนาลอกเป็นดิจิตอล

จากที่กล่าวไว้แล้วข้างต้นว่า การแปลงสัญญาณอนาลอกเป็นดิจิตอล มีอยู่ด้วยกัน 3 โหมด คือ Single-ended mode, Differential mode และ Pseudo differential mode ซึ่งแต่ละโหมดจะมีลักษณะการทำงานที่แตกต่างกัน ระดับแรงดันที่ใช้มีค่าต่างกัน จึงต้องเลือกการทำงานให้เหมาะสมกับลักษณะของสัญญาณ

ในการออกแบบนั้น ได้เลือกใช้งาน Single-Ended mode เมื่อไมโครคอนโทรลเลอร์ของเราทำงานอยู่ในโหมดนี้ ย่านการทำงานที่สามารถรับอินพุตจากภายนอกจะอยู่ในช่วง 0V ถึง VREF ซึ่งได้เลือกค่า VREF ที่ 2.5V ดังนั้นถ้าแปลงให้เป็นรหัสเลขฐานสองทำได้โดย

- 1 LSB = FS/4096 หรือ
- 2.5 V/4096 = 0.61 mV หรือ

เอกสารนี้เป็นเอกสารที่สงวนไว้สำหรับการใช้งานเพื่อการศึกษาเท่านั้น ไม่อนุญาตให้นำไปใช้ประโยชน์ด้านการค้าไม่ว่ากรณีใดๆ ทั้งสิ้น อีกทั้งห้ามมิให้ดัดแปลงเนื้อหาและต้องอ้างอิงถึงเจ้าของเอกสารทุกครั้งที่มีการนำไปใช้

- 610 uV when VREF = 2.5 V

สำหรับการเขียน โปรแกรมเพื่อให้สามารถรับสัญญาณอนาลอกได้นั้นจำเป็นต้องอ่านคู่มือของ MCU เบอร์นั้นๆ เพราะเนื่องจากว่า MCU แต่ละตัวก็จะมีลักษณะการเข้าถึงที่ต่างกันเพราะฉะนั้นการอ่านคู่มือของ MCU จึงมีความสำคัญมาก หน้าที่ของ Register แต่ละตัวได้กล่าวไว้แล้วข้างต้น การกำหนดค่าเริ่มต้นเพื่อให้ MCU ทำหน้าที่แปลงสัญญาณอนาลอกเป็นดิจิตอลทำได้ดังนี้

ส่วนของการกำหนดการทำงาน ADC

```
ADCCON = 0x00000000;           // Reset ADC Config
ADCCON |= 0x00000020;         // Power-ON ADC Function
delay(1000);                  // Wait ADC Power-on Ready
ADCCON |= 0x00001400;         // ADC Clock = fADC/32
ADCCON |= 0x00000300;         // Acquisition Time = 16 Cycle Clock
ADCCON &= 0xFFFFFE7;         // ADC = Single-End Mode
ADCCON |= 0x00000004;         // Continue Software Convert
REFCON = 0x00000001;         // Used Internal 2.5V Reference
ADCCON |= 0x00000080;         // ADC Start Conversion
```

ส่วนของการแปลงอนาลอกเป็นดิจิตอลของ MCU

```
ADCCP = 0;                    // Select Channel 0 to Conversion
delay(1000);                  // Wait Select Channel Ready
while (!ADCSTA){};           // Wait ADC Conversion Complete (Bit0="1")
val = (ADCDAT >> 16) & 0x00000FFF; // Shift ADC Result to Integer
```

ดังนั้นผลที่ได้จากการแปลงสัญญาณหลังจากการ Shift ADC Result คือ

เมื่ออินพุต 0V ให้สัญญาณที่เป็นดิจิตอลมีค่า 0x000 H

เมื่ออินพุต 2.5V ให้สัญญาณดิจิตอลมีค่า 0xFFFF H

สัญญาณดิจิตอลที่ได้นี้ จะถูกนำไปใช้ในการประมวลผล ซึ่งค่านี้คือค่าของ PV หรือค่าที่ได้จากกระบวนการนั่นเอง

4.2.4 การแปลงสัญญาณดิจิตอลเป็นอนาลอก

สัญญาณที่ได้จากคอมพิวเตอร์ หรือไมโครคอนโทรลเลอร์จะเป็นสัญญาณแบบดิจิตอล (แบบไม่ต่อเนื่อง) เมื่อนำระบบดิจิตอลหรือไมโครคอนโทรลเลอร์มาใช้ควบคุมอุปกรณ์อนาลอกแล้ว จะต้องมีการแปลงสัญญาณทางดิจิตอลเป็นสัญญาณอนาลอก ตั้งแต่ศูนย์โวลต์จนถึงระดับสูงสุดที่กำหนดไว้

เอกสารนี้เป็นเอกสารที่สงวนไว้สำหรับการใช้งานเพื่อการศึกษาเท่านั้น ไม่อนุญาตให้นำไปใช้ประโยชน์ด้านการค้าไม่ว่ากรณีใดๆ ทั้งสิ้น อีกทั้งห้ามมิให้ตัดแปลงเนื้อหาและต้องอ้างอิงถึงเจ้าของเอกสารทุกครั้งที่มีการนำไปใช้

สำหรับ DAC ในไมโครคอนโทรลเลอร์ ARM7 เบอร์ ADuC7024 นั้นจะมีขนาด 12-bit 2 Channel มีย่านการใช้งาน 2 ย่าน คือ 0V-VREF และ 0V-AVDD ในการออกแบบโปรเจกต์นี้ใช้ย่าน 0V-VREF และ Channel 0 ซึ่งกำหนดค่าเริ่มต้นการทำงานได้ดังนี้

// การกำหนดค่าเริ่มต้นการทำงาน DAC

```
DAC0CON &= 0xDF;           // DAC0 Used System Clock
DAC0CON |= 0x10;          // Enable DAC0
DAC0CON |= 0x02;          // DAC0 Output Range = +Vref..AGND
REFCON = 0x01;           // Used Internal 2.5V Reference
```

// การส่งค่าข้อมูลออกสู่ DAC Channel 0

```
DAC0DAT = (MV << 16);     // Update DAC0 Output(0-2.5V)
```

4.2.5 การ Scaling

ในการสร้างอัลกอริทึมเพื่อคำนวณสมการควบคุม PID นั้น จำต้องตระหนักถึงการ Scaling ของค่าตัวแปรต่างๆ เป็นสำคัญ เพื่อให้อยู่ในหน่วยการคำนวณเดียวกัน ในการออกแบบโปรเจกต์นี้ ได้ทำการ Scaling ให้อยู่ในหน่วยของเปอร์เซ็นต์(0-100%) ทำได้ดังนี้

// การ Scaling ตัวแปร Sp

Sp กำหนดให้ปรับค่าได้จาก 0 ไปจนถึง 100

// การ Scaling ตัวแปร PV

```
val = (ADC_DAT >> 16) & 0x0000FFF; // Shift ADC Result to Integer
pv_volt = val * (2.50 / 4095.0); // Volt = ADC Result x [2.5V / 4095]
pv_percent = (pv_volt * 100) / 2.5; // Convert to percent
pv = pv_percent;
```

// การ Scaling ตัวแปร MV

```
mv = U_1 + Up + Ui + Ud; // calculate PID output
U = (mv * 4095) / 100;
if(U > 4095) { mv = 100; } // condition
if(U < 0) { mv = 0; }
```

เอกสารนี้เป็นเอกสารที่สงวนไว้สำหรับการใช้งานเพื่อการศึกษาเท่านั้น ไม่อนุญาตให้นำไปใช้ประโยชน์ด้านการค้า ไม่ว่ากรณีใดๆ ทั้งสิ้น อีกทั้งห้ามมิให้ดัดแปลงเนื้อหาและต้องอ้างอิงถึงเจ้าของเอกสารทุกครั้งที่มีการนำไปใช้

บทที่ 5

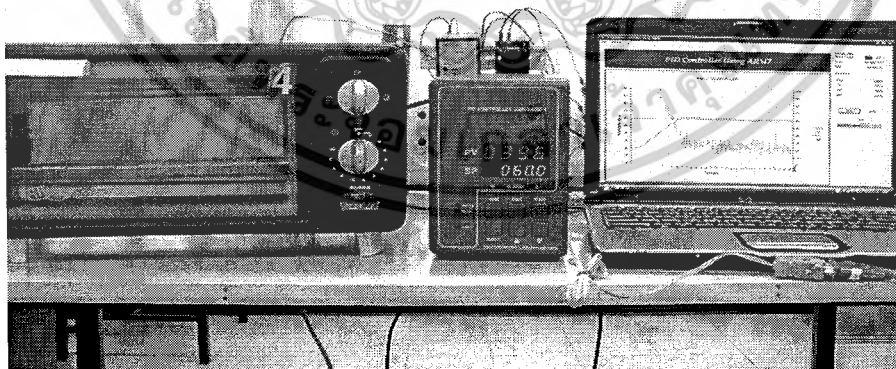
การทดลองและผลการทดลอง

ในบทนี้จะนำเอาตัวควบคุม PID ที่ได้ออกแบบไว้บนไมโครคอนโทรลเลอร์ ARM7 นำไปทดลองเพื่อวิเคราะห์ผลตอบสนอง ของกริยาควบคุมต่างๆ จากนั้นใช้วิธี Process Reaction Curve ของ Ziegler-Nichols และวิธี Trial&Error ในการหาค่าพารามิเตอร์ K_p , T_i และ T_d ที่มีค่าเหมาะสม ซึ่งใช้ตอบเป็นกระบวนการที่ใช้ในการทดสอบ

ในการทดลองจะกำหนด setpoint (SP) ไปที่ค่า 60% เพื่อพิจารณากิริยาควบคุมต่าง ๆ จากนั้นเปลี่ยนค่าเป้าหมาย setpoint จาก 60% ไปเป็น 80% เพื่อให้ดูผลตอบสนองของกระบวนการเมื่อค่าเป้าหมายมีการเปลี่ยนแปลง หลังจากนั้นสร้างสัญญาณรบกวน (disturbance) โดยการเปิดฝาของเตาอบทิ้งไว้เป็นเวลา 10 วินาที แล้วบันทึกผลการทดลอง

กราฟที่ได้จากการทดลองนั้นจะนำมาหาค่าพารามิเตอร์ต่าง ๆ เช่น Maximum Overshoot ($\%M_p$), Rise time (t_r) และ Settling time (t_s) เพื่อเปรียบเทียบค่าของผลตอบสนองที่ได้จากค่าพารามิเตอร์ในแต่ละครั้ง

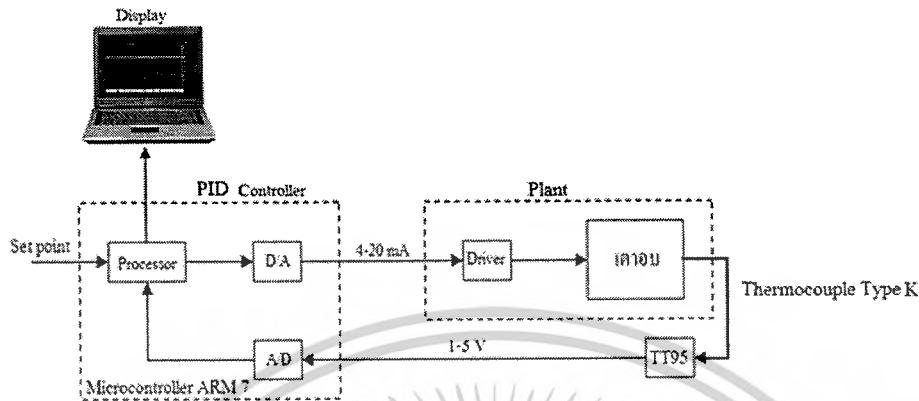
5.1 กระบวนการที่ใช้ในการทดสอบตัวควบคุม PID



ภาพที่ 5.1 แสดงกระบวนการเตาอบไฟฟ้า

เอกสารนี้เป็นเอกสารที่สงวนไว้สำหรับการใช้งานเพื่อการศึกษาเท่านั้น ไม่อนุญาตให้นำไปใช้ประโยชน์ด้านการค้า ไม่ว่าจะกรณีใดๆ ทั้งสิ้น อีกทั้งห้ามมิให้ดัดแปลงเนื้อหาและต้องอ้างอิงถึงเจ้าของเอกสารทุกครั้งที่มีการนำไปใช้

การเชื่อมต่ออุปกรณ์ต่างๆและโครงสร้างโคะแกรมของกระบวนการ ที่ได้กล่าวไว้ข้างต้น เมื่อนำมาออกแบบจะได้กระบวนการสำหรับควบคุมอุณหภูมิ ดังแสดงในภาพที่ 5.2



ภาพที่ 5.2 แสดงลักษณะการออกแบบกระบวนการ

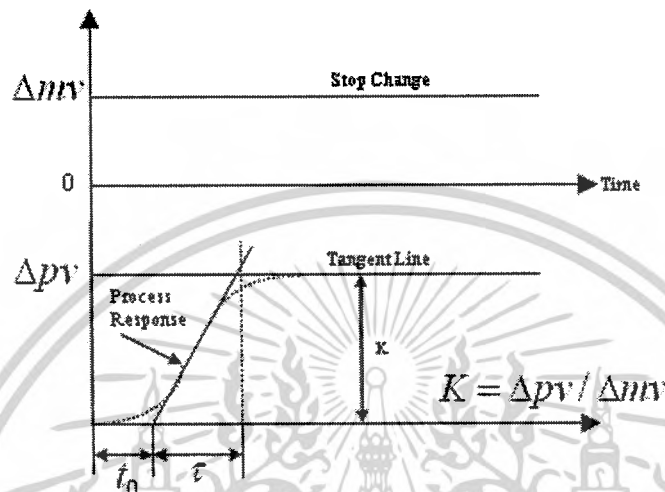
การทำงานของกระบวนการนั้น แบ่งออกเป็น 2 ส่วน คือ ส่วนที่เป็นส่วนควบคุม กับส่วนที่เป็นกระบวนการเตาอบ การทำงานของกระบวนการเริ่มจากการกำหนดค่าเป้าหมาย (set point) ซึ่งกำหนดจากตัวควบคุมได้โดยตรง จากนั้นไมโครคอนโทรลเลอร์จะประมวลผลเพื่อสร้างสัญญาณควบคุมจากอัลกอริทึมที่ได้ออกแบบไว้ ซึ่งสัญญาณที่ออกจากตัวควบคุมจะเป็นสัญญาณมาตรฐาน 4-20mA ส่งผ่านสัญญาณไปยัง Final Control Element (heater) เพื่อจ่ายพลังงานความร้อนให้กับกระบวนการเตาอบโดยการทำงานของตัวทำความร้อนจะถูกควบคุมโดย Solid State Relay ซึ่งจะสร้างสัญญาณพัลส์ควบคุมตามสัญญาณที่ได้รับ (4-20 mA) อุณหภูมิของกระบวนการเตาอบจึงเกิดการเปลี่ยนแปลงขึ้น เทอร์โมคัปเปิ้ลจะทำการตรวจจับค่าความร้อนมาจากเตาอบออกมาในรูปแบบของแรงดันไฟฟ้า (mV) เนื่องจากแรงดันที่ได้ไม่เหมาะสมกับการนำไปใช้งานจึงต้องนำอุปกรณ์ Thermocouple Transmitter 95 (TT95) ซึ่งเป็นตัวแปลงสัญญาณที่รับสัญญาณจากเทอร์โมคัปเปิ้ลเพื่อแปลงให้เป็นสัญญาณมาตรฐาน 1-5V จากนั้นจึงนำสัญญาณที่ได้ส่งต่อไปยังตัวควบคุม สัญญาณจะถูกส่งเข้าไปยังส่วนของ A/D ในตัวไมโครคอนโทรลเลอร์ ARM7 เพื่อแปลงสัญญาณที่ได้รับซึ่งเป็นสัญญาณอนาล็อกให้อยู่ในรูปแบบของสัญญาณดิจิทัล และนำไปประมวลผลต่อไป

5.2 การทดลองตัวควบคุม PID โดยวิธี Process Reation Curve ของ (Ziegler-Nichols)

ปรับตัวควบคุมให้อยู่ในตำแหน่ง Manual Mode เพื่อทำลูปเปิด จากนั้นทำการปรับค่า Mv ไว้ที่ 20% รอจนกว่าเข้าสู่ steady state จากนั้นเปลี่ยนค่า Mv เป็น 60% สังเกตค่า PV จากกราฟว่า ผลเป็น S Curve ดังภาพที่ 5.3หรือไม่ ถ้าได้ก็ทำการลากเส้นสัมผัส Tangent Line แล้วทำการหาค่า

เอกสารนี้เป็นเอกสารที่สงวนไว้สำหรับการใช้งานเพื่อการศึกษาเท่านั้น ไม่อนุญาตให้นำไปใช้ประโยชน์ด้านการค้า ไม่ว่ากรณีใดๆ ทั้งสิ้น อีกทั้งห้ามมิให้ตัดแปลงเนื้อหาและต้องอ้างอิงถึงเจ้าของเอกสารทุกครั้งที่มีการนำไปใช้

อัตราขยายของกระบวนการ K , ค่าเวลาคงที่ของกระบวนการ τ (Time Constant) และค่า t_0 (Dead Time) จากนั้นเลือกวิธีการควบคุมรูปแบบ PID โดยวิธี Process Reaction Curve ของ Ziegler-Nichols จะได้ค่าของ K_P , T_i และ T_d ซึ่งใช้ในการปรับค่าพารามิเตอร์ของตัวควบคุม PID ตามวิธี Process Reaction Curve ดังแสดงในภาพที่ 5.3



ภาพที่ 5.3 แสดงผลตอบสนองรูปตัว S เมื่อใช้วิธี Process Reaction Curve

จากภาพที่ 5.3 จะได้ Transfer Function

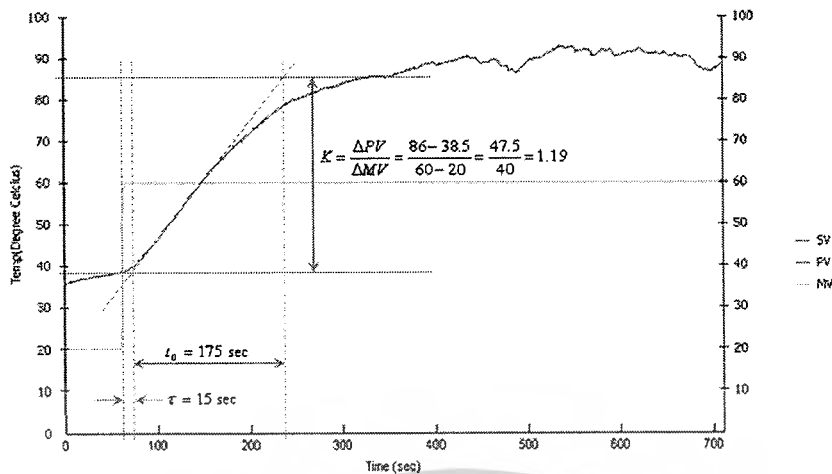
$$G(s) = \frac{Ke^{-t_0s}}{\tau s + 1}$$

K คือ อัตราขยายของกระบวนการ ซึ่งมีค่า $K = \frac{\Delta PV}{\Delta MV}$

t_0 คือ ค่าเวลาหน่วงของกระบวนการ

τ คือ ค่าเวลาคงที่ของกระบวนการ

เอกสารนี้เป็นเอกสารที่สงวนไว้สำหรับการใช้งานเพื่อการศึกษาเท่านั้น ไม่อนุญาตให้นำไปใช้ประโยชน์ด้านการค้า ไม่ว่ากรณีใดๆ ทั้งสิ้น อีกทั้งห้ามมิให้ดัดแปลงเนื้อหาและต้องอ้างอิงถึงเจ้าของเอกสารทุกครั้งที่มีการนำไปใช้



ภาพที่ 5.4 แสดงผลตอบสนองรูปตัว S จากการทดลองรูปเปิดที่ $M_v = 20\%$ ไปเป็น 60%

จากกราฟ สามารถจำลอง Transfer Function ของกระบวนการตอบ ได้ดังนี้

$$K = \frac{\Delta PV}{\Delta MV} = \frac{86 - 38.5}{60 - 20} = \frac{47.5}{40} = 1.19, \quad t_0 = 15 \text{ sec} \quad \tau = 175 \text{ sec}$$

$$G(s) = \frac{1.19e^{-15s}}{175s + 1}$$

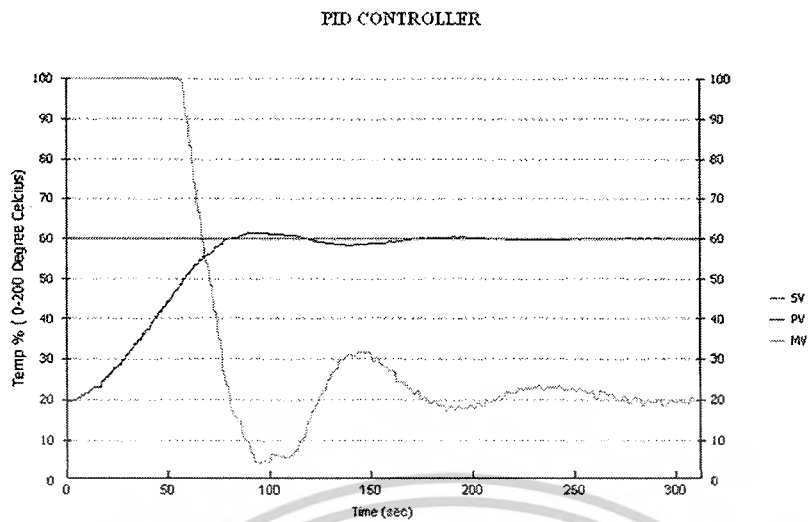
นำค่าพารามิเตอร์ต่างๆ ที่ได้จากวิธี Process Reaction Curve มาคำนวณตามทฤษฎีของ Ziegler-Nichols ได้ค่าพารามิเตอร์ของตัวควบคุมคือ

พารามิเตอร์สำหรับ ตัวควบคุมแบบ PI คือ

$$K_p = \frac{0.9}{K} \left(\frac{\tau}{t_0} \right) = \frac{0.9(175)}{1.19(15)} = 8.8$$

$$T_i = 3.33t_0 = 3.33(15) = 50$$

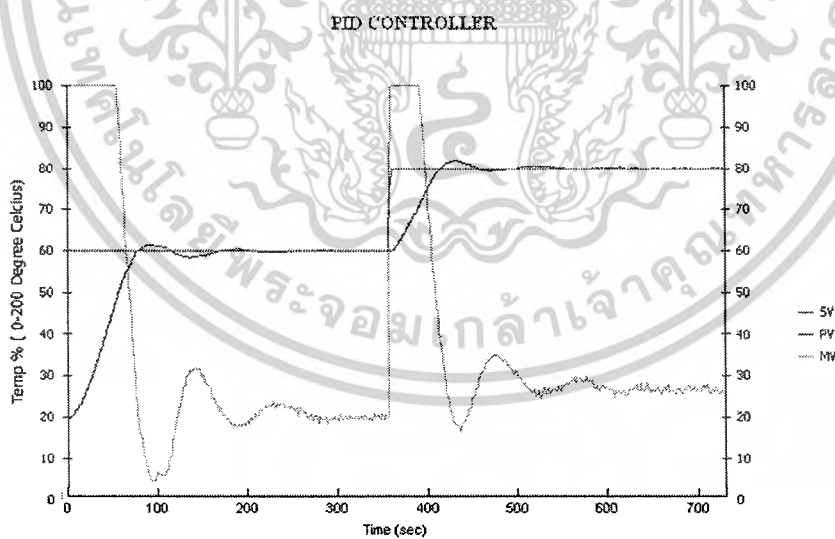
เอกสารนี้เป็นเอกสารที่สงวนไว้สำหรับการใช้งานเพื่อการศึกษาเท่านั้น ไม่อนุญาตให้นำไปใช้ประโยชน์ด้านการค้า
ไม่ว่ากรณีใดๆ ทั้งสิ้น อีกทั้งห้ามมิให้ตัดแปลงเนื้อหาและต้องอ้างอิงถึงเจ้าของเอกสารทุกครั้งที่มีการนำไปใช้



ภาพที่ 5.5 แสดงผลตอบสนองของตัวควบคุม PI (Ziegler-Nichols) Setpoint = 60%

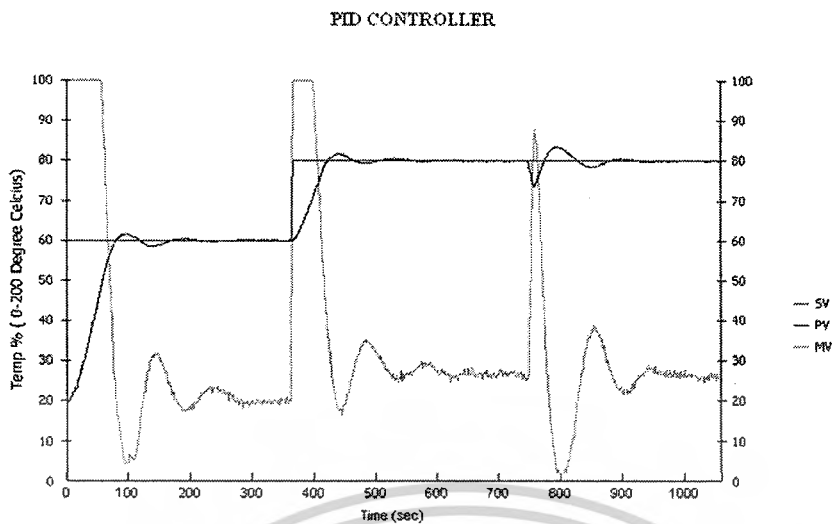
มีผลตอบสนองของกระบวนการเป็นดังนี้

- Percent Maximum Overshoot: $M_p = 3\%$
- Settling Time: $t_s = 180$ sec
- Rise Time: $t_r = 53$ sec



ภาพที่ 5.6 แสดงผลตอบสนองของตัวควบคุม PI (Ziegler-Nichols)
เมื่อเปลี่ยน Setpoint จาก 60% เป็น 80%

เอกสารนี้เป็นเอกสารที่สงวนไว้สำหรับการใช้งานเพื่อการศึกษาเท่านั้น ไม่อนุญาตให้นำไปใช้ประโยชน์ด้านการค้า
ไม่ว่ากรณีใดๆ ทั้งสิ้น อีกทั้งห้ามมิให้ตัดแปลงเนื้อหาและต้องอ้างอิงถึงเจ้าของเอกสารทุกครั้งที่มีการนำไปใช้



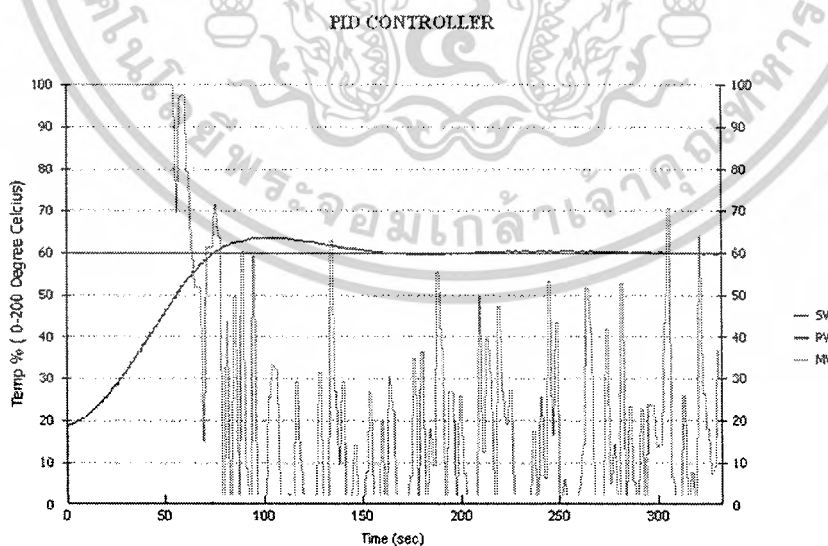
ภาพที่ 5.7 แสดงผลตอบสนองของตัวควบคุม PI (Ziegler-Nichols) เมื่อเปลี่ยน Setpoint จาก 60% เป็น 80% และเกิด disturbance

พารามิเตอร์สำหรับ ตัวควบคุมแบบ PID

$$K_p = \frac{1.2}{K} \left(\frac{\tau}{t_0} \right) = \frac{1.2(175)}{1.19(15)} = 11.7$$

$$T_i = 2.0t_0 = 2.0(15) = 30$$

$$T_d = 0.5t_0 = 0.5(15) = 7.5$$

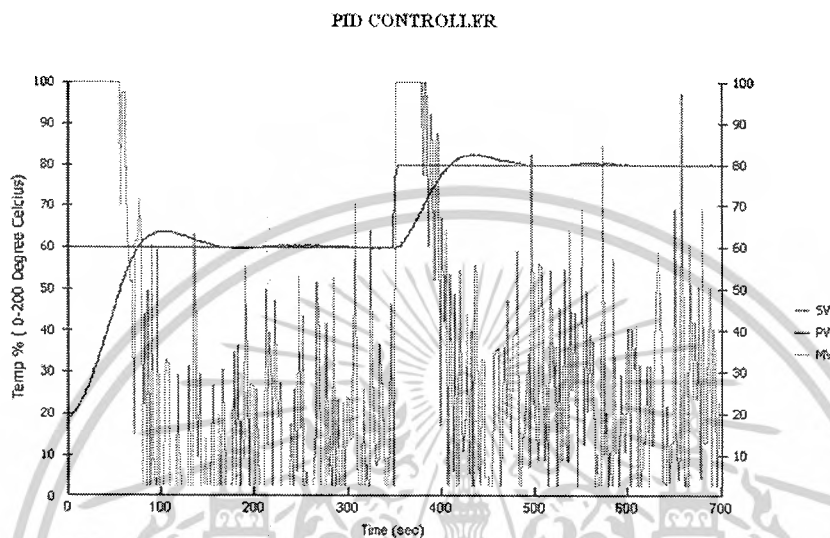


ภาพที่ 5.8 แสดงผลตอบสนองของตัวควบคุม PID (Ziegler-Nichols) Setpoint = 60%

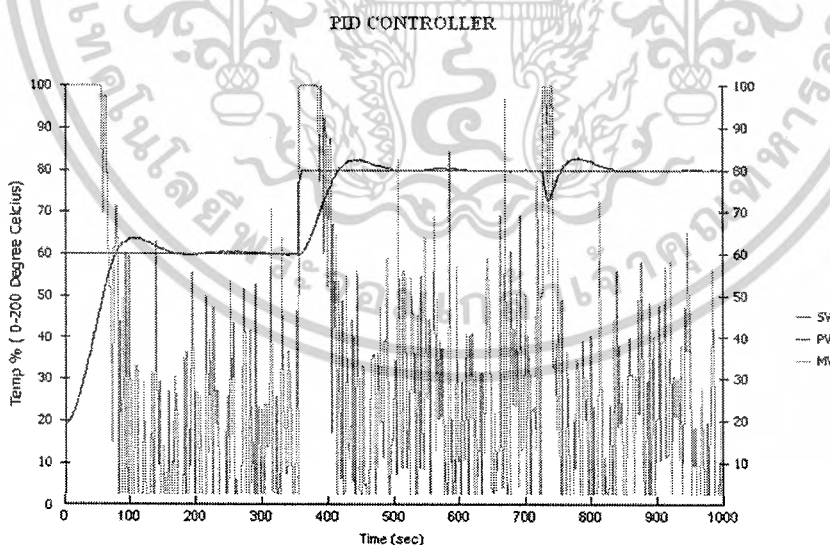
เอกสารนี้เป็นเอกสารที่สงวนไว้สำหรับการใช้งานเพื่อการศึกษาเท่านั้น ไม่อนุญาตให้นำไปใช้ประโยชน์ด้านการค้า ไม่ว่ากรณีใดๆ ทั้งสิ้น อีกทั้งห้ามมิให้ตัดแปลงเนื้อหาและต้องอ้างอิงถึงเจ้าของเอกสารทุกครั้งที่มีการนำไปใช้

ผลตอบสนองของกระบวนการเป็นดังนี้

- Percent Maximum Overshoot: $M_p = 5.83\%$
- Settling Time: $t_s = 160$ sec
- Rise Time: $t_r = 48$ sec



ภาพที่ 5.9 แสดงผลตอบสนองของตัวควบคุม PID (Ziegler-Nichols)
เมื่อเปลี่ยน Setpoint จาก 60% เป็น 80%



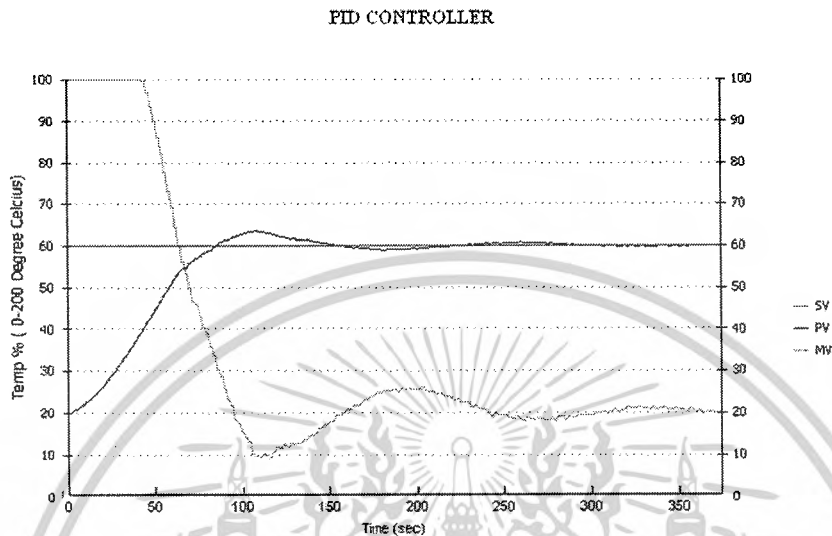
ภาพที่ 5.10 แสดงผลตอบสนองของตัวควบคุม PI (Ziegler-Nichols)
เมื่อเปลี่ยน Setpoint จาก 60% เป็น 80% และเกิด disturbance

เอกสารนี้เป็นเอกสารที่สงวนไว้สำหรับการใช้งานเพื่อการศึกษาเท่านั้น ไม่อนุญาตให้นำไปใช้ประโยชน์ด้านการค้า
ไม่ว่ากรณีใดๆ ทั้งสิ้น อีกทั้งห้ามมิให้ตัดแปลงเนื้อหาและต้องอ้างอิงถึงเจ้าของเอกสารทุกครั้งที่มีการนำไปใช้

5.3 การทดลองตัวควบคุม PID โดยวิธี Trial&Error

กำหนดค่าพารามิเตอร์สำหรับตัวควบคุมแบบ PI ดังนี้

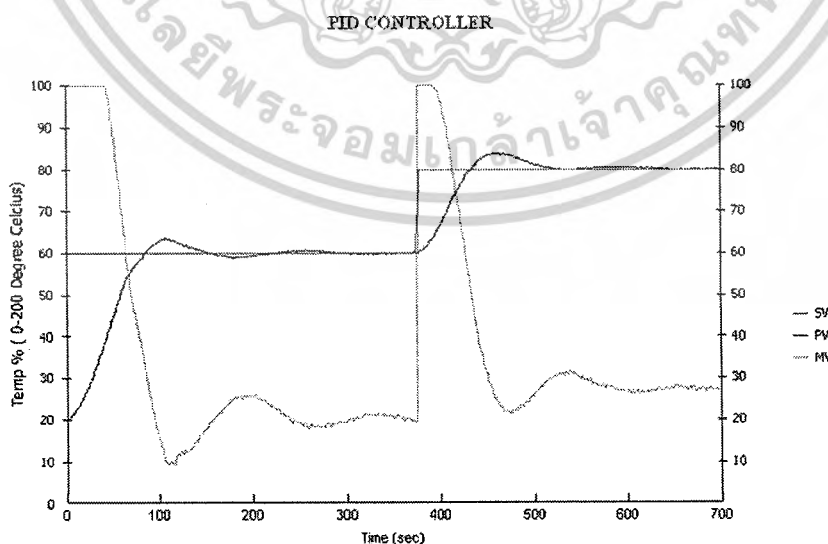
$$K_p = 5, T_i = 50 \text{ และ } T_d = 0$$



ภาพที่ 5.11 แสดงผลตอบสนองของตัวควบคุม PI (Trial & Error) Setpoint = 60%

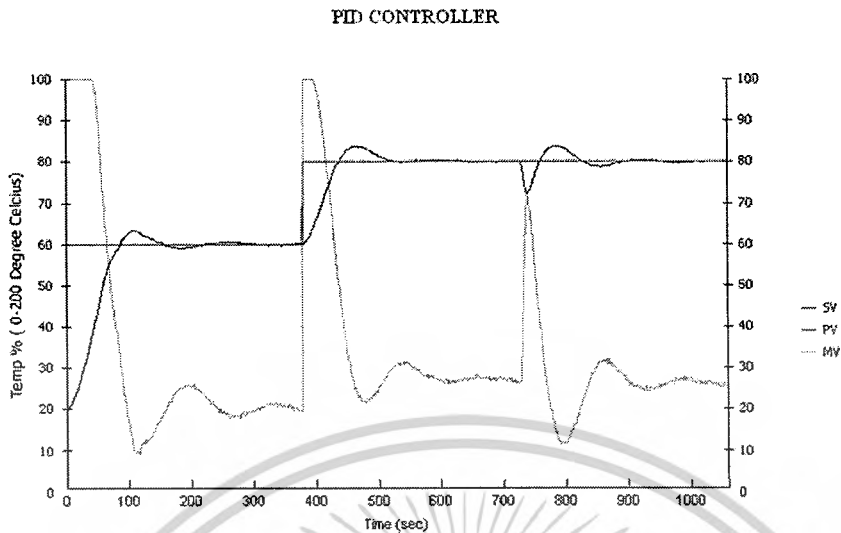
ผลตอบสนองของกระบวนการเป็นดังนี้

- Percent Maximum Overshoot: $M_p = 5.85\%$
- Settling Time: $t_s = 228 \text{ sec}$
- Rise Time: $t_r = 53 \text{ sec}$



ภาพที่ 5.12 แสดงผลตอบสนองของตัวควบคุม PI (Trial & Error)

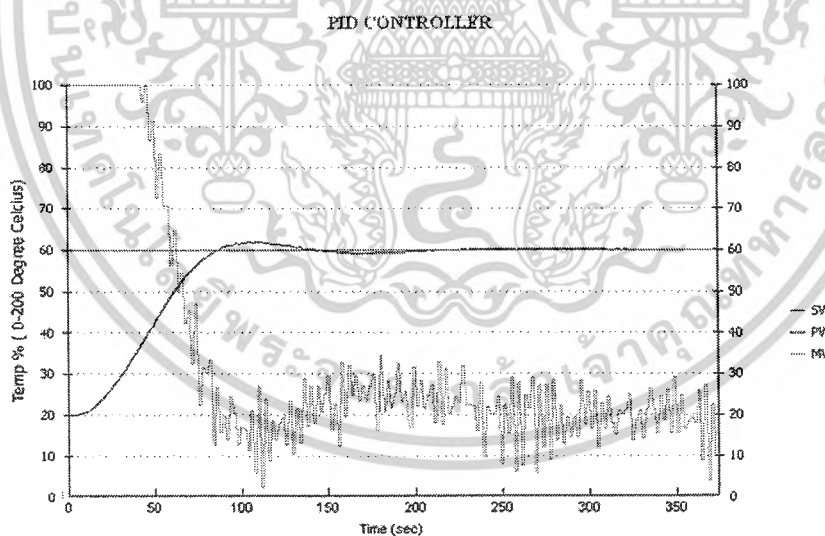
เมื่อเปลี่ยน Setpoint จาก 60% เป็น 80% เอกสารนี้เป็นเอกสารที่สงวนไว้สำหรับการใช้งานเพื่อการศึกษาเท่านั้น เมื่อนุญาตให้นำไปใช้ประโยชน์ด้านการค้าไม่ว่ากรณีใดๆ ทั้งสิ้น อีกทั้งห้ามมิให้ตัดแปลงเนื้อหาและต้องอ้างอิงถึงเจ้าของเอกสารทุกครั้งที่มีการนำไปใช้



ภาพที่ 5.13 แสดงผลตอบสนองของตัวควบคุม PI (Trial & Error) เมื่อเปลี่ยน Setpoint จาก 60% เป็น 80% และเกิด disturbance

กำหนดค่าพารามิเตอร์สำหรับตัวควบคุมแบบ PID ดังนี้

$$K_p = 5, T_i = 78 \text{ และ } T_d = 3$$

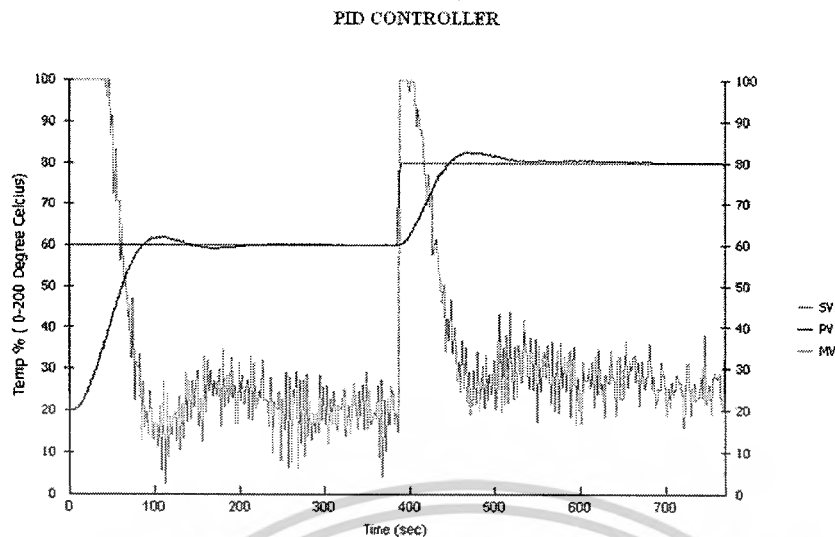


ภาพที่ 5.14 แสดงผลตอบสนองของตัวควบคุม PID (Trial & Error) Setpoint = 60%

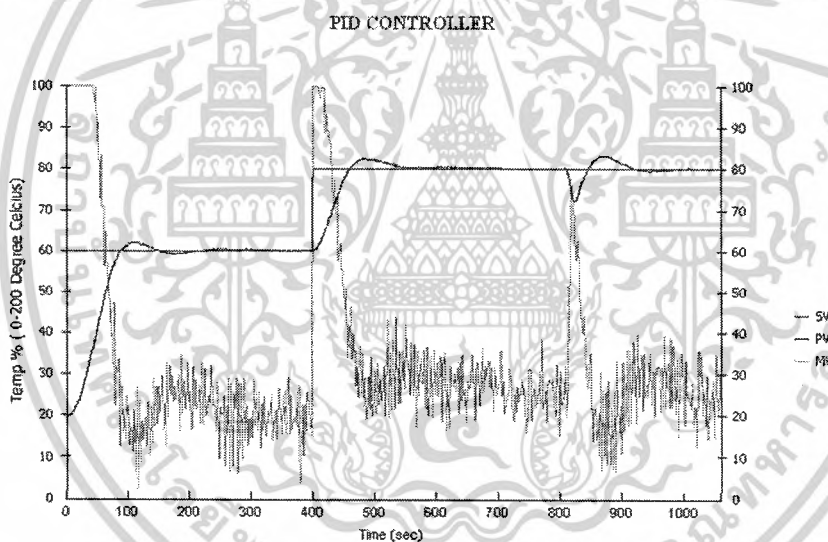
ผลตอบสนองของกระบวนการเป็นดังนี้

- Percent Maximum Overshoot: $M_p = 5 \%$
- Settling Time: $t_s = 150 \text{ sec}$
- Rise Time: $t_r = 53 \text{ sec}$

เอกสารนี้เป็นเอกสารที่สงวนไว้สำหรับการใช้งานเพื่อการศึกษาเท่านั้น ไม่อนุญาตให้นำไปใช้ประโยชน์ด้านการค้า ไม่ว่ากรณีใดๆ ทั้งสิ้น อีกทั้งห้ามมิให้ตัดแปลงเนื้อหาและต้องอ้างอิงถึงเจ้าของเอกสารทุกครั้งที่มีการนำไปใช้



ภาพที่ 5.15 แสดงผลตอบสนองของตัวควบคุม PID (Trial & Error) เมื่อเปลี่ยน Setpoint จาก 60% เป็น 80%



ภาพที่ 5.16 แสดงผลตอบสนองของตัวควบคุม PID (Trial & Error) เมื่อเปลี่ยน Setpoint จาก 60% เป็น 80% และเกิด disturbance

เอกสารนี้เป็นเอกสารที่สงวนไว้สำหรับการใช้งานเพื่อการศึกษาเท่านั้น ไม่อนุญาตให้นำไปใช้ประโยชน์ด้านการค้า ไม่ว่ากรณีใดๆ ทั้งสิ้น อีกทั้งห้ามมิให้ตัดแปลงเนื้อหาและต้องอ้างอิงถึงเจ้าของเอกสารทุกครั้งที่มีการนำไปใช้

บทที่ 6

สรุปผลการวิจัยและข้อเสนอแนะ

6.1 สรุปผลการทดลอง

จากการทดลองผลตอบสนองของตัวควบคุม ซึ่งใช้วิธีการหาค่าพารามิเตอร์ของตัวควบคุม 2 วิธีดังนี้ วิธีของ Ziegler-Nichols และวิธี Trial & Error ทั้ง 2 วิธีให้ผลตอบสนองที่แตกต่างกัน ดังนั้นจะสรุปแยกกันในแต่ละวิธีดังนี้

วิธีของ Ziegler-Nichols ซึ่งหลังจากที่หาทรานซ์เฟอ์ฟังก์ชันของกระบวนการ โดยทดสอบระบบเปิดเพื่อคำนวณค่า K_p , T_i และ T_d ได้แล้วนั้น ให้ผลตอบสนองของระบบที่ควบคุมแบบ PI ให้ผลตอบสนองเป็นที่น่าพอใจและเมื่อควบคุมแบบ PID ผลตอบสนองของระบบจะเร็วขึ้นเมื่อทำการเปลี่ยนแปลงค่าเป้าหมายจาก 60% เป็น 80% ตัวควบคุมก็ยังคงทำงานได้เป็นอย่างดีมีประสิทธิภาพ แม้ไม่มีการเปลี่ยนแปลงค่าพารามิเตอร์ก็ตามเมื่อเกิดสัญญาณรบกวน (disturbance) โดยการเปิดฝาเตาอบค้างไว้เป็นเวลา 10 วินาที ตัวควบคุมก็สามารถควบคุมกระบวนการให้เป็นดังเดิมได้โดยเร็ว อย่างไรก็ตามทั้งการควบคุมแบบ PI และ PID หากต้องการให้ผลตอบสนองดียิ่งขึ้นนั้นจะต้องทำการปรับค่าของพารามิเตอร์ให้ต่างไปจากที่คำนวณได้เล็กน้อย โดยพิจารณาการเปลี่ยนแปลงผลของตอบสนองพร้อมทั้งปรับค่า

ส่วนวิธี Trial & Error นั้น ได้ผลเป็นที่น่าพอใจเพียงแต่จะต้องใช้เวลาในการปรับแต่งนานกว่าวิธีอื่น เนื่องจากต้องพิจารณาพฤติกรรมของพารามิเตอร์แต่ละตัว

สรุปได้ว่าทุก ๆ วิธีในการหาค่าพารามิเตอร์ ค่าที่ได้นั้นยังไม่ใช่ค่าที่ดีที่สุดสำหรับการใช้ควบคุมหากแต่เป็นเพียงค่าประมาณ หากต้องการให้ผลตอบสนองของระบบมีค่าดีขึ้นผู้ควบคุมจะต้องปรับแต่งค่าที่ได้อีกครั้งหนึ่งอย่างละเอียด และการควบคุมกระบวนการใดๆ ตัวควบคุมแบบ PID อาจจะไม่ให้ผลที่ดีที่สุด หากแต่ต้องคำนึงถึงความเหมาะสมของกระบวนการนั้นๆ ด้วย

6.2 ปัญหาและอุปสรรค

1. ระบบมีการระบายความร้อนที่น้อยทำให้อุณหภูมิของเตาอบลดลงช้า จึงควรมีการติดตั้งอุปกรณ์ระบายความร้อนเพิ่มขึ้น เนื่องจากการระบายความร้อนของระบบขึ้นอยู่กับปริมาณน้ำที่ใส่ในเตาอบ เมื่ออุณหภูมิเพิ่มขึ้นจึงทำให้น้ำในระบบระเหยระบบจึงระบายความร้อนได้น้อยลงจึงควรมีการรักษาระดับน้ำให้คงที่

2. การปรับค่า span และ zero ของ Thermocouple Transmitter จะต้องทำให้อุณหภูมิคงที่ซึ่งค่าใดค่าหนึ่งก่อนจึงทำการวัดได้

เอกสารนี้เป็นเอกสารที่สงวนไว้สำหรับการใช้งานเพื่อการศึกษาเท่านั้น ไม่อนุญาตให้นำไปใช้ประโยชน์ด้านการค้าไม่ว่ากรณีใดๆ ทั้งสิ้น อีกทั้งห้ามมิให้ตัดแปลงเนื้อหาและต้องอ้างอิงถึงเจ้าของเอกสารทุกครั้งที่มีการนำไปใช้

3. ขณะที่ฮีตเตอร์อยู่ในภาวะปกติ เมื่อได้ทำการจ่ายอินพุตเข้าไป ฮีตเตอร์จะต้องใช้เวลาในการทำความร้อนซึ่งไม่สามารถทำงานได้ในทันที

4. ส่วนของฮาร์ดแวร์ จะพบปัญหาความเสถียรของค่าต่างๆในวงจร เช่น แรงดันไฟฟ้าและกระแสไฟฟ้า ทำให้ต้องมีการปรับแต่งอยู่เสมอ และบางครั้งเกิดการผิดพลาดบ้างแต่ยังคงอยู่ในช่วงที่สามารถยอมรับได้

6.3 ข้อเสนอแนะ

การออกแบบตัวควบคุมนั้น จำเป็นต้องคำนึงถึงกระบวนการที่จะนำไปควบคุมเพื่อจะได้ออกมาช่วงเวลา sampling ได้อย่างเหมาะสม อีกทั้งในการหาค่าพารามิเตอร์ K_p, T_i และ T_d ก่อนจะนำมาใช้ควบคุมกระบวนการ ผู้ควบคุมจำเป็นต้องเข้าใจทฤษฎีในการคำนวณและวิธีการปรับแต่งเสียก่อน

ตัวควบคุมนี้สามารถที่จะนำไปประยุกต์ใช้กับกระบวนการอื่นๆได้ เพียงแต่ต้องทำการแก้ไขโปรแกรมอีกเล็กน้อย เพื่อให้เหมาะสมกับในแต่ละกระบวนการ



บรรณานุกรม

- [1] รศ.ประสิทธิ์ จุลเสรีวงศ์. วิศวกรรมการวัดคุม. กรุงเทพฯ :แผนกตำรา คณะวิศวกรรมศาสตร์ สถาบันเทคโนโลยีพระจอมเกล้าเจ้าคุณทหารลาดกระบัง, 2549
- [2] ทวิช ชูเมือง.Industrial Instrumentation Engineering and Design.กรุงเทพฯ:เอช.เอ็น กรุ๊ป,2549
- [3] ผศ.วิศรุต ศรีรัตนะ, ผศ.อัมพวัน ใจกล้า, อ.พิทยา ปานนิล . ปฏิบัติการวิศวกรรมการวัดคุม 1. กรุงเทพฯ:แผนกตำรา คณะวิศวกรรมศาสตร์สถาบันเทคโนโลยีพระจอมเกล้าเจ้าคุณทหารลาดกระบัง, 2548
- [5] Modern control system analysis and design using MATLAB, Robert H.Bishop
- [6] O.J. Smith , " A controller to overcome dead time , " ISA , J. , vol.6 , no.2 , pp28-33 , 1959.



เอกสารนี้เป็นเอกสารที่สงวนไว้สำหรับการใช้งานเพื่อการศึกษาเท่านั้น ไม่อนุญาตให้นำไปใช้ประโยชน์ด้านการค้า
ไม่ว่ากรณีใดๆ ทั้งสิ้น อีกทั้งห้ามมิให้ดัดแปลงเนื้อหาและต้องอ้างอิงถึงเจ้าของเอกสารทุกครั้งที่มีการนำไปใช้

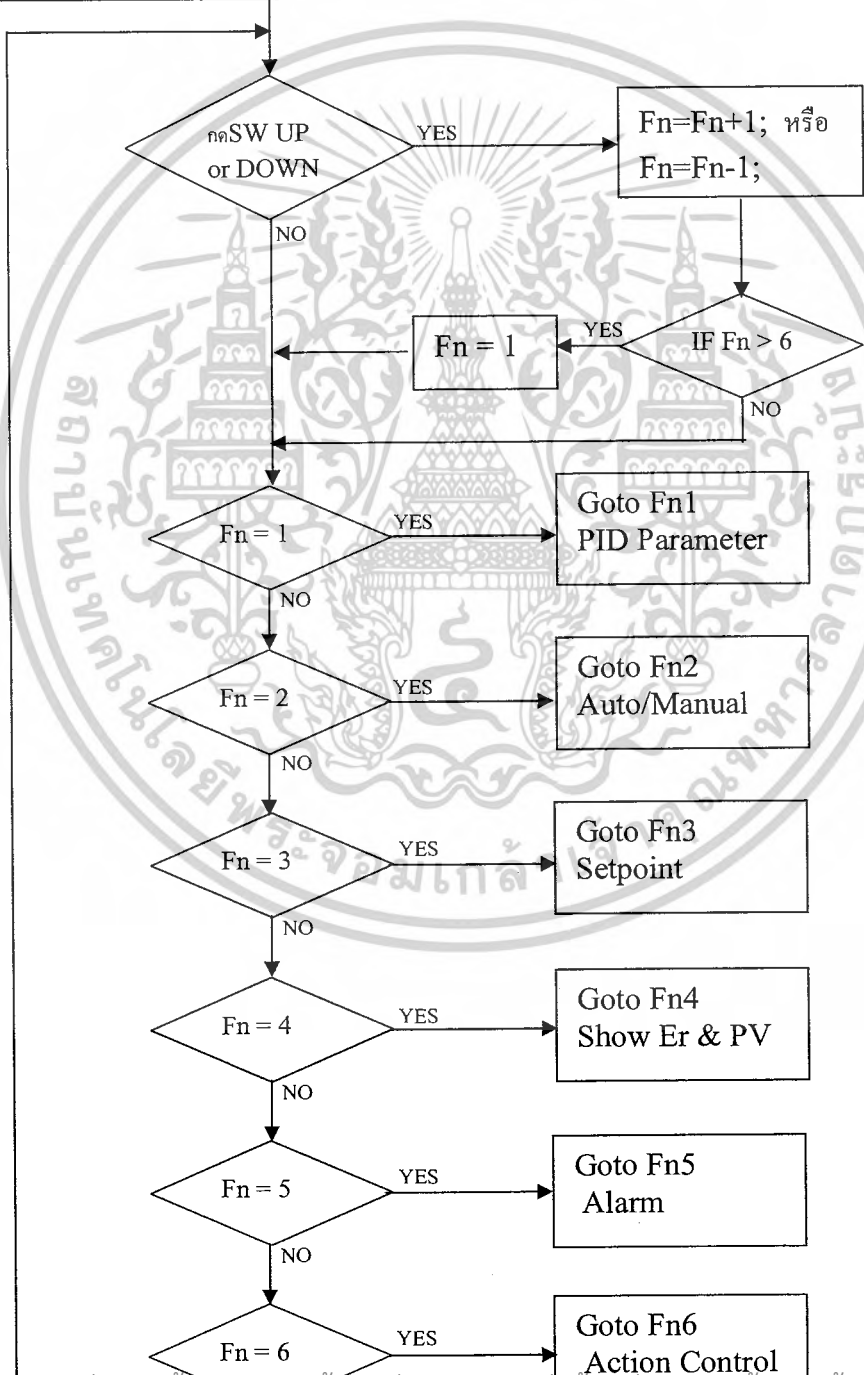


ภาคผนวก ก

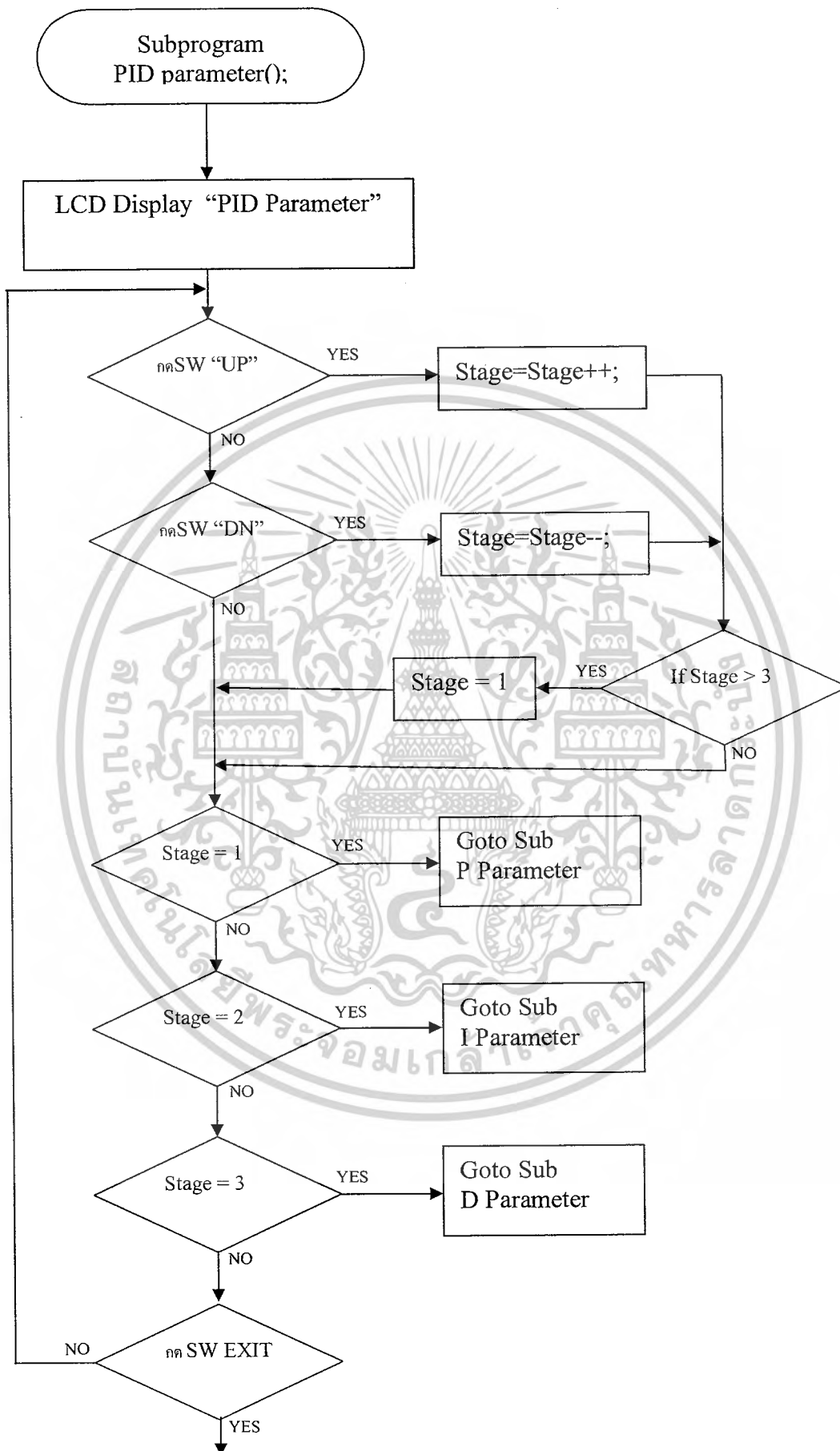
เอกสารนี้เป็นเอกสารที่สงวนไว้สำหรับการใช้งานเพื่อการศึกษาเท่านั้น ไม่อนุญาตให้นำไปใช้ประโยชน์ด้านการค้า
ไม่ว่ากรณีใดๆ ทั้งสิ้น อีกทั้งห้ามมิให้ดัดแปลงเนื้อหาและต้องอ้างอิงถึงเจ้าของเอกสารทุกครั้งที่มีการนำไปใช้

START PROGRAM

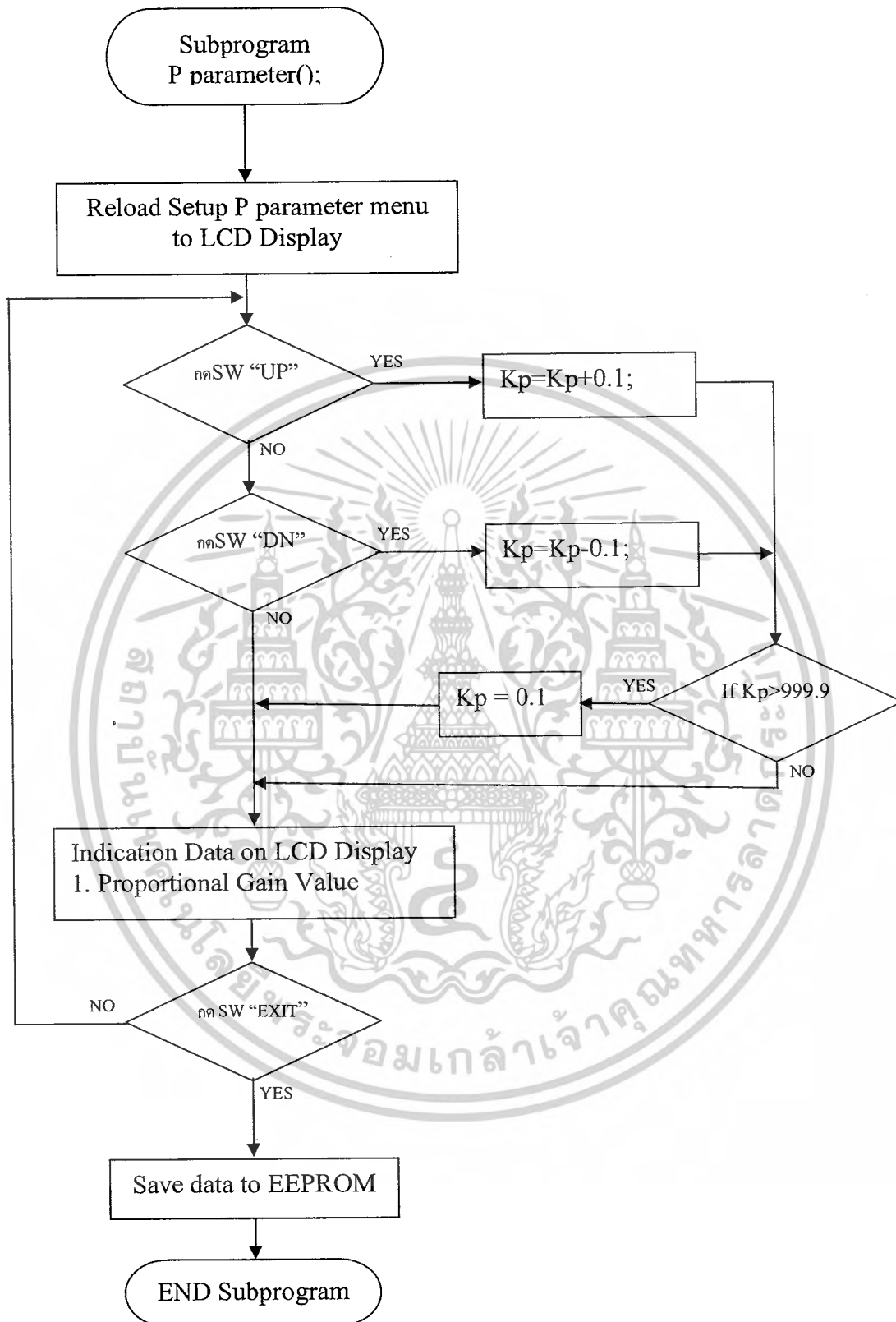
Initial Machine:
1. Set init Input , output and memory CPU status
2. Initial setup for LCD, MAX7219
3. Initial setup for A/D , D/A
4. Setup timer parameter for Interrupt timer
5. Download parameter data from EEPROM (Sp, Kp, Ti, Td)
6. Show display fuction on LCD



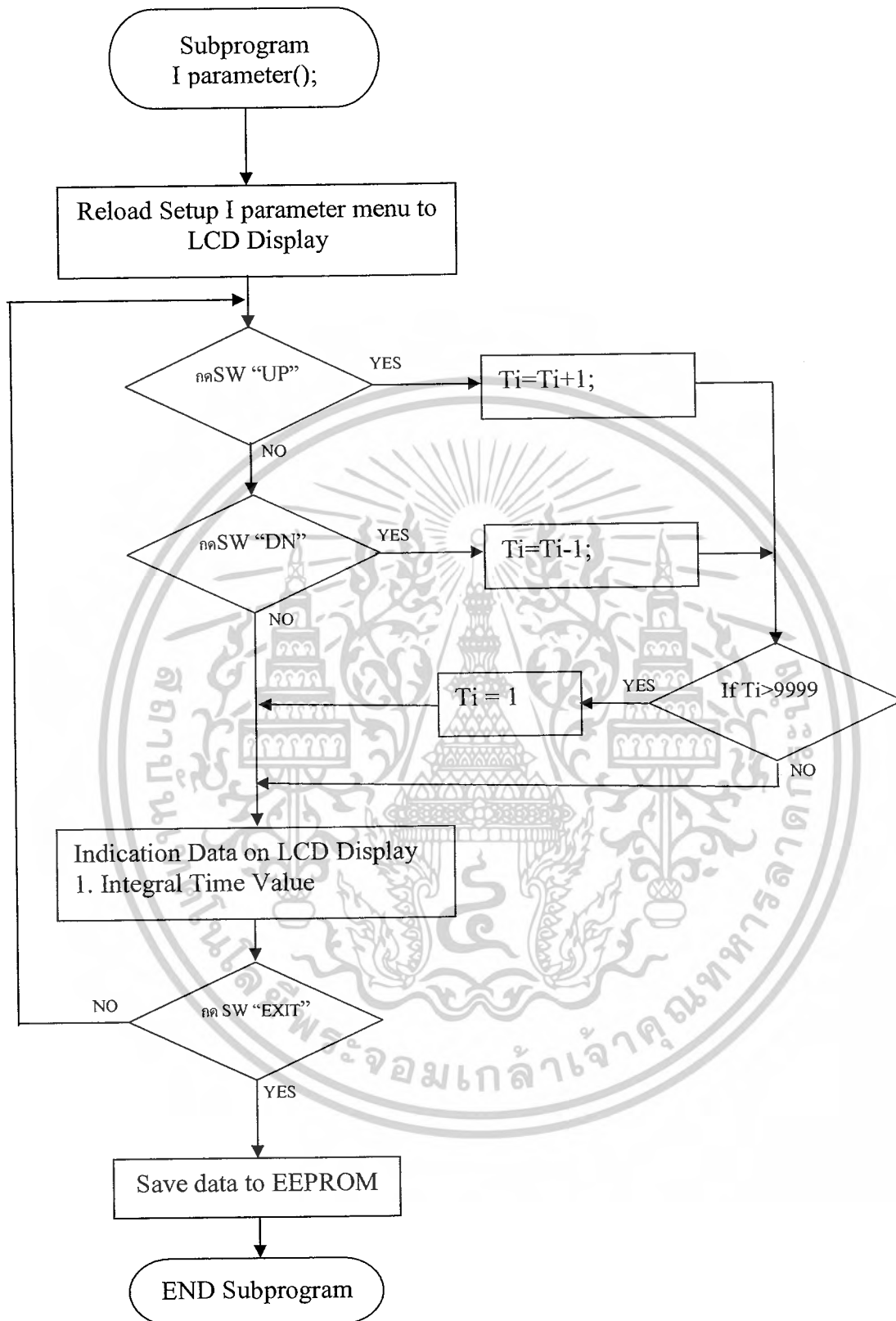
เอกสารนี้เป็นเอกสารที่สงวนไว้สำหรับอาจารย์งานเพื่อการศึกษาเท่านั้น ไม่อนุญาตให้นำไปใช้ประโยชน์ด้านการค้า
ไม่ว่ากรณีใดๆ ทั้งสิ้น อีกทั้งห้ามแก้ไขหรือเปลี่ยนแปลงเนื้อหาและต้องอ้างอิงถึงเจ้าของเอกสารทุกครั้งที่มีการนำไปใช้



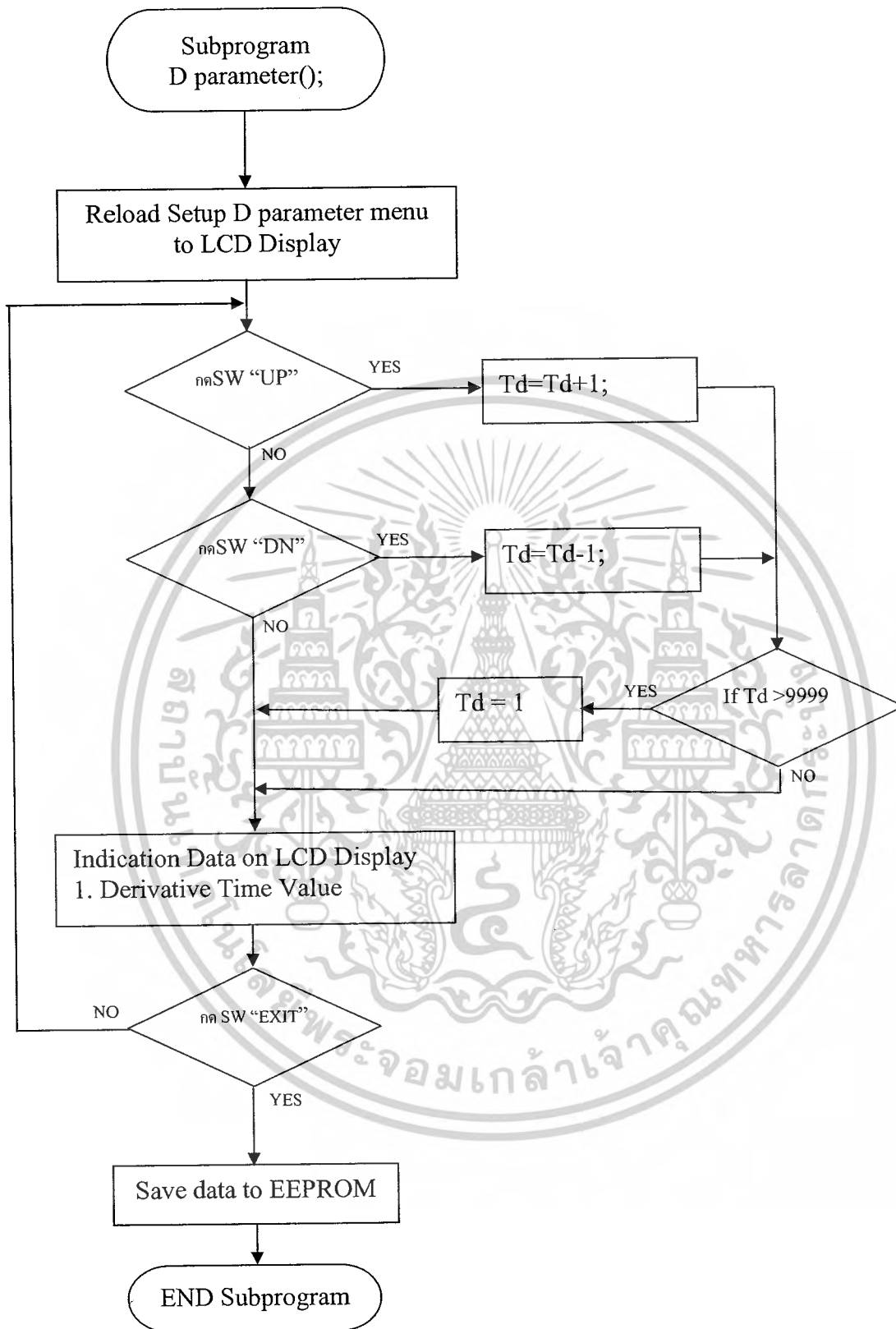
เอกสารนี้เป็นเอกสารที่สงวนไว้ว่าห้ามการใช้งานเพื่อการศึกษาเท่านั้น ไม่อนุญาตให้นำไปใช้ประโยชน์ด้านการค้า
ไม่ว่ากรณีใดๆ ทั้งสิ้น อีกทั้งห้ามแก้ไขคัดแปลงเนื้อหาและต้องอ้างอิงถึงเจ้าของเอกสารทุกครั้งที่มีการนำไปใช้



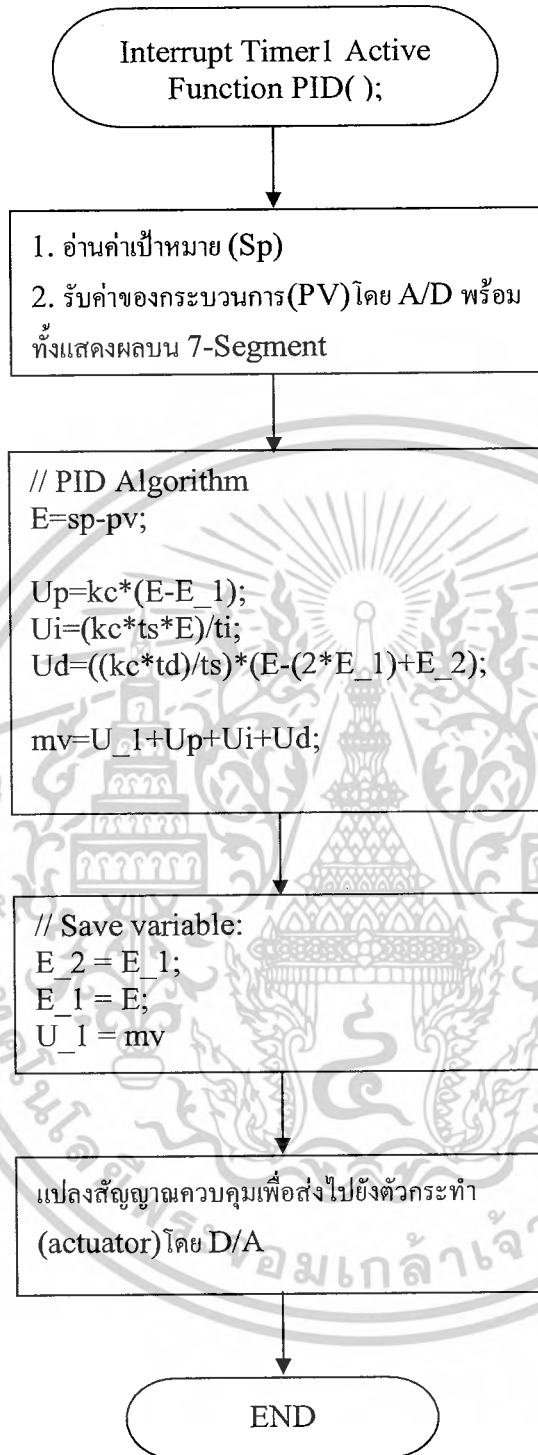
เอกสารนี้เป็นเอกสารที่สงวนไว้สำหรับการใช้งานเพื่อการศึกษาเท่านั้น ไม่อนุญาตให้นำไปใช้ประโยชน์ด้านการค้า ไม่ว่ากรณีใดๆ ทั้งสิ้น อีกทั้งห้ามมิให้ดัดแปลงเนื้อหาและต้องอ้างอิงถึงเจ้าของเอกสารทุกครั้งที่มีการนำไปใช้



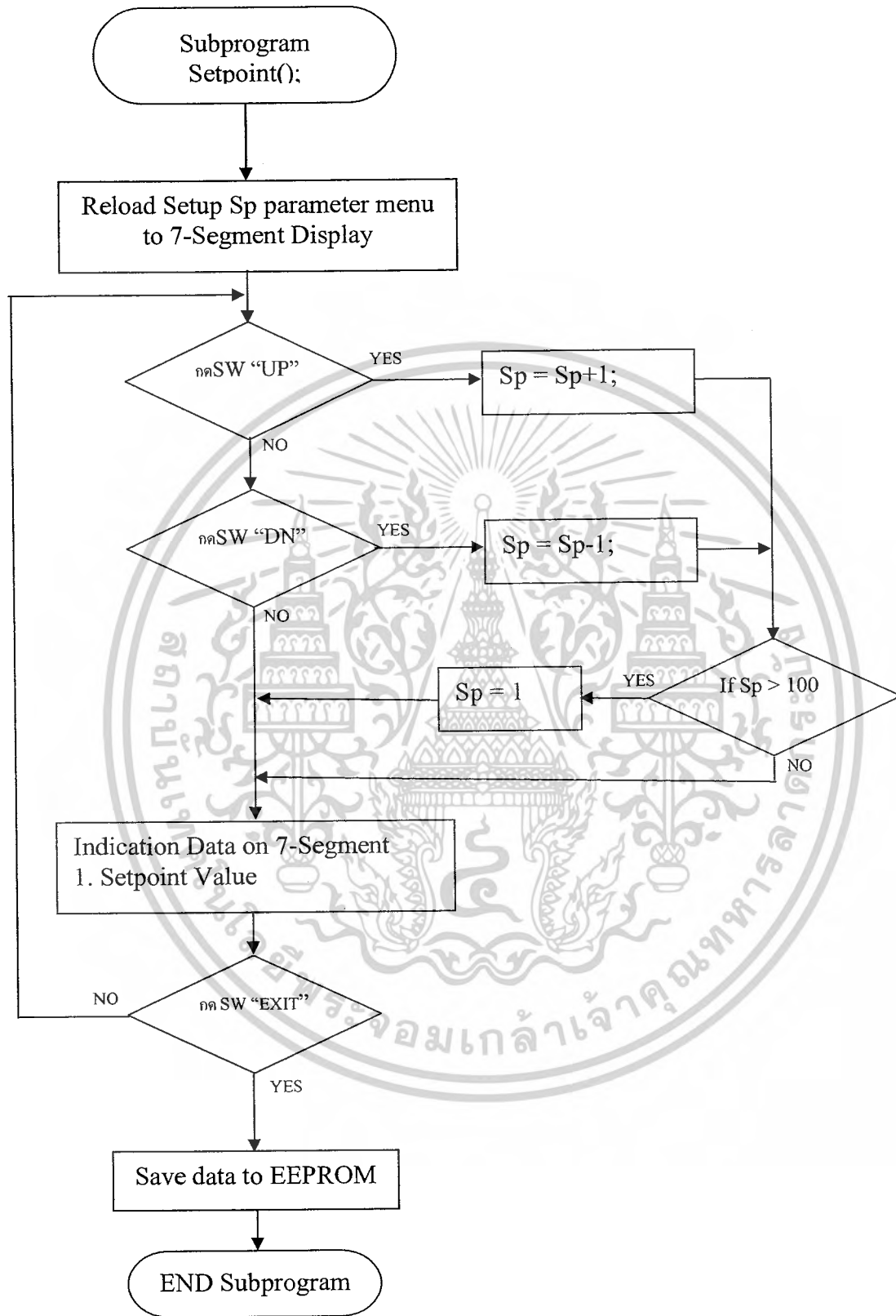
เอกสารนี้เป็นเอกสารที่สงวนไว้สำหรับการใช้งานเพื่อการศึกษาเท่านั้น ไม่อนุญาตให้นำไปใช้ประโยชน์ด้านการค้า
ไม่ว่ากรณีใดๆ ทั้งสิ้น อีกทั้งห้ามมิให้ดัดแปลงเนื้อหาและต้องอ้างอิงถึงเจ้าของเอกสารทุกครั้งที่มีการนำไปใช้



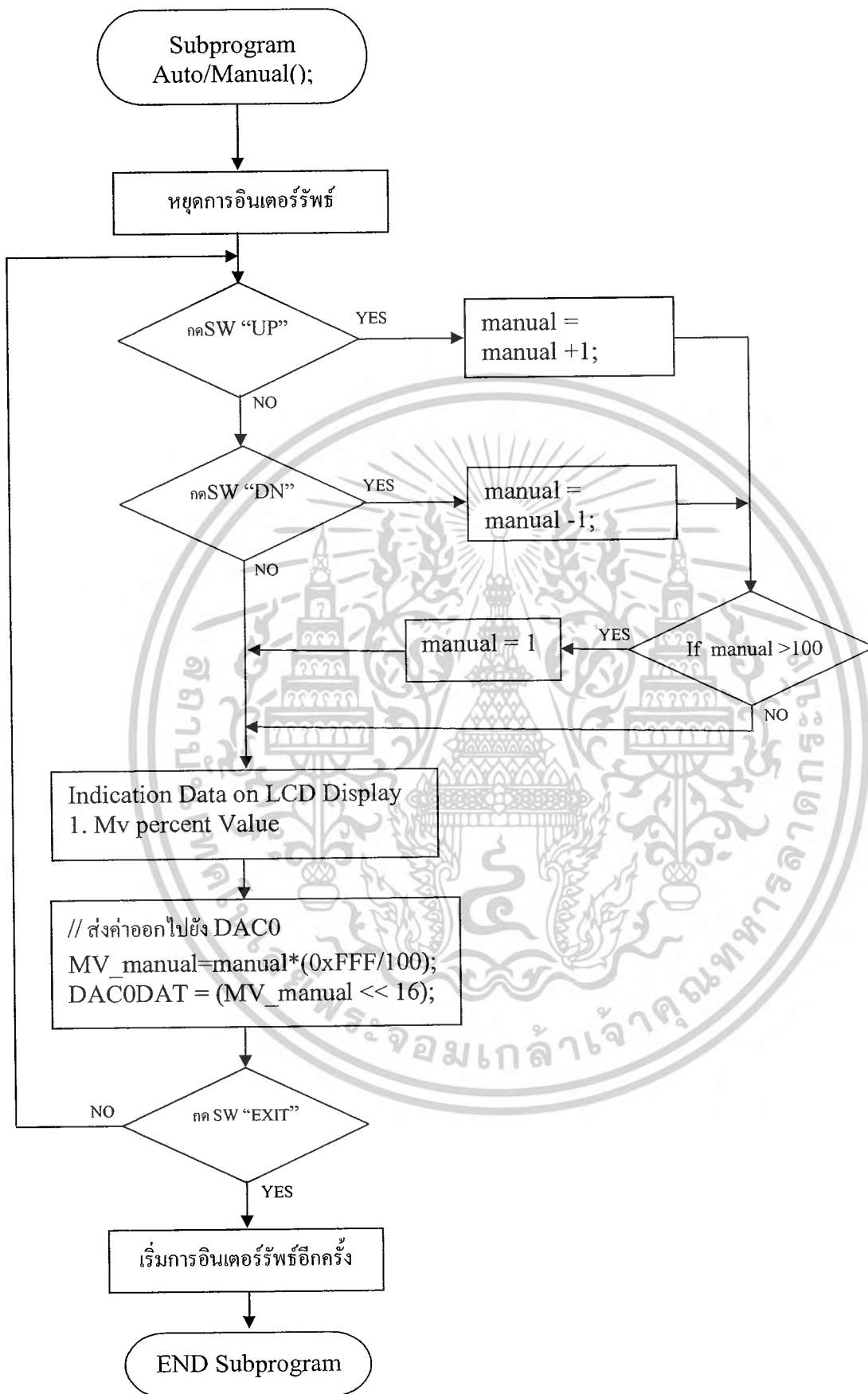
เอกสารนี้เป็นเอกสารที่สงวนไว้สำหรับการใช้งานเพื่อการศึกษาเท่านั้น ไม่อนุญาตให้นำไปใช้ประโยชน์ด้านการค้า
ไม่ว่ากรณีใดๆ ทั้งสิ้น อีกทั้งห้ามมิให้ดัดแปลงเนื้อหาและต้องอ้างอิงถึงเจ้าของเอกสารทุกครั้งที่มีการนำไปใช้



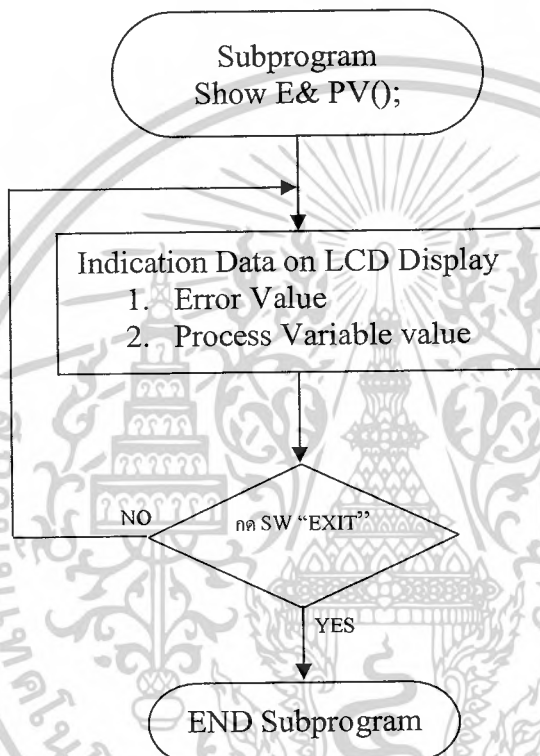
เอกสารนี้เป็นเอกสารที่สงวนไว้สำหรับการใช้งานเพื่อการศึกษาเท่านั้น ไม่อนุญาตให้นำไปใช้ประโยชน์ด้านการค้า
ไม่ว่ากรณีใดๆ ทั้งสิ้น อีกทั้งห้ามมิให้ตัดแปลงเนื้อหาและต้องอ้างอิงถึงเจ้าของเอกสารทุกครั้งที่มีการนำไปใช้



เอกสารนี้เป็นเอกสารที่สงวนไว้สำหรับการใช้งานเพื่อการศึกษาเท่านั้น ไม่อนุญาตให้นำไปใช้ประโยชน์ด้านการค้า
ไม่ว่ากรณีใดๆ ทั้งสิ้น อีกทั้งห้ามมิให้ดัดแปลงเนื้อหาและต้องอ้างอิงถึงเจ้าของเอกสารทุกครั้งที่มีการนำไปใช้



เอกสารนี้เป็นเอกสารที่สงวนไว้สำหรับการใช้งานเพื่อการศึกษาเท่านั้น ไม่อนุญาตให้นำไปใช้ประโยชน์ด้านการค้า
ไม่ว่ากรณีใดๆ ทั้งสิ้น อีกทั้งห้ามมิให้ดัดแปลงเนื้อหาและต้องอ้างอิงถึงเจ้าของเอกสารทุกครั้งที่มีการนำไปใช้



เอกสารนี้เป็นเอกสารที่สงวนไว้สำหรับการใช้งานเพื่อการศึกษาเท่านั้น ไม่อนุญาตให้นำไปใช้ประโยชน์ด้านการค้า
ไม่ว่ากรณีใดๆ ทั้งสิ้น อีกทั้งห้ามมิให้ดัดแปลงเนื้อหาและต้องอ้างอิงถึงเจ้าของเอกสารทุกครั้งที่มีการนำไปใช้

```

#include <ADUc7024.H> // ADUc7024 MPU Register
#include <stdio.h> // For Used Function printf

/* pototype section */
//////////LCD//////////
void delay(unsigned long int); // Delay Function
void lcd_init(); // Initial LCD
void lcd_out_data4(unsigned char); // Strobe 4-Bit Data to LCD
void lcd_write_byte(unsigned char); // Write 1 Byte Data to LCD
void lcd_write_control(unsigned char); // Write Instruction
void lcd_write_ascii(unsigned char); // Write LCD Display(ASCII)
void goto_cursor(unsigned char); // Set Position Cursor LCD
void lcd_print(unsigned char*); // Print Display to LCD
char busy_lcd(void); // Read Busy LCD Status
void enable_lcd(void); // Enable Pulse
void test_lcd(void);
void show_value(char);
void initial_adc_dac(void);

//////////MAX7219//////////
void SPI_Write_Data(unsigned char DataByte); // Write 1 Byte to SPI
void delay(unsigned long int); // Delay Time Function
void MAX7219(unsigned char cmd,unsigned char dataX);
const static unsigned char HexTAB[11] = { 0x7E, 0x30, 0x6D, 0x79, 0x33, 0x5B, 0x5F,
0x70,0x7F,0x7B,0x00};
const static unsigned char point[10] = { 0xFE, 0xB0, 0xED, 0xF9, 0xB3, 0xDB, 0xDF, 0xF0,0xFF,0xFB};
void initial_max(void);

//////////Interrupt timer//////////
void IRQ_Handler (void) __irq;

//////////RTC DS1307//////////
unsigned char ReadDS1307 (unsigned char Read_Addr);
void WriteDS1307(unsigned char Write_Addr,unsigned char Set_Time);

void Tx_Byte(unsigned char DataOut); // Write Data to UART

```

เอกสารนี้เป็นเอกสารที่สงวนไว้สำหรับการใช้งานเพื่อการศึกษาเท่านั้น ไม่อนุญาตให้นำไปใช้ประโยชน์ด้านการค้า
ไม่ว่ากรณีใดๆ ทั้งสิ้น อีกทั้งห้ามมิให้ดัดแปลงเนื้อหาและต้องอ้างอิงถึงเจ้าของเอกสารทุกครั้งที่มีการนำไปใช้

```
//////////by myself//////////
```

```
void check_sw(void);  
void name_function(void);  
void pid_para(void);  
void auto_man(void);  
void sp_pv(void);  
void mv_e(void);  
void halt(void);  
void function_pid(void);  
void p_para(void);  
void i_para(void);  
void d_para(void);  
void boot_data(void);  
void display_sp(void);  
void send_data(void);  
void Send2Com(int data2send);
```

```
int sw;  
float ts=0.25;  
int ti,td;  
char value_U[3],value_pv[3],value_sp[3],value_E[3];  
float kp,kc;  
char value_kp[2],value_ti[3],value_td[3],value_sp[3],value_manual[3];  
int sp>manual,MV_manual;  
int kp_l,kp_h,ti_l,ti_h,td_l,td_h,sp_l,sp_h;  
float pv,sumpv,kkk;  
float U_percent,mv;  
int data1,data2,data3,data4;  
int count_sent,count1;  
float U_1,E_1,E_2,Up,Ud,Ui,Ui_1,pv_1,Upid;  
int U,Q;
```

เอกสารนี้เป็นเอกสารที่สงวนไว้สำหรับการใช้งานเพื่อการศึกษาเท่านั้น ไม่อนุญาตให้นำไปใช้ประโยชน์ด้านการค้า
ไม่ว่ากรณีใดๆ ทั้งสิ้น อีกทั้งห้ามมิให้ดัดแปลงเนื้อหาและต้องอ้างอิงถึงเจ้าของเอกสารทุกครั้งที่มีการนำไปใช้

```

// LCD Routines for "ET-ARM7 BASE ADUc7024"
// Character 16x2 4-Bit Mode Interface
// EN = P4.4
// RW = P4.5
// RS = P4.6
// D4 = P4.0
// D5 = P4.1
// D6 = P4.2
// D7 = P4.3
#define LCD_EN 0x00100000 // P4.4(0000 0000 000x 0000 0000 0000 0000 0000)
#define LCD_RW 0x00200000 // P4.5(0000 0000 00x0 0000 0000 0000 0000 0000)
#define LCD_RS 0x00400000 // P4.6(0000 0000 0x00 0000 0000 0000 0000 0000)
#define LCD_D4 0x00010000 // P4.0(0000 0000 0000 000x 0000 0000 0000 0000)
#define LCD_D5 0x00020000 // P4.1(0000 0000 0000 00x0 0000 0000 0000 0000)
#define LCD_D6 0x00040000 // P4.2(0000 0000 0000 0x00 0000 0000 0000 0000)
#define LCD_D7 0x00080000 // P4.3(0000 0000 0000 x000 0000 0000 0000 0000)

#define LCD_DATA (LCD_D7|LCD_D6|LCD_D5|LCD_D4)
#define LCD_IOALL (LCD_D7|LCD_D6|LCD_D5|LCD_D4|LCD_RS|LCD_RW|LCD_EN)

#define lcd_rs_set() GP4SET = LCD_RS // RS = 1 (Select Instruction)
#define lcd_rs_clr() GP4CLR = LCD_RS // RS = 0 (Select Data)
#define lcd_rw_set() GP4SET = LCD_RW // RW = 1 (Read)
#define lcd_rw_clr() GP4CLR = LCD_RW // RW = 0 (Write)
#define lcd_en_set() GP4SET = LCD_EN // EN = 1 (Enable)
#define lcd_en_clr() GP4CLR = LCD_EN // EN = 0 (Disable)
#define lcd_dir_write() GP4DAT = 0x7F000000 // LCD Data Bus = Write
#define lcd_dir_read() GP4DAT = 0x70000000 // LCD Data Bus = Read

#define lcd_clear() lcd_write_control(0x01) // Clear Display
#define lcd_cursor_home() lcd_write_control(0x02) // Set Cursor = 0
#define lcd_display_on() lcd_write_control(0x0E) // LCD Display Enable
#define lcd_display_off() lcd_write_control(0x08) // LCD Display Disable
#define lcd_cursor_blink() lcd_write_control(0x0F) // Set Cursor = Blink
#define lcd_cursor_on() lcd_write_control(0x0E) // Enable LCD Cursor
#define lcd_cursor_off() lcd_write_control(0x0C) // Disable LCD Cursor

```

เอกสารนี้เป็นเอกสารที่สงวนไว้สำหรับการใช้งานเพื่อการศึกษาเท่านั้น ไม่อนุญาตให้นำไปใช้ประโยชน์ด้านการค้า
ไม่ว่ากรณีใดๆ ทั้งสิ้น อีกทั้งห้ามมิให้ดัดแปลงเนื้อหาและต้องอ้างอิงถึงเจ้าของเอกสารทุกครั้งที่มีการนำไปใช้

```

#define lcd_cursor_left()      lcd_write_control(0x10)    // Shift Left Cursor
#define lcd_cursor_right()    lcd_write_control(0x14)    // Shift Right Cursor
#define lcd_display_sleft()   lcd_write_control(0x18)    // Shift Left Display
#define lcd_display_sright()  lcd_write_control(0x1C)    // Shift Right Display
////////////////////////////////////

// Define LCD PinIO Mask (Bit[23..16])
#define MAX7219_CLK  0x00100000          // P1.4(0000 0000 000x 0000 0000 0000 0000)
#define MAX7219_DIN  0x00400000          // P1.6(0000 0000 0x00 0000 0000 0000 0000)
#define MAX7219_LOAD 0x00200000          // P1.7(0000 0000 x000 0000 0000 0000 0000)

#define DIN_SET()      GP1SET = MAX7219_DIN          // DIN = 1
#define DIN_CLR()     GP1CLR = MAX7219_DIN          // DIN = 0
#define CLK_SET()     GP1SET = MAX7219_CLK          // CLK = 1 (Shift Data)
#define CLK_CLR()     GP1CLR = MAX7219_CLK          // CLK = 0
#define LOAD_SET()    GP1SET = MAX7219_LOAD         // LOAD = 1 (Latch Data)
#define LOAD_CLR()    GP1CLR = MAX7219_LOAD         // LOAD = 0

void initial_adc_dac(void)
{
    ADCCON = 0x00000000;          // Reset ADC Config
    ADCCON |= 0x00000020;        // Power-ON ADC Function
    delay(1000);                 // Wait ADC Power-on Ready

    ADCCON |= 0x00001400;        // ADC Clock = fADC/32
    ADCCON |= 0x00000300;        // Acquisition Time = 16 Cycle Clock
    ADCCON &= 0xFFFFFE7;        // ADC = Single-End Mode
    ADCCON |= 0x00000004;        // Continue Software Convert
    REFCON = 0x00000001;         // Used Internal 2.5V Reference
    ADCCON |= 0x00000080;        // ADC Start Conversion

    // Initial DAC0
    DAC0CON &= 0xDF;             // DAC0 Used System Clock
    DAC0CON |= 0x10;             // Enable DAC0
    DAC0CON |= 0x02;             // DAC0 Output Range = +Vref..AGND
    REFCON = 0x01;              // Used Internal 2.5V Reference

```

เอกสารนี้เป็นเอกสารที่สงวนไว้สำหรับการใช้งานเพื่อการศึกษาเท่านั้น ไม่อนุญาตให้นำไปใช้ประโยชน์ด้านการค้า
ไม่ว่ากรณีใดๆ ทั้งสิ้น อีกทั้งห้ามมิให้ดัดแปลงเนื้อหาและต้องอ้างอิงถึงเจ้าของเอกสารทุกครั้งที่มีการนำไปใช้

```

// Enable DAC0
DAC1CON |= 0x02;           // DAC0 Output Range = +Vref..AGND
REFCON = 0x01;           // Used Internal 2.5V Reference
}

```

```

/*****/
/* Write Character To UART */
/*****/
void Tx_Byte(unsigned char DataOut)           // Write character to Serial Port
{
    while(!(0x40==(COMSTA0 & 0x40)))         // Wait TX Complete
    {
    }
    COMTX = DataOut;                         // Write CR
    while(!(0x40==(COMSTA0 & 0x40)))         // Wait TX Complete
    {
    }
}

/*****/
/* Read Character From UART */
/*****/
int getchar (void)                           // Read character from Serial Port
{
    while(!(0x01==(COMSTA0 & 0x01)))         // Wait Receive Data Ready
    {
    }
    return (COMRX);
}

```

```

/*****/
/* Delay Time Function */
/* 1-4294967296 */
/*****/

```

เอกสารนี้เป็นเอกสารที่สงวนไว้สำหรับการใช้งานเพื่อการศึกษาเท่านั้น ไม่อนุญาตให้นำไปใช้ประโยชน์ด้านการค้า
ไม่ว่ากรณีใดๆ ทั้งสิ้น อีกทั้งห้ามมิให้ดัดแปลงเนื้อหาและต้องอ้างอิงถึงเจ้าของเอกสารทุกครั้งที่มีการนำไปใช้

```

void delay(unsigned long int count1)
{
    while(count1 > 0) {count1--;}           // Loop Decrease Counter
}

/*****/
/* Set LCD Position Cursor */
/*****/
void goto_cursor(unsigned char i)
{
    i |= 0x80;                               // Set DD-RAM Address Command
    lcd_write_control(i);
}

/*****/
/* Write Instruction to LCD */
/*****/
void lcd_write_control(unsigned char val)
{
    lcd_rs_clr();                            // RS = 0 = Instruction Select
    lcd_write_byte(val);                    // Strobe Command Byte
}

/*****/
/* Write Data 1 Byte to LCD */
/*****/
void lcd_write_byte(unsigned char val)
{
    lcd_out_data4((val>>4)&0x0F);           // Strobe 4-Bit High-Nibble to LCD
    enable_lcd();                           // Enable Pulse
    lcd_out_data4(val&0x0F);               // Strobe 4-Bit Low-Nibble to LCD
    enable_lcd();                           // Enable Pulse
    while(busy_lcd());                     // Wait LCD Execute Complete
}

```

เอกสารนี้เป็นเอกสารที่สงวนไว้สำหรับการใช้งานเพื่อการศึกษาเท่านั้น ไม่อนุญาตให้นำไปใช้ประโยชน์ด้านการค้า
ไม่ว่ากรณีใดๆ ทั้งสิ้น อีกทั้งห้ามมิให้ดัดแปลงเนื้อหาและต้องอ้างอิงถึงเจ้าของเอกสารทุกครั้งที่มีการนำไปใช้

```

/*****/
/* Enable Pulse to LCD */
/*****/
void enable_lcd(void)                                // Enable Pulse
{
    unsigned int i;                                  // Delay Count
    lcd_en_set();                                    // Enable ON
    for (i=0;i<10;i++);
    lcd_en_clr();                                    // Enable OFF
}

/*****/
/* Wait LCD Ready */
/*****/
char busy_lcd(void)
{
    unsigned char busy_status;                       // Busy Status Read
    unsigned int i;                                  // Delay Count

    lcd_dir_read();                                  // LCD Data Bus = Read
    lcd_rs_clr();                                    // Instruction Select
    lcd_rw_set();                                    // Read Direction
    lcd_en_set();                                    // Start Read Busy

    for (i=0;i<100;i++);                             // Delay Before Read
    busy_status = (GP4DAT & 0x08);                   // Read LCD Data

    if(busy_status == 0x08)                          // Read & Check Busy Flag
    {
        lcd_en_clr();                                // Disable Read
        lcd_rw_clr();                                // Default = Write Direction
        lcd_dir_write();                             // LCD Data Bus = Write
        return 1;                                    // LCD Busy Status
    }
    else
    {

```

เอกสารนี้เป็นเอกสารที่สงวนไว้สำหรับการใช้งานเพื่อการศึกษาเท่านั้น ไม่อนุญาตให้นำไปใช้ประโยชน์ด้านการค้า
ไม่ว่ากรณีใดๆ ทั้งสิ้น อีกทั้งห้ามมิให้ดัดแปลงเนื้อหาและต้องอ้างอิงถึงเจ้าของเอกสารทุกครั้งที่มีการนำไปใช้

```

        lcd_en_clr();
        lcd_rw_clr();
        lcd_dir_write();
        return 0;
    }
}

```

```

/*****

```

```

/* Print Display Data(ASCII) to LCD */

```

```

*****/

```

```

void lcd_print(unsigned char* str)

```

```

{

```

```

    int i;

```

```

    for (i=0;i<16 && str[i]!=0;i++) // 16 Character Print

```

```

    {

```

```

        lcd_write_ascii(str[i]); // Print Byte to LCD

```

```

    }

```

```

}

```

```

/*****

```

```

/* Write Data(ASCII) to LCD */

```

```

*****/

```

```

void lcd_write_ascii(unsigned char c)

```

```

{

```

```

    lcd_rs_set(); // RS = 1 = Data Select

```

```

    lcd_write_byte(c); // Strobe 1 Byte to LCD

```

```

}

```

```

/*****

```

```

/* Strobe 4-Bit Data to LCD */

```

```

*****/

```

```

void lcd_out_data4(unsigned char val)

```

```

{

```

```

    GP4CLR = (LCD_DATA); // Reset 4-Bit Pin Data

```

```

    GP4SET = (val<<16); // 0000:0000:0,RS,RW,EN:DDDD:0000:0000:0000

```

เอกสารนี้เป็นเอกสารที่สงวนไว้สำหรับการใช้งานเพื่อการศึกษาเท่านั้น ไม่อนุญาตให้นำไปใช้ประโยชน์ด้านการค้า
ไม่ว่ากรณีใดๆ ทั้งสิ้น อีกทั้งห้ามมิให้ดัดแปลงเนื้อหาและต้องอ้างอิงถึงเจ้าของเอกสารทุกครั้งที่มีการนำไปใช้

```

}

/*****/
/* Initial 4-Bit LCD Interface */
/*****/

void lcd_init()
{
    unsigned int i;                // Delay Count

    GP4CLR = (LCD_IOALL);          // Reset (RS,RW,EN,4-Bit Data) Pin
    for (i=0;i<100000;i++);        // Power-On Delay (15 mS)

    GP4CLR = (LCD_IOALL);          // Reset (RS,RW,EN,4-Bit Data) Pin
    GP4SET = (LCD_D5|LCD_D4);      // 0000:0000:(0,RS,RW,EN:0011):0000:0000:0000:0000
    enable_lcd();                  // Enable Pulse
    for (i=0;i<10000;i++);        // Delay 4.1mS

    GP4CLR = (LCD_IOALL);          // Reset (RS,RW,EN,4-Bit Data) Pin
    GP4SET = (LCD_D5|LCD_D4);      // 0000:0000:(0,RS,RW,EN:0011):0000:0000:0000:0000
    enable_lcd();                  // Enable Pulse
    for (i=0;i<1000;i++);         // delay 100uS

    GP4CLR = (LCD_IOALL);          // Reset (RS,RW,EN,4-Bit Data) Pin
    GP4SET = (LCD_D5|LCD_D4);      // 0000:0000:(0,RS,RW,EN:0011):0000:0000:0000:0000
    enable_lcd();                  // Enable Pulse
    while(busy_lcd());             // Wait LCD Execute Complete

    GP4CLR = (LCD_IOALL);          // Reset (RS,RW,EN,4-Bit Data) Pin
    GP4SET = (LCD_D5);             // 0000:0000:(0,RS,RW,EN:0011):0000:0000:0000:0000
    enable_lcd();                  // Enable Pulse
    while(busy_lcd());             // Wait LCD Execute Complete

    lcd_write_control(0x28);       // Function Set (DL=0 4-Bit,N=1 2 Line,F=0 5X7)
    lcd_write_control(0x0C);       // Display on/off Control (Entry Display,Cursor off,Cursor not Blink)
    lcd_write_control(0x06);       // Entry Mode Set (I/D=1 Increment,S=0 Cursor Shift)
    lcd_write_control(0x01);       // Clear Display (Clear Display,Set DD RAM Address=0)

```

เอกสารนี้เป็นเอกสารที่สงวนไว้สำหรับการใช้งานเพื่อการศึกษาเท่านั้น ไม่อนุญาตให้นำไปใช้ประโยชน์ด้านการค้า
ไม่ว่ากรณีใดๆ ทั้งสิ้น อีกทั้งห้ามมิให้ดัดแปลงเนื้อหาและต้องอ้างอิงถึงเจ้าของเอกสารทุกครั้งที่มีการนำไปใช้

```

for (i=0;i<10000;i++); // Wait Command Ready
}

void MAX7219(unsigned char cmd,unsigned char dataX)
{
LOAD_CLR();
SPI_Write_Data(cmd); // Digit[8]
SPI_Write_Data(dataX); // 7
LOAD_SET();
}

//Read Byte From RTC
unsigned char ReadDS1307 (unsigned char Read_Addr)
{
unsigned char Get_Byte;
I2C1CCNT = 0x00;

//1st Start Condition
I2C1ADR = 0xD0; //data write slave recieve
I2C1MTX = Read_Addr;
while((I2C1FSTA & 0x30)!=0x00);

//2nd Start Condition
I2C1CNT = 0;
I2C1ADR = 0xD1; //data read slave transmitter

//enable Generate Stop Condition
I2C1CCNT = 0x80;

//Wait recive Data From Device
while((I2C1MSTA & 0x08)!=0x08);
Get_Byte = I2C1MRX;
return Get_Byte;
}

```

เอกสารนี้เป็นเอกสารที่สงวนไว้สำหรับการใช้งานเพื่อการศึกษาเท่านั้น ไม่อนุญาตให้นำไปใช้ประโยชน์ด้านการค้า
ไม่ว่ากรณีใดๆ ทั้งสิ้น อีกทั้งห้ามมิให้ดัดแปลงเนื้อหาและต้องอ้างอิงถึงเจ้าของเอกสารทุกครั้งที่มีการนำไปใช้

```
//Write Byte to RTC : DS1307
```

```
void WriteDS1307(unsigned char Write_Addr,unsigned char Set_Time)
```

```
{
```

```
    I2C1MTX = Write_Addr;
```

```
    I2C1MTX = Set_Time;
```

```
    I2C1ADR = 0xD0;
```

```
    //Wait I2C Send Complete
```

```
    while ((I2C1MSTA & 0x04)!=0x04);
```

```
}
```

```
void initial_max()
```

```
{
```

```
// Initial SPI Interface to MAX7219
```

```
// GP1DAT = Direction Control Bit[31..24]
```

```
//     = 0 = Input,1=Output
```

```
//     = dddd dddd xxxx xxxx xxxx xxxx xxxx
```

```
// GP1DAT = Output Control Bit[23..16]
```

```
//     = xxxx xxxx pppp pppp xxxx xxxx xxxx
```

```
// GP1DAT = Input Read Bit[7..0]
```

```
// GP1SET = Bit[23..16]
```

```
// GP1CLR = Bit[23..16]
```

```
GP1CON &= 0xCCCCFFFF;
```

```
// P1[7..4] = GPIO Function
```

```
GP1DAT |= 0xF0000000;
```

```
// P1[7..4] = Output
```

```
// Initial Start MAX7219 Signal
```

```
LOAD_CLR();
```

```
// Initial Start Signal
```

```
DIN_CLR();
```

```
CLK_CLR();
```

```
// Initial MAX7219 Function Set
```

```
MAX7219(0x0A,0x08);
```

เอกสารนี้เป็นเอกสารที่สงวนไว้สำหรับการใช้งานเพื่อการศึกษาเท่านั้น ไม่อนุญาตให้นำไปใช้ประโยชน์ด้านการค้า
ไม่ว่ากรณีใดๆ ทั้งสิ้น อีกทั้งห้ามมิให้ดัดแปลงเนื้อหาและต้องอ้างอิงถึงเจ้าของเอกสารทุกครั้งที่มีการนำไปใช้

```

MAX7219(0x0B,0x07);
MAX7219(0x09,0x00);
MAX7219(0x0C,0x01);
MAX7219(0x0F,0x00);

MAX7219(0x01,HexTAB[0]);
MAX7219(0x02,HexTAB[0]);
MAX7219(0x03,HexTAB[0]);
MAX7219(0x04,HexTAB[0]);
MAX7219(0x05,HexTAB[0]);
MAX7219(0x06,HexTAB[0]);
MAX7219(0x07,HexTAB[0]);
MAX7219(0x08,HexTAB[0]);
}

/*****
/* Write Data or Command to LCD */
/* D/C = "0" = Write Command */
/* D/C = "1" = Write Display */
*****/
void SPI_Write_Data(unsigned char DataByte)
{
    unsigned char Bit = 0; // Bit Counter
    int x; // Short Delay Counter

    for (Bit = 0; Bit < 8; Bit++) // 8 Bit Write
    {
        DIN_CLR(); // Prepared Default DIN
        if((DataByte & 0x80) >> 7) // MSB First of Data Bit(7..0)
        {
            DIN_SET(); // DIN = "1"
        }

        CLK_SET(); // Strobe Bit Data
        x++; // Delay Clock
    }
}

```

เอกสารนี้เป็นเอกสารที่สงวนไว้สำหรับการใช้งานเพื่อการศึกษาเท่านั้น ไม่อนุญาตให้นำไปใช้ประโยชน์ด้านการค้า
ไม่ว่ากรณีใดๆ ทั้งสิ้น อีกทั้งห้ามมิให้ดัดแปลงเนื้อหาและต้องอ้างอิงถึงเจ้าของเอกสารทุกครั้งที่มีการนำไปใช้

```

x++;
CLK_CLR(); // Next Clock
DataByte <<= 1; // Next Bit Data
}
}

/*****/
/* Interrupt Service Routine */
/*****/
void IRQ_Handler (void) __irq // IRQ Service Routine
{
if((IRQSTA & 0x00000008) != 0) // if Timer1 IRQ Flag Status
{
//send_data();
function_pid(); // not scope for led
TICLRI = 0; // Clear Timer1 Trigger IRQ Flag
}
return ;
}

void main(void)
{
ti=1; U=0; mv=0; Ui=0; Ud=0;
kp=0.1; E_2=0; E_1=0;
U_1=0; Ui_1=0;

// Initial I2C Interface
GP1CON &= 0xFFFFCCFF;
GP1CON |= 0x00002200;

// I2C-MASTER setup
I2C1CFG = 0x82;

// I2C-CLOCK = 100 KHz
I2C1DIV = 0xCFCF;

```

เอกสารนี้เป็นเอกสารที่สงวนไว้สำหรับการใช้งานเพื่อการศึกษาเท่านั้น ไม่อนุญาตให้นำไปใช้ประโยชน์ด้านการค้า
ไม่ว่ากรณีใดๆ ทั้งสิ้น อีกทั้งห้ามมิให้ดัดแปลงเนื้อหาและต้องอ้างอิงถึงเจ้าของเอกสารทุกครั้งที่มีการนำไปใช้

```

GP1CON |= 0x00000011; // Setup P1.1 = TXD & P1.0 = RXD
// Initial UART = 9600BPS
COMCON0 = 0x80; // Setting DLAB
COMDIV0 = 0x88; // Setting DIV0 and DIV1 to DL calculated
COMDIV1 = 0x00;
COMCON0 = 0x07; // Clearing DLAB

GP3CON = 0x00000000;
GP0CON = 0x00000000;
GP3DAT = 0xFF000000;
GP0DAT = 0x00000006;
lcd_dir_write(); // Initial LCD Write Data
lcd_init(); // Initial LCD
lcd_clear();
initial_max();
initial_adc_dac();

IRQEN |= 0x00000008; // Enable Timer1 Trigger IRQ Interrupt

// HCLK = 41.78 MHz
// Time 1 Cycle = 1 / 41.78 MHz
// = 23.9348 nS
// Time 1 KHz = 1 / 1000
// = 1 mS
// 1KHz Signal = Low 125mS + High 125mS
// Count 1 KHz = 125mS / 23.9348nS
// = 10445042 Cycle

T1LD = 10445042; // Timer1 Count 500uS
;
T1CON &= 0xFFFFFFF0; // Prescale = HCLK / 1
T1CON &= 0xFFFFFCF; // Format = Binary Counter
T1CON |= 0x00000040; // Timer1 Mode = Periodic
T1CON &= 0xFFFFFEFF; // Timer1 = Count Down
T1CON &= 0xFFFF1FF; // Timer1 Clock Source = HCLK

```

เอกสารนี้เป็นเอกสารที่สงวนไว้สำหรับการใช้งานเพื่อการศึกษาเท่านั้น ไม่อนุญาตให้นำไปใช้ประโยชน์ด้านการค้า
ไม่ว่ากรณีใดๆ ทั้งสิ้น อีกทั้งห้ามมิให้ดัดแปลงเนื้อหาและต้องอ้างอิงถึงเจ้าของเอกสารทุกครั้งที่มีการนำไปใช้

```

T1CON |= 0x00000080; // Timer1 Enable
boot_data();
display_sp();
// Wait Timer1 Interrupt //
while(1)
{
goto_cursor(0x00); // Set Cursor Line-1
lcd_print(" PID CONTROLLER ");
goto_cursor(0x40); // Set Cursor Line-1
lcd_print(" USING ARM7 ");
delay(4000000);

goto_cursor(0x00); // Set Cursor Line-1
lcd_print(" PRESS UP/DOWN ");
goto_cursor(0x40); // Set Cursor Line-1
lcd_print(" TO SELECT FN ");
delay(2500000);
check_sw();
while(sw==0xE9){delay(20000); name_function();
}
}}

void name_function(void)
{
int state=0;
while(1)
{
check_sw();
if(sw==0xE9)
{
while(sw==0xE9)check_sw();
state++;
if(state>5)state=1;
}

if(sw==0xB9)

```

เอกสารนี้เป็นเอกสารที่สงวนไว้สำหรับการใช้งานเพื่อการศึกษาเท่านั้น ไม่อนุญาตให้นำไปใช้ประโยชน์ด้านการค้า
ไม่ว่ากรณีใดๆ ทั้งสิ้น อีกทั้งห้ามมิให้ดัดแปลงเนื้อหาและต้องอ้างอิงถึงเจ้าของเอกสารทุกครั้งที่มีการนำไปใช้

```

{
    while(sw==0xB9)check_sw();
    state--;
    if(state<0)state=5;
}

switch(state)
{
    case 1: goto_cursor(0x00);           // Set Cursor Line-1
            lcd_print("Function 1 ");
            goto_cursor(0x40);           // Set Cursor Line-1
            lcd_print("PID PARAMETER ");
            if(sw==0x79)
            {
                while(sw==0x79)check_sw();
                pid_para();
            }
            break;
    case 2: goto_cursor(0x00);           // Set Cursor Line-1
            lcd_print("Function 2 ");
            goto_cursor(0x40);           // Set Cursor Line-1
            lcd_print("AUTO / MANUAL ");
            if(sw==0x79)
            {
                while(sw==0x70)check_sw();
                auto_man();
            }
            break;
    case 3: goto_cursor(0x00);           // Set Cursor Line-1
            lcd_print("Function 3 ");
            goto_cursor(0x40);           // Set Cursor Line-1
            lcd_print("SETPOINT ");
            if(sw==0x79)
            {

```

เอกสารนี้เป็นเอกสารที่สงวนไว้สำหรับการใช้งานเพื่อการศึกษาเท่านั้น ไม่อนุญาตให้นำไปใช้ประโยชน์ด้านการค้า
ไม่ว่ากรณีใดๆ ทั้งสิ้น อีกทั้งห้ามมิให้ดัดแปลงเนื้อหาและต้องอ้างอิงถึงเจ้าของเอกสารทุกครั้งที่มีการนำไปใช้

```

while(sw==0x79)check_sw();

sp_pv();
}

break;

case 4: goto_cursor(0x00);           // Set Cursor Line-1
lcd_print("Function 4  ");
goto_cursor(0x40);                 // Set Cursor Line-1
lcd_print("SHOW MV & ERROR");
if(sw==0x79)
{
while(sw==0x79)check_sw();
mv_e();
}
break;;

case 5: goto_cursor(0x00);           // Set Cursor Line-1
lcd_print("Function 5  ");
goto_cursor(0x40);                 // Set Cursor Line-1
lcd_print("HALT  ");
if(sw==0x79)
{
while(sw==0x79)check_sw();
halt();
}
break;
}
if(sw==0xD9){while(sw==0xD9)check_sw();break;} //exit function
}}

```

```

void pid_para(void)
{
int state,a;
lcd_clear();
while(sw==0xD0)check_sw();

```

เอกสารนี้เป็นเอกสารที่สงวนไว้สำหรับการใช้งานเพื่อการศึกษาเท่านั้น ไม่อนุญาตให้นำไปใช้ประโยชน์ด้านการค้า
ไม่ว่ากรณีใดๆ ทั้งสิ้น อีกทั้งห้ามมิให้ดัดแปลงเนื้อหาและต้องอ้างอิงถึงเจ้าของเอกสารทุกครั้งที่มีการนำไปใช้

```

while(1)
{
    check_sw();
    if(sw==0xE9)
    {
        while(sw==0xE9)check_sw();
        state++;
        if(state>3)state=1;
    }

    if(sw==0xB9)
    {
        while(sw==0xB9)check_sw();
        state--;
        if(state<0)state=3;
    }

    switch(state)
    {
        case 1: goto_cursor(0x00); // Set Cursor Line-1
                lcd_print("PID PARAMETER ");
                goto_cursor(0x40); // Set Cursor Line-1
                lcd_print("P PARAMETER ");
                if(sw==0x79)
                {
                    while(sw==0x79)check_sw();
                    p_para();
                    IRQCLR |= 0x00000008; // Disable Timer1 Trigger IRQ Interrupt
                    a=kp*10; kp_h=a/100; kp_l=a%100;
                    WriteDS1307(0x0c,kp_h); delay(100000);
                    WriteDS1307(0x0b,kp_l); delay(100000);
                    IRQEN |= 0x00000008; // Enable Timer1 Trigger IRQ Interrupt
                }
                break;

        case 2: goto_cursor(0x00); // Set Cursor Line-1
                lcd_print("PID PARAMETER ");
                goto_cursor(0x40); // Set Cursor Line-1
                lcd_print("I PARAMETER ");
    }
}

```

เอกสารนี้เป็นเอกสารที่สงวนไว้สำหรับการใช้งานเพื่อการศึกษาเท่านั้น ไม่อนุญาตให้นำไปใช้ประโยชน์ด้านการค้า
ไม่ว่ากรณีใดๆ ทั้งสิ้น อีกทั้งห้ามมิให้ดัดแปลงเนื้อหาและต้องอ้างอิงถึงเจ้าของเอกสารทุกครั้งที่มีการนำไปใช้

```

        if(sw==0x79)
        {
            while(sw==0x79)check_sw();
            i_para();
            IRQCLR |= 0x00000008;
            ti_h=ti/100; ti_l=ti%100;
            WriteDS1307(0x08,ti_l);    delay(100000);
            WriteDS1307(0x09,ti_h);    delay(100000);
            IRQEN |= 0x00000008;
        }
        break;
    case 3: goto_cursor(0x00);          // Set Cursor Line-1
            lcd_print("PID PARAMETER ");
            goto_cursor(0x40);          // Set Cursor Line-1
            lcd_print("D PARAMETER ");
            if(sw==0x79)
            {
                while(sw==0x79)check_sw();
                d_para();
                IRQCLR |= 0x00000008;
                td_h=td/100; td_l=td%100;
                WriteDS1307(0x0e,td_l);    delay(100000);
                WriteDS1307(0x0f,td_h);    delay(100000);
                IRQEN |= 0x00000008;
            }
            break;
    }
    if(sw==0xD9){while(sw==0xD9)check_sw();break;}
}
}
}

```

```

void p_para(void)
{
    lcd_clear();
    while(1)

```

เอกสารนี้เป็นเอกสารที่สงวนไว้สำหรับการใช้งานเพื่อการศึกษาเท่านั้น ไม่อนุญาตให้นำไปใช้ประโยชน์ด้านการค้า
ไม่ว่ากรณีใดๆ ทั้งสิ้น อีกทั้งห้ามมิให้ดัดแปลงเนื้อหาและต้องอ้างอิงถึงเจ้าของเอกสารทุกครั้งที่มีการนำไปใช้

```

{
check_sw();
if(sw==0xE9) kp=kp+0.1;   if(sw==0x69) kp=kp+10;   //up value
if(sw==0xB9) kp=kp-0.1;   if(sw==0x39) kp=kp-10;   //down value
delay(100000);
if(kp<0.1) kp=999.9;
if(kp>999.9) kp=0.1;

goto_cursor(0x00);
lcd_print("P parameter  ");
goto_cursor(0x40);
sprintf(value_kp,"%1.1f",kp);
lcd_print("Kp = ");
lcd_print(value_kp);      if(kp<1000) lcd_print(" ");
if(sw==0xD9){while(sw==0xD9)check_sw();break;}
}}

void i_para(void)
{
  lcd_clear();
  while(1)
  {
    check_sw();

    if(sw==0xE9) ti++;      if(sw==0x69) ti=ti+10;   //up value
    if(sw==0xB9) ti--;      if(sw==0x39) ti=ti-10;   //down value
    delay(100000);
    if(ti>9999) ti=0;
    if(ti<0) ti=9999;

    goto_cursor(0x00);
    lcd_print("I parameter  ");
    goto_cursor(0x40);

```

เอกสารนี้เป็นเอกสารที่สงวนไว้สำหรับการใช้งานเพื่อการศึกษาเท่านั้น ไม่อนุญาตให้นำไปใช้ประโยชน์ด้านการค้า
ไม่ว่ากรณีใดๆ ทั้งสิ้น อีกทั้งห้ามมิให้ดัดแปลงเนื้อหาและต้องอ้างอิงถึงเจ้าของเอกสารทุกครั้งที่มีการนำไปใช้

```

sprintf(value_ti,"%d",ti);
lcd_print("Ti = ");
lcd_print(value_ti); if(ti<1000) lcd_print(" ");

if(sw==0xD9){while(sw==0xD9)check_sw();break;}

}

}

void d_para(void)
{
    lcd_clear();
    while(1)
    {
        check_sw();
        if(sw==0xE9) td++; if(sw==0x69) td=td+10; //up value
        if(sw==0xB9) td--; if(sw==0x39) td=td-10; //down value
        delay(100000);
        if(td>9999) td=0;
        if(td<0) td=9999;

        goto_cursor(0x00);
        lcd_print("D parameter ");
        goto_cursor(0x40);
        sprintf(value_td,"%d",td);
        lcd_print("Td = ");
        lcd_print(value_td); if(td<100) lcd_print(" ");

        if(sw==0xD9){while(sw==0xD9)check_sw();break;} //exit function
    }
}

void auto_man(void)
{
    int val,A,B,C,B1,D,G,F;
    float pv_volt,pv_percent;

```

เอกสารนี้เป็นเอกสารที่สงวนไว้สำหรับการใช้งานเพื่อการศึกษาเท่านั้น ไม่อนุญาตให้นำไปใช้ประโยชน์ด้านการค้า
ไม่ว่ากรณีใดๆ ทั้งสิ้น อีกทั้งห้ามมิให้ดัดแปลงเนื้อหาและต้องอ้างอิงถึงเจ้าของเอกสารทุกครั้งที่มีการนำไปใช้

```

IRQCLR |= 0x00000008;

while(1)
{
ADCCP =0; // Select Channel to Conversion
delay(1000); // Wait Select Channel Ready
while (!ADCSTA){}; // Wait ADC Conversion Complete (Bit0="1")
val = (ADCDAT >> 16)& 0x00000FFF; // Shift ADC Result to Integer
pv_volt = val * (2.50 / 4095.0); // Volt = ADC Result x [2.5V / 4095]
pv_percent=(pv_volt*100)/2.5 ;
pv=pv_percent;

A=pv_percent/100;
B1=pv_percent/10;
B=B1; if(B1>9) B=B1%10;
C=pv_percent*10; D=C/10; G=D%10;
F=C%10;
MAX7219(0x05,HexTAB[F]);
MAX7219(0x06,point[G]);
MAX7219(0x07,HexTAB[B]);
MAX7219(0x08,HexTAB[A]);
check_sw();

if(sw==0xE9)
{ manual++; delay(100000); if(manual>100) manual=100; }
if(sw==0xB9)
{ manual--; delay(100000); if(manual<0) manual=0; }

goto_cursor(0x00);
lcd_print("MANUAL ON ");
goto_cursor(0x40);
sprintf(value_manual,"%d",manual);
lcd_print("MV =");
lcd_print(value_manual); lcd_print(" % ");

MV_manual=manual*(0xFFF/100);

```

เอกสารนี้เป็นเอกสารที่สงวนไว้สำหรับการใช้งานเพื่อการศึกษาเท่านั้น ไม่อนุญาตให้นำไปใช้ประโยชน์ด้านการค้า
ไม่ว่ากรณีใดๆ ทั้งสิ้น อีกทั้งห้ามมิให้ดัดแปลงเนื้อหาและต้องอ้างอิงถึงเจ้าของเอกสารทุกครั้งที่มีการนำไปใช้

```

mv>manual;

DAC0DAT = (MV_manual << 16);
delay(1000000);
send_data(); //send data to ComTx
if(sw==0xD9){delay(1000000);break;}
}
IRQEN |= 0x00000008;
}

```

```

void sp_pv(void)
{
int A,B,C,B1,D,E,F;
lcd_clear();
while(1)
{
check_sw();
if(sw==0xE9)
{
sp++; delay(300000); if(sp>100) sp=0; }
if(sw==0xB9)
{
sp--; delay(300000); if(sp<0) sp=100; }

goto_cursor(0x00);
lcd_print("SETPOINT var ");
goto_cursor(0x40);
sprintf(value_sp,"%d",sp);
lcd_print("SV = ");
lcd_print(value_sp); if(sp<100) lcd_print(" ");

A=sp/100;
B1=sp/10;
B=B1; if(B1>9) B=B1%10;
C=sp*10; D=C/10; E=D%10;
F=C%10;
MAX7219(0x01,HexTAB[F]);
MAX7219(0x02,point[E]);

```

เอกสารนี้เป็นเอกสารที่สงวนไว้สำหรับการใช้งานเพื่อการศึกษาเท่านั้น ไม่อนุญาตให้นำไปใช้ประโยชน์ด้านการค้า
ไม่ว่ากรณีใดๆ ทั้งสิ้น อีกทั้งห้ามมิให้ดัดแปลงเนื้อหาและต้องอ้างอิงถึงเจ้าของเอกสารทุกครั้งที่มีการนำไปใช้

```

MAX7219(0x03,HexTAB[B]);
MAX7219(0x04,HexTAB[A]);
if(sw==0xD9){while(sw==0xD9)check_sw();break;}
}
IRQCLR |= 0x00000008;
sp_h=sp/100; sp_l=sp%100;
WriteDS1307(0x12,sp_l);   delay(100000);
WriteDS1307(0x13,sp_h);   delay(100000);
IRQEN |= 0x00000008;
}

```

```
void display_sp(void)
```

```

{
    int A,B,C,B1,D,E,F;
        A=sp/100;
        B1=sp/10;
        B=B1;   if(B1>9) B=B1%10;
        C=sp*10; D=C/10; E=D%10;
        F=C%10;
        MAX7219(0x01,HexTAB[F]);
        MAX7219(0x02,point[E]);
        MAX7219(0x03,HexTAB[B]);
        MAX7219(0x04,HexTAB[A]);
}

```

```
void mv_e(void)
```

```

{
    lcd_clear();

    while(1)
    {
        check_sw();
        goto_cursor(0x40);
        sprintf(value_U,"%1.1f",mv);
        lcd_print("MV = ");
        lcd_print(value_U);
    }
}

```

เอกสารนี้เป็นเอกสารที่สงวนไว้สำหรับการใช้งานเพื่อการศึกษาเท่านั้น ไม่อนุญาตให้นำไปใช้ประโยชน์ด้านการค้า
ไม่ว่ากรณีใดๆ ทั้งสิ้น อีกทั้งห้ามมิให้ดัดแปลงเนื้อหาและต้องอ้างอิงถึงเจ้าของเอกสารทุกครั้งที่มีการนำไปใช้

```

    lcd_print(" %"); lcd_print(" ");
    goto_cursor(0x00);
    sprintf(value_E,"%1.3f",E);
    lcd_print("ERROR = ");
    lcd_print(value_E);          if(E<10) lcd_print(" ");

    if(sw==0xD9){while(sw==0xD9)check_sw();break;}
}
}

```

```
void check_sw(void)
```

```
{
    sw = GP0DAT & 0xF9;
}
```

```
void function_pid(void)
```

```
{
    int val,A,B,C,B1,D,G,F;
    float pv_volt,pv_percent;
    kc=kp;
    count1=count1+1;
    send_data();
    ADCCP =0; // Select Channel to Conversion
    delay(1000); // Wait Select Channel Ready
    while (!ADCSTA){}; // Wait ADC Conversion Complete (Bit0="1")
    val = (ADCDAT >> 16)& 0x00000FFF; // Shift ADC Result to Integer
    pv_volt = val * (2.50 / 4095.0); // Volt = ADC Result x [2.5V / 4095]

    pv_percent=(pv_volt*100)/2.5 ;
    pv=pv_percent;

    sumpv=sumpv+pv;
    if(count1==5){kkk=sumpv/5; count1=0; sumpv=0; }
}
```

เอกสารนี้เป็นเอกสารที่สงวนไว้สำหรับการใช้งานเพื่อการศึกษาเท่านั้น ไม่อนุญาตให้นำไปใช้ประโยชน์ด้านการค้า
ไม่ว่ากรณีใดๆ ทั้งสิ้น อีกทั้งห้ามมิให้ดัดแปลงเนื้อหาและต้องอ้างอิงถึงเจ้าของเอกสารทุกครั้งที่มีการนำไปใช้

```

A=kkk/100;
B1=kkk/10;

B=B1;   if(B1>9) B=B1%10;
C=kkk*10; D=C/10; G=D%10;
F=C%10;
MAX7219(0x05,HexTAB[F]);
MAX7219(0x06,point[G]);
MAX7219(0x07,HexTAB[B]);
MAX7219(0x08,HexTAB[A]);

////////////////////////////////////
//////////PID Algorithm//////////
////////////////////////////////////

E=sp-pv; //Calculate error

Up=kc*(E-E_1); //calculate P term
Ui=(kc*ts*E)/ti; //calculate I term
Ud=((kc*td)/ts)*(E-(2*E_1)+E_2); //calculate D term

mv=U_1+Up+Ui+Ud; //calculate PID output

U=(mv*4095)/100;
if(U>4095) { Ui=Ui_1; mv=100; } //condition
if(U<0) { Ui=Ui_1; mv=0; }
U=(mv*4095)/100;

E_2=E_1; //save variables
E_1=E;
U_1=mv;
Ui_1=Ui;

////////////////////////////////////
DAC0DAT = (U << 16); // Update DAC0 MV value Output(0..2.5V)for(4-20
mA) DAC1DAT = (0xCCC << 16); // Update DAC0 MV value Output(0..2.5V)for(4-20 mA)

manual=mv;
}

```

เอกสารนี้เป็นเอกสารที่สงวนไว้สำหรับการใช้งานเพื่อการศึกษาเท่านั้น ไม่อนุญาตให้นำไปใช้ประโยชน์ด้านการค้า
 ไม่ว่ากรณีใดๆ ทั้งสิ้น อีกทั้งห้ามมิให้ดัดแปลงเนื้อหาและต้องอ้างอิงถึงเจ้าของเอกสารทุกครั้งที่มีการนำไปใช้

```

//send value to COMTx
void send_data(void)
{
    data1=0; data2=10*sp; data3=10*pv; data4=10*mv;
    count_sent=count_sent+1;
    if(count_sent==1) Tx_Byte(0x41);
    if(count_sent==2) Send2Com(data1);
    if(count_sent==3) Tx_Byte(0x42);
    if(count_sent==4) Send2Com(data2);
    if(count_sent==5) Tx_Byte(0x43);
    if(count_sent==6) Send2Com(data3);
    if(count_sent==7) Tx_Byte(0x44);
    if(count_sent==8) {Send2Com(data4); count_sent=0;}
}

void Send2Com(int data2send)
{
    int base_100,base_10,base_1,temp,point,a;
    base_100= data2send/1000;
    temp = data2send%1000;
    base_10 = temp /100;
    a = data2send/10;
    base_1 = a%10;
    point = data2send%10;

    Tx_Byte(base_100+0x30);
    Tx_Byte(base_10+0x30);
    Tx_Byte(base_1+0x30);
    Tx_Byte(0x2E);
    Tx_Byte(point+0x30);
}

```

เอกสารนี้เป็นเอกสารที่สงวนไว้สำหรับการใช้งานเพื่อการศึกษาเท่านั้น ไม่อนุญาตให้นำไปใช้ประโยชน์ด้านการค้า
ไม่ว่ากรณีใดๆ ทั้งสิ้น อีกทั้งห้ามมิให้ดัดแปลงเนื้อหาและต้องอ้างอิงถึงเจ้าของเอกสารทุกครั้งที่มีการนำไปใช้

```

void boot_data(void)
{
    kp_l = ReadDS1307(0x0b);
    kp_h = ReadDS1307(0x0c);
    kp = (kp_h*10)+(kp_l*0.1);

    ti_l = ReadDS1307(0x08);
    ti_h = ReadDS1307(0x09);
    ti = (ti_h*100)+ti_l;

    td_l = ReadDS1307(0x0e);
    td_h = ReadDS1307(0x0f);
    td = (td_h*100)+td_l;

    sp_l = ReadDS1307(0x12);
    sp_h = ReadDS1307(0x13);
    sp = (sp_h*100)+sp_l;
}

```



เอกสารนี้เป็นเอกสารที่สงวนไว้สำหรับการใช้งานเพื่อการศึกษาเท่านั้น ไม่อนุญาตให้นำไปใช้ประโยชน์ด้านการค้า
ไม่ว่ากรณีใดๆ ทั้งสิ้น อีกทั้งห้ามมิให้ดัดแปลงเนื้อหาและต้องอ้างอิงถึงเจ้าของเอกสารทุกครั้งที่มีการนำไปใช้



เอกสารนี้เป็นเอกสารที่สงวนไว้สำหรับการใช้งานเพื่อการศึกษาเท่านั้น ไม่อนุญาตให้นำไปใช้ประโยชน์ด้านการค้า
ไม่ว่ากรณีใดๆ ทั้งสิ้น อีกทั้งห้ามมิให้ดัดแปลงเนื้อหาและต้องอ้างอิงถึงเจ้าของเอกสารทุกครั้งที่มีการนำไปใช้

โครงสร้างส่วนประกอบของกระบวนการ และการออกแบบกระบวนการ

กล่าวนำ

ในที่นี้จะเป็นการออกแบบระบบในการควบคุมกระบวนการ และนำอุปกรณ์ต่างๆที่นำมาใช้ในกระบวนการมาเชื่อมต่อกัน เช่น Thermocouple type K, Thermocouple Transmitter TT95, และเตาอบเพื่อให้ได้กระบวนการตามต้องการ

โครงสร้างส่วนประกอบของกระบวนการ

ส่วนประกอบและอุปกรณ์เชื่อมต่อของกระบวนการ

เตาอบ

เตาอบเป็นส่วนของอุปกรณ์ที่ต้องการควบคุมอุณหภูมิภายใน ดังแสดงในภาพที่ 1 และลักษณะโครงสร้างเตาอบไฟฟ้า ดังแสดงในภาพที่ 2



ภาพที่ 1 แสดงภาพเตาอบไฟฟ้า

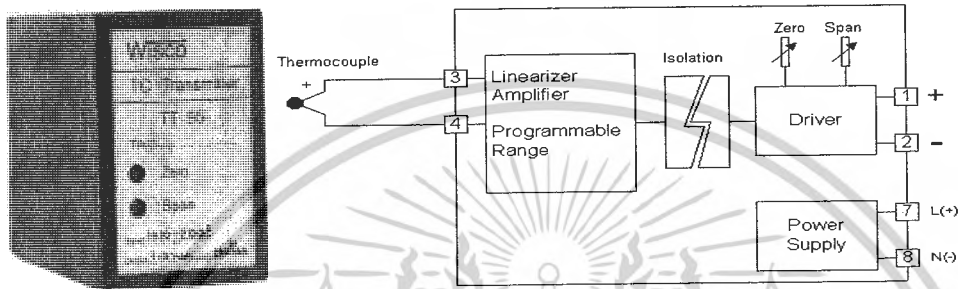
ข้อมูลทางเทคนิค

เตาเอาไฟฟ้า Turboru รุ่น	TGO-07
กำลังไฟฟ้าสูงสุด	650 W
ความถี่คลื่นไฟฟ้า	50 Hz
ฮีตเตอร์บนรวม	325 W
ความจุเครื่อง	7 L
ฮีตเตอร์ล่าง	325 W
น้ำหนักโดยประมาณ	2.9 Kg.
แรงเคลื่อนไฟฟ้า	220 V

เอกสารนี้เป็นเอกสารที่สงวนไว้สำหรับการใช้งานเพื่อการศึกษาเท่านั้น ไม่อนุญาตให้นำไปใช้ประโยชน์ด้านการค้าไม่ว่ากรณีใดๆ ทั้งสิ้น อีกทั้งห้ามมิให้ตัดแปลงเนื้อหาและต้องอ้างอิงถึงเจ้าของเอกสารทุกครั้งที่มีการนำไปใช้

Thermocouple Transmitter TT95

เทอร์โมคัปเปิ้ลจะตรวจจับค่าความร้อนมาจากเตาอบออกมาในรูปของแรงดันไฟฟ้า(mV) เนื่องจากแรงดันที่ได้ไม่เหมาะสมกับการนำไปใช้งาน จึงต้องนำ Thermocouple Transmitter 95 (TT95) ซึ่งเป็นตัวแปลงสัญญาณที่รับสัญญาณจากเทอร์โมคัปเปิ้ลเพื่อแปลงให้เป็นสัญญาณมาตรฐาน 1-5V จากนั้นจึงนำสัญญาณที่ได้ส่งต่อไปยังตัวควบคุม ลักษณะวงจรการทำงานภายใน TT95 ดังแสดงในภาพที่ 7.2



ภาพที่ 2 แสดงลักษณะของวงจรภายใน TT95

ข้อมูลทางเทคนิค

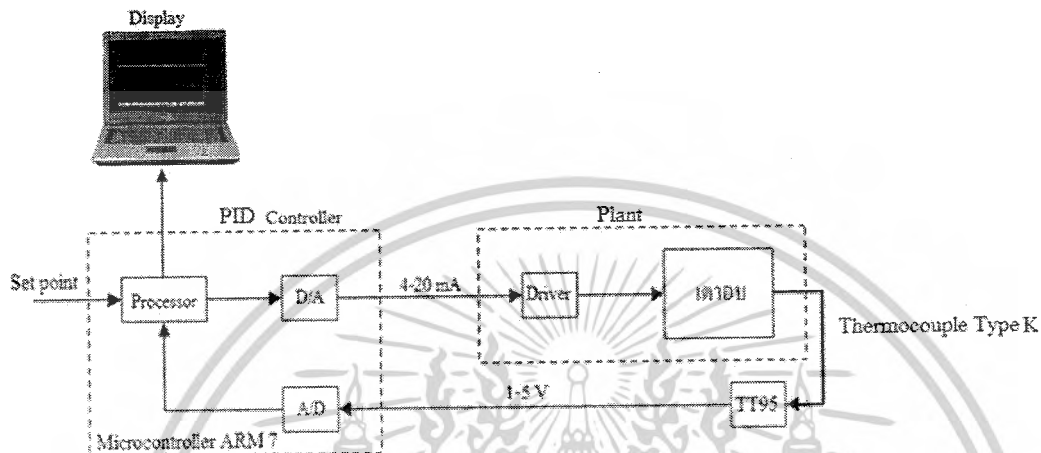
Thermocouple Input	ย่านการใช้งานของ Type K 0 ถึง 200 °C
Cold Junction Compensation	0 ถึง 50 °C
Linearity	< ± 0.2% ของ span
Output	1 - 5 volt
Power Supply	220 VAC
Ambient Temperature	0 ถึง 50 °C
Isolation Voltage	500 VAC
Connection	Plug -11 pins socket
Mounting	Wall or DIN rail
Dimension	W50×H70×D130 mm

เอกสารนี้เป็นเอกสารที่สงวนไว้สำหรับการใช้งานเพื่อการศึกษาเท่านั้น ไม่อนุญาตให้นำไปใช้ประโยชน์ด้านการค้า ไม่ว่าจะกรณีใดๆ ทั้งสิ้น อีกทั้งห้ามมิให้ตัดแปลงเนื้อหาและต้องอ้างอิงถึงเจ้าของเอกสารทุกครั้งที่มีการนำไปใช้

การออกแบบกระบวนการ

Plant

การเชื่อมต่ออุปกรณ์ต่างๆและ โครงสร้างโคะแกรมของกระบวนการ ที่ได้กล่าวไว้ข้างต้น เมื่อนำมาออกแบบจะได้กระบวนการสำหรับควบคุมอุณหภูมิ ดังแสดงในภาพที่ 7.3



ภาพที่ 3 แสดงลักษณะการออกแบบกระบวนการ

การทำงานของกระบวนการนั้น แบ่งออกเป็น 2 ส่วน คือ ส่วนที่เป็นส่วนควบคุม กับส่วนที่เป็นกระบวนการเตาอบ การทำงานของกระบวนการเริ่มจากการกำหนดค่าเป้าหมาย (set point) ซึ่งกำหนดจากตัวควบคุมได้โดยตรง จากนั้นไมโครคอนโทรลเลอร์จะประมวลผลเพื่อสร้างสัญญาณควบคุมจากอัลกอริทึมที่ได้ออกแบบไว้ สัญญาณที่ออกจากตัวควบคุมจะเป็นสัญญาณมาตรฐาน 4-20mA ส่งผ่านไปยัง Final Control Element (heater) เพื่อจ่ายพลังงานความร้อนให้กับกระบวนการเตาอบ โดยการทำงานของตัวทำความร้อนจะถูกควบคุมโดย Solid State Relay ซึ่งสร้างสัญญาณพัลส์ควบคุมตามสัญญาณที่ได้รับ(4-20 mA) อุณหภูมิของกระบวนการเตาอบจึงเกิดการเปลี่ยนแปลง เทอร์โมคัปเปิ้ลจะตรวจจับค่าความร้อนมาจากเตาอบออกมาในรูปของแรงดันไฟฟ้า (mV) เนื่องจากแรงดันที่ได้ไม่เหมาะสมกับการนำไปใช้งาน จึงต้องนำ Thermocouple Transmitter 95 (TT95) ซึ่งเป็นตัวแปลงสัญญาณที่รับสัญญาณจากเทอร์โมคัปเปิ้ลเพื่อแปลงให้เป็นสัญญาณมาตรฐาน 1-5V จากนั้นจึงนำสัญญาณที่ได้ส่งต่อไปยังตัวควบคุม สัญญาณจะถูกส่งเข้าไปยังส่วนของ A/D ในตัวไมโครคอนโทรลเลอร์ ARM7 เพื่อแปลงสัญญาณที่ได้รับซึ่งเป็นสัญญาณอนาลอกให้อยู่ในรูปของสัญญาณดิจิทัล และนำไปประมวลผลต่อไป

เอกสารนี้เป็นเอกสารที่สงวนไว้สำหรับการใช้งานเพื่อการศึกษาเท่านั้น ไม่อนุญาตให้นำไปใช้ประโยชน์ด้านการค้า ไม่ว่ากรณีใดๆ ทั้งสิ้น อีกทั้งห้ามมิให้ตัดแปลงเนื้อหาและต้องอ้างอิงถึงเจ้าของเอกสารทุกครั้งที่มีการนำไปใช้



ภาคผนวก ก

เอกสารนี้เป็นเอกสารที่สงวนไว้สำหรับการใช้งานเพื่อการศึกษาเท่านั้น ไม่อนุญาตให้นำไปใช้ประโยชน์ด้านการค้า
ไม่ว่ากรณีใดๆ ทั้งสิ้น อีกทั้งห้ามมิให้ดัดแปลงเนื้อหาและต้องอ้างอิงถึงเจ้าของเอกสารทุกครั้งที่มีการนำไปใช้

อุปกรณ์วัดอุณหภูมิ

กล่าวนำ

อุณหภูมิเป็นตัวแปรพื้นฐานทางกระบวนการผลิตอีกตัวแปรหนึ่งที่ต้องมีการควบคุมและแสดงค่าบนหน่วยแสดงของระบบควบคุมเพื่อใช้ในการควบคุมกระบวนการผลิต ดังนั้นในการควบคุมกระบวนการให้เป็นไปตามประสงค์จึงต้องมีการจัดเตรียมเครื่องมือวัดอุณหภูมิ ร่วมกับเซนเซอร์อุณหภูมิในกระบวนการผลิตให้เป็นสัญญาณทางไฟฟ้าที่เหมาะสมกับระบบควบคุม

ซึ่งเซนเซอร์วัดอุณหภูมิมีหลายชนิดให้เลือกใช้ เช่น Thermocouple, RTD, Filled system เป็นต้นเพื่อให้การวัดอุณหภูมิมีความแม่นยำต้องทำการติดตั้งเซนเซอร์วัดอุณหภูมิให้เหมาะสม

1. RTD (Resistance Temperature Detector)

RTD เป็นความต้านทานที่มีความไวในการเปลี่ยนแปลงค่าความต้านทาน เมื่ออุณหภูมิรอบตัวเปลี่ยนแปลง โดยสัมพันธ์กับการเปลี่ยนแปลงความต้านทานต่ออุณหภูมิมีค่าเป็นบวกนั่นคือความต้านทานของวัสดุจะเพิ่มขึ้นเมื่ออุณหภูมิเพิ่มขึ้น

ความต้านทานไฟฟ้าในเส้นลวดโลหะจะเปลี่ยนค่าไปตามสมการ(3.1) ดังนี้

$$R_t = R_0 (1 + \alpha T)$$

เมื่อ R_t คือ ค่าความต้านทานของลวดโลหะ ที่อุณหภูมิ t °C

R_0 คือ ค่าความต้านทานของลวดโลหะที่อุณหภูมิ 0 °C

α คือ สัมประสิทธิ์ของการเปลี่ยนแปลงค่าความต้านทานไฟฟ้า ต่ออุณหภูมิ 1 °C ($\Omega/\Omega/$

°C) (Temperature Coefficient of Resistance)

ซึ่งค่า α มีค่าเปลี่ยนไปตามชนิดของโลหะ เช่น แพลทินัม 0.00392 $\Omega/\Omega/$ °C จากย่านอุณหภูมิ 0 °C ถึง 100 °C, นิกเกิล 0.0063 $\Omega/\Omega/$ °C ทองแดง 0.00425 $\Omega/\Omega/$ °C

ในทางปฏิบัติค่า α ของการเปลี่ยนแปลงอุณหภูมิแต่ละช่วงจะไม่แปรผันเป็นเส้นตรง (Nonlinearity) ในห้องปฏิบัติการมาตรฐานที่ต้องการค่าแม่นยำสามารถทำได้โดยการใช้สมการ

(3.2)ต่อไปนี้เป็นเอกสารที่สงวนไว้สำหรับการใช้งานเพื่อการศึกษาเท่านั้น ไม่อนุญาตให้นำไปใช้ประโยชน์ด้านการค้า ไม่ว่ากรณีใดๆ ทั้งสิ้น อีกทั้งห้ามมิให้ตัดแปลงเนื้อหาและต้องอ้างอิงถึงเจ้าของเอกสารทุกครั้งที่มีการนำไปใช้

$$R_t = R_0(1 + \alpha T + \beta T^2 + \gamma T^4)$$

ค่า α , β และ γ ได้จากการทดลอง (Empirical Quantity) ซึ่งทางบริษัทผู้ผลิตเป็นผู้กำหนดมา เช่น แพลทินัม

$$\alpha = 3.985$$

$$\beta = -5.856$$

$$\gamma = 4.330$$

สูตรนี้สามารถใช้ได้ทั้งย่านการใช้งานที่ต้องการ Accuracy สูงแต่โดยทั่วไป การคำนวณจะใช้สูตร $R_t = R_0(1 + \alpha T)$

1.1 ชนิดของอาร์ทีดี (Type of RTD)

1. แพลทินัม เป็นแบบที่นิยมใช้มากที่สุด เจียนบอกไว้เป็น PT ได้แก่ PT-10, PT-100, PT-1000 ความสามารถในการทำซ้ำสูง แต่ความไวต่ำ ราคาแพงมากเมื่อเทียบกับนิเกิลซึ่งมีความสามารถในการทำซ้ำน้อย แต่มีความไวมากกว่า และราคาถูกกว่า

2. ทองคำและเงิน ธาตุทั้งสองมีค่าความต้านทานจำเพาะต่ำ

3. ทังสเตนมีค่าความต้านทานจำเพาะสัมพัทธ์สูง มักใช้กับการวัดอุณหภูมิที่มีค่าสูง เพราะหากใช้ที่อุณหภูมิปกติจะมีความเปราะและยากต่อการใช้งาน

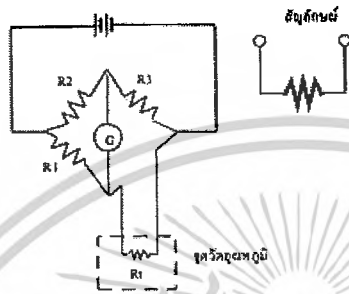
4. นิเกิล ใช้กับย่านวัดอุณหภูมิสูงๆ มีความเป็นเชิงเส้นต่ำ ทำให้เกิดค่าดริฟต์ (drift) กับเวลา นอกจากนี้ยังมีวัสดุชนิดอื่นๆ ที่ใช้ทำอาร์ทีดี ได้แก่ เหล็ก เป็นต้น

1.2 วงจรการต่อใช้งานของอาร์ทีดี

วงจรต่อใช้งานพื้นฐานของอาร์ทีดี คือ “วีรสโตน บริดจ์” (Wheatstone Bridge) ให้ “X” คือตัว อาร์ทีดี ซึ่งติดตั้งอยู่ในจุดที่ต้องการวัดอุณหภูมิ รีซิสเตอร์ประกอบอีก 3 ตัว คือ A, B และ C อยู่ในทรานสมิตเตอร์ในอุณหภูมิบรรยากาศ รีซิสเตอร์ A, B และ C ที่ใช้เป็นแบบที่มีความถูกต้องสูง, ค่า Drift (ความต้านทานเปลี่ยนค่าไปเองเมื่อใช้ไปนานๆ) ต่ำมาก

เอกสารนี้เป็นเอกสารที่สงวนไว้สำหรับการใช้งานเพื่อการศึกษาเท่านั้น ไม่อนุญาตให้นำไปใช้ประโยชน์ด้านการค้า ไม่ว่าจะกรณีใดๆ ทั้งสิ้น อีกทั้งห้ามมิให้ตัดแปลงเนื้อหาและต้องอ้างอิงถึงเจ้าของเอกสารทุกครั้งที่มีการนำไปใช้

วงจรวัดนี้จะอยู่ในสถานะสมดุลเมื่ออาร์ทีที่อยู่ในอุณหภูมิ 0°C ซึ่งจะทำให้อัตราส่วนกำลังป้อนอิมิตอร์จะชี้ที่ 0°C วงจรนี้ให้ได้เมื่อตัวทรานสมิตเตอร์อยู่ใกล้กับตัวอาร์ทีที่ตีมากๆ เท่านั้น เพราะ ถ้าสายยาวค่าผิดพลาดจะเกิดขึ้นเนื่องจากความต้านทานของสาย ค่าผิดพลาดนี้ขึ้นอยู่กับความยาวของสายตัวนำอาร์ทีดีและอุณหภูมิของสายตัวนำนี้ ถ้ามีค่ามากขึ้นค่าผิดพลาดก็จะสูงขึ้น วงจรแบบสองสายจึง เหมาะสำหรับการวัดที่ไม่ต้องการความถูกต้องสูงนัก

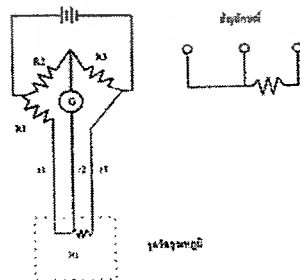


ภาพที่ 1 วงจรวัดอาร์ทีดี แบบ 2 สาย

วงจรวัดอาร์ทีดี แบบ 3 สาย เป็นแบบมาตรฐานที่นิยมใช้กันมากที่สุดในวงการอุตสาหกรรมทั่วไป สายทั้งสาม a, b และ c จากอาร์ทีดีที่ต่อเข้าวงจรวัดจะต้องมีขนาด ความยาวเท่ากันและอยู่ในบรรยากาศที่มีอุณหภูมิเดียวกันตลอด เพื่อให้ค่าความต้านทานของทั้งสามสายเปลี่ยนแปลงไปในขนาดและทิศทางเดียวกัน เป็นการชดเชยความผิดพลาดอันเกิดจากการลากสายตัวนำในสถานะงานที่หลีกเลี่ยงไม่ได้จากวงจรวัดเมื่ออาร์ทีอยู่ในสถานะสมดุล

ให้ $B=C$ ปกติจะออกแบบให้เท่ากัน

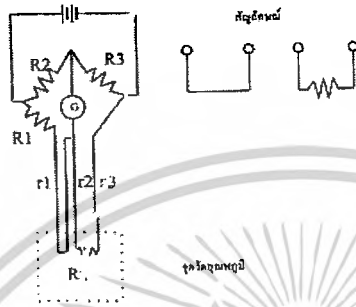
เนื่องจาก $a=b=c$, $X+b$ จึงเท่ากับ $A+a$ ค่าอุณหภูมิของการวัดจึงขึ้นอยู่กับค่าความต้านทานของอาร์ทีดี “X” เพียงตัวเดียว วงจรวัดแบบ 3 สายนี้เป็นแบบที่ให้ความถูกต้องสูง



ภาพที่ 2 วงจรวัดอาร์ทีดีแบบ 3 สาย

เอกสารนี้เป็นเอกสารที่สงวนไว้สำหรับการใช้งานเพื่อการศึกษาเท่านั้น ไม่อนุญาตให้นำไปใช้ประโยชน์ด้านการค้าไม่ว่ากรณีใดๆ ทั้งสิ้น อีกทั้งห้ามมิให้ตัดแปลงเนื้อหาและต้องอ้างอิงถึงเจ้าของเอกสารทุกครั้งที่มีการนำไปใช้

วงจรการวัดแบบ 4 สาย เป็นแบบที่เลื่อนจุดต่อของบริดจ์(Bridge Point) ไปอยู่ภายนอก สายที่ต่อจากอาร์ทีดี ทั้ง 4 เส้นจะต้องมีขนาด ความยาวเท่ากันและอยู่ในบรรยากาศที่มีอุณหภูมิ เดียวกันตลอดเหมือนวงจรการวัดแบบ 3 สาย วิธีนี้ให้ความถูกต้องสูงกว่า



ภาพที่ 3 วงจรอาร์ทีดีแบบ 4 สาย

วงจรการวัดแบบ 4 สายแบบที่ 2 ใช้กรณีที่ต้องการความถูกต้องสูงสุด ต้องการทราบค่า อุณหภูมิเป็นจุดๆ ไม่ต้องการวัดค่าแบบต่อเนื่อง เช่น ในห้องปฏิบัติการ ลักษณะการต่อวงจรเป็น แบบ 3 สาย มีสวิตช์สำหรับโยกสลับสายเพื่อหาค่าเฉลี่ย ในการวัดครั้งหนึ่งๆ ต้องทำการอ่านค่า 2 ครั้ง ตามตำแหน่งสวิตช์ ค่าความต้านทานของอาร์ทีดีเป็นค่าเฉลี่ยของค่าที่อ่านได้ทั้งสองครั้ง เพื่อ ลดความคลาดเคลื่อนอันเกิดจากวิธีการวัดแบบ 3 สาย เนื่องจากค่าความต้านทานของสายอาจไม่ เท่ากัน เช่นตำแหน่งบนอ่านได้ 250.170°C และตำแหน่งล่างอ่านได้ 250.160°C เป็นต้น บวกกับ สิ่งที่ต้องระมัดระวังในการวัดด้วยวิธีนี้ คือ จุดต่อหรือหน้าคอนแทก ทุกจุดจะต้องมั่นใจว่าแน่นสนิท สะอาดปราศจากออกไซด์ ซึ่งจะทำให้ค่าที่อ่านได้ไม่แน่นอน และกัลป์วานอมิเตอร์ที่ใช้ จะต้องเป็นแบบอิมพีแดนซ์สูง

เอกสารนี้เป็นเอกสารที่สงวนไว้สำหรับการใช้งานเพื่อการศึกษาเท่านั้น ไม่อนุญาตให้นำไปใช้ประโยชน์ด้านการค้า ไม่ว่ากรณีใดๆ ทั้งสิ้น อีกทั้งห้ามมิให้ตัดแปลงเนื้อหาและต้องอ้างอิงถึงเจ้าของเอกสารทุกครั้งที่มีการนำไปใช้

2 เทอร์โมคัปเปิล (Thermocouple)

หนึ่งในหลายๆวิธีของการวัดอุณหภูมิในงานทางด้านวิทยาศาสตร์ และงานทางด้านอุตสาหกรรมก็คือ การใช้ผลของเทอร์โมคัปเปิล เทอร์โมคัปเปิลจัดได้ว่าเป็นทรานสดิวเซอร์ที่สามารถสร้างหรือผลิตแรงดันไฟฟ้าได้ด้วยตัวมันเอง ดังนั้นจึงสามารถใช้ได้โดยตรงกับเครื่องมือวัดหรือบันทึกอุณหภูมิ รวมทั้งเครื่องควบคุมต่างๆ เทอร์โมคัปเปิลจะทำให้เกิดแรงดันไฟฟ้าเมื่ออุณหภูมิเปลี่ยนแปลงไป

เทอร์โมคัปเปิลประกอบด้วยเส้นลวดโลหะต่างชนิดกันสองเส้นต่อเข้าด้วยกันที่ปลายข้างหนึ่ง ส่วนปลายอีกข้างหนึ่งจะถูกต่อไปใช้งาน ปลายของเส้นลวดที่ต่อเข้าด้วยกันนี้เรียกว่า Hot junction ส่วนปลายด้านหนึ่งเรียก Cold junction ซึ่งปลายด้านหนึ่งที่ต่อใช้งาน เมื่อจุดต่อ Hot junction ได้รับความร้อนและมีอุณหภูมิสูงขึ้นก็จะทำให้เกิดแรงดันไฟฟ้าที่สามารถวัดค่าได้ที่จุด Cold junction

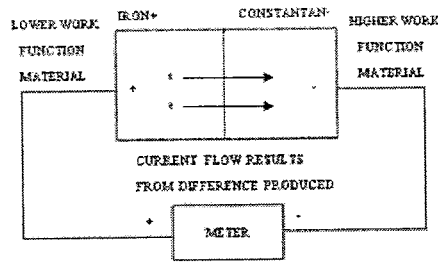


ภาพที่ 4 การเชื่อมต่อของโลหะต่างชนิด

โลหะที่ใช้ประกอบกันเป็นเทอร์โมคัปเปิลนั้นส่วนมากจะได้แก่ เหล็ก-คอนสแตนแตน โครเมิล-อลูเมิล พลาตินัม/โรเดียม-พลาตินัม และทองแดง-คอนสแตนแตน โดยชื่อของโลหะตัวแรกจะเป็นขั้วบวกทางไฟฟ้า ส่วนโลหะชนิดหลังจะเป็นขั้วลบ พฤติกรรมที่ปรากฏของเทอร์โมคัปเปิลนั้นสามารถอธิบายได้ด้วยผลการทดลองของ ซีเบ็ค (Seebeck Effect) เพลเทียร์ (Peltier Effect) และทอมสัน (Thomson Effect)

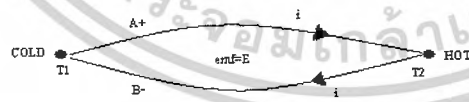
Thomas Seebeck นักวิทยาศาสตร์ชาวเยอรมัน เป็นผู้ค้นพบอุปกรณ์ที่สามารถให้แรงดันไฟฟ้าที่เกิดจากความร้อน (thermo - electric) ขึ้นเป็นครั้งแรกโดยไม่คาดคิดมาก่อนในเวลานั้น เขาได้นำลวดโลหะต่างชนิดกันมาต่อปลายเข้าด้วยกัน แสดงดังภาพที่ 3.4

เอกสารนี้เป็นเอกสารที่สงวนไว้สำหรับการใช้งานเพื่อการศึกษาเท่านั้น ไม่อนุญาตให้นำไปใช้ประโยชน์ด้านการค้า ไม่ว่ากรณีใดๆ ทั้งสิ้น อีกทั้งห้ามมิให้ตัดแปลงเนื้อหาและต้องอ้างอิงถึงเจ้าของเอกสารทุกครั้งที่มีการนำไปใช้



ภาพที่ 5 การเกิดแรงดันในลวดโลหะ

Seebeck ได้อธิบายผลที่เกิดขึ้นจากการทดลองว่า ถ้าให้ความร้อนที่ปลายข้างหนึ่งของเส้นลวดโลหะต่างชนิดกันที่ติดกันอยู่ กระแสที่ไหลจะเปลี่ยนแปลงไปตามค่าของอุณหภูมิที่แตกต่างกันระหว่าง hot junction กับ cold junction ซึ่งการไหลของกระแสเหล่านี้เกิดจากความปั่นป่วนของอิเล็กตรอนตรงจุดที่สัมผัสหรือได้รับความร้อน ซึ่งวัสดุที่ใช้นั้นจะต้องเป็นวัสดุที่มีแถบพลังงานไม่เท่ากัน ในที่นี้จะขอเรียกใหม่ว่า ฟังก์ชันการทำงาน วัสดุที่มีฟังก์ชันการทำงานที่ต่ำกว่า (lower work function material) จะให้อิเล็กตรอนได้เร็วกว่าวัสดุที่มีฟังก์ชันการทำงานที่สูงกว่า (higher work function material) ดังนั้นเมื่ออุณหภูมิเพิ่มขึ้น อิเล็กตรอนก็จะถูกปล่อยออกจากวัสดุที่มีฟังก์ชันการทำงานที่ต่ำกว่า ซึ่งจะเป็นผลทำให้เกิดเป็นขั้วบวกขึ้น ที่ระดับอุณหภูมิคงที่จำนวนอิเล็กตรอนที่ปลดปล่อยออกมา ก็จะมีจำนวนที่คงที่และกระแสจะไหลสม่ำเสมอ เมื่ออุณหภูมิสูงขึ้นที่ถูกปลดปล่อยออกมาก็จะมากขึ้น กระแสก็จะไหลมากขึ้น จากปรากฏการณ์ดังกล่าวสามารถแสดงได้ด้วยภาพที่ 3.5

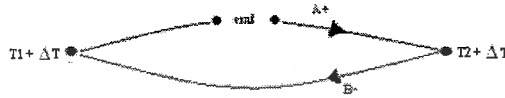


ภาพที่ 6 การไหลของกระแสตามทฤษฎีของ Seebeck

กระแสไฟฟ้าที่เกิดขึ้นจะคงไหลอยู่ตลอดเวลาตราบเท่าที่จุดต่อทั้งสองยังมีอุณหภูมิที่แตกต่างกันอยู่ แรงดันไฟฟ้าซึ่งเกิดจากการไหลของกระแสเหล่านี้ คือ แรงดันไฟฟ้าที่เกิดจากความร้อน (Seebeck thermal emf.)

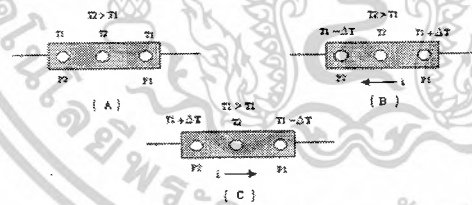
เอกสารนี้เป็นเอกสารที่สงวนไว้สำหรับการใช้งานเพื่อการศึกษาเท่านั้น ไม่อนุญาตให้นำไปใช้ประโยชน์ด้านการค้าไม่ว่ากรณีใดๆ ทั้งสิ้น อีกทั้งห้ามมิให้ดัดแปลงเนื้อหาและต้องอ้างอิงถึงเจ้าของเอกสารทุกครั้งที่มีการนำไปใช้

Jean C.A Peltier ได้ค้นพบว่าเมื่อกระแสผ่านจุดเชื่อมต่อของเส้นลวดที่ต่างชนิดกัน ที่ปลายข้างหนึ่งจะมีอุณหภูมิเพิ่มขึ้น ในขณะที่ปลายอีกข้างหนึ่งอุณหภูมิจะลดลง กล่าวคือ ถ้ากระแสไหลผ่านจุดต่อในทิศทางหนึ่งความร้อนจะซึมซับเอาไว้ และความร้อนจะถูกปลดปล่อยออกมาในขณะที่กระแสไหลไปในอีกทิศทางหนึ่ง



ภาพที่ 7 การไหลของกระแสตามทฤษฎีของ Peltier

W.T.Thomson นักวิทยาศาสตร์ชาวอังกฤษพบว่า เมื่ออุณหภูมิแตกต่างกันภายในเส้นลวดเส้นเดียวกัน ก็สามารถที่จะทำให้เกิดแรงดันไฟฟ้าขึ้นได้ เขาพบว่าเมื่อกระแสไหลผ่านเส้นลวดทองแดงอุณหภูมิของแต่ละจุดไม่เท่ากัน ที่จุด P ใดๆ ความร้อนจะลดลงถ้ากระแสที่ไหลผ่านนั้นไหลในทิศทางเดียวกันกับการไหลของความร้อน (กระแสจาก hot junction ไป cold junction) แต่ถ้ากระแสไหลในทิศทางตรงกันข้ามแล้วที่จุด P จะมีความร้อนเพิ่มขึ้น



ภาพที่ 8 การไหลของกระแสตามทฤษฎีของ Thomson

ในรูป (A) เป็นแท่งโลหะที่ตรงจุดกึ่งกลางถูกทำให้มีอุณหภูมิ และจุด และ นั้นจะมีอุณหภูมิเป็นเท่ากัน โดยอุณหภูมิ มีค่ามากกว่าอุณหภูมิ เมื่อป้อนกระแสจากภายนอกให้แท่งโลหะในทิศทางตามรูป (B) อุณหภูมิที่จุด และ จะเปลี่ยนเป็น $+\Delta T$ และ $-\Delta T$ ตามลำดับ แต่เมื่อกระแสไหลในทิศทางตรงกันข้ามอุณหภูมิที่จุด และ จะกลายเป็น $-\Delta T$ และ $+\Delta T$ ตามลำดับเช่นกันดังแสดงใน

ภาพ (c) เอกสารนี้เป็นเอกสารที่สงวนไว้สำหรับการใช้งานเพื่อการศึกษาเท่านั้น ไม่อนุญาตให้นำไปใช้ประโยชน์ด้านการค้า ไม่ว่าจะกรณีใดๆ ทั้งสิ้น อีกทั้งห้ามมิให้ตัดแปลงเนื้อหาและต้องอ้างอิงถึงเจ้าของเอกสารทุกครั้งที่มีการนำไปใช้

ผลจากการทดลองของ Thomson นั้นต่างจากผลการทดลองของ Peltier ตรงที่ว่าผลอันนี้เกิดขึ้นในตัวนำชนิดเดียวกันแทนที่จะเป็นจุดเชื่อมต่อของตัวนำต่างชนิด ดังนั้นแรงดันไฟฟ้าของ Seebeck ก็คือผลรวมของปรากฏการณ์ที่ได้จากแรงดันไฟฟ้า Peltier ที่จุดเชื่อมต่อกับแรงดันไฟฟ้า Thomson บนเส้นลวดที่ต่างกันทั้งสองเส้นถ้าให้ E เป็นแรงดันไฟฟ้าของ Thermocouple หรือแรงดันไฟฟ้าของ Seebeck แล้วเราจะได้ว่า

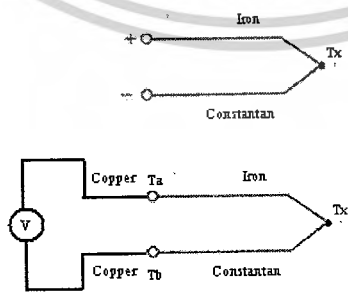
$$E = c(T_1 - T_2) + k(T_1^2 - T_2^2)$$

โดยที่ c, k = ค่าคงที่ของเทอร์โมคัปเปิลแต่ละชนิด

2.1 การใช้งานของเทอร์โมคัปเปิล

RTD และเทอร์มิสเตอร์ จะวัดอุณหภูมิสัมบูรณ์แต่เทอร์โมคัปเปิลจะวัดเพียงอุณหภูมิสัมพัทธ์ก็คือ การวัดอุณหภูมิใดๆแล้วต้องมาเปรียบเทียบกับอุณหภูมิอ้างอิงหรืออุณหภูมิที่ทราบค่า ทั้งนี้ก็เนื่องมาจากการทำงานของเทอร์โมคัปเปิลที่อาศัยความแตกต่างของอุณหภูมิสองจุด

หากเราใช้เทอร์โมคัปเปิลชนิด J ซึ่งประกอบด้วยเส้นลวดหนึ่งที่ทำมาจากเหล็ก (iron) และอีกเส้นหนึ่งทำมาจากคอนสแตนแตน (constantan) เมื่อเราต่อเทอร์โมคัปเปิลชุดดังกล่าวนี้เข้ากับโวลต์มิเตอร์หรืออุปกรณ์ควบคุม สิ่งที่เกิดขึ้นเมื่อเราต่อสายทองแดงก็คือ เป็นการสร้างเทอร์โมคัปเปิลขึ้นมาอีกสองเส้น ดังแสดงในรูป ซึ่งแต่ละเส้นย่อมมีผลต่อแรงดันของวงจร เท่ากับว่าตอนนี้เทอร์โมคัปเปิลอยู่สามเส้นพร้อมอุณหภูมิที่ไม่รู้ค่าอีกสามจุด



ภาพที่ 3.9 การต่อเทอร์โมคัปเปิลอ้างอิงกับอุณหภูมิ

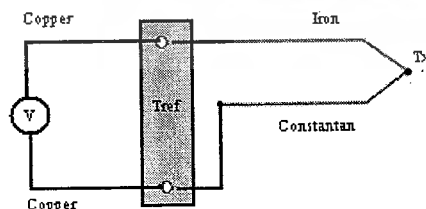
เอกสารนี้เป็นเอกสารที่สงวนไว้สำหรับการใช้งานเพื่อการศึกษาเท่านั้น ไม่อนุญาตให้นำไปใช้ประโยชน์ด้านการค้า ไม่ว่ากรณีใดๆ ทั้งสิ้น อีกทั้งห้ามมิให้ดัดแปลงเนื้อหาและต้องอ้างอิงถึงเจ้าของเอกสารทุกครั้งที่มีการนำไปใช้

วิธีการดั้งเดิมในการแก้ปัญหาคือ การเพิ่มเทอร์โมคัปเปิลที่ตรงกันข้ามและจุดต่ออ้างอิงที่ทราบอุณหภูมิแสดงในภาพที่ 3.9 ในตัวอย่างนี้เทอร์โมคัปเปิลที่ตรงกันข้ามคือจุดต่อ ทองแดง – เหล็ก (copper-iron) อีกอันหนึ่งเพื่อให้คู่กับจุดต่อ ทองแดง- เหล็ก ที่เกิดขึ้นเมื่อต่อลวดทองแดงเข้ากับลวดเหล็กของเทอร์โมคัปเปิล ที่แท้จริงแล้วจุดต่อสองจุดนี้จะลบล้างซึ่งกันและกันอย่างมีประสิทธิภาพ ถ้ามันถูกแยกให้อยู่ในกล่อง ที่แยกอยู่ต่างหาก (isothermal block)

เพราะฉะนั้น ในขณะที่จะมีจุดต่อเพียงสองจุด จุดต่อแรกมาจากเทอร์โมคัปเปิล (T_x) และจุดต่ออ้างอิง (T_{ref}) เป็นจุดที่สร้างขึ้นมา และหากเราทราบค่าอุณหภูมิที่จุดอ้างอิงนี้ก็สามารถที่จะคำนวณหาค่าอุณหภูมิ (T_x) ที่จุดวัดได้

เนื่องจากจุดอ้างอิงอุณหภูมิที่ใช้งาน ได้มีน้อยมากและมักจะมีราคาแพง จุดเยือกแข็งและจุดเดือดของน้ำที่อุณหภูมิ 0°C และ 100°C ดูเป็นทางออกที่ง่ายที่สุดที่ธรรมชาติหยิบยื่นมาให้ วิธีการทั่วไปที่ใช้ในการกำหนดอุณหภูมิ T_{ref} หรืออุณหภูมิอ้างอิงก็คือ การวางจุดต่อในอ่างน้ำแข็ง วิธีการใช้อ่างน้ำแข็งแม้จะให้ผลการวัดที่เที่ยงตรงก็จริงแต่ไม่ใช่วิธีที่สะดวกที่สุด

เพื่อให้กระบวนการทุกอย่างง่ายขึ้น คือ ตัดอ่างน้ำแข็งออกไป แล้ววัดอุณหภูมิอ้างอิงด้วยอุปกรณ์วัดอุณหภูมิสัมบูรณ์ เช่น RTD หรือเทอร์มิสเตอร์ และชดเชยผลการวัดด้วยวิธีการทางคณิตศาสตร์ ความจำเป็นในการบังคับให้อุณหภูมิอ้างอิงเป็นศูนย์ทั้งหมดไป ขึ้นตอนถัดไปก็คือ การกำจัดเทอร์โมคัปเปิลตัวที่สอง โดยการขยายกล่องแยกอุณหภูมิ (isothermal block) ให้รวมอุณหภูมิอ้างอิงเข้าไปด้วยดังแสดงในรูป ทำให้สามารถตั้งอุณหภูมิของกล่องเป็นอุณหภูมิอ้างอิง T_{ref} (เนื่องจากเทอร์โมคัปเปิลทั้งสองที่อยู่ในกล่องยังคงหักล้างซึ่งกันและกัน) ณ.จุดนี้การหาค่าอุณหภูมิอ้างอิง T_{ref} จึงเป็นเพียงเรื่องของการวัดอุณหภูมิของกล่องแยกอุณหภูมิด้วย RTD หรืออุปกรณ์วัดค่าอุณหภูมิสัมบูรณ์อื่นๆเท่านั้น



ภาพที่ 10 การต่อเทอร์โมคัปเปิลอ้างอิงกับ T_{ref}

เอกสารนี้เป็นเอกสารที่สงวนไว้สำหรับการใช้งานเพื่อการศึกษาเท่านั้น ไม่อนุญาตให้นำไปใช้ประโยชน์ด้านการค้า ไม่ว่ากรณีใดๆ ทั้งสิ้น อีกทั้งห้ามมิให้ดัดแปลงเนื้อหาและต้องอ้างอิงถึงเจ้าของเอกสารทุกครั้งที่มีการนำไปใช้

Tref หรืออุณหภูมิอ้างอิงเป็นหนึ่งในสองปริมาณที่ต้องใช้เพื่อคำนวณหาค่า Tx ส่วนอีกค่าหนึ่งที่ต้องทราบคือ แรงดัน (E) ซึ่งสามารถวัดได้ด้วยโวลต์มิเตอร์จากสมการ $E = c(T_x - T_{ref}) + k$ เมื่อ c และ k คือค่าคงที่ของเทอร์โมคัปเปิลแต่ละชนิด (หรืออาจใช้ตามตารางมาตรฐานของเทอร์โมคัปเปิลแต่ละชนิดก็ได้) แต่ถึงอย่างไรก็ตามแต่ c และ k รวมทั้งแรงดันเอาต์พุตที่ได้มักจะเป็นตัวเลขน้อยๆทำให้เป็นการยากที่จะวัดค่าสัมบูรณ์ และการเปลี่ยนแปลงสัมพัทธ์ได้อย่างถูกต้อง

เนื่องจากเทอร์โมคัปเปิล จะผลิตแรงดันไฟฟ้าที่เป็นสัดส่วน โดยตรงกับค่าความต้านทานของอุณหภูมิระหว่าง hot junction และ cold junction ดังนั้นจึงต้องระมัดระวังในการเลือกขนาดของวัสดุและห่อหุ้มกันหรือฝักโลหะ (sheath) อย่างถูกต้อง การส่งถ่ายความร้อนอาจจะเข้าเกินไปถ้า hot junction ใหญ่เกินไป หรือฝักโลหะที่มีขนาดไม่ถูกต้องจะทำให้ผลการตอบสนองทางไฟฟ้าเข้าไปด้วย hot junction จึงควรมีขนาดเล็กที่สุดเท่าที่เป็นได้ และห่อหุ้มกันหรือฝักโลหะก็ควรจะมีการลดทอนและช่วงการหน่วงน้อยที่สุดด้วย



เอกสารนี้เป็นเอกสารที่สงวนไว้สำหรับการใช้งานเพื่อการศึกษาเท่านั้น ไม่อนุญาตให้นำไปใช้ประโยชน์ด้านการค้าไม่ว่ากรณีใดๆ ทั้งสิ้น อีกทั้งห้ามมิให้ดัดแปลงเนื้อหาและต้องอ้างอิงถึงเจ้าของเอกสารทุกครั้งที่มีการนำไปใช้